

+ SELF-LUBE®



Contenido

Introducción

Especificaciones Técnicas Generales

- Información Técnica Común a todas la gamas de productos
- Cálculos de carga



ESPECIFICACIONES
TÉCNICAS
GENERALRES

Self-Lube®

- Matriz
- Sistema de referencias
- Especificaciones Técnicas
- Tablas de Rodamientos



SELF-LUBE®

Silver-Lube®

- Matriz
- Sistema de referencias
- Tablas de Rodamientos



SILVER-LUBE®

Unidades de acero inoxidable Molded-Oil™

- Matriz
- Sistema de referencias
- Especificaciones Técnicas
- Tablas de Rodamientos



UNIDADES DE
ACERO
INOXIDABLE
MOLDED-OIL™

Life-Lube® (Insertos Molded-Oil™ en Alojamientos Silver-Lube®)

- Matriz
- Sistema de referencias
- Especificaciones Técnicas
- Tablas de Rodamientos



LIFE-LUBE®

Productos especiales y Soluciones de Rodamientos

- Opciones de ensamblaje rápido
- Opciones de pre-engrase alternativo
- Otras combinaciones de inserto/alojamiento
- Diseños de alojamiento especial
- Opciones de diseño de productos especiales



PRODUCTOS
ESPECIALES Y
SOLUCIONES DE
RODAMIENTOS

Lista de Intercambios

- Tablas de conversión de unidades de ingeniería



LISTA DE
INTERCAMBIOS

Tablas de Conversión

- Lista de Intercambios



TABLAS DE
CONVERSIÓN

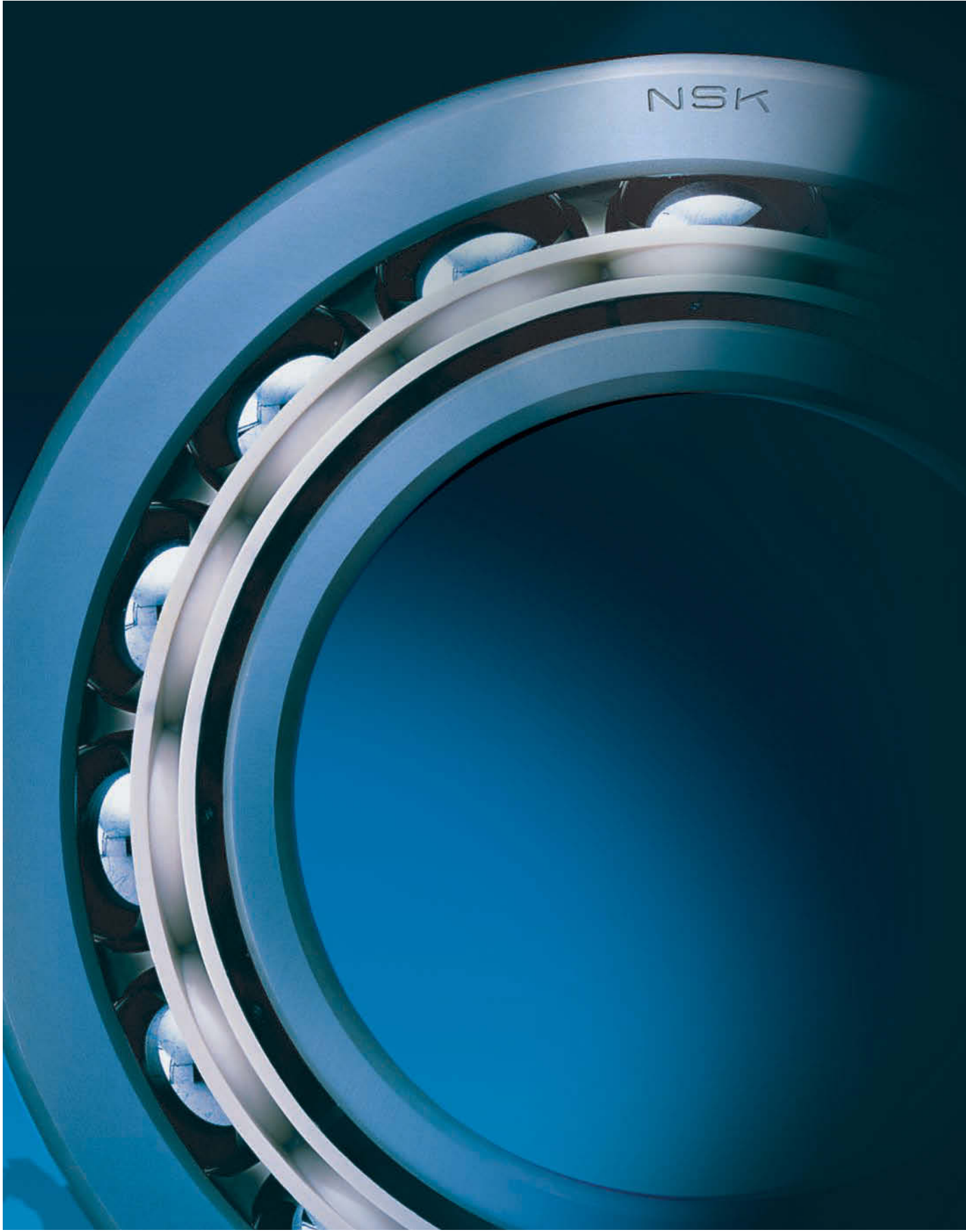
La marca NSK, reconocida en todo el mundo

Desde electrodomésticos hasta la industria aeroespacial, pasando por automóviles y maquinaria para bienes de equipo, los rodamientos NSK se utilizan en una gran variedad de aplicaciones. NSK es reconocido a escala mundial en tecnología y ha alcanzado los requisitos más exigentes de la industria mundial.

También hemos establecido sistemas I+D y servicios de mantenimiento para satisfacer las diferentes necesidades de los clientes de todos los continentes. Como marca reconocida en todo el mundo, NSK continúa liderando la industria con su conocimiento técnico.

NSK se mueve por todo el mundo

| OFICINAS CENTRALES | PLANTAS | COMPAÑÍAS DE VENTAS | Europa |
|---|--|--|---|
| América (Norte y del Sur) Ann Arbor | América (Norte) Ann Arbor Clarinda Franklin Liberty Bennington Suzano | África Johannesburgo Ann Arbor Indianápolis Chicago San José Los Ángeles Bennington Miami Atlanta Montreal Toronto Vancouver Buenos Aires São Paulo Belo Horizonte Joinville Porto Alegre Recife Ciudad de México Pekín Shanghai Guangzhou Anshun Chengdu Hong Kong Taipei Taichung Tainan Seúl Chennai Yakarta Manila Bangkok Kuala Lumpur Prai Johor Bahru Kota Kinabalu Singapur | Maidenhead Newark Coventry París Dusseldorf Stuttgart Leipzig Milán Barcelona Varsovia Estambul Tokio Osaka Nagoya Melbourne Sydney Brisbane Adelaide Perth Auckland |
| Asia Shanghai Singapur | América (Sur) Dongguan Zhangjiagang Suzhou Changshu Chennai Yakarta Changwon Balakong Chonburi Chachoengsao | Asia Kunshan Anshun Dongguan Zhangjiagang Suzhou Changshu Chennai Yakarta Changwon Balakong Chonburi Chachoengsao | Japón Tokio Kielce Europa Newark Kielce Japón Fujisawa Maebashi |
| CENTROS TECNOLÓGICOS | | | 27 oficinas más |
| América (Norte y del Sur) Ann Arbor | | | |
| Asia Kunshan | | | |
| Europa Newark Kielce | | | |
| Japón Fujisawa Maebashi | | | |

A close-up, low-angle photograph of a deep groove ball bearing. The bearing is mounted on a dark, cylindrical housing. The housing has the letters "NSK" engraved on its top edge. The bearing's outer ring is visible at the bottom, showing its thick, light-colored metal construction. The inner ring and the two rows of balls are partially visible, showing their precision engineering. The lighting highlights the metallic surfaces and the ball paths.

NSK

Especificaciones Técnicas Generales

Self-Lube®



Gama de productos Self-Lube®

NSK fabrica varias gamas de unidades ensambladas. Éstas incluyen Self-Lube®, nuestro conocido estándar, y recientemente se han introducido gamas de productos como las unidades Silver-Lube®, Life-Lube® y Molded-Oil™. En cada tipo, hay dos componentes básicos, el inserto y el alojamiento.

Insertos de rodamiento Self-Lube®

El inserto de rodamiento Self-Lube®, conocido mayoritariamente como un rodamiento con gran capacidad, está diseñado para que se adapte a una gran variedad de alojamientos de NSK para la familia Self-Lube®, y también se adapta a aplicaciones en las que se utiliza el alojamiento del propio usuario.

Son básicamente rodamientos de bolas de ranura profunda, en la configuración de la conocida serie 6200, con un diseño integral cuyas características los convierten en unos rodamientos de bolas más funcionales y versátiles que estándares. El juego interno radial es C3 para los insertos de rodamiento estándar y los rodamientos pueden ofrecerse con anillos externos paralelos o esféricos, el último de los cuales es el tipo que se adapta a la unidad del rodamiento. El diseño integral del inserto de rodamiento, como la fijación al eje, el sellado y la lubricación, se amplía en las páginas siguientes.

Unidades de rodamiento Self-Lube®

La gama de unidades de rodamiento Self-Lube® ofrece una amplia selección de alojamientos de hierro fundido, de goma sintética, de termoplástico o de acero inoxidable con insertos de rodamiento Self-Lube® de diámetro externo esférico. Normalmente se acomodan a una desalineación de alojamiento inicial de hasta 0.030 radianes pero no son recomendables para una desalineación superior a 0.001 radianes.

Los tipos de alojamiento generales son

tipo puente, tipo brida, unidades tensoras y unidades de cartucho. Una razón determinante de la selección son los requerimientos de la aplicación, aunque el aspecto estético de la máquina también debe tenerse en cuenta. Las unidades Self-Lube® están diseñadas para satisfacer las necesidades de ambos criterios.

- Las coladas de las unidades fundición están fabricadas de hierro fundido de alta calidad y acabadas en superficies no mecanizadas con pintura electrostática de secado al aire.
- Los alojamientos de acero prensado están fabricados por material de laminación de acero dulce y recubiertos de materiales de zinc.

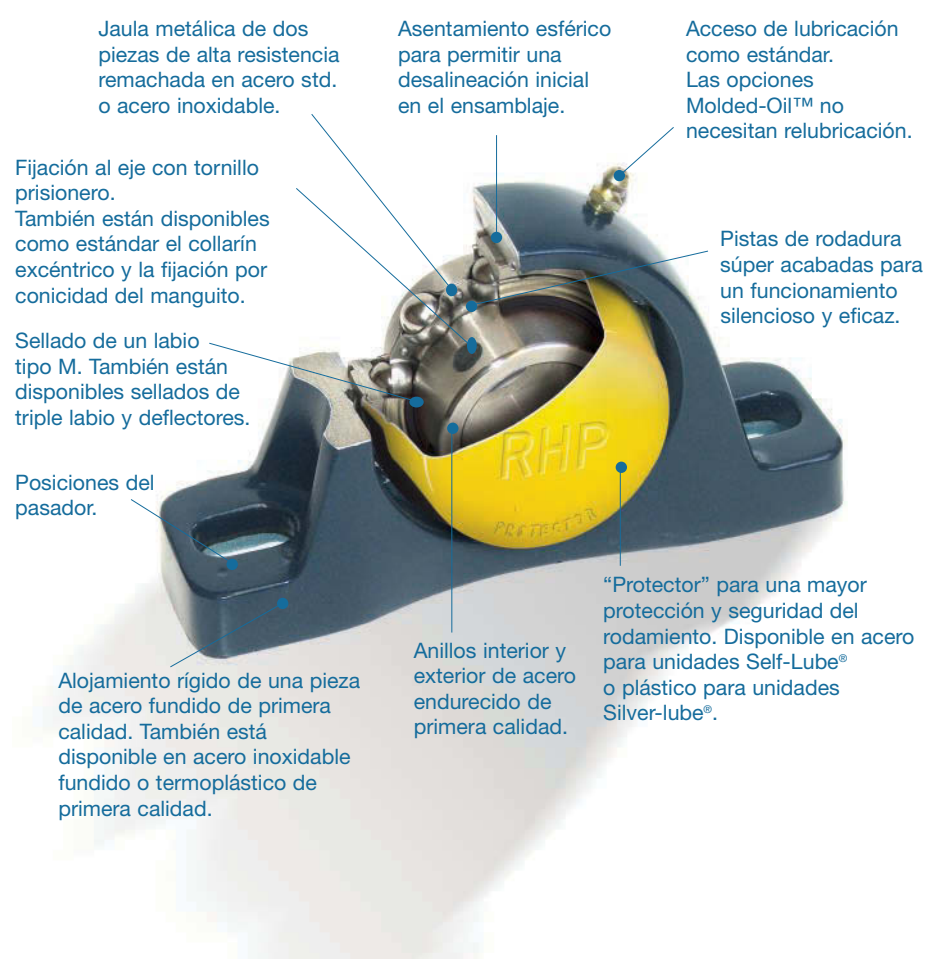
- Los alojamientos de termoplástico están moldeados con PBT de alta calidad, una resina de poliéster termoplástico de primera calidad.
- Los alojamientos de acero inoxidable están fabricados de coladas de acero inoxidable austenítico (SCS13).

Productos adicionales

NSK reconoce la necesidad de crear soluciones “personalizadas” y está siempre dispuesta a ayudar a los clientes que requieren algún producto fuera de lo habitual.

Índices de capacidad de carga dinámica

Los índices de capacidad de carga dinámica de NSK que se indican en este catálogo y la relación entre los mismos y la vida de fatiga del rodamiento se basan en la norma ISO 281.



Índices de carga del rodamiento y resistencia

Índice de carga radial dinámica básica C_r

Se define como la carga que puede aplicarse al rodamiento para conseguir un índice básico de vida L_{10} de un millón de revoluciones. Es la vida asociada con una fiabilidad del 90%, que la experiencia ha demostrado que es aceptable para las aplicaciones de rodamientos de ingeniería normal. La mayoría de rodamientos tienen una vida mucho más larga y su vida media es aproximadamente cinco veces la vida L_{10} . Los índices para cada carga se indican en las tablas de rodamientos y se utilizan para calcular la vida para las cargas radiales de magnitud y dirección constantes.

Carga radial dinámica equivalente P_r

Para aplicaciones en que están presentes la carga axial y radial deben convertirse en una carga radial equivalente simple P_r , y calcularse como se indica a continuación, donde:

F_r = carga radial real (N)

F_a = carga axial real (N)

Y = factor axial de la tabla 18.2

C_{or} = Índice de carga estática básica

C_r = Índice de carga radial dinámica

f_o = factor de carga axial

Nota: La carga axial F_a no debe superar 0,5 C_{or} . Seleccione f_o de la tabla 18.1 para el inserto de rodamiento adecuado.

Calcule $\frac{f_o F_a}{C_{or}}$ y obtendrá el valor Y de la tabla 18.2.

Calcule donde:

$$P_r = \frac{P_r}{F_r}$$

o

$$P_r = 0.56 F_r + Y F_a$$

Utilice el valor P_r que sea mayor.

Relación entre carga y vida

Una vez determinado la carga equivalente P_r , la vida de rodamiento L_{10} se calcula de la forma siguiente:

$$L_{10} \text{ vida en horas} = \left(\frac{C_r}{P_r} \right)^3 \times \frac{10^6}{60n}$$

donde n = velocidad de funcionamiento del rodamiento (rev/min).

Alternativamente, utilizando el índice de carga $\frac{C_r}{P_r}$ la vida de rodamiento L_{10} puede estimarse leyendo directamente la columna de la velocidad adecuada de las tablas de la página 9.

Índice de carga estática básica C_{or}

El valor se calcula de acuerdo con la norma ISO 76. Los índices de cada serie se indican en las tablas de los rodamientos.

Carga radial estática equivalente P_{or}

Cuando las cargas radial y axial estáticas se aplican a un rodamiento, deben convertirse a una carga radial estática equivalente P_{or} donde:

F_{or} = carga radial estática real (N)

F_{oa} = carga axial estática real (N)

Calcule P_{or} donde:

$$P_{or} = F_{or}$$

o

$$P_{or} = 0.6 F_{or} + 0.5 F_{oa}$$

Utilice el mayor valor de P_{or} , pero este valor **no debe superar** el índice de carga radial estática del rodamiento C_{or} .

Factores de funcionamiento

Al calcular la vida de los rodamientos es habitual incluir factores de aplicación que permitan fluctuaciones de la carga que pueden ocurrir durante el funcionamiento, por nuestra experiencia se pueden utilizar las siguientes indicaciones como guía.

Para cargas estáticas y de impacto ligero multiplíquelo por un valor de entre 1,2 y 1,5.

Para cargas con impacto moderado, multiplique la carga por un valor de entre 1,7 y 2,0. Al seleccionar el tamaño del rodamiento para una carga determinadas, la vida calculada debería

seguir las indicaciones de vida L_{10} de la siguiente columna:

- Máquinas en uso 8 horas/día
– no totalmente utilizadas – de 10.000 a 20.000 horas
- Máquinas en uso 8 horas/día – totalmente utilizadas – de 20.000 a 30.000 horas.
- Máquinas en uso 24 horas/día – de 20.000 a 80.000 horas.
- Máquinas en uso temporal – de 4.000 a 8.000 horas.

Cargas Límite

La carga axial F_{oa} no debe superar la mitad del valor del índice de carga estática básica C_{or} y deben tenerse en cuenta las resistencias de los alojamientos como factor limitante - consulte los detalles en la página 19.

Tabla 18.1

| Inserto del rodamiento básico | f_o |
|-------------------------------|-------|
| 1017 | 13.1 |
| 1020 | 13.1 |
| 1025 | 13.9 |
| 1030 | 13.8 |
| 1035 | 13.8 |
| 1040 | 14.0 |
| 1045 | 14.1 |
| 1050 | 14.4 |
| 1055 | 14.3 |
| 1060 | 14.3 |
| 1065 | 14.4 |
| 1070 | 14.4 |
| 1075 | 14.7 |
| 1080 | 14.6 |
| 1085 | 14.7 |
| 1090 | 14.5 |
| 3095 | 13.6 |

Tabla 18.2

| $\frac{f_o F_a}{C_{or}}$ | Y |
|--------------------------|------|
| 0.172 | 2.30 |
| 0.345 | 1.99 |
| 0.689 | 1.71 |
| 1.03 | 1.55 |
| 1.38 | 1.45 |
| 2.07 | 1.31 |
| 3.45 | 1.15 |
| 5.17 | 1.04 |
| 6.89 | 1.00 |

Ejemplos de cálculos de rodamientos

Ejemplo 1

Qué vida nominal puede obtenerse de NP55 con una carga radial estática $F_r = 3900\text{N}$ a una velocidad de 1500 rev/min? El índice de carga dinámica C_r de la unidad de la página 25 es 43500N. Puesto que el rodamiento no está sujeto a la carga axial la carga equivalente $P_r = F_r$, de acuerdo con la fórmula de la página 7. Por lo tanto, aplicando el factor de funcionamiento de 1,2 para una carga estática.

$$P_r = F_r \times 1.2 = 3900 \times 1.2 = 4680\text{N}.$$

De la página 7,

L_{10} vida en horas

$$\begin{aligned} &= \left(\frac{C_r}{P_r} \right)^3 \times \frac{10^6}{n \times 60} \\ &= \left(\frac{43500}{4680} \right)^3 \times \frac{10^6}{1500 \times 60} \\ &= 8923 \text{ horas} \end{aligned}$$

Alternativamente, utilizando las tablas de índice de carga de la página 9 se puede obtener una vida aproximada colocando el valor $\frac{C_r}{P_r}$ más cercano en la columna rev/min adecuada.

$$\text{Por lo tanto } \frac{C_r}{P_r} = \frac{43500}{4680} = 9.29$$

En la columna 1500 rev/min el valor $\frac{C_r}{P_r}$ más cercano es 9.65, por el cual se obtiene un valor de vida aproximado de 10.000 horas.

Ejemplo 2

Con una carga radial $F_r = 2940\text{N}$ y una carga axial $F_a = 1470\text{N}$ a 300 rev/min con impacto moderado, ¿qué vida nominal L_{10} puede obtenerse de la referencia de unidad SF40?

El índice de carga radial dinámica C_r de la unidad de la página 39 es 29100N y el índice de carga estática C_{or} es 19900N.

Puesto que el rodamiento está sujeto a las cargas radial y axial, tenemos que establecer la carga equivalente P_r de acuerdo con la página 7.

Primero, establecemos el valor de $\frac{f_o F_a}{C_{or}}$

$$\frac{f_o F_a}{C_{or}} = \frac{14.0 \times 1470}{19900} = 1.03$$

Utilizando este valor, de la tabla 18.2 establecemos un valor para $Y = 1.55$. De la página 7 luego calculamos el valor de P_r

$$P_r = 2940\text{N}$$

o

$$P_r = 0.56 (2940) + 1.55 (1470) = 3925\text{N}$$

Utilizando el valor mayor de P_r y aplicando un factor de aplicación de 1,7 (página 7) para cargas de impacto moderado:

$$\begin{aligned} P_r &= 3925 \times 1.7 \\ &= 6673\text{N} \end{aligned}$$

De la página 7:

L_{10} horas de vida

$$\begin{aligned} &= \left(\frac{C_r}{P_r} \right)^3 \times \frac{10^6}{60n} \\ &= \left(\frac{29100}{6673} \right)^3 \times \frac{10^6}{60 \times 300} \\ &= 4607 \text{ horas} \end{aligned}$$

Alternativamente, utilizando las tablas de índice de carga de la página 9, se puede obtener una vida aproximada colocando el valor C_r/P_r más cercano en la columna rev/min adecuada.

Por lo tanto, $C_r/P_r = 29100/6673 = 4.36$. En la columna 300 rev/min de la página 9, el valor más cercano es 4.48, por el cual se obtiene un valor de vida aproximado de 5.000 horas.

Resistencia del alojamiento

Para comprobar la resistencia del alojamiento para el ejemplo 2 cuando la carga axial

$F_a = 1470\text{N}$ y aplicando un factor de aplicación de 1,7 luego:

$$\text{Carga axial} = 1470 \times 1.7 = 2499\text{N}$$

De la página 19 vemos que las cargas axiales máximas para la unidad anterior son:

0.45 C_{or} en una dirección, y

0.25 C_{or} en la dirección contraria.

Calculando estas dos cargas axiales máximas que pueden aplicarse al alojamiento:

$$0.45 \times 19900 = 8955$$

$$0.25 \times 19900 = 4975$$

De lo anterior podemos ver que el alojamiento soportará una carga axial de 2499N en cualquier dirección.

Por lo tanto, la unidad anterior es adecuada para las condiciones de carga expuestas.

Nota Es aconsejable fijar el eje para cargas axiales altas.

Índices de carga

La estimación de la vida para los rodamientos de bolas para diferentes índices C_r/P_r y velocidades

| L ₁₀ vida (horas) | Velocidad: rev/min | | | | | | | | |
|---------------------------------|--------------------|------|------|------|------|-------|-------|-------|-------|
| | 25 | 50 | 100 | 150 | 200 | 300 | 500 | 750 | 1000 |
| 100 | | | | | 1.06 | 1.22 | 1.45 | 1.65 | 1.82 |
| 500 | | 1.14 | 1.45 | 1.65 | 1.82 | 2.08 | 2.47 | 2.82 | 3.11 |
| 1000 | 1.14 | 1.44 | 1.82 | 2.08 | 2.29 | 2.62 | 3.11 | 3.56 | 3.91 |
| 1500 | 1.31 | 1.65 | 2.08 | 2.38 | 2.62 | 3.00 | 3.56 | 4.07 | 4.48 |
| 2000 | 1.45 | 1.82 | 2.29 | 2.62 | 2.88 | 3.30 | 3.91 | 4.48 | 4.93 |
| 3000 | 1.65 | 2.08 | 2.62 | 3.00 | 3.30 | 3.78 | 4.48 | 5.13 | 5.65 |
| 5000 | 1.96 | 2.47 | 3.11 | 3.56 | 3.91 | 4.48 | 5.32 | 6.08 | 6.70 |
| 7500 | 2.24 | 2.82 | 3.56 | 4.07 | 4.48 | 5.13 | 6.08 | 6.96 | 7.66 |
| 10000 | 2.47 | 3.11 | 3.91 | 4.48 | 4.93 | 5.65 | 6.70 | 7.66 | 8.43 |
| 19500 | 2.82 | 3.56 | 4.48 | 5.13 | 5.65 | 6.46 | 7.66 | 8.77 | 9.65 |
| 20000 | 3.11 | 3.91 | 4.93 | 5.65 | 6.21 | 7.11 | 8.43 | 9.65 | 10.60 |
| 30000 | 3.56 | 4.48 | 5.65 | 6.46 | 7.11 | 8.14 | 9.65 | 11.10 | 12.20 |
| 40000 | 3.91 | 4.93 | 6.21 | 7.11 | 7.81 | 8.96 | 10.60 | 12.20 | 13.40 |
| 60000 | 4.48 | 5.65 | 7.11 | 8.14 | 8.96 | 10.30 | 12.20 | 13.90 | 15.30 |
| 80000 | 4.93 | 6.21 | 7.81 | 8.96 | 9.83 | 11.30 | 13.40 | 15.30 | 16.80 |

La estimación de la vida para los rodamientos de bolas para diferentes índices C_r/P_r y velocidades

| L ₁₀ vida (horas) | Velocidad: rev/min | | | | | | | | |
|---------------------------------|--------------------|-------|-------|-------|-------|-------|-------|-------|--|
| | 1500 | 2000 | 3000 | 4000 | 5000 | 6000 | 8000 | 10000 | |
| 100 | 2.08 | 2.29 | 2.62 | 2.88 | 3.11 | 3.30 | 3.63 | 3.91 | |
| 500 | 3.56 | 3.91 | 4.48 | 4.93 | 5.32 | 5.65 | 6.21 | 6.69 | |
| 1000 | 4.48 | 4.93 | 5.65 | 6.21 | 6.70 | 7.11 | 7.81 | 8.43 | |
| 1500 | 5.13 | 5.65 | 6.46 | 7.11 | 7.65 | 8.15 | 8.96 | 9.65 | |
| 2000 | 5.65 | 6.21 | 7.11 | 7.81 | 8.43 | 8.96 | 9.83 | 10.60 | |
| 3000 | 6.46 | 7.11 | 9.14 | 8.96 | 9.65 | 10.30 | 11.30 | 12.20 | |
| 5000 | 7.66 | 8.43 | 9.65 | 10.60 | 11.50 | 12.20 | 13.40 | 14.40 | |
| 7500 | 8.77 | 9.65 | 11.10 | 12.20 | 13.10 | 13.90 | 15.30 | 16.50 | |
| 10000 | 9.65 | 10.60 | 12.20 | 13.40 | 14.50 | 15.30 | 16.80 | 18.20 | |
| 19500 | 11.10 | 12.20 | 13.90 | 15.30 | 16.50 | 17.50 | 19.30 | 20.80 | |
| 20000 | 12.20 | 13.40 | 15.30 | 16.80 | 18.50 | 19.30 | 21.20 | 22.90 | |
| 30000 | 13.90 | 15.30 | 17.50 | 19.30 | 20.80 | 22.10 | 24.30 | 26.20 | |
| 40000 | 15.30 | 16.80 | 19.30 | 12.20 | 22.90 | 24.30 | 26.70 | 28.80 | |
| 60000 | 17.50 | 19.30 | 22.10 | 14.30 | 26.20 | 27.80 | 30.70 | 33.00 | |
| 80000 | 19.30 | 21.20 | 24.30 | 16.70 | 28.80 | 30.70 | 33.70 | 36.30 | |

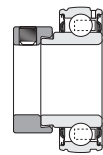
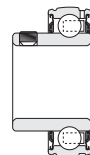
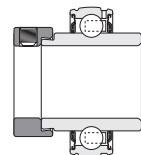
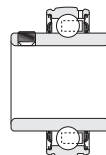
Unidades de rodamientos Self-Lube®



Referencias de las unidades estándar

Tipo de inserto

Tipo de alojamiento



1000G

1000DECG

1200G

1200ECG

Una pieza de hierro fundido



Página

80

82

83

84



Página

NP

NP-DEC

NP-A

NP-EC
SL-EC

Página

SL

SL-DEC

SL-A

SL-EC

Página

MP



Página

SNP

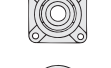
SNP-DEC

SNP-A

SNP-EC
CNP-EC

Página

CNP



Página

SF

SF-DEC

SF-A

SF-EC

Página

MSF



Página

SFT

SFT-DEC

SFT-A

SFT-EC

Página

MSFT



Página

LFTC

LFTC-DEC

LFTC-A

LFTC-EC



Página

FC

FC-DEC

FC-A

FC-EC



Página

MFC



Página

ST

ST-DEC

ST-A

ST-EC

Página

MST



Página

BT

BT-A

BT-EC



Página

SLC

SLC-DEC

SLC-A

SLC-EC

Página

MSC



Página

SCHB

SCHB-DEC

SCHB-A

SCHB-EC

Página

SCH

Dos piezas de acero prensado



Página

SLFE

SLFE-DEC

SLFE-A

SLFE-EC



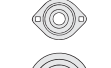
Página

SLFT

SLFT-DEC

SLFT-A

SLFT-EC



Página

SLFL

SLFL-DEC

SLFL-A

SLFL-EC



Página

LPB

LPB-DEC

LPB-A

LPB-EC

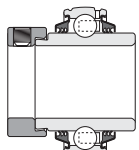
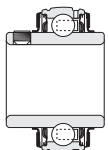
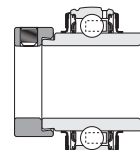
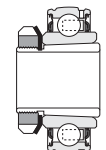
Página

LPBR

LPBR-DEC

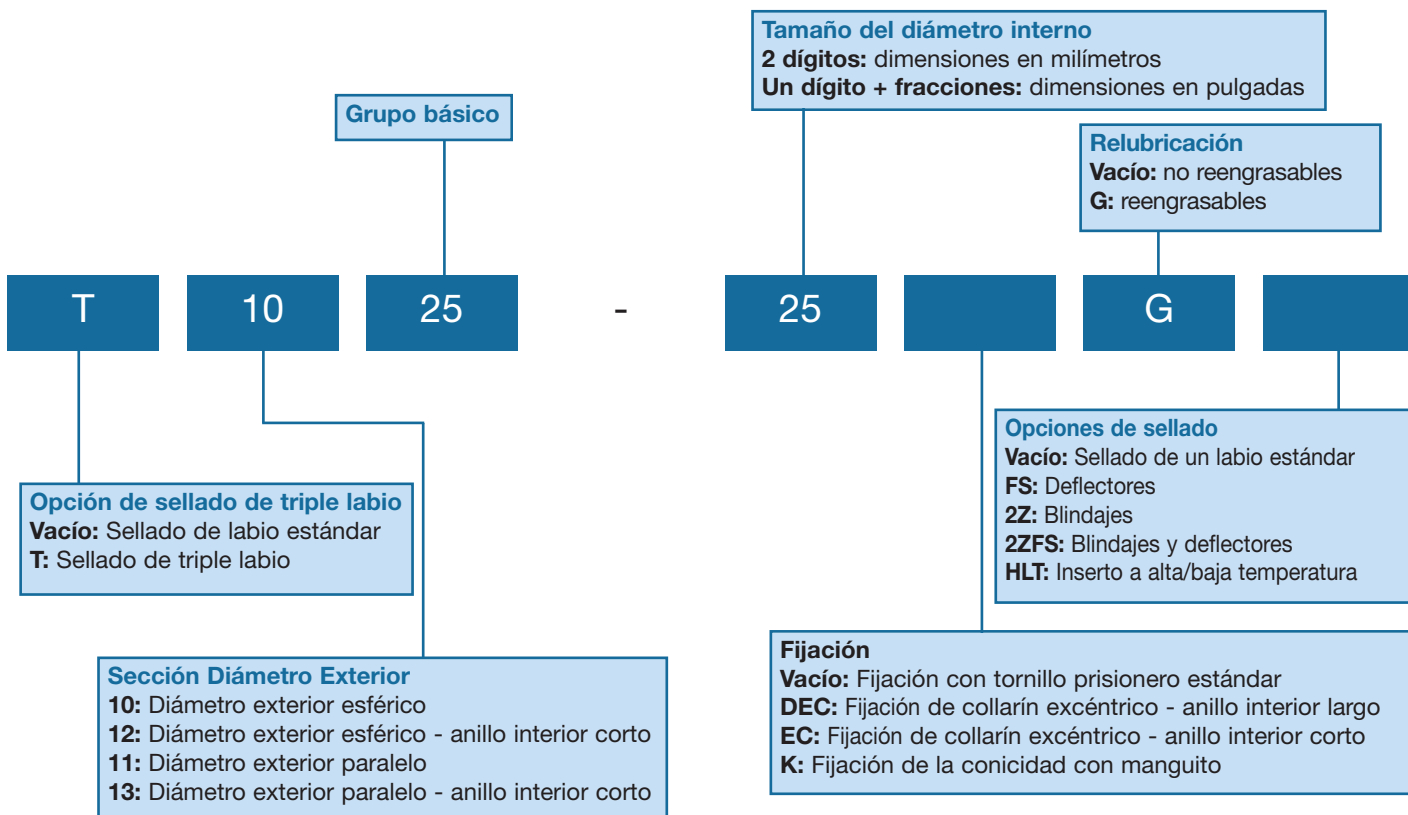
LPBR-A

LPBR-EC

**T1000G****T1000DECG****1000GFS****1000DECFS****1000KG**

| | | | | | Página |
|-------------------|----------------------|-------------------------|------------------------|----------------------|----------|
| 88 | 90 | 91 | 92 | 86 | |
| TNP TSL TMP | TNP-DEC TSL-DEC | NP-FS SL-FS MP-FS | NP-DECFS SL-DECFS | NP1000-K MP1000-K | 28 34 |
| TSNP TCNP | TSNP-DEC TCNP-DEC | SNP-FS CNP-FS | SNP-DECFS CNP-DECFS | | |
| TSF TMSF | TSF-DEC | SF-FS MSF-FS | SF-DECFS | MSF1000-K | 42 |
| TSFT TMSFT | TSFT-DEC | SFT-FS MSFT-FS | SFT-DECFS | MSFT1000-K | 48 |
| TLFTC | TLFTC-DEC | LFTC-FS | LFTC-DECFS | | |
| TFC | TFC-DEC | FC-FS | FC-DECFS | | |
| TMFC | | MFC-FS | | | |
| TST TMST | TST-DEC | ST-FS MST-FS | ST-DECFS | MST1000-K | 60 |
| TBT | | BT-FS | | | |
| TSLC TMSC | TSLC-DEC | SLC-FS MSC-FS | SLC-DECFS | | |
| TSCHB TSCH | | SCHB-FS SCH-FS | | | |
| | | | | | |
| TSLFE | TSLFE-DEC | SLFE-FS | SLFE-DECFS | | |
| TSLFT | TSLFT-DEC | SLFT-FS | SLFT-DECFS | | |
| TSLFL | TSLFL-DEC | SLFL-FS | SLFL-DECFS | | |

Referencias de inserto Self-Lube®estándar



Lista de prefijos y sufijos comunes

Prefijos

- B** Unidad o inserto del rodamiento sin collarín de fijación.
- J** Ranura de engrase en el lateral del inserto del rodamiento más cercano al dispositivo de fijación.
- T** Inserto del rodamiento con sellado de triple labio.

Sufijos

- A** Unidad adaptada con inserto de fijación por tornillo de apriete y anillo interior corto.
- C4** Tolerancia radial mayor que C3.
- CG** Inserto de diámetro exterior paralelo ensamblado en la ranura de engrase y en el anillo elástico.
- DEC** Fijación de collarín excéntrico con anillo interior largo.
- DL** Anillo interior de fijación doble – 4 tornillos de apriete (2 en cada extremo).
- EC** Fijación de collarín excéntrico con anillo interior corto.
- FS** Inserto de rodamiento ensamblado con sellados del tipo retén.
- G** Inserto de rodamiento con acceso de lubricación.
- HLT** Inserto de rodamiento a alta y baja temperatura.
- K** Inserto de rodamiento con diámetro interior cónico.
- L** De tamaño mayor que las unidades normales para el tamaño de diámetro interior básico.
- P** Alojamiento ensamblado con un acceso de grasa BSP de $\frac{1}{8}$ " (la estándar es UNF de $\frac{1}{4}$ ").
- R** De tamaño menor que las unidades normales para el tamaño de diámetro interno básico.

Gama de productos Self-Lube®

Bajo el nombre de rodamientos Self-Lube® encontramos dos productos básicos: el inserto de rodamiento Self-Lube® y la unidad de rodamiento Self-Lube®.

Unidad de rodamiento Self-Lube®

La gama de unidades de rodamiento Self-Lube® ofrece una amplia selección de alojamientos de hierro fundido, de acero prensado o de goma sintética ensamblados con la gama completa de insertos de rodamiento Self-Lube® de diámetro exterior esférico. Se acomodan a una desalineación de alojamiento inicial de hasta 0.030 radianes pero no son recomendables para una desalineación superior a 0.001 radianes.

Los alojamientos son de tipo puente, tipo brida, unidades tensoras y unidades de cartucho. Una razón determinante de la selección son los requerimientos de la aplicación, aunque el aspecto estético de la máquina también debe tenerse en cuenta. Las unidades Self-Lube® están diseñadas para satisfacer las necesidades de ambos criterios.

Las coladas están fabricadas de hierro fundido de alta calidad, y acabadas en superficies no mecanizadas con pintura electrostática de secado por aire.

Los alojamientos de acero prensado están fabricados por material de laminación de acero dulce y recubiertos de material de zinc. Los alojamientos de goma se moldean con goma de nitrilo antiestático.

Protector Self-Lube®

El Protector Self-Lube® está diseñado para proteger los operadores de los peligros de los extremos del eje en rotación, así como las superficies externas del rodamiento de la contaminación.

El protector se fabrica con acero laminado de primera calidad y se recubre con esmalte para conseguir un producto

robusto, elegante y duradero. Se adapta fácilmente y puede extraerse sin romperse ni deformarse, lo cual permite ensamblarlo de nuevo en cualquier momento.

Los insertos Self-Lube® estándares con diámetros exteriores esféricos cuentan con una "ranura" en el anillo exterior en el lateral opuesto de la ranura de engrase. El protector cuenta con dos aletas que se ensamblan en la "ranura" del anillo exterior. Esto proporciona una fijación muy segura por lo que es muy difícil que el protector se desensamble. No es necesario que el usuario de unidades Self-Lube® compre rodamientos especiales o utilice un dispositivo adicional de fijación para obtener dicha seguridad.

El protector puede extraerse insertando un dispositivo con forma de palanca en un pequeño orificio de una de las aletas y aplicando una ligera presión hacia fuera. Esto desensambla la aleta de la "ranura" del anillo externo. También se entrega un tapón para el acceso de lubricación para el orificio.



Sellado

Sellado de un labio

La disposición estándar del sellado Self-Lube® consiste en un elemento de sellado a modo de "sandwich" de goma de nitrilo situado entre dos prensas metálicas. Este diseño se ha probado con éxito durante años en una gran variedad de aplicaciones. El sellado de tipo 'S' incorpora más desarrollos en el diseño. El sellado de nitrilo (de color negro) está unido a una robusta estructura de acero que está firmemente fijada en el anillo exterior. El labio de sellado flexible entra en contacto con el acabado mecanizado del anillo interior para operar con una baja fricción y con un sellado eficaz.

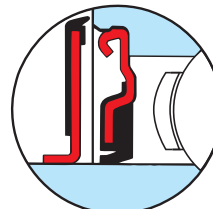


Sellado de un labio (estándar)

Sellado del tipo deflector

Cuando es necesaria una protección adicional sin que se pierda velocidad definida en el catálogo de rodamientos, el "sellado del tipo deflector" es ideal. Consiste en una brida de acero a la cual se ha fijado un labio de sellado de nitrilo flexible.

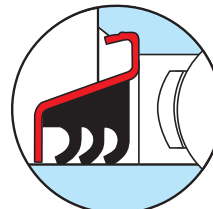
Se ofrecen para los tipos 1000G y 1000DECG y se identifican con el sufijo FS (por ejemplo, 1025-25GFS, NP25FS). El deflector se ensambla en el anillo interior.



Sellado de un labio + sellado tipo retén

Sellado de triple labio

Para aplicaciones con un elevado grado de contaminación, se recomienda un sellado de triple labio RHP especialmente desarrollado. Está formado por un sellado de nitrilo moldeado de una pieza con tres labios, ensamblado a una estructura metálica exterior de acero que está firmemente ajustada en el anillo exterior para conseguir una disposición del sellado altamente eficaz. No recomendable para velocidades elevadas. Consulte las páginas de la 88 a la 90.



Sellado de triple labio

Lubricación

| Unidad | Intervalo de temp. de la unidad | Grasa | Proveedor |
|------------------|---------------------------------|-----------------------|-----------|
| Inserto estándar | De -20°C a +110°C | Alvania S2 | Shell |
| Inserto HLT | De -40°C a 180°C | Kluberquiet BQH72-102 | Kluber |

Disposiciones de fijación de eje

Fijación por tornillo prisionero

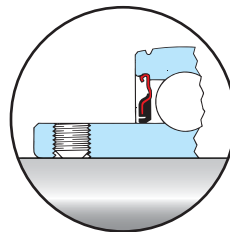
Esta disposición de fijación está formada por dos tornillos de apriete con cabeza, de bloqueo automático y punta esférica moleteada encajados en el anillo interior.

Para cargas normales y velocidades moderadas simplemente debe ensamblar la unidad del rodamiento en la posición correcta y apretar los tornillos prisioneros hasta el valor de par recomendado.

Puede conseguir una seguridad adicional punteando el eje para contener la punta del tornillo de apriete. Al puentear, retire primero el tornillo de apriete y localice la posición en el eje. Seleccione un taladro del tamaño del diámetro menor de la rosca del anillo interior y taladre por este orificio en el eje hasta llegar a una profundidad de la punta del taladro.

Sustituya el tornillo de apriete y apriételo en el eje de manera habitual.

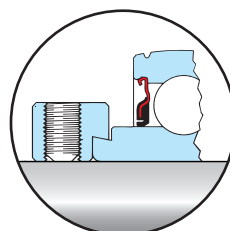
Los pares de apriete recomendados para los tornillos de apriete se indican en la página 18.



Fijación por tornillo prisionero

Fijación de collarín excéntrico

Este tipo de fijación consiste en una interferencia excéntrica formada por el anillo interno del rodamiento y el diámetro interno del collarín. Para fijarlo, es necesario girar el collarín en la dirección del giro del eje hasta que el diámetro excéntrico del collarín y del anillo interior coinciden totalmente. El collarín cuenta con orificio ciego para facilitar el apriete al fijar el rodamiento en el eje. Si el tornillo de apriete está ajustado a los valores de par recomendados de la página 18 evita que el collarín "se desplace" cuando está en funcionamiento.



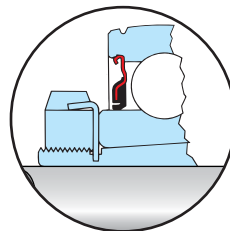
Fijación por collarín excéntrico

Fijación de la conicidad del manguito

Esta disposición de fijación, que incorpora un adaptador de conicidad de manguito estándar, una tuerca y una arandela de bloqueo, es recomendable cuando se necesita un bloqueo concéntrico (eje) positivo.

Al adaptar el rodamiento al eje, debe asegurarse que la tuerca no está apretada con exceso, ya que podría eliminar el juego interno del rodamiento y provocar un fallo prematuro. Se entrega una arandela que evita que la tuerca "se desplace" cuando una de las aletas coincide con la muesca correspondiente en la tuerca. (consulte a continuación las instrucciones de adaptación).

Los pares de apriete recomendados para las tuercas se indican en la página 18.



Fijación de la conicidad del manguito

Ensamar las unidades del manguito adaptador Self-Lube®

1. En primer lugar ubique el alojamiento Self-Lube® al equipo y retire cualquier resto de aceite o grasa del eje y en el diámetro interno del manguito.
2. Coloque el eje en la unidad y apriete la tuerca con las manos. Si el grupo de manguitos gira en el eje presione el manguito del rodamiento para conseguir una adherencia positiva. Apriete la tuerca hasta el valor de par recomendado indicado en la página 18.
3. Si no dispone de una llave de tuercas de par, puede utilizar un punzón *despuntado* y un martillo *pequeño* para apretar la tuerca.
4. Compruebe que el rodamiento gira libremente, para asegurarse de que el juego interno no se ha eliminado totalmente y que ha evitado la precarga.
5. Finalmente, fije la tuerca con la aleta adecuada en la arandela de bloqueo. Apriete ligeramente la tuerca si es necesario pero nunca la afloja.
6. Después de 100 horas de funcionamiento es aconsejable comprobar si la tuerca está bien apretada.

Rosca del tornillo de apriete y pares de apriete

Rosca y tamaño del tornillo de apriete

| Referencia del inserto del rodamiento básico | Serie | | | |
|--|---|--|---|--|
| | 1000G, 1100, 1200G, 1300 | | 1000DECG, 1100DEC, 1200ECG, 1300EC | |
| | Diámetros del anillo interior en pulgadas | Diámetros del anillo interior en sistema métrico | Diámetros del anillo interior en pulgadas | Diámetros del anillo interior en sistema métrico |
| 1017 | 1/4UNF | M6 x 0.75 | 1/4UNF | M6 x 0.75 |
| 1020 | 1/4UNF | M6 x 0.75 | 1/4UNF | M6 x 0.75 |
| 1025 | 1/4UNF | M6 x 0.75 | 1/4UNF | M6 x 0.75 |
| 1030 | 1/4UNF | M6 x 0.75 | 5/16UNF | M8 x 1.00 |
| 1035 | 5/16UNF | M8 x 1.00 | 5/16UNF | M8 x 1.00 |
| 1040 | 5/16UNF | M8 x 1.00 | 3/8UNF | M10 x 1.25 |
| 1045 | 5/16UNF | M8 x 1.00 | 3/8UNF | M10 x 1.25 |
| 1050 | 3/8UNF | M10 x 1.25 | 3/8UNF | M10 x 1.25 |
| 1055 | 3/8UNF | M10 x 1.25 | 3/8UNF | M10 x 1.25 |
| 1060 | 3/8UNF | M10 x 1.25 | 3/8UNF | M10 x 1.25 |
| 1065 | 3/8UNF | M10 x 1.25 | 3/8UNF | M10 x 1.25 |
| 1070 | 7/16UNF | M12 x 1.50 | 3/8UNF | M10 x 1.25 |
| 1075 | 7/16UNF | M12 x 1.50 | 3/8UNF | M10 x 1.25 |
| 1080 | 7/16UNF | M12 x 1.50 | — | — |
| 1085 | 7/16UNF | M12 x 1.50 | — | — |
| 1090 | 1/2UNF | M12 x 1.50 | — | — |
| 3095 | 5/8UNF | M16 x 1.50 | — | — |

Pares de apriete de los tornillos de apriete y cargas axiales máximas

| Tamaño del tornillo de apriete | Tamaño de la llave Allen (entre planos) | Par de apriete máximo recomendado | | Carga axial máxima del tornillo de apriete | |
|--------------------------------|---|-----------------------------------|---------------------------|--|------------------|
| | | newton metros (Nm) | libras de fuerza-pulgadas | newtons (N) | libras de fuerza |
| 1/4UNF | 1/8" | 6.8 | 60 | 2500 | 560 |
| 5/16UNF | 5/32" | 12.4 | 110 | 3500 | 785 |
| 3/8UNF | 3/16" | 22.6 | 200 | 4500 | 1010 |
| 7/16UNF | 7/32" | 31.6 | 280 | 7500 | 1685 |
| 1/2UNF | 1/4" | 45.2 | 400 | 9000 | 2025 |
| M6 x 0.75 | 3mm | 5.7 | 50 | 2500 | 560 |
| M8 x 1.00 | 4mm | 12.4 | 110 | 3500 | 785 |
| M10 x 1.25 | 5mm | 27.1 | 240 | 5000 | 1235 |
| M12 x 1.50 | 6mm | 38.4 | 340 | 8000 | 1800 |

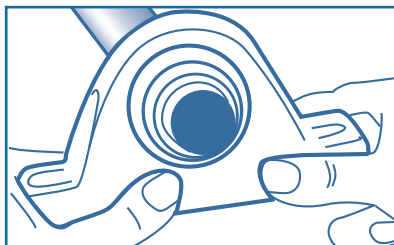
Nota: Para cargas axiales superiores a los valores de la lista es recomendable utilizar un eje fijo en la cara del anillo interior.

Pares de apriete recomendados para las unidades de manguito adaptador

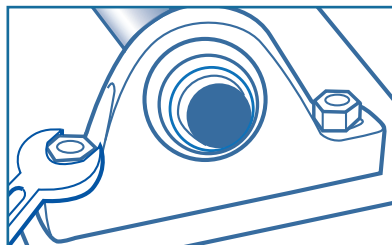
| Tamaño del diámetro interno del manguito | Pares de apriete | |
|--|------------------|---------------------------|
| | Nm | libras de fuerza-pulgadas |
| 20mm, 3/4" | 30 | 265 |
| 25mm, 1 5/16", 1" | 40 | 355 |
| 30mm, 1 1/8", 1 3/16" | 50 | 440 |
| 35mm, 1 1/4", 1 3/8" | 60 | 530 |
| 40mm, 1 7/16", 1 1/2" | 65 | 575 |
| 45mm, 1 11/16", 1 3/4" | 75 | 660 |
| 50mm, 1 15/16", 2" | 85 | 750 |

Instrucciones de ensamblaje para las unidades de rodamiento Self-Lube®

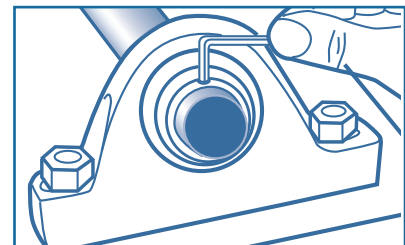
Unidades de fijación de tornillos de apriete Self-Lube®



1. Retire los tornillos de apriete del diámetro interno y deslice el rodamiento a través del eje.

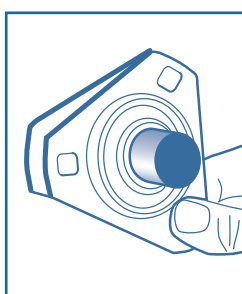


2. Apriete la unidad en una superficie plana pero no la apriete excesivamente.

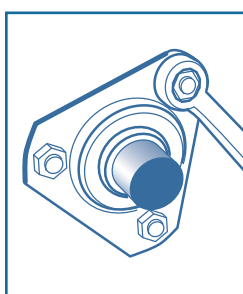


3. Apriete los tornillos de fijación hasta al par recomendado.

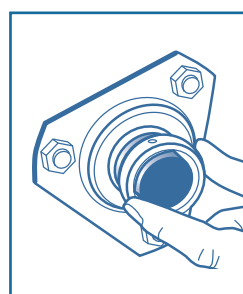
Unidades de ajuste de bloqueo de collarín excéntrico Self-Lube®



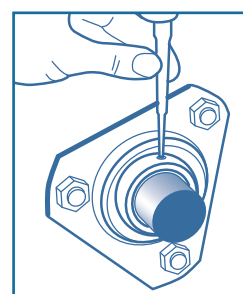
1. Ensamble el rodamiento y el alojamiento y deslícelos por el eje. No ensamble el collarín.



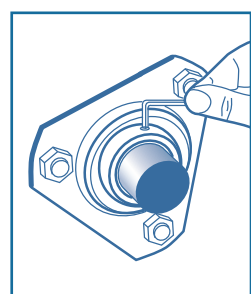
2. Apriete ligeramente los tornillos, repítalo al otro extremo del eje y finalmente apriete los tornillos en ambos lados.



3. Coloque el collarín excéntrico en la dirección de la rotación del eje.



4. Apriete el collarín con un punzón y un martillo pequeño.



5. Apriete los tornillos de fijación del collarín hasta al par recomendado.

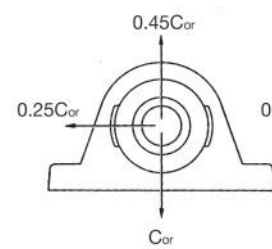
Cargas máximas recomendadas de los alojamientos estáticos

Las cargas máximas se indican en forma de porcentaje con respecto del índice de carga estática (C_{or}) del inserto del rodamiento. Cuando el valor de la carga axial es mayor al valor de la carga máxima de contención del tornillo de apriete que aparece en la página 18, debe colocarse un tope en el eje contra la cara del anillo interior.

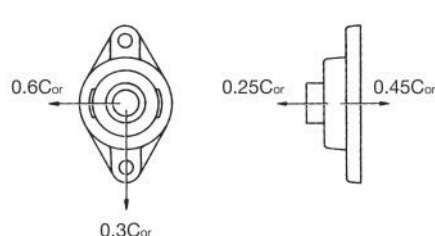
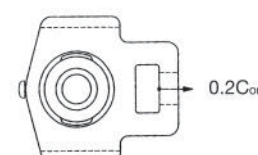
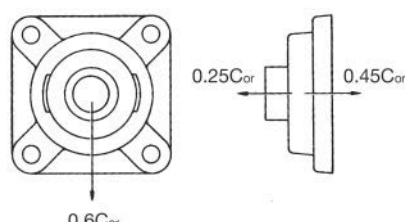
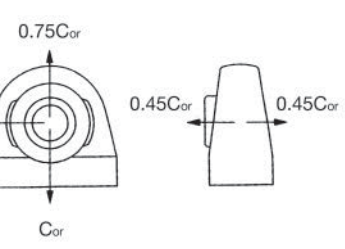
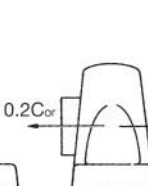
En condiciones de cargas de choque deben aplicarse factores de seguridad.

Límites de resistencia del alojamiento

Cargas radiales



Cargas axiales



Tolerancias y velocidades

Tolerancias del diámetro interno del anillo interior - Tipos de tornillos de apriete y de collarines excéntricos

| Diámetro nominal del anillo interior d | | | | Tolerancias | | | |
|--|--------|-------------------|--------|-------------|------|------|------|
| mm más de | hasta | pulgada más de | hasta | alta | baja | alta | baja |
| 10 | 18 | 0.3937 | 0.7087 | +15 | 0 | +6 | 0 |
| 18 | 31.750 | 0.7087 | 1.2500 | +18 | 0 | +7 | 0 |
| 31.750 | 50.800 | 1.2500 | 2.0000 | +21 | 0 | +8 | 0 |
| 50.800 | 80 | 2.0000 | 3.1496 | +24 | 0 | +9 | 0 |
| 80 | 100 | 3.1496 | 3.9370 | +28 | 0 | +11 | 0 |

Tolerancias del diámetro externo del anillo exterior

| Diámetro nominal externo d | | Tolerancias | | | |
|----------------------------|-------|-----------------------------|-----------------------------|-------------------------------------|-------------------------------------|
| mm más de | hasta | unidades en 0.001mm alta | unidades en 0.001mm baja | unidades en 0.0001 pulgadas alta | unidades en 0.0001 pulgadas baja |
| 30 | 50 | 0 | -11 | 0 | -4 |
| 50 | 80 | 0 | -13 | 0 | -5 |
| 80 | 120 | 0 | -15 | 0 | -6 |
| 120 | 150 | 0 | -18 | 0 | -7 |
| 150 | 180 | 0 | -25 | 0 | -10 |
| 180 | 250 | 0 | -30 | 0 | -12 |

Tolerancias de alojamiento para insertos de diámetro externo paralelo - series 1100, 1100DEC, 1300 y 1300EC

| Diámetro interno nominal alojamiento | Anillo exterior estacionario | | | | Anillo exterior giratorio | | | |
|---|-----------------------------------|-----------------------------|-------------------------------------|-------------------------------------|-----------------------------------|-----------------------------|-------------------------------------|-------------------------------------|
| | Tolerancia del alojamiento ISO H7 | | Tolerancia del alojamiento ISO N7 | | Tolerancia del alojamiento ISO H7 | | Tolerancia del alojamiento ISO N7 | |
| | unidades en 0.001mm alta | unidades en 0.001mm baja | unidades en 0.0001 pulgadas alta | unidades en 0.0001 pulgadas baja | unidades en 0.001mm alta | unidades en 0.001mm baja | unidades en 0.0001 pulgadas alta | unidades en 0.0001 pulgadas baja |
| 40 | +25 | 0 | +10 | 0 | -8 | -33 | -3 | -13 |
| 47 | +25 | 0 | +10 | 0 | -8 | -33 | -3 | -13 |
| 52 | +30 | 0 | +12 | 0 | -9 | -39 | -4 | -15 |
| 62 | +30 | 0 | +12 | 0 | -9 | -39 | -4 | -15 |
| 72 | +30 | 0 | +12 | 0 | -9 | -39 | -4 | -15 |
| 80 | +30 | 0 | +12 | 0 | -9 | -39 | -4 | -15 |
| 85 | +35 | 0 | +14 | 0 | -10 | -45 | -4 | -18 |
| 90 | +35 | 0 | +14 | 0 | -10 | -45 | -4 | -18 |
| 100 | +35 | 0 | +14 | 0 | -10 | -45 | -4 | -18 |
| 110 | +35 | 0 | +14 | 0 | -10 | -45 | -4 | -18 |
| 120 | +35 | 0 | +14 | 0 | -10 | -45 | -4 | -18 |
| 125 | +40 | 0 | +16 | 0 | -12 | -52 | -5 | -20 |
| 130 | +40 | 0 | +16 | 0 | -12 | -52 | -5 | -20 |
| 140 | +40 | 0 | +16 | 0 | -12 | -52 | -5 | -20 |
| 150 | +40 | 0 | +16 | 0 | -12 | -52 | -5 | -20 |
| 160 | +40 | 0 | +16 | 0 | -12 | -52 | -5 | -20 |

Tolerancias de eje y velocidades permisibles

| Inserto rodam. básico | Diámetro del eje | | Cargas altas - altas velocidades | | | | | Aplicaciones normales | | | | | Cargas ligeras - velocidades bajas | | | |
|-----------------------|---|------|----------------------------------|------|---|------|------|-----------------------|------|---|------|------|------------------------------------|------|---|------|
| | | | Vel. máxima rev/min | | Tolerancia del eje ISO h6 unidades en 0.001mm | | | Vel. máxima rev/min | | Tolerancia del eje ISO h7 unidades en 0.001mm | | | Vel. máxima rev/min | | Tolerancia del eje ISO h9 unidades en 0.001mm | |
| | mm pulg. | | alta | baja | alta | baja | | alta | baja | alta | baja | | alta | baja | alta | baja |
| 1017 | 12-17 $\frac{1}{2}$ - $\frac{11}{16}$ | 7000 | 0 | -11 | 0 | -4 | 5000 | 0 | -18 | 0 | -7 | 2000 | 0 | -43 | 0 | -17 |
| 1020 | 20 $\frac{3}{4}$ | 6700 | 0 | -13 | 0 | -5 | 4200 | 0 | -21 | 0 | -8 | 1700 | 0 | -52 | 0 | -20 |
| 1025 | 25 $\frac{13}{16}$ -1 | 6250 | 0 | -13 | 0 | -5 | 3600 | 0 | -21 | 0 | -8 | 1350 | 0 | -52 | 0 | -20 |
| 1030 | 25-30 $\frac{7}{8}$ - $1\frac{1}{4}$ | 5300 | 0 | -13 | 0 | -5 | 3100 | 0 | -21 | 0 | -8 | 1100 | 0 | -52 | 0 | -20 |
| 1035 | 30-35 $1\frac{1}{8}$ - $1\frac{7}{16}$ | 4500 | 0 | -16 | 0 | -6 | 2700 | 0 | -25 | 0 | -10 | 900 | 0 | -62 | 0 | -24 |
| 1040 | 35-40 $1\frac{3}{8}$ - $1\frac{9}{16}$ | 4000 | 0 | -16 | 0 | -6 | 2400 | 0 | -25 | 0 | -10 | 750 | 0 | -62 | 0 | -24 |
| 1045 | 40-45 $1\frac{1}{2}$ - $1\frac{3}{4}$ | 3700 | 0 | -16 | 0 | -6 | 2200 | 0 | -25 | 0 | -10 | 600 | 0 | -62 | 0 | -24 |
| 1050 | 45-50 $1\frac{5}{8}$ -2 | 3400 | 0 | -16 | 0 | -6 | 1950 | 0 | -25 | 0 | -10 | 500 | 0 | -62 | 0 | -24 |
| 1055 | 50-55 $1\frac{7}{8}$ - $2\frac{3}{16}$ | 3100 | 0 | -19 | 0 | -7 | 1800 | 0 | -30 | 0 | -12 | 450 | 0 | -74 | 0 | -29 |
| 1060 | 55-60 $2\frac{1}{8}$ - $2\frac{7}{16}$ | 2800 | 0 | -19 | 0 | -7 | 1600 | 0 | -30 | 0 | -12 | 400 | 0 | -74 | 0 | -29 |
| 1065 | 65 $2\frac{1}{2}$ | 2600 | 0 | -19 | 0 | -7 | 1500 | 0 | -30 | 0 | -12 | 350 | 0 | -74 | 0 | -29 |
| 1070 | 60-70 $1\frac{7}{16}$ - $2\frac{11}{16}$ | 2450 | 0 | -19 | 0 | -7 | 1400 | 0 | -30 | 0 | -12 | 300 | 0 | -74 | 0 | -29 |
| 1075 | 65-75 $2\frac{11}{16}$ - $2\frac{15}{16}$ | 2300 | 0 | -19 | 0 | -7 | 1300 | 0 | -30 | 0 | -12 | 280 | 0 | -74 | 0 | -29 |
| 1080 | 75-80 $2\frac{15}{16}$ - $3\frac{1}{4}$ | 2150 | 0 | -19 | 0 | -7 | 1200 | 0 | -30 | 0 | -12 | 250 | 0 | -74 | 0 | -29 |
| 1085 | 80-85 $3\frac{3}{16}$ - $3\frac{7}{16}$ | 2000 | 0 | -22 | 0 | -9 | 1100 | 0 | -35 | 0 | -14 | 220 | 0 | -87 | 0 | -34 |
| 1090 | 85-90 $3\frac{7}{16}$ - $3\frac{1}{2}$ | 1900 | 0 | -22 | 0 | -9 | 1050 | 0 | -35 | 0 | -14 | 200 | 0 | -87 | 0 | -34 |
| 3095 | 95-100 $3\frac{15}{16}$ -4 | 1600 | 0 | -22 | 0 | -9 | 1000 | 0 | -35 | 0 | -14 | 180 | 0 | -87 | 0 | -34 |

Para la mayoría de aplicaciones, la fijación del tornillo de apriete estándar es más que suficiente. Siempre que se utilicen unidades de collarín excéntrico es recomendable adoptar las tolerancias de eje de la columna de cargas altas. Siempre que se utilicen disposiciones de fijación de adaptador de conicidad del manguito, debe adoptarse la columna de cargas ligeras. Cuando las condiciones de funcionamiento son muy severas (por ejemplo, en caso de vibraciones o impactos fuertes) es posible que sea necesario aplicar un ligero ajuste de interferencia entre el eje y el diámetro del rodamiento.

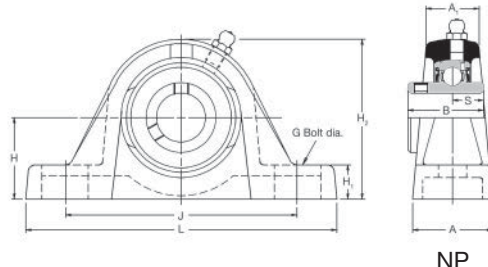
Tolerancias de alojamiento para unidades de rodamiento - series FC, MFC, SLC y MSC

| Referencia de la unidad de rodamiento | Tolerancia del alojamiento | |
|---------------------------------------|----------------------------|-----------------------|
| | Alojamiento estacionario | Alojamiento giratorio |
| SLC MSC | ISO H7 | ISO N7 |
| FC MFC | ISO H7 | ISO H7 |

Tablas de rodamientos Self-Lube®

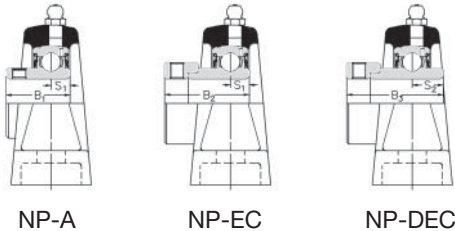
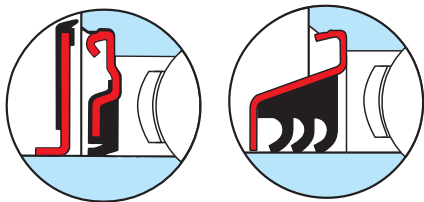


Unidades de hierro fundido tipo puente Self-Lube® Serie NP



| Diámetro del eje mm pulg. | Designación RHP | Inserto rodam. básico | Grupo de fundición | Dimensiones (mm) | | | | | Centros del perno | | | |
|------------------------------------|--|--|---|---|-------|-------|-------|-------------------|-------------------|-------|-------|-------|
| | | | | L | H | H1 | H2 | J _{máx.} | J _{mín.} | | | |
| 12 15 16 17 1/2 5/8 | NP12 NP15 NP16 NP17 NP1/2 NP5/8 | NP12EC NP15EC NP16EC NP17EC NP1/2EC NP5/8EC | 1017 | 1 | 126.5 | 30.20 | 14.2 | 57.2 | 100.5 | 85.5 | | |
| 20 3/4 | NP20 NP | NP20A NP3/4A | NP20EC NP3/4EC | NP20DEC NP3/4DEC | 1020 | 2 | 127.0 | 33.30 | 14.0 | 65.2 | 100.5 | 88.5 |
| 25 7/8 15/16 1 | NP25 NP7/8 NP15/16 NP1 | NP25A NP1A | NP25EC NP7/8EC NP15/16EC NP1EC | NP25DEC NP7/8DEC NP15/16DEC NP1DEC | 1025 | 3 | 139.0 | 36.50 | 16.0 | 71.0 | 112.7 | 96.8 |
| 30 1 1/8 1 3/16 1 1/4 | NP30 NP1 1/8 NP1 3/16 NP1 1/4 | NP30A NP1 4AR | NP30EC NP1 1/8EC NP1 3/16EC NP1 1/4EC | NP30DEC NP1 1/8DEC NP1 3/16DEC NP1 1/4DEC | 1030 | 4 | 160.5 | 42.90 | 17.7 | 82.7 | 129.5 | 108.5 |
| 35 1 1/4 1 3/8 1 7/16 | NP35 NP1 1/4 NP3/8 NP7/16 | NP35A NP1 1/4A | NP35EC NP1 1/4EC NP3/8EC NP7/16EC | NP35DEC NP1 1/4DEC NP3/8DEC NP7/16DEC | 1035 | 5 | 166.0 | 47.60 | 17.5 | 93.0 | 136.5 | 121.5 |
| 40 1 1/2 | NP40 NP1 1/2 | NP40A NP1 1/2A | NP40EC NP1 1/2EC | NP40DEC NP1 1/2DEC | 1040 | 6 | 180.5 | 49.20 | 18.5 | 98.5 | 148.0 | 127.0 |
| 45 1 5/8 1 11/16 1 3/4 | NP45 NP1 5/8 NP1 11/16 NP1 3/4 | NP45A NP1 3/4A | NP45EC NP1 5/8EC NP1 11/16EC NP1 3/4EC | NP45DEC NP1 5/8DEC NP1 11/16DEC NP1 3/4DEC | 1045 | 7 | 190.5 | 54.00 | 20.0 | 108.0 | 154.5 | 140.5 |
| 50 1 7/8 1 15/16 2 | NP50 NP1 7/8 NP1 15/16 NP2R | NP50A | NP50EC NP1 7/8EC NP1 15/16EC | NP50DEC NP1 7/8DEC NP1 15/16DEC NP2DECR | 1050 | 8 | 206.0 | 57.20 | 21.0 | 115.2 | 163.0 | 154.0 |
| 55 2 2 1/8 2 3/16 | NP55 NP2 NP2 1/8 NP2 3/16 | | | NP55DEC NP2DEC NP2 1/8DEC NP2 3/16DEC | 1055 | 9 | 219.5 | 63.50 | 24.8 | 129.5 | 178.5 | 162.5 |
| 60 2 1/4 2 3/8 2 7/16 | NP60 NP2 1/4 NP2 3/8 NP2 7/16 | | | NP60DEC NP2 1/4DEC NP2 3/8DEC NP2 7/16DEC | 1060 | 10 | 240.0 | 69.90 | 26.3 | 142.3 | 201.0 | 176.0 |

Consulte disponibilidad



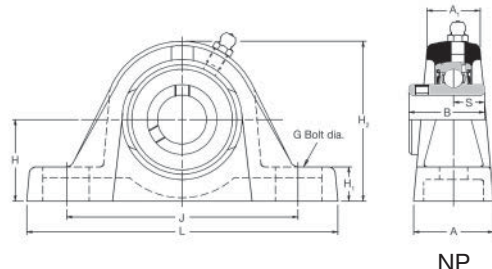
Los insertos de rodamiento con deflectores que se muestran en las páginas 91 y 92 pueden ensamblarse en estos alojamientos. La referencia de la unidad incluye el sufijo 'FS', por ejemplo, NP40FS.

Los insertos de rodamiento con sellados triples que se muestran de la página 88 a la 90 pueden ensamblarse en estos alojamientos. La referencia de la unidad incluye el prefijo 'T', por ejemplo, TNP25.

| | Dimensiones (mm) | | | | | | | | | | | Índices de capacidad de carga ISO | | Velocidad máxima recomendada | Masa (aprox.) |
|--|------------------|------|------|-------|-------|-------|-------|-------|-------|-------|---------------------|-----------------------------------|------|------------------------------|---------------|
| | G | A | A1 | B | B1 | B2 | B3 | S | s1 | s2 | dinámica Cr newtons | estática Cor newtons | | | |
| | 10 | 30.5 | 20.5 | 27.38 | – | 28.63 | – | 11.58 | 6.53 | – | 9550 | 4800 | 7000 | 0.5 | |
| | 10 | 32.5 | 22.5 | 31.00 | 25.80 | 31.03 | 43.73 | 12.73 | 7.53 | 17.13 | 12800 | 6650 | 6700 | 0.6 | |
| | 10 | 36.5 | 24.5 | 34.10 | 27.30 | 31.03 | 44.43 | 14.33 | 7.53 | 17.53 | 14000 | 7880 | 6250 | 0.7 | |
| | 12 | 41.5 | 27.5 | 38.10 | 31.20 | 35.73 | 48.43 | 15.93 | 9.03 | 18.33 | 19500 | 11300 | 5300 | 1.3 | |
| | 12 | 44.5 | 30.5 | 42.90 | 34.90 | 38.93 | 51.13 | 17.53 | 9.53 | 18.83 | 25700 | 15300 | 4500 | 1.7 | |
| | 12 | 51.0 | 34.5 | 49.20 | 41.20 | 43.73 | 56.33 | 19.03 | 11.03 | 21.43 | 32500 | 19900 | 4000 | 2.1 | |
| | 12 | 54.0 | 35.0 | 49.20 | 41.20 | 43.73 | 56.33 | 19.04 | 11.04 | 21.43 | 32500 | 20500 | 3700 | 2.8 | |
| | 16 | 55.0 | 36.0 | 51.60 | 43.50 | 43.73 | 62.73 | 19.04 | 11.04 | 24.64 | 35000 | 23200 | 3400 | 3.2 | |
| | 16 | 60.0 | 39.5 | 55.60 | – | – | 71.42 | 22.24 | – | 27.84 | 43500 | 29200 | 3100 | 4.0 | |
| | 16 | 70.0 | 46.0 | 65.10 | – | – | 77.84 | 25.44 | – | 31.04 | 48000 | 33000 | 2800 | 5.9 | |

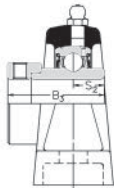
Unidades de hierro fundido tipo puente

Self-Lube® Serie NP (continuación)



| Diámetro del eje mm pulg. | Designación RHP | Inserto rodam. básico | Grupo de fundición | Dimensiones (mm) | | | | | Centros del perno | | |
|---|---|----------------------------------|--------------------|------------------|-------|--------|------|-------------------|-------------------|-------|--|
| | | | | L | H | H1 | H2 | J _{máx.} | J _{mín.} | | |
| 65 2½ | NP65 NP2½ | NP65DEC NP2½DEC | 1065 | 10/65 | 250.0 | 69.90 | 26.3 | 144.3 | 205.0 | 176.0 | |
| 70 2 ^{11/16} | NP70 NP2^{11/16} | NP70DEC | 1070 | 11 | 266.0 | 79.40 | 30.2 | 156.0 | 220.0 | 200.0 | |
| 75 2 ^{3/4} 2 ^{7/8} 2 ^{15/16} 3 | NP75 NP2^{3/4} NP2^{7/8} NP2^{15/16} NP3 | NP75DEC | 1075 | 12 | 275.0 | 82.60 | 28.0 | 164.0 | 228.0 | 206.0 | |
| 80 3 | NP80 NP3L | | 1080 | 13 | 291.0 | 88.90 | 30.0 | 174.0 | 241.0 | 214.0 | |
| 85 3 ^{1/4} 3 ^{3/8} | NP85 NP3^{1/4} NP3^{3/8} | | 1085 | 14 | 310.0 | 95.20 | 32.0 | 187.0 | 262.0 | 232.0 | |
| 90 3 ^{7/16} 3 ^{1/2} | NP90 NP3^{7/16} NP3^{1/2} | | 1090 | 15 | 327.0 | 101.60 | 36.0 | 200.0 | 280.0 | 244.0 | |

Consulte disponibilidad

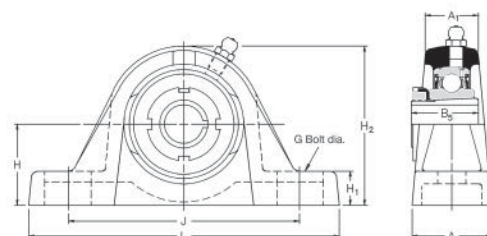


NP-DEC

| | Dimensiones (mm) | | | | | | | | | | Índices de capacidad de carga ISO | | Velocidad máxima recomendada | Masa (aprox.) |
|--|------------------|------|------|-------|----|----|-------|-------|----|-------|-----------------------------------|---------------------|------------------------------|---------------|
| | G | A | A1 | B | B1 | B2 | B3 | s | s1 | s2 | dinámica Cr newtons | estática Co newtons | | |
| | 16 | 70.0 | 45.0 | 65.10 | – | – | 85.74 | 25.44 | – | 34.14 | 57500 | 40000 | 2600 | 5.9 |
| | 24 | 72.0 | 47.0 | 74.60 | – | – | 85.74 | 30.24 | – | 34.14 | 61000 | 45000 | 2450 | 8.0 |
| | 24 | 74.0 | 48.0 | 77.80 | – | – | 92.14 | 33.34 | – | 37.34 | 66000 | 49500 | 2300 | 9.0 |
| | 24 | 78.0 | 56.0 | 82.60 | – | – | – | 33.34 | – | – | 71500 | 54500 | 2150 | 9.7 |
| | 24 | 83.0 | 56.0 | 85.70 | – | – | – | 34.15 | – | – | 83000 | 64000 | 2000 | 11.8 |
| | 24 | 88.0 | 62.0 | 96.00 | – | – | – | 39.74 | – | – | 96000 | 71500 | 1900 | 14.7 |

Unidades de hierro fundido tipo puente Self-Lube® con manguitos adaptadores

Serie NP1000-K



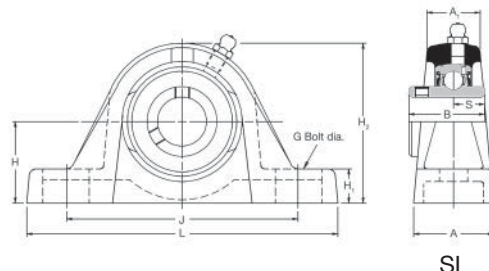
NP1000-K

| Diámetro del eje | Designación RHP de la unidad completa | Sólo manguito, tuerca y arandela | Unidad sin manguito, tuerca ni arandela | Inserto de fundición | Grupo rodam. básico | Dimensiones (mm) | | | | Centros del perno | |
|--|--|--|---|----------------------|---------------------|------------------|-------|------|-------|-------------------|-------------------|
| mm pulg. | | | | | | L | H | H1 | H2 | J _{máx.} | J _{mín.} |
| 20 $\frac{3}{4}$ | NP1025-20K NP1025-$\frac{3}{4}$K | H305 HE305-$\frac{3}{4}$ | NP1025K | 1025 | 3 | 139* | 36.50 | 16.0 | 71.0 | 112.7 | 96.8 |
| 25 $\frac{15}{16}$ 1 | NP1030-25K NP1030-$\frac{15}{16}$K NP1030-1K | H306 HE306-$\frac{15}{16}$ HE306-1 | NP1030K | 1030 | 4 | 160.5 | 42.90 | 17.7 | 82.7 | 129.5 | 108.5 |
| 30 $\frac{11}{8}$ $\frac{13}{16}$ | NP1035-30K NP1035-$\frac{11}{8}$K NP1035-$\frac{13}{16}$K | H307 HE307-$\frac{11}{8}$ HE307-$\frac{13}{16}$ | NP1035K | 1035 | 5 | 166.0 | 47.60 | 17.5 | 93.0 | 136.5 | 121.5 |
| 35 $\frac{11}{4}$ $\frac{13}{8}$ | NP1040-35K NP1040-$\frac{11}{4}$K NP1040-$\frac{13}{8}$K | H308 HE308-$\frac{11}{4}$ HE308-$\frac{13}{8}$ | NP1040K | 1040 | 6 | 180.5 | 49.20 | 18.5 | 98.5 | 148.0 | 127.0 |
| 40 $\frac{17}{16}$ 1 $\frac{1}{2}$ | NP1045-40K NP1045-$\frac{17}{16}$K NP1045-1$\frac{1}{2}$K | H309 HE309-$\frac{17}{16}$ HE309-1$\frac{1}{2}$ | NP1045K | 1045 | 7 | 190.5 | 54.00 | 20.0 | 108.0 | 154.5 | 140.5 |
| 45 $\frac{11}{16}$ $\frac{13}{4}$ | NP1050-45K NP1050-$\frac{11}{16}$K NP1050-$\frac{13}{4}$K | H310 HE310-$\frac{11}{16}$ HE310-$\frac{13}{4}$ | NP1050K | 1050 | 8 | 206.0 | 57.20 | 21.0 | 115.2 | 163.0 | 154.0 |
| 50 $\frac{15}{16}$ 2 | NP1055-50K NP1055-$\frac{15}{16}$K NP1055-2K | H311 HE311-$\frac{15}{16}$ HE311-2 | NP1055K | 1055 | 9 | 219.5 | 63.50 | 24.8 | 129.5 | 178.5 | 162.5 |

Consulte disponibilidad

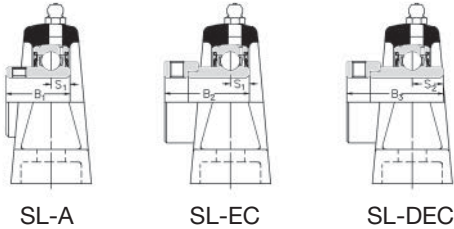
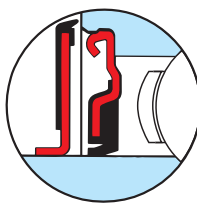
| | Dimensiones (mm) | | | | | Índices de capacidad de carga ISO | | Velocidad máxima recomendada | Masa (aprox.) |
|--|------------------|------|------|------|------|-----------------------------------|----------------------|------------------------------|---------------|
| | G | A | A1 | B5 | d4 | dinámica Cr newtons | estática Cor newtons | | |
| | 10 | 36.5 | 24.5 | 29.0 | 38.0 | 14000 | 7880 | 6250 | 0.7 |
| | 12 | 41.5 | 27.5 | 31.0 | 45.0 | 19500 | 11300 | 5300 | 1.3 |
| | 12 | 44.5 | 30.5 | 35.0 | 52.0 | 25700 | 15300 | 4500 | 1.7 |
| | 12 | 51.0 | 34.5 | 36.0 | 58.0 | 32500 | 19900 | 4000 | 2.1 |
| | 12 | 54.0 | 35.0 | 39.0 | 65.0 | 32500 | 20500 | 3700 | 2.8 |
| | 16 | 55.0 | 36.0 | 42.0 | 70.0 | 35000 | 23200 | 3400 | 3.2 |
| | 16 | 60.0 | 39.5 | 45.0 | 75.0 | 43500 | 29200 | 3100 | 4.0 |

Unidades de hierro fundido tipo puente Self-Lube® Serie SL



| Diámetro del eje | | Designación RHP | | | | Inserto rodam. básico | Grupo de fundición | Dimensiones (mm) | | | | Centros del perno | |
|--|---|--|--|---|--|-----------------------|--------------------|------------------|-------|------|-------|-------------------|-------------------|
| mm | pulg. | | | | | | | L | H | H1 | H2 | J _{máx.} | J _{mín.} |
| 12 15 16 17 $\frac{1}{2}$ $\frac{5}{8}$ | | SL12 SL15 SL16 SL17 SL$\frac{1}{2}$ SL$\frac{5}{8}$ | SL12EC SL15EC SL16EC SL17EC SL$\frac{1}{2}$EC SL$\frac{5}{8}$EC | | | 1017 | 1 | 119.0 | 26.97 | 11.0 | 54.0 | 91.5 | 85.5 |
| 20 | $\frac{3}{4}$ | SL20 SL$\frac{3}{4}$ | SL20A SL$\frac{3}{4}A$ | SL20EC SL$\frac{3}{4}$EC | SL20DEC SL$\frac{3}{4}$DEC | 1020 | 2 | 126.5 | 31.75 | 12.5 | 63.7 | 100.5 | 88.5 |
| 25 | $\frac{7}{8}$ $\frac{15}{16}$ 1 | SL25 SL$\frac{7}{8}$ SL$\frac{15}{16}$ SL1 | SL25A SL1A | SL25EC SL$\frac{7}{8}$EC SL$\frac{15}{16}$EC SL1EC | SL25DEC SL$\frac{7}{8}$DEC SL$\frac{15}{16}$DEC SL1DEC | 1025 | 3 | 139.0 | 33.32 | 12.8 | 67.8 | 110.2 | 98.2 |
| 30 | $1\frac{1}{8}$ $1\frac{3}{16}$ $1\frac{1}{4}$ | SL30 SL1$\frac{1}{8}$ SL1$\frac{3}{16}$ SL1$\frac{1}{4}R$ | SL30A SL1$\frac{1}{4}AR$ | SL30EC SL1$\frac{1}{8}$EC SL1$\frac{3}{16}$EC SL1$\frac{1}{4}$ECR | SL30DEC SL1$\frac{1}{8}$DEC SL1$\frac{3}{16}$DEC SL1$\frac{1}{4}$DECR | 1030 | 4 | 161.5 | 39.67 | 14.5 | 79.5 | 130.0 | 109.0 |
| 35 | $1\frac{1}{4}$ $1\frac{3}{8}$ $1\frac{7}{16}$ | SL35 SL1$\frac{1}{4}$ SL1$\frac{3}{8}$ SL1$\frac{7}{16}$ | SL35A SL1$\frac{1}{4}A$ | SL35EC SL1$\frac{1}{4}$EC SL1$\frac{3}{8}$EC SL1$\frac{7}{16}$EC | SL35DEC SL1$\frac{1}{4}$DEC SL1$\frac{3}{8}$DEC SL1$\frac{7}{16}$DEC | 1035 | 5 | 166.0 | 46.02 | 16.0 | 91.5 | 136.5 | 121.5 |
| 40 | $1\frac{1}{2}$ | SL40 SL1$\frac{1}{2}$ | SL40A SL1$\frac{1}{2}A$ | SL40EC SL1$\frac{1}{2}$EC | SL40DEC SL1$\frac{1}{2}$DEC | 1040 | 6 | 180.5 | 49.20 | 18.5 | 98.5 | 148.0 | 127.0 |
| 45 | $1\frac{5}{8}$ $1\frac{11}{16}$ $1\frac{3}{4}$ | SL45 SL1$\frac{5}{8}$ SL1$\frac{11}{16}$ SL1$\frac{3}{4}$ | SL45A SL1$\frac{3}{4}A$ | SL45EC SL1$\frac{5}{8}$EC SL1$\frac{11}{16}$EC SL1$\frac{3}{4}$EC | SL45DEC SL1$\frac{5}{8}$DEC SL1$\frac{11}{16}$DEC SL1$\frac{3}{4}$DEC | 1045 | 7 | 197.5 | 52.37 | 18.4 | 106.4 | 161.5 | 141.5 |
| 50 | $1\frac{7}{8}$ $1\frac{15}{16}$ 2 | SL50 SL1$\frac{7}{8}$ SL1$\frac{15}{16}$ SL2R | SL50A | SL50EC SL1$\frac{7}{8}$EC SL1$\frac{15}{16}$EC | SL50DEC SL1$\frac{7}{8}$DEC SL1$\frac{15}{16}$DEC SL2DECR | 1050 | 8 | 214.0 | 55.55 | 19.3 | 114.0 | 177.0 | 151.0 |
| 55 | 2 $2\frac{1}{8}$ $2\frac{3}{16}$ | SL55 SL2 SL2$\frac{1}{8}$ SL2$\frac{3}{16}$ | | | SL55DEC SL2DEC SL2$\frac{1}{8}$DEC SL2$\frac{3}{16}$DEC | 1055 | 9 | 219.5 | 61.90 | 23.2 | 128.0 | 178.5 | 162.5 |
| 60 | $2\frac{1}{4}$ $2\frac{3}{8}$ $2\frac{7}{16}$ | SL60 SL2$\frac{1}{4}$ SL2$\frac{3}{8}$ SL2$\frac{7}{16}$ | | | SL60DEC SL2$\frac{1}{4}$DEC SL2$\frac{3}{8}$DEC SL2$\frac{7}{16}$DEC | 1060 | 10 | 240.0 | 68.25 | 24.6 | 140.6 | 201.0 | 176.0 |
| 65 | $2\frac{1}{2}$ | SL65R SL2$\frac{1}{2}$ | | | SL2$\frac{1}{2}$DEC | 1065 | 10/65 | 250.0 | 68.25 | 24.6 | 142.6 | 205.0 | 176.0 |
| 70 | | SL65 SL70 SL75 SL2$\frac{1}{2}$ | | | SL65DEC SL70DEC SL75DEC SL2$\frac{1}{2}$DEC | 1075 | 11 | 286.0 | 82.55 | 28.0 | 165.5 | 241.5 | 200.5 |
| 75 | $2\frac{1}{16}$ $2\frac{3}{4}$ $2\frac{7}{8}$ $2\frac{15}{16}$ | SL70 SL75 SL2$\frac{1}{2}$ SL2$\frac{3}{4}$ SL2$\frac{7}{8}$ SL2$\frac{15}{16}$ | | | SL70DEC SL75DEC SL2$\frac{1}{2}$DEC SL2$\frac{3}{4}$DEC SL2$\frac{7}{8}$DEC SL2$\frac{15}{16}$DEC | | | | | | | | |

Consulte disponibilidad

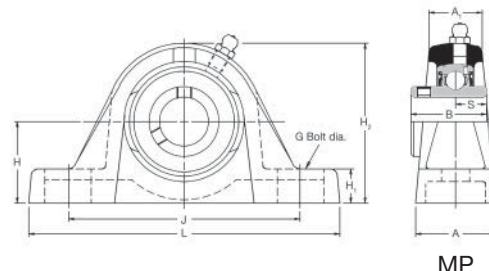


Los insertos de rodamiento con deflectores que se muestran en las páginas 91 y 92 pueden ensamblarse en estos alojamientos. La referencia de la unidad incluye el sufijo 'FS', por ejemplo, SL35FS.

Los insertos de rodamiento con sellados triples que se muestran de la página 88 a la 90 pueden ensamblarse en estos alojamientos. La referencia de la unidad incluye el prefijo 'T', por ejemplo, TSL35.

| | Dimensiones (mm) | | | | | | | | | | | Índices de capacidad de carga ISO | | Velocidad máxima recomendada | Masa (aprox.) |
|--|------------------|------|------|-------|-------|-------|-------|-------|-------|-------|---------------------|-----------------------------------|------|------------------------------|---------------|
| | G | A | A1 | B | B1 | B2 | B3 | S | s1 | s2 | dinámica Cr newtons | estática Cor newtons | | | |
| | 10 | 30.5 | 20.5 | 27.38 | — | 28.63 | — | 11.58 | 6.53 | — | 9550 | 4800 | 7000 | 0.5 | |
| | 10 | 32.0 | 22.5 | 31.00 | 25.80 | 31.03 | 43.73 | 12.73 | 7.53 | 17.13 | 12800 | 6650 | 6700 | 0.6 | |
| | 10 | 36.0 | 24.5 | 34.10 | 27.30 | 31.03 | 44.43 | 14.33 | 7.53 | 17.53 | 14000 | 7880 | 6250 | 0.7 | |
| | 12 | 41.0 | 27.5 | 38.10 | 31.20 | 35.73 | 48.43 | 15.93 | 9.03 | 18.33 | 19500 | 11300 | 5300 | 1.3 | |
| | 12 | 44.5 | 30.5 | 42.90 | 34.90 | 38.93 | 51.13 | 17.53 | 9.53 | 18.83 | 25700 | 15300 | 4500 | 1.7 | |
| | 12 | 51.0 | 34.5 | 49.20 | 41.20 | 43.73 | 56.33 | 19.03 | 11.03 | 21.43 | 32500 | 19900 | 4000 | 2.1 | |
| | 12 | 54.0 | 35.0 | 49.20 | 41.20 | 43.73 | 56.33 | 19.04 | 11.04 | 21.43 | 32500 | 20500 | 3700 | 3.0 | |
| | 12 | 55.0 | 36.0 | 51.60 | 43.50 | 43.73 | 62.73 | 19.04 | 11.04 | 24.64 | 35000 | 23200 | 3400 | 3.4 | |
| | 16 | 60.0 | 39.5 | 55.60 | — | — | 71.42 | 22.24 | — | 27.84 | 43500 | 29200 | 3100 | 4.0 | |
| | 16 | 70.0 | 46.0 | 65.10 | — | — | 77.84 | 25.44 | — | 31.04 | 48000 | 33000 | 2800 | 6.1 | |
| | 16 | 70.0 | 45.0 | 65.10 | — | — | 85.74 | 25.44 | — | 34.14 | 57500 | 40000 | 2600 | 6.2 | |
| | 20 | 74.0 | 47.5 | 77.80 | — | — | 92.14 | 33.34 | — | 37.34 | 66000 | 49500 | 2300 | 11.6 | |

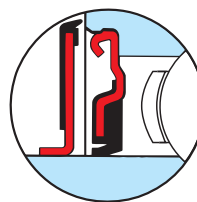
Unidades de hierro fundido tipo puente Self-Lube® Serie MP



MP

| Diámetro del eje | Designación RHP | Inserto rodam. básico | Grupo de fundición | Dimensiones (mm) | | | | | Centros del perno | |
|--|--|-----------------------|--------------------|------------------|--------|------|-------|-------------------|-------------------|--|
| mm pulg. | | | | L | H | H1 | H2 | J _{máx.} | J _{mín.} | |
| 25 1 | MP25 MP1 | 1030 | 1 | 160.5 | 44.45 | 19.3 | 84.3 | 127.5 | 108.5 | |
| 30 $1\frac{3}{16}$ $1\frac{1}{4}$ | MP30 MP1$\frac{3}{16}$ MP1$\frac{1}{4}$ | 1035 | 2 | 166.0 | 47.60 | 17.5 | 93.0 | 136.5 | 121.5 | |
| 35 $1\frac{3}{8}$ $1\frac{7}{16}$ | MP35 MP1$\frac{3}{8}$ MP1$\frac{7}{16}$ | 1040 | 3 | 203.2 | 53.98 | 23.0 | 107.5 | 160.0 | 135.0 | |
| 40 $1\frac{1}{2}$ | MP40 MP1$\frac{1}{2}$ | 1045 | 4 | 222.2 | 58.72 | 22.5 | 116.7 | 172.5 | 145.0 | |
| 45 $1\frac{11}{16}$ $1\frac{3}{4}$ | MP45 MP1$\frac{11}{16}$ MP1$\frac{3}{4}$ | 1050 | 5 | 222.2 | 58.72 | 22.5 | 116.7 | 172.5 | 145.0 | |
| 50 $1\frac{7}{8}$ $1\frac{5}{16}$ 2 | MP50 MP1$\frac{7}{8}$ MP1$\frac{15}{16}$ MP2 | 1055 | 6 | 219.5 | 63.50 | 24.8 | 129.5 | 178.5 | 162.5 | |
| 55 $2\frac{3}{16}$ $2\frac{1}{4}$ | MP55 MP2$\frac{3}{16}$ MP2$\frac{1}{4}$ | 1060 | 7 | 249.5 | 69.85 | 26.2 | 142.2 | 201.0 | 179.0 | |
| 60 65 $2\frac{7}{16}$ $2\frac{1}{2}$ | MP60 MP65 MP2$\frac{7}{16}$ MP2$\frac{1}{2}$ | 1070 | 8 | 266.0 | 76.20 | 27.0 | 153.0 | 224.5 | 189.5 | |
| 65 70 $2\frac{11}{16}$ $2\frac{3}{4}$ | MP65 MP70 MP2$\frac{11}{16}$ MP2$\frac{3}{4}$ | 1075 | 9 | 330.2 | 88.90 | 28.6 | 177.8 | 255.6 | 206.0 | |
| 75 $2\frac{15}{16}$ 3 | MP75 MP2$\frac{15}{16}$ MP3 | 1080 | 10 | 330.2 | 88.90 | 31.8 | 184.2 | 255.6 | 228.0 | |
| 80 $3\frac{3}{16}$ $3\frac{1}{4}$ | MP80 MP3$\frac{3}{16}$ MP3$\frac{1}{4}$ | 1085 | 11 | 381.0 | 101.60 | 31.8 | 203.2 | 317.5 | 260.0 | |
| 85 90 $3\frac{7}{16}$ $3\frac{1}{2}$ | MP85 MP90 MP3$\frac{7}{16}$ MP3$\frac{1}{2}$ | 1090 | 12 | 381.0 | 101.60 | 33.3 | 209.6 | 319.1 | 246.1 | |
| 95 100 $3\frac{15}{16}$ 4 | MP95 MP100 MP3$\frac{15}{16}$ MP4 | 3095 | 13 | 431.8 | 127.00 | 33.3 | 254.0 | 371.5 | 301.6 | |

Consulte disponibilidad

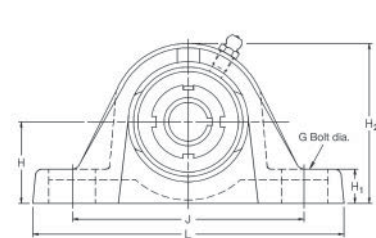


Los insertos de rodamiento con deflectores que se muestran en las páginas 91 y 92 pueden ensamblarse en estos alojamientos. La referencia de la unidad incluye el sufijo 'FS', por ejemplo, MP40FS.

Los insertos de rodamiento con sellados triples que se muestran de la página 88 a la 90 pueden ensamblarse en estos alojamientos. La referencia de la unidad incluye el prefijo 'T', por ejemplo, TMP40.

| | Dimensiones (mm) | | | | | Índices de capacidad de carga ISO | | Velocidad máxima recomendada | Masa (aprox.) |
|--|------------------|-------|-------|--------|-------|-----------------------------------|----------------------|------------------------------|---------------|
| | G | A | A1 | B | S | dinámica Cr newtons | estática Cor newtons | | |
| | 12 | 41.5 | 27.5 | 38.10 | 15.93 | 19500 | 11300 | 5300 | 1.3 |
| | 12 | 44.5 | 30.5 | 42.90 | 17.53 | 25700 | 15300 | 4500 | 1.7 |
| | 12 | 57.0 | 40.5 | 49.20 | 19.03 | 32500 | 19900 | 4000 | 2.7 |
| | 16 | 60.0 | 39.5 | 49.20 | 19.04 | 32500 | 20500 | 3700 | 3.2 |
| | 16 | 60.0 | 39.5 | 51.60 | 19.04 | 35000 | 23200 | 3400 | 3.2 |
| | 16 | 60.0 | 39.5 | 55.60 | 22.24 | 43500 | 29200 | 3100 | 4.0 |
| | 20 | 69.5 | 46.00 | 65.10 | 25.44 | 48000 | 33000 | 2800 | 7.1 |
| | 20 | 72.0 | 47.0 | 74.60 | 30.24 | 61000 | 45000 | 2450 | 9.3 |
| | 24 | 88.9 | 66.7 | 77.80 | 33.34 | 66000 | 49500 | 2300 | 13.4 |
| | 24 | 88.9 | 66.7 | 82.60 | 33.34 | 71500 | 54500 | 2150 | 14.3 |
| | 24 | 101.6 | 68.3 | 85.70 | 34.15 | 83000 | 64000 | 2000 | 18.2 |
| | 24 | 111.1 | 79.4 | 96.00 | 39.74 | 96000 | 71500 | 1900 | 23.4 |
| | 24 | 120.6 | 98.4 | 117.48 | 49.31 | 157000 | 122000 | 1600 | 34.4 |

Unidades de hierro fundido tipo puente Self-Lube® con manguitos adaptadores Serie MP1000-K



MP 1000-K

| Diámetro del eje mm pulg. | Designación RHP de la unidad completa | Sólo manguito, tuerca y arandela | Unidad sin manguito, tuerca ni arandela | Rodam. básico | Inserto grupo fundición | Dimensiones (mm) | | | | Centros del perno | |
|--|---|---|---|---------------|-------------------------|------------------|-------|------|-------|-------------------|-------------------|
| | | | | | | L | H | H1 | H2 | J _{máx.} | J _{mín.} |
| 25 ^{15/16} 1 | MP1030-25K MP1030-15/16K MP1030-1K | H306 HE306-15/16 HE306-1 | MP1030K | 1030 | 1 | 160.5 | 44.45 | 19.3 | 87.4 | 127.5 | 108.5 |
| 30 ^{1 1/8} ^{1 3/16} | MP1035-30K MP1035-1 1/8K MP1035-1 3/16K | H307 HE307-1 1/8 HE307-1 3/16 | MP1035K | 1035 | 2 | 166.0 | 47.60 | 17.5 | 93.0 | 136.5 | 121.5 |
| 35 ^{1 1/4} ^{1 3/8} | MP1040-35K MP1040-1 1/4K MP1040-1 3/8K | HE308 HE308-1 1/4 HE308-1 3/8 | MP1040K | 1040 | 3 | 203.2 | 53.98 | 23.0 | 106.4 | 160.0 | 135.0 |
| 40 ^{1 7/16} ^{1 1/2} | MP1045-40K MP1045-1 7/16K MP1045-1 1/2K | HE309 HE309-1 7/16 HE309-1 1/2 | MP1045K | 1045 | 4 | 222.2 | 58.72 | 22.5 | 116.7 | 172.5 | 145.0 |
| 45 ^{1 11/16} ^{1 3/4} | MP1050-45K MP1050-1 11/16K MP1050-1 3/4K | HE310 HE310-1 11/16 HE310-2 | MP1050K | 1050 | 5 | 222.2 | 58.72 | 22.5 | 116.7 | 172.5 | 145.0 |
| 50 ^{1 15/16} 2 | MP1055-50K MP1055-1 15/16K MP1055-2K | H311 HE311-1 15/16 HE311-2 | MP1055K | 1055 | 6 | 219.5 | 63.50 | 24.8 | 129.5 | 178.5 | 162.5 |

Consulte disponibilidad

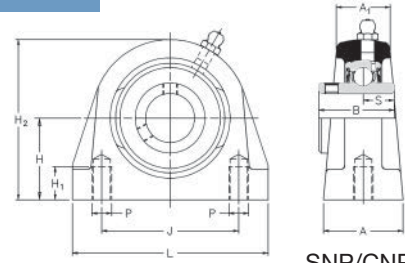
| | Dimensiones (mm) | | | | | Índices de capacidad de carga ISO | | Velocidad máxima recomendada | Masa (aprox.) |
|--|------------------|------|------|-------|-------|-----------------------------------|----------------------|------------------------------|---------------|
| | G | A | A1 | B5 | d4 | dinámica Cr newtons | estática Cor newtons | | |
| | 12 | 41.5 | 27.5 | 31.00 | 45.00 | 19500 | 11300 | 5300 | 1.3 |
| | 12 | 44.5 | 30.5 | 35.00 | 52.00 | 25700 | 15300 | 4500 | 1.7 |
| | 12 | 57.0 | 40.5 | 36.00 | 58.00 | 32500 | 19900 | 4000 | 2.7 |
| | 16 | 60.0 | 39.5 | 39.00 | 65.00 | 32500 | 20500 | 3700 | 3.2 |
| | 16 | 60.0 | 39.5 | 42.00 | 70.00 | 35000 | 23200 | 3400 | 3.2 |
| | 16 | 60.0 | 39.5 | 45.00 | 75.00 | 43500 | 29200 | 3100 | 4.0 |

Unidades de hierro fundido tipo puente con base corta Self-Lube®

Serie SNP (rosca métrica)

Serie CNP (rosca UNC)**

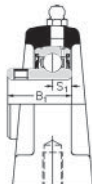
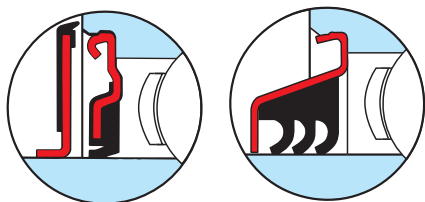
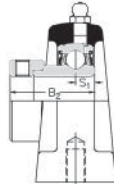
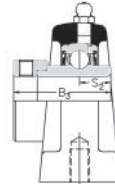
****Estas unidades son idénticas a las de la serie SNP,
excepto por algún detalle de la rosca**



SNP/CNP

| Diámetro del eje | Designación RHP | | | | | Inserto rodam. básico | Grupo de fundición | Dimensiones (mm) | | | | | Centros del perno | |
|--|---|---|--|---|----------------|-----------------------|--------------------|------------------|-------|------|-------|-------|-------------------|---|
| mm pulg. | | | | | | | | L | H | H1 | H2 | J | SNP | P |
| 20 $\frac{3}{4}$ | SNP20 SNP$\frac{3}{4}$A | SNP20A SNP$\frac{3}{4}$A | SNP20EC SNP$\frac{3}{4}$EC | SNP20DEC SNP$\frac{3}{4}$DEC | | 1020 | 2 | 65.0 | 33.30 | 13.5 | 65.8 | 50.8 | M8x1.25 | |
| 25 $\frac{7}{8}$ $\frac{15}{16}$ 1 | SNP25 SNP$\frac{7}{8}$ SNP$\frac{15}{16}$ SNP1 | SNP25A | SNP25EC SNP$\frac{7}{8}$EC SNP$\frac{15}{16}$EC | SNP25DEC SNP$\frac{7}{8}$DEC SNP$\frac{15}{16}$DEC | SNP1DEC | 1025 | 3 | 70.0 | 36.50 | 13.5 | 71.5 | 50.8 | M10x1.50 | |
| 30 $1\frac{1}{8}$ $1\frac{3}{16}$ $1\frac{1}{4}$ | SNP30 SNP$1\frac{1}{8}$ SNP$1\frac{3}{16}$ SNP$1\frac{1}{4}$R | SNP30A | SNP30EC SNP$1\frac{1}{8}$EC SNP$1\frac{3}{16}$EC | SNP30DEC SNP$1\frac{1}{8}$DEC SNP$1\frac{3}{16}$DEC | | 1030 | 4 | 96.0 | 42.90 | 16.5 | 83.9 | 76.2 | M10x1.50 | |
| 35 $1\frac{1}{4}$ $1\frac{3}{8}$ $1\frac{7}{16}$ | SNP35 SNP$1\frac{1}{4}$ SNP$1\frac{3}{8}$ SNP$1\frac{7}{16}$ | SNP35A SNP$1\frac{1}{4}$A | SNP35EC SNP$1\frac{1}{4}$EC SNP$1\frac{3}{8}$EC SNP$1\frac{7}{16}$EC | SNP35DEC SNP$1\frac{1}{4}$DEC SNP$1\frac{3}{8}$DEC SNP$1\frac{7}{16}$DEC | | 1035 | 5 | 110.0 | 47.60 | 19.5 | 95.6 | 82.6 | M10x1.50 | |
| 40 $1\frac{1}{2}$ | SNP40 SNP$1\frac{1}{2}$ | SNP40A SNP$1\frac{1}{2}$A | SNP40EC SNP$1\frac{1}{2}$EC | SNP40DEC SNP$1\frac{1}{2}$DEC | | 1040 | 6 | 118.0 | 49.20 | 19.5 | 101.7 | 88.9 | M12x1.75 | |
| 45 $1\frac{5}{8}$ $1\frac{11}{16}$ $1\frac{3}{4}$ | SNP45 SNP$1\frac{5}{8}$ SNP$1\frac{11}{16}$ SNP$1\frac{3}{4}$ | SNP45A | SNP45EC SNP$1\frac{5}{8}$EC SNP$1\frac{11}{16}$EC SNP$1\frac{3}{4}$EC | SNP45DEC SNP$1\frac{5}{8}$DEC SNP$1\frac{11}{16}$DEC SNP$1\frac{3}{4}$DEC | | 1045 | 7 | 127.0 | 54.00 | 19.5 | 110.0 | 95.3 | M12x1.75 | |
| 50 $1\frac{7}{8}$ $1\frac{15}{16}$ 2 | SNP50 SNP$1\frac{7}{8}$ SNP$1\frac{15}{16}$ SNP2R | SNP50A | SNP50EC SNP$1\frac{7}{8}$EC SNP$1\frac{15}{16}$EC | SNP50DEC SNP$1\frac{7}{8}$DEC SNP$1\frac{15}{16}$DEC | | 1050 | 8 | 135.0 | 57.20 | 23.5 | 115.0 | 101.6 | M16x2.00 | |
| 55 2 $2\frac{1}{8}$ $2\frac{3}{16}$ | SNP55 SNP2 SNP$2\frac{1}{8}$ SNP$2\frac{3}{16}$ | | SNP55DEC SNP2DEC SNP$2\frac{1}{8}$DEC SNP$2\frac{3}{16}$DEC | | | 1055 | 9 | 154.0 | 63.50 | 26.5 | 130.0 | 118.0 | M16x2.00 | |
| 60 $2\frac{1}{4}$ $2\frac{3}{8}$ $2\frac{7}{16}$ | SNP60 SNP$2\frac{1}{4}$ SNP$2\frac{3}{8}$ SNP$2\frac{7}{16}$ | | SNP60DEC SNP$2\frac{1}{4}$DEC SNP$2\frac{3}{8}$DEC SNP$2\frac{7}{16}$DEC | | | 1060 | 10 | 154.0 | 69.90 | 26.5 | 141.5 | 118.0 | M16x2.00 | |

Consulte disponibilidad

SNP-A
CNP-ASNP-EC
CNP-ECSNP-DEC
CNP-DEC

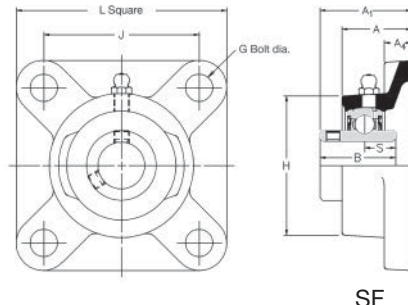
Los insertos de rodamiento con deflectores que se muestran en las páginas 91 y 92 pueden ensamblarse en estos alojamientos. La referencia de la unidad incluye el sufijo 'FS', por ejemplo, SNP25FS.

Los insertos de rodamiento con sellados triples que se muestran de la página de 88 a la 90 pueden ensamblarse en estos alojamientos. La referencia de la unidad incluye el prefijo 'T', por ejemplo, TSNP25.

| p | Dimensiones (mm) | | | | | | | | | | Índices de capacidad de carga ISO | | Velocidad máxima recomendada | Masa (aprox.) |
|---|------------------|------|------|-------|-------|-------|-------|-------|-------|-------|-----------------------------------|----------------------|------------------------------|---------------|
| | CNP | A | A1 | B | B1 | B2 | B3 | s | s1 | s2 | dinámica Cr newtons | estática Cor newtons | | |
| | 3/8-16UNC | 32.0 | 22.5 | 31.00 | 25.80 | 31.03 | 43.73 | 12.73 | 7.53 | 17.13 | 12800 | 6650 | 6700 | 0.9 |
| | 3/8-16UNC | 36.0 | 25.0 | 34.10 | 27.30 | 31.03 | 44.43 | 14.33 | 7.53 | 17.53 | 14000 | 7880 | 6250 | 1.2 |
| | 7/16-14UNC | 40.0 | 26.5 | 38.10 | 31.20 | 35.73 | 48.43 | 15.93 | 9.03 | 18.33 | 19500 | 11300 | 5300 | 1.8 |
| | 1/2-13UNC | 45.0 | 30.0 | 42.90 | 34.90 | 38.93 | 51.13 | 17.53 | 9.53 | 18.83 | 25700 | 15300 | 4500 | 2.4 |
| | 1/2-13UNC | 47.0 | 32.0 | 49.20 | 41.20 | 43.73 | 56.33 | 19.03 | 11.03 | 21.43 | 32500 | 19900 | 4000 | 2.8 |
| | 1/2-13UNC | 48.0 | 33.0 | 49.20 | 41.20 | 43.73 | 56.33 | 19.04 | 11.04 | 21.43 | 32500 | 20500 | 3700 | 3.5 |
| | 5/8-11UNC | 54.0 | 34.0 | 51.60 | 43.50 | 43.73 | 62.73 | 19.04 | 11.04 | 24.64 | 35000 | 23200 | 3400 | 3.3 |
| | 5/8-11UNC | 60.0 | 41.5 | 55.60 | — | — | 71.42 | 22.24 | — | 27.84 | 43500 | 29200 | 3100 | 4.0 |
| | 5/8-11UNC | 60.0 | 41.5 | 65.10 | — | — | 77.84 | 25.44 | — | 31.04 | 48000 | 33000 | 2800 | 4.6 |

Unidades de rodamiento tipo deflector de hierro fundido Self-Lube®

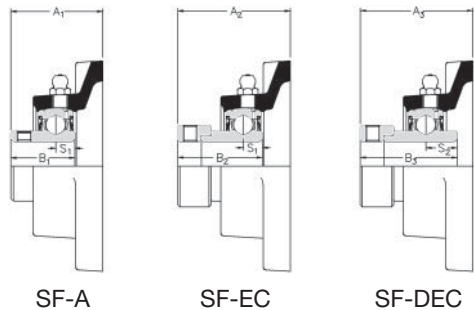
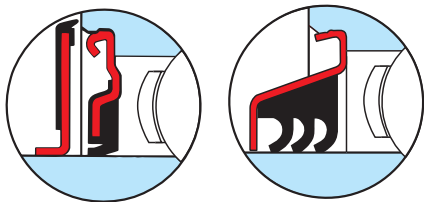
Serie SF



SF

| Diámetro del eje mm pulg. | Designación RHP | Inserto rodam. básico | Grupo de fundición | Dimensiones (mm) | | | | | | | | |
|---|---|--|---|---|------|-------|-------|-------|--------|-------|------|-------|
| | | | | L | H | J | G | A | A1 | | | |
| 12 15 16 17 $\frac{1}{2}$ $\frac{5}{8}$ | SF12 SF15 SF16 SF17 SF$\frac{1}{2}$ SF$\frac{5}{8}$ | SF12EC SF15EC SF16EC SF17EC SF$\frac{1}{2}$EC SF$\frac{5}{8}$EC | 1017 | 1 | 76.2 | 52.5 | 54.00 | 10 | 24.6 | 32.87 | | |
| 20 $\frac{3}{4}$ | SF20 SF$\frac{3}{4}$ | SF20A SF$\frac{3}{4}A$ | SF20EC SF$\frac{3}{4}$EC | SF20DEC SF$\frac{3}{4}$DEC | 1020 | 2 | 85.7 | 60.3 | 63.50 | 10 | 27.8 | 37.26 |
| 25 $\frac{7}{8}$ $\frac{15}{16}$ 1 | SF25 SF$\frac{7}{8}$ SF$\frac{15}{16}$ SF1 | SF25A SF1A | SF25EC SF$\frac{7}{8}$EC SF$\frac{15}{16}$EC SF30EC | SF25DEC SF$\frac{7}{8}$DEC SF$\frac{15}{16}$DEC SF1DEC | 1025 | 3 | 95.3 | 68.0 | 70.00 | 10 | 28.6 | 38.84 |
| 30 $1\frac{1}{8}$ $1\frac{3}{16}$ $1\frac{1}{4}$ | SF30 SF$1\frac{1}{8}$ SF$1\frac{3}{16}$ SF$1\frac{1}{4}R$ | SF30A SF$1\frac{1}{4}AR$ | SF1EC SF$1\frac{1}{8}$EC SF$1\frac{3}{16}$EC SF$1\frac{1}{4}$ECR | SF30DEC SF$1\frac{1}{8}$DEC SF$1\frac{3}{16}$DEC SF$1\frac{1}{4}$DEC | 1030 | 4 | 108.0 | 82.6 | 82.50 | 10 | 29.8 | 42.21 |
| 35 $1\frac{1}{4}$ $1\frac{3}{8}$ $1\frac{7}{16}$ | SF35 SF$1\frac{1}{4}$ SF$1\frac{3}{8}$ SF$1\frac{7}{16}$ | SF35A SF$1\frac{1}{4}A$ | SF35EC SF$1\frac{1}{4}$EC SF$1\frac{3}{8}$EC SF$1\frac{7}{16}$EC | SF35DEC SF$1\frac{1}{4}$DEC SF$1\frac{3}{8}$DEC SF$1\frac{7}{16}$DEC | 1035 | 5 | 117.5 | 95.3 | 92.00 | 12 | 31.4 | 46.41 |
| 40 $1\frac{1}{2}$ | SF40 SF$1\frac{1}{2}$ | SF40A SF$1\frac{1}{2}A$ | SF40EC SF$1\frac{1}{2}$EC | SF40DEC SF$1\frac{1}{2}$DEC | 1040 | 6 | 130.2 | 101.6 | 101.50 | 12 | 34.9 | 54.18 |
| 45 $1\frac{5}{8}$ $1\frac{11}{16}$ $1\frac{3}{4}$ | SF45 SF$1\frac{5}{8}$ SF$1\frac{11}{16}$ SF$1\frac{3}{4}$ | SF45A SF$1\frac{3}{4}A$ | SF45EC SF$1\frac{5}{8}$EC SF$1\frac{11}{16}$EC SF$1\frac{3}{4}$EC | SF45DEC SF$1\frac{5}{8}$DEC SF$1\frac{11}{16}$DEC SF$1\frac{3}{4}$DEC | 1045 | 7 | 136.5 | 111.1 | 105.00 | 16 | 35.3 | 54.18 |
| 50 $1\frac{7}{8}$ $1\frac{15}{16}$ 2 | SF50 SF$1\frac{7}{8}$ SF$1\frac{15}{16}$ SF2R | SF50A | SF50EC SF$1\frac{7}{8}$EC SF$1\frac{15}{16}$EC | SF50DEC SF$1\frac{7}{8}$DEC SF$1\frac{15}{16}$DEC | 1050 | 8 | 142.9 | 115.9 | 111.00 | 16 | 39.7 | 60.53 |
| 55 2 $2\frac{1}{8}$ $2\frac{3}{16}$ | SF55 SF2 SF$2\frac{1}{8}$ SF$2\frac{3}{16}$ | | SF55DEC SF2DEC SF$2\frac{1}{8}$DEC SF$2\frac{3}{16}$DEC | | 1055 | 9 | 161.9 | 127.0 | 130.00 | 16 | 43.7 | 64.31 |
| 60 $2\frac{1}{4}$ $2\frac{3}{8}$ $2\frac{7}{16}$ | SF60 SF$2\frac{1}{4}$ SF$2\frac{3}{8}$ SF$2\frac{7}{16}$ | | SF60DEC SF$2\frac{1}{4}$DEC SF$2\frac{3}{8}$DEC SF$2\frac{7}{16}$DEC | | 1060 | 10 | 174.5 | 138.1 | 143.00 | 16 | 47.6 | 73.69 |
| 65 $2\frac{1}{2}$ | SF65R SF$2\frac{1}{2}$ | | SF2$\frac{1}{2}$DEC | | 1065 | 10/65 | 174.5 | 149.5 | 143.00 | 16 | 47.6 | 73.69 |
| 65 70 $2\frac{5}{8}$ $2\frac{11}{16}$ | SF65 SF70 SF$2\frac{5}{8}$ SF$2\frac{11}{16}$ | | SF65DEC SF70DEC SF$2\frac{5}{8}$DEC SF$2\frac{11}{16}$DEC | | 1070 | 11 | 187.5 | 155.5 | 149.22 | 16 | 47.6 | 77.72 |
| 75 $2\frac{3}{4}$ $2\frac{1}{8}$ $2\frac{15}{16}$ 3 | SF75 SF$2\frac{3}{4}$ SF$2\frac{1}{8}$ SF$2\frac{15}{16}$ SF3 | | SF75DEC SF$2\frac{3}{4}$DEC SF$2\frac{1}{8}$DEC SF$2\frac{15}{16}$DEC | | 1075 | 12 | 196.5 | 158.5 | 152.40 | 20 | 51.3 | 80.90 |

Consulte disponibilidad



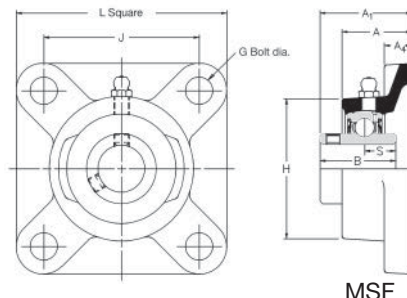
Los insertos de rodamiento con deflectores que se muestran en las páginas 91 y 92 pueden ensamblarse en estos alojamientos. La referencia de la unidad incluye el sufijo 'FS', por ejemplo, SF25FS.

Los insertos de rodamiento con sellados triples que se muestran de la páginas 88 a la 90 pueden ensamblarse en estos alojamientos. La referencia de la unidad incluye el prefijo 'T', por ejemplo, TSF25.

| | Dimensiones (mm) | | | | | | | | | | Índices de capacidad de carga ISO | | Velocidad máxima recomendada | Masa (aprox.) |
|--|------------------|-------|------|-------|-------|-------|-------|-------|-------|-------|-----------------------------------|----------------------|------------------------------|---------------|
| | A2 | A3 | A4 | B | B1 | B2 | B3 | S | s1 | s2 | dinámica Cr newtons | estática Cor newtons | rev/min | kg |
| | 39.01 | – | 9.5 | 27.38 | – | 28.63 | – | 11.58 | 6.53 | – | 9550 | 4800 | 7000 | 0.5 |
| | 42.42 | 45.54 | 11.1 | 31.00 | 25.80 | 31.03 | 43.73 | 12.73 | 7.53 | 17.13 | 12800 | 6650 | 6700 | 0.7 |
| | 42.42 | 45.95 | 11.1 | 34.10 | 27.30 | 31.03 | 44.43 | 14.33 | 7.53 | 17.53 | 14000 | 7880 | 6250 | 1.0 |
| | 46.66 | 50.90 | 12.7 | 38.10 | 31.20 | 35.73 | 48.43 | 15.93 | 9.03 | 18.33 | 19500 | 11300 | 5300 | 1.3 |
| | 50.34 | 53.31 | 12.7 | 42.90 | 34.90 | 38.93 | 51.13 | 17.53 | 9.53 | 18.83 | 25700 | 15300 | 4500 | 1.7 |
| | 56.52 | 58.90 | 12.7 | 49.20 | 41.20 | 43.73 | 56.33 | 19.03 | 11.03 | 21.43 | 32500 | 19900 | 4000 | 2.2 |
| | 56.62 | 58.90 | 14.3 | 49.20 | 41.20 | 43.73 | 56.33 | 19.03 | 11.03 | 21.43 | 32500 | 20500 | 3700 | 2.6 |
| | 60.60 | 66.07 | 14.3 | 51.60 | 43.50 | 43.73 | 62.73 | 19.04 | 11.04 | 24.64 | 35000 | 23200 | 3400 | 2.8 |
| | – | 74.57 | 17.5 | 55.60 | – | – | 71.42 | 22.24 | – | 27.84 | 43500 | 29200 | 3100 | 4.0 |
| | – | 80.77 | 17.5 | 65.10 | – | – | 77.84 | 25.44 | – | 31.04 | 48000 | 33000 | 2800 | 4.7 |
| | – | 80.77 | 18.0 | 65.10 | – | – | 85.74 | 25.44 | – | 34.14 | 57500 | 40000 | 2600 | 4.7 |
| | – | 84.86 | 18.0 | 74.60 | – | – | 85.74 | 30.24 | – | 34.14 | 61000 | 45000 | 2450 | 6.8 |
| | – | 91.21 | 23.0 | 77.80 | – | – | 92.14 | 33.34 | – | 37.34 | 66000 | 49500 | 2300 | 8.6 |

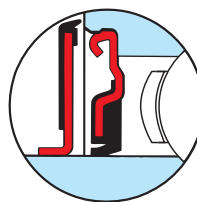
Unidades de rodamiento tipo deflector de hierro fundido Self-Lube®

Serie MSF



| Diámetro del eje mm pulg. | Designación RHP | Inserto rodam. básico | Grupo fundición | Dimensiones (mm) | | | |
|--|--|-----------------------|-----------------|------------------|-------|--------|--|
| | | | | L | H | J | |
| 25 1 | MSF25 MSF1 | 1030 | 1 | 108.0 | 82.6 | 82.50 | |
| 30 $1\frac{3}{16}$ $1\frac{1}{4}$ | MSF30 MSF1$\frac{3}{16}$ MSF1$\frac{1}{4}$ | 1035 | 2 | 117.5 | 95.3 | 92.00 | |
| 35 $1\frac{3}{8}$ $1\frac{7}{16}$ | MSF35 MSF1$\frac{3}{8}$ MSF1$\frac{7}{16}$ | 1040 | 3 | 130.2 | 101.6 | 101.50 | |
| 40 $1\frac{1}{2}$ | MSF40 MSF1$\frac{1}{2}$ | 1045 | 4 | 136.5 | 111.1 | 105.00 | |
| 45 $1\frac{11}{16}$ $1\frac{3}{4}$ | MSF45 MSF1$\frac{11}{16}$ MSF1$\frac{3}{4}$ | 1050 | 5 | 142.9 | 115.9 | 111.00 | |
| 50 $1\frac{7}{8}$ $1\frac{5}{16}$ 2 | MSF50 MSF1$\frac{7}{8}$ MSF1$\frac{15}{16}$ MSF2 | 1055 | 6 | 161.9 | 127.0 | 130.00 | |
| 55 $2\frac{3}{16}$ $2\frac{1}{4}$ | MSF55 MSF2$\frac{3}{16}$ MSF2$\frac{1}{4}$ | 1060 | 7 | 174.5 | 138.1 | 143.00 | |
| 60 $2\frac{7}{16}$ $2\frac{1}{2}$ | MSF60 MSF2$\frac{7}{16}$ MSF2$\frac{1}{2}$ | 1070 | 8 | 187.6 | 155.5 | 149.22 | |
| 65 70 $2\frac{11}{16}$ $2\frac{3}{4}$ | MSF65 MSF70 MSF1$\frac{11}{16}$ MSF2$\frac{3}{4}$ | 1075 | 9 | 196.5 | 158.5 | 152.40 | |
| 75 $2\frac{15}{16}$ 3 | MSF75 MSF2$\frac{15}{16}$ MSF3 | 1080 | 10 | 196.5 | 173.5 | 152.40 | |
| 80 $3\frac{3}{16}$ $3\frac{1}{4}$ | MSF80 MSF3$\frac{3}{16}$ MSF3$\frac{1}{4}$ | 1085 | 11 | 213.5 | 184.0 | 171.45 | |
| 85 90 $3\frac{7}{16}$ $3\frac{1}{2}$ | MSF85 MSF90 MSF3$\frac{7}{16}$ MSF3$\frac{1}{2}$ | 1090 | 12 | 213.5 | 196.5 | 171.45 | |
| 95 100 $3\frac{15}{16}$ 4 | MSF95 MSF100 MSF3$\frac{15}{16}$ MSF4 | 3095 | 13 | 267.5 | 235.5 | 211.12 | |

Consulte disponibilidad

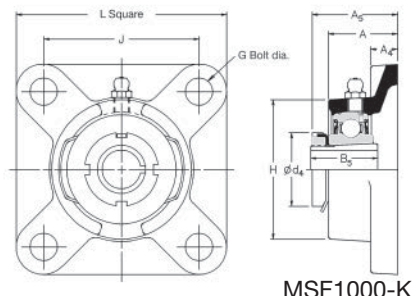


Los insertos de rodamiento con deflectores que se muestran en las páginas 91 y 92 pueden ensamblarse en estos alojamientos. La referencia de la unidad incluye el sufijo 'FS', por ejemplo, MSF35FS.

Los insertos de rodamiento con sellados triples que se muestran de las página de la 88 a la 90 pueden ensamblarse en estos alojamientos. La referencia de la unidad incluye el prefijo 'T', por ejemplo, TMSF35.

| | Dimensiones (mm) | | | | | | Índices de capacidad de carga ISO | | Velocidad máxima recomendada | Masa (aprox.) |
|--|------------------|------|--------|------|--------|-------|-----------------------------------|----------------------|------------------------------|---------------|
| | G | A | A1 | A4 | B | S | dinámica Cr newtons | estática Cor newtons | | |
| | 10 | 29.8 | 42.21 | 12.7 | 38.10 | 15.93 | 19500 | 11300 | 5300 | 1.3 |
| | 12 | 31.4 | 46.41 | 12.7 | 42.90 | 17.53 | 25700 | 15300 | 4500 | 1.7 |
| | 12 | 34.9 | 54.18 | 12.7 | 49.20 | 19.03 | 32500 | 19900 | 4000 | 2.2 |
| | 16 | 35.3 | 54.18 | 14.3 | 49.20 | 19.03 | 32500 | 20500 | 3700 | 2.6 |
| | 16 | 39.7 | 60.53 | 14.3 | 51.60 | 19.04 | 35000 | 23200 | 3400 | 2.8 |
| | 16 | 43.7 | 64.31 | 17.5 | 55.60 | 22.24 | 43500 | 29200 | 3100 | 4.0 |
| | 16 | 47.6 | 73.69 | 17.5 | 65.10 | 25.44 | 48000 | 33000 | 2800 | 4.7 |
| | 16 | 47.6 | 77.20 | 18.0 | 74.60 | 30.24 | 61000 | 45000 | 2450 | 6.8 |
| | 20 | 51.3 | 80.90 | 23.0 | 77.80 | 33.34 | 66000 | 49500 | 2300 | 8.6 |
| | 20 | 55.0 | 88.87 | 23.0 | 82.60 | 33.34 | 71500 | 54500 | 2150 | 9.3 |
| | 20 | 54.3 | 89.64 | 26.0 | 85.70 | 34.15 | 83000 | 64000 | 2000 | 11.1 |
| | 20 | 61.7 | 100.76 | 26.0 | 96.00 | 39.74 | 96000 | 71500 | 1900 | 13.2 |
| | 24 | 83.5 | 126.95 | 32.0 | 117.48 | 49.31 | 157000 | 122000 | 1600 | 24.7 |

Unidades de rodamiento tipo deflector de hierro fundido Self-Lube® con manguitos adaptadores Serie MSF 1000-K



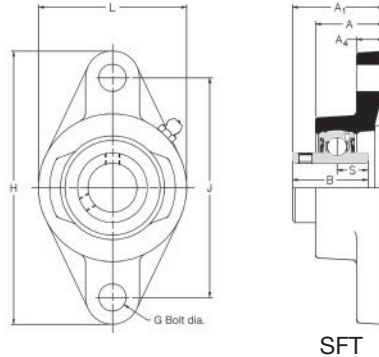
| Diámetro del eje mm pulg. | Designación RHP de la unidad completa | Sólo manguito, tuerca y arandela | Unidad sin manguito, tuerca ni arandela | Rodam. básico | Inserto grupo fundición | Dimensiones (mm) | | | |
|--|---|--|---|---------------|-------------------------|------------------|-------|-------|--|
| | | | | | | L | H | J | |
| 20 $\frac{3}{4}$ | MSF1025-20K MSF1025-$\frac{3}{4}$K | H305 HE305$\frac{3}{4}$ | MSF1025K | 1025 | SF3 | 95.3 | 68.0 | 70.0 | |
| 25 $\frac{15}{16}$ 1 | MSF1030-25K MSF1030-$\frac{1}{16}$K MSF1030-1K | H306 HE306-$\frac{15}{16}$ HE306-1 | MP1030K | 1030 | 1 | 108.0 | 82.6 | 82.5 | |
| 30 $\frac{11}{8}$ $\frac{13}{16}$ | MSF1035-30K MSF1035-$\frac{1}{16}$K MSF1035-$\frac{13}{16}$K | H307 HE307-$\frac{1}{16}$ HE307-$\frac{13}{16}$ | MP1035K | 1035 | 2 | 117.5 | 95.3 | 92.0 | |
| 35 $\frac{11}{4}$ $\frac{13}{8}$ | MSF1040-35K MSF1040-$\frac{1}{16}$K MSF1040-$\frac{13}{8}$K | H308 HE308-$\frac{1}{4}$ HE308-$\frac{13}{8}$ | MP1040K | 1040 | 3 | 130.2 | 101.6 | 101.5 | |
| 40 $\frac{17}{16}$ 1 $\frac{1}{2}$ | MSF1045-40K MSF1045-$\frac{17}{16}$K MSF1045-1$\frac{1}{2}$K | H309 HE309-$\frac{17}{16}$ HE309-1$\frac{1}{2}$ | MP1045K | 1045 | 4 | 136.5 | 111.1 | 105.0 | |
| 45 $\frac{11}{16}$ $\frac{13}{4}$ | MSF1050-45K MSF1050-$\frac{11}{16}$K MSF1050-$\frac{13}{4}$K | H310 HE310-$\frac{11}{16}$ HE310-$\frac{13}{4}$ | MP1050K | 1050 | 5 | 142.9 | 115.9 | 111.0 | |
| 50 $\frac{15}{16}$ 2 | MSF1055-50K MSF1055-$\frac{15}{16}$K MSF1055-2K | H311 HE311-$\frac{15}{16}$ HE311-2 | MP1055K | 1055 | 6 | 161.9 | 127.0 | 130.0 | |

Consulte disponibilidad

| | Dimensiones (mm) | | | | | | Índices de capacidad de carga ISO | | Velocidad máxima recomendada | Masa (aprox.) |
|--|------------------|------|------|------|------|------|-----------------------------------|----------------------|------------------------------|---------------|
| | G | A | A4 | A5 | B5 | d4 | dinámica Cr newtons | estática Cor newtons | | |
| | 10 | 28.6 | 11.1 | 36.5 | 29.0 | 38.0 | 14000 | 7880 | 6250 | 1.0 |
| | 10 | 29.8 | 12.7 | 38.0 | 31.0 | 45.0 | 19500 | 11300 | 5300 | 1.3 |
| | 12 | 31.4 | 12.7 | 40.5 | 35.0 | 52.0 | 25700 | 15300 | 4500 | 1.7 |
| | 12 | 34.9 | 12.7 | 45.0 | 36.0 | 58.0 | 32500 | 19900 | 4000 | 2.2 |
| | 16 | 35.3 | 14.3 | 46.5 | 39.0 | 65.0 | 32500 | 20500 | 3700 | 2.6 |
| | 16 | 39.7 | 14.3 | 52.0 | 42.0 | 70.0 | 35000 | 23200 | 3400 | 2.8 |
| | 16 | 43.7 | 17.5 | 55.5 | 45.0 | 75.0 | 43500 | 29200 | 3100 | 4.0 |

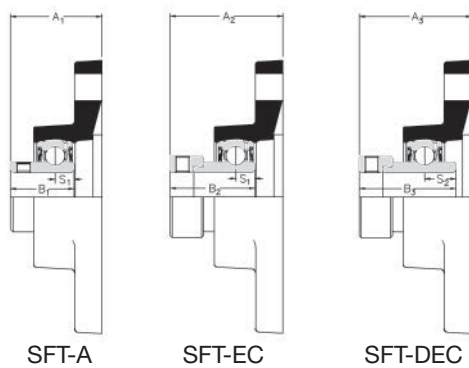
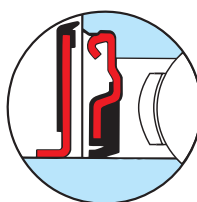
Unidades de rodamiento tipo deflector de hierro fundido Self-Lube®

Serie SFT



| Diámetro del eje mm pulg. | Designación RHP | | | Inserto rodam. básico | Grupo fundición | Dimensiones (mm) | | | | | | | |
|--|--|---|---|--|-----------------|------------------|-------|-------|--------|-------|------|-------|--|
| | L | H | J | | | G | A | A1 | | | | | |
| 12 15 16 17 $\frac{1}{2}$ $\frac{5}{8}$ | SFT12 SFT15 SFT16 SFT17 SFT $\frac{1}{2}$ SFT $\frac{5}{8}$ | SFT12EC SFT15EC SFT16EC SFT17A SFT $\frac{1}{2}$ EC SFT $\frac{5}{8}$ EC | 1017 | 1 | 52.5 | 98.5 | 76.50 | 10 | 24.6 | 32.87 | | | |
| 20 $\frac{3}{4}$ | SFT20 SFT $\frac{3}{4}$ | SFT20A SFT $\frac{3}{4}$ A | SFT20EC SFT $\frac{3}{4}$ EC | SFT20DEC SFT $\frac{3}{4}$ DEC | 1020 | 2 | 60.3 | 111.9 | 90.00 | 10 | 27.8 | 37.26 | |
| 25 $\frac{7}{8}$ $\frac{15}{16}$ 1 | SFT25 SFT $\frac{7}{8}$ SFT $\frac{15}{16}$ SFT1 | SFT25A SFT1A | SFT25EC SFT $\frac{7}{8}$ EC SFT $\frac{15}{16}$ EC SFT1EC | SFT25DEC SFT $\frac{7}{8}$ DEC SFT $\frac{15}{16}$ DEC SFT1DEC | 1025 | 3 | 70.0 | 125.5 | 99.00 | 10 | 28.6 | 38.84 | |
| 30 $1\frac{1}{8}$ $1\frac{3}{16}$ $1\frac{1}{4}$ | SFT30 SFT $1\frac{1}{8}$ SFT $1\frac{3}{16}$ SFT $1\frac{1}{4}$ R | SFT30A SFT $1\frac{1}{4}$ AR | SFT30EC SFT $1\frac{1}{8}$ EC SFT $1\frac{3}{16}$ EC SFT $1\frac{1}{4}$ ECR | SFT30DEC SFT $1\frac{1}{8}$ DEC SFT $1\frac{3}{16}$ DEC SFT $1\frac{1}{4}$ DEC | 1030 | 4 | 82.6 | 141.3 | 116.50 | 10 | 29.8 | 42.21 | |
| 35 $1\frac{1}{4}$ $1\frac{3}{8}$ $1\frac{7}{16}$ | SFT35 SFT $1\frac{1}{4}$ SFT $1\frac{3}{8}$ SFT $1\frac{7}{16}$ | SFT35A SFT $1\frac{1}{4}$ A | SFT35EC SFT $1\frac{1}{4}$ EC SFT $1\frac{3}{8}$ EC SFT $1\frac{7}{16}$ EC | SFT35DEC SFT $1\frac{1}{4}$ DEC SFT $1\frac{3}{8}$ DEC SFT $1\frac{7}{16}$ DEC | 1035 | 5 | 95.5 | 155.5 | 130.00 | 12 | 31.4 | 46.41 | |
| 40 $1\frac{1}{2}$ | SFT40 SFT $1\frac{1}{2}$ | SFT40A SFT $1\frac{1}{2}$ A | SFT40EC SFT $1\frac{1}{2}$ EC | SFT40DEC SFT $1\frac{1}{2}$ DEC | 1040 | 6 | 104.5 | 171.4 | 143.50 | 12 | 34.9 | 54.18 | |
| 45 $1\frac{5}{8}$ $1\frac{11}{16}$ $1\frac{3}{4}$ | SFT45 SFT $1\frac{5}{8}$ SFT $1\frac{11}{16}$ SFT $1\frac{3}{4}$ | SFT45A SFT $1\frac{3}{4}$ A | SFT45EC SFT $1\frac{5}{8}$ EC SFT $1\frac{11}{16}$ EC SFT $1\frac{3}{4}$ EC | SFT45DEC SFT $1\frac{5}{8}$ DEC SFT $1\frac{11}{16}$ DEC SFT $1\frac{3}{4}$ DEC | 1045 | 7 | 111.1 | 179.4 | 148.50 | 16 | 35.3 | 54.18 | |
| 50 $1\frac{7}{8}$ $1\frac{15}{16}$ 2 | SFT50 SFT $1\frac{7}{8}$ SFT $1\frac{15}{16}$ SFT2R | SFT50A | SFT50EC SFT $1\frac{7}{8}$ EC SFT $1\frac{15}{16}$ EC | SFT50DEC SFT $1\frac{7}{8}$ DEC SFT $1\frac{15}{16}$ DEC | 1050 | 8 | 115.9 | 188.9 | 157.00 | 16 | 39.7 | 60.53 | |
| 55 2 $2\frac{1}{8}$ $2\frac{3}{16}$ | SFT55 SFT2 SFT $2\frac{1}{8}$ SFT $2\frac{3}{16}$ | | SFT55DEC SFT2DEC SFT $2\frac{1}{8}$ DEC SFT $2\frac{3}{16}$ DEC | | 1055 | 9 | 127.0 | 215.9 | 184.00 | 16 | 43.7 | 64.31 | |
| 60 $2\frac{1}{4}$ $2\frac{3}{8}$ $2\frac{7}{16}$ | SFT60 SFT $2\frac{1}{4}$ SFT $2\frac{3}{8}$ SFT $2\frac{7}{16}$ | | SFT60DEC SFT $2\frac{1}{4}$ DEC SFT $2\frac{3}{8}$ DEC SFT $2\frac{7}{16}$ DEC | | 1060 | 10 | 138.1 | 235.0 | 202.00 | 16 | 47.6 | 73.69 | |

Consulte disponibilidad



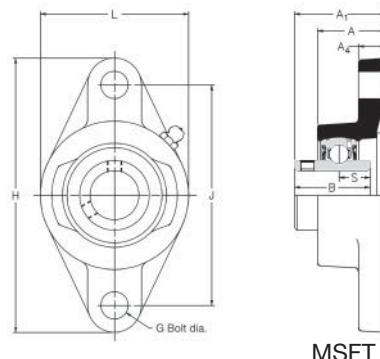
Los insertos de rodamiento con deflectores que se muestran en las páginas 91 y 92 pueden ensamblarse en estos alojamientos. La referencia de la unidad incluye el sufijo 'FS', por ejemplo, SFT25FS.

Los insertos de rodamiento con sellados triples que se muestran de las página 88 a la 90 pueden ensamblarse en estos alojamientos. La referencia de la unidad incluye el prefijo 'T', por ejemplo, TSFT25.

| | Dimensiones (mm) | | | | | | | | | | | Índices de capacidad de carga ISO | | Velocidad máxima recomendada | Masa (aprox.) |
|--|------------------|-------|------|-------|-------|-------|-------|-------|-------|-------|---------------------|-----------------------------------|------|------------------------------|---------------|
| | A2 | A3 | A4 | B | B1 | B2 | B3 | s | s1 | s2 | dinámica Cr newtons | estática Cor newtons | | | |
| | 39.01 | – | 9.5 | 27.38 | – | 28.63 | – | 11.58 | 6.53 | – | 9550 | 4800 | 7000 | 0.4 | |
| | 42.42 | 45.54 | 11.1 | 31.00 | 25.80 | 31.03 | 43.73 | 12.73 | 7.53 | 17.13 | 12800 | 6650 | 6700 | 0.6 | |
| | 42.42 | 45.95 | 11.1 | 34.10 | 27.30 | 31.03 | 44.43 | 14.33 | 7.53 | 17.53 | 14000 | 7880 | 6520 | 0.9 | |
| | 46.66 | 50.09 | 12.7 | 38.10 | 31.20 | 35.73 | 48.43 | 15.93 | 9.03 | 18.33 | 19500 | 11300 | 5300 | 1.1 | |
| | 50.34 | 53.34 | 12.7 | 42.90 | 34.90 | 38.93 | 51.13 | 17.53 | 9.53 | 18.83 | 25700 | 15300 | 4500 | 1.4 | |
| | 56.62 | 58.90 | 12.7 | 49.20 | 41.20 | 43.73 | 56.33 | 19.03 | 11.03 | 21.43 | 32500 | 19900 | 4000 | 1.9 | |
| | 56.62 | 58.90 | 14.3 | 49.20 | 41.20 | 43.73 | 56.33 | 19.04 | 11.03 | 21.43 | 32500 | 20500 | 3700 | 2.2 | |
| | 60.60 | 66.07 | 14.3 | 51.60 | 43.50 | 43.73 | 62.73 | 19.04 | 11.04 | 24.64 | 35000 | 23200 | 3400 | 2.5 | |
| | – | 74.57 | 17.5 | 55.60 | – | – | 71.42 | 22.24 | – | 27.84 | 43500 | 29200 | 3100 | 3.5 | |
| | – | 80.77 | 17.5 | 65.10 | – | – | 77.84 | 25.44 | – | 31.04 | 48000 | 33000 | 2800 | 4.3 | |

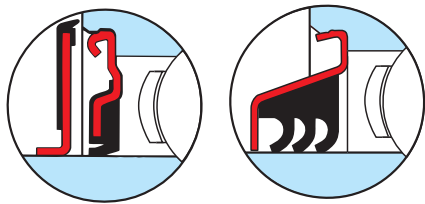
Unidades de rodamiento tipo deflector de hierro fundido Self-Lube®

Serie MSFT



| Diámetro del eje mm pulg. | Designación RHP | Inserto rodam. básico | Grupo fundición | Dimensiones (mm) | | |
|---|---|-----------------------|-----------------|------------------|-------|--------|
| | | | | L | H | J |
| 25 1 | MSFT25 MSFT1 | 1030 | 1 | 82.6 | 141.3 | 116.50 |
| 30 $1\frac{3}{16}$ $1\frac{1}{4}$ | MSFT30 MSFT1$\frac{3}{16}$ MSFT1$\frac{1}{4}$ | 1035 | 2 | 95.5 | 155.5 | 130.00 |
| 35 $1\frac{3}{8}$ $1\frac{7}{16}$ | MSFT35 MSFT1$\frac{3}{8}$ MSFT1$\frac{7}{16}$ | 1040 | 3 | 101.6 | 171.4 | 143.50 |
| 40 $1\frac{1}{2}$ | MSFT40 MSFT1$\frac{1}{2}$ | 1045 | 4 | 111.1 | 179.4 | 148.50 |
| 45 $1\frac{11}{16}$ $1\frac{3}{4}$ | MSFT45 MSFT1$\frac{11}{16}$ MSFT1$\frac{3}{4}$ | 1050 | 5 | 115.9 | 188.9 | 157.00 |
| 50 $1\frac{7}{8}$ $1\frac{15}{16}$ 2 | MSFT50 MSFT1$\frac{7}{8}$ MSFT1$\frac{15}{16}$ MSFT2 | 1055 | 6 | 127.0 | 215.9 | 184.00 |
| 55 $2\frac{3}{16}$ | MSFT55 MSFT2$\frac{3}{16}$ | 1060 | 7 | 138.1 | 235.0 | 202.00 |

Consulte disponibilidad

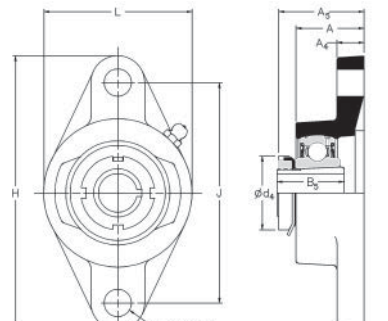


Los insertos de rodamiento con deflectores que se muestran en las páginas 91 y 92 pueden ensamblarse en estos alojamientos. La referencia de la unidad incluye el sufijo 'FS', por ejemplo, MSFT40FS.

Los insertos de rodamiento con sellados triples que se muestran de las página 88 a la 90 pueden ensamblarse en estos alojamientos. La referencia de la unidad incluye el prefijo 'T', por ejemplo, TMSFT40.

| | Dimensiones (mm) | | | | | | Índices de capacidad de carga ISO | | Velocidad máxima recomendada | Masa (aprox.) |
|--|------------------|------|-------|------|-------|-------|-----------------------------------|----------------------|------------------------------|---------------|
| | G | A | A1 | A4 | B | S | dinámica Cr newtons | estática Cor newtons | | |
| | 10 | 29.8 | 42.21 | 12.7 | 38.10 | 15.93 | 19500 | 11300 | 5300 | 1.1 |
| | 12 | 31.4 | 46.41 | 12.7 | 42.90 | 17.53 | 25700 | 15300 | 4500 | 1.4 |
| | 12 | 34.9 | 54.18 | 12.7 | 49.20 | 19.03 | 32500 | 19900 | 4000 | 1.9 |
| | 16 | 35.3 | 54.18 | 14.3 | 49.20 | 19.04 | 32500 | 20500 | 3700 | 2.2 |
| | 16 | 39.7 | 60.53 | 14.3 | 51.60 | 19.04 | 35000 | 23200 | 3400 | 2.5 |
| | 16 | 43.7 | 64.31 | 17.5 | 55.60 | 22.24 | 43500 | 29200 | 3100 | 3.5 |
| | 16 | 47.6 | 73.69 | 17.5 | 65.10 | 25.44 | 48000 | 33000 | 2800 | 4.3 |

Unidades de rodamiento tipo deflector de hierro fundido Self-Lube® con manguitos adaptadores Serie MSFT 1000-K



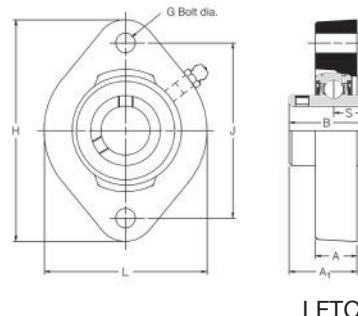
MSFT1000-K

| Diámetro del eje | | Designación RHP de la unidad completa | Sólo manguito, tuerca y arandela | Unidad sin manguito, tuerca ni arandela | Rodam. básico | Inserto grupo fundición | Dimensiones (mm) | | |
|------------------|----------|---|---|---|---------------|-------------------------|------------------|-------|-------|
| mm | pulgadas | | | | | | L | H | J |
| 20 | 3/4 | MSFT1025-20K MSFT1025-3/4K | H305 HE305-3/4 | MSFT1025K | 1025 | SFT3 | 68.3 | 123.8 | 99.0 |
| 25 | 15/16 | MSFT1030-25K MSFT1030-15/16K MSFT1030-1K | H306 HE306-15/16 HE306-1 | MSFT1030K | 1030 | 1 | 82.6 | 141.3 | 116.5 |
| 30 | 1 1/8 | MSFT1035-30K MSFT1035-1 1/8K MSFT1035-1 3/16K | H307 HE307-1 1/8 HE307-1 3/16 | MSFT1035K | 1035 | 2 | 95.5 | 155.5 | 130.0 |
| 35 | 1 1/4 | MSFT1040-35K MSFT1040-1 1/4K MSFT1040-1 3/8K | H308 HE308-1 1/4 HE308-1 3/8 | MSFT1040K | 1040 | 3 | 101.6 | 171.4 | 143.5 |
| 40 | 1 7/16 | MSFT1045-40K MSFT1045-1 7/16K MSFT1045-1 1/2K | H309 HE309-1 7/16 HE309-1 1/2 | MSFT1045K | 1045 | 4 | 111.1 | 179.4 | 148.5 |
| 45 | 1 11/16 | MSFT1050-45K MSFT1050-1 11/16K MSFT1050-1 3/4K | H310 HE310-1 11/16 HE310-1 3/4 | MSFT1050K | 1050 | 5 | 115.9 | 188.9 | 157.0 |
| 50 | 1 15/16 | MSFT1055-50K MSFT1055-1 15/16K MSFT1055-2K | H311 HE311-1 15/16 HE311-2 | MSFT1055K | 1055 | 6 | 127.0 | 215.9 | 184.0 |

Consulte disponibilidad

| | Dimensiones (mm) | | | | | | Índices de capacidad de carga ISO | | Velocidad máxima recomendada | Masa (aprox.) |
|--|------------------|------|------|------|------|------|-----------------------------------|----------------------|------------------------------|---------------|
| | G | A | A4 | A5 | B5 | d4 | dinámica Cr newtons | estática Cor newtons | | |
| | 10 | 28.6 | 11.1 | 36.5 | 29.0 | 38.0 | 14000 | 7880 | 6250 | 0.9 |
| | 10 | 29.8 | 12.7 | 38.0 | 31.0 | 45.0 | 19500 | 11300 | 5300 | 1.1 |
| | 12 | 31.4 | 12.7 | 40.5 | 35.0 | 52.0 | 25700 | 15300 | 4500 | 1.4 |
| | 12 | 34.9 | 12.7 | 45.0 | 36.0 | 58.0 | 32500 | 19900 | 4000 | 1.9 |
| | 16 | 35.3 | 14.3 | 46.5 | 39.0 | 65.0 | 32500 | 20500 | 3700 | 2.2 |
| | 16 | 39.7 | 14.3 | 52.0 | 42.0 | 70.0 | 35000 | 23200 | 3400 | 2.5 |
| | 16 | 43.7 | 17.5 | 55.5 | 45.0 | 75.0 | 43500 | 29200 | 3100 | 3.5 |

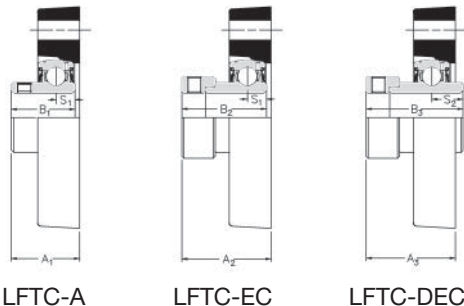
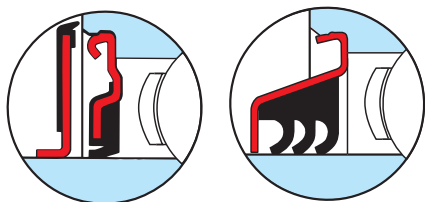
Unidades de rodamiento tipo deflector de hierro fundido Self-Lube® Serie LFTC



LFTC

| Diámetro del eje | | Designación RHP | | | Inserto rodam. básico | Grupo fundición | Dimensiones (mm) | | | | |
|------------------|--------------------------|-----------------|--------------|---------------|-----------------------|-----------------|------------------|-------|-------|------|------|
| mm | pulg. | | | | | | L | H | J | G | A |
| 12 | | LFTC12 | LFTC12EC | | 1017 | 1 | 58.5 | 81.0 | 63.5 | 6.0 | 15.0 |
| 15 | | LFTC15 | LFTC15EC | | | | | | | | |
| 16 | | LFTC16 | LFTC16EC | | | | | | | | |
| 17 | 1/2 5/8 | LFTC17 | LFTC17EC | | | | | | | | |
| | | LFTC1/2 | LFTC1/2EC | | | | | | | | |
| | | LFTC5/8 | LFTC5/8EC | | | | | | | | |
| 20 | 3/4 | LFTC20 | LFTC20A | LFTC20EC | 1020 | 2 | 66.5 | 90.5 | 71.5 | 8.0 | 17.0 |
| | | LFTC3/4 | LFTC3/4A | LFTC3/4EC | | | | | | | |
| 25 | 7/8 15/16 1 | LFTC25 | LFTC25A | LFTC25EC | 1025 | 3 | 71.0 | 96.0 | 76.0 | 8.0 | 17.5 |
| | | LFTC7/8 | LFTC7/8EC | | | | | | | | |
| | | LFTC15/16 | LFTC15/16EC | | | | | | | | |
| | | LFTC1 | LFTC1A | LFTC1EC | | | | | | | |
| 30 | 1 1/8 1 3/16 1 1/4 | LFTC30 | LFTC30A | LFTC30EC | 1030 | 4 | 84.0 | 112.0 | 90.5 | 10.0 | 20.5 |
| | | LFTC1 1/8 | LFTC1 1/8EC | | | | | | | | |
| | | LFTC1 3/16 | LFTC1 3/16EC | | | | | | | | |
| | | LFTC1 1/4 | LFTC1 1/4A | LFTC1 1/4EC | | | | | | | |
| 35 | 1 1/4 1 3/8 1 7/16 | LFTC35 | LFTC 35A | LFTC35EC | 1035 | 5 | 93.0 | 125.0 | 100.0 | 10.0 | 22.0 |
| | | LFTC1 1/4L | LFTC1 1/4AL | LFTC1 1/4ECL | | | | | | | |
| | | LFTC1 3/8 | LFTC1 3/8EC | | | | | | | | |
| | | LFTC1 7/16 | LFTC1 7/16EC | LFTC1 7/16DEC | | | | | | | |

Consulte disponibilidad



Los insertos de rodamiento con deflectores que se muestran en las páginas 91 y 92 pueden ensamblarse en estos alojamientos. La referencia de la unidad incluye el sufijo 'FS', por ejemplo, LFTC $\frac{7}{8}$ FS.

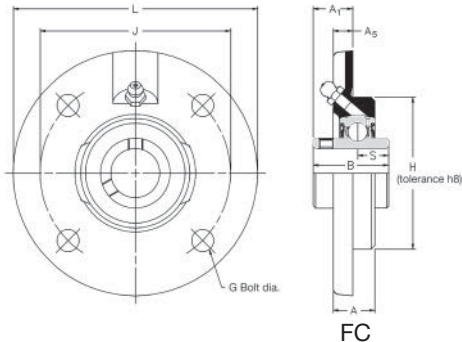
Los insertos de rodamiento con sellados triples que se muestran de las página 88 a la 90 pueden ensamblarse en estos alojamientos. La referencia de la unidad incluye el prefijo 'T', por ejemplo, TLFTC $\frac{7}{8}$.

| | Dimensiones (mm) | | | | | | | | | | Índices de capacidad de carga ISO | | Velocidad máxima recomendada | Masa (aprox.) |
|--|------------------|-------|-------|-------|-------|-------|-------|-------|------|-------|-----------------------------------|----------------------|------------------------------|---------------|
| | A1 | A2 | A3 | B | B1 | B2 | B3 | S | s1 | s2 | dinámica Cr newtons | estática Cor newtons | rev/min | kg |
| | 24.27 | 30.43 | — | 27.38 | — | 28.63 | — | 11.58 | 6.53 | — | 9550 | 4800 | 7000 | 0.3 |
| | 27.76 | 32.92 | 36.04 | 31.00 | 25.80 | 31.03 | 43.73 | 12.73 | 7.53 | 17.13 | 12800 | 6650 | 6700 | 0.4 |
| | 29.24 | 32.82 | 36.35 | 34.00 | 27.30 | 31.03 | 44.43 | 14.33 | 7.53 | 17.53 | 14000 | 7880 | 6250 | 0.5 |
| | 33.62 | 38.07 | 41.50 | 38.10 | 31.20 | 35.73 | 48.43 | 15.93 | 9.03 | 18.33 | 19500 | 11300 | 5300 | 0.8 |
| | 37.80 | 41.74 | 44.71 | 42.90 | 34.90 | 38.93 | 51.13 | 17.53 | 9.53 | 18.83 | 25700 | 15300 | 4500 | 1.1 |

Unidades de rodamiento de cartucho de tipo deflector de hierro fundido

Self-Lube® Serie FC

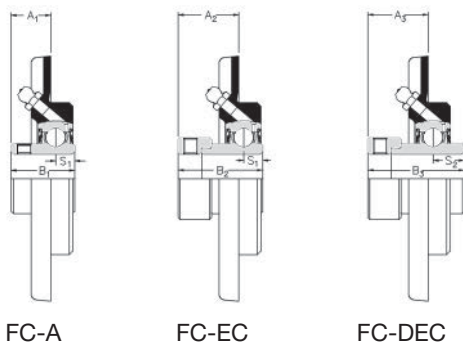
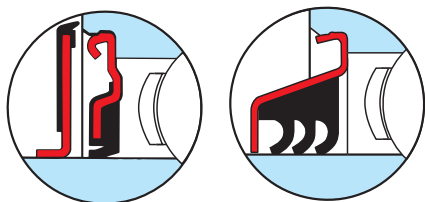
Para tolerancias de
alojamiento para
adaptarse al macho "H",
consulte la página 21



Nota: Orificio de relubricación - M5 x paso de 0.8

| Diámetro del eje | | Designación RHP | | | | Inserto rodam. básico | Grupo fundición | Dimensiones (mm) | | | | | |
|------------------|---------------------------|---|---|---|---|-----------------------|-----------------|------------------|-------|-------|------|-------|-------|
| mm | pulg. | | | | | | | L | H | J | G | A | A1 |
| 20 | 3/4 | FC20 FC ³ / ₄ A | FC20A FC ³ / ₄ A | FC20EC FC ³ / ₄ EC | FC20DEC FC ³ / ₄ DEC | 1020 | 2 | 100.0 | 62.0 | 78.0 | 8 | 17.0 | 16.29 |
| 25 | 7/8 15/16 1 | FC25 FC ⁷ / ₈ A FC ¹⁵ / ₁₆ A FC1 | FC25A FC1A | FC25EC FC ⁷ / ₈ EC FC ¹⁵ / ₁₆ EC FC1EC | FC25DEC FC ⁷ / ₈ DEC FC ¹⁵ / ₁₆ DEC FC1DEC | 1025 | 3 | 115.0 | 70.0 | 90.0 | 8 | 19.0 | 17.34 |
| 30 | 1 1/8 1 3/16 1 1/4 | FC30 FC1 1/8 FC1 3/16 FC1 1/4R | FC30A FC1 1/4AR | FC30EC FC1 1/8C FC1 3/16EC FC1 1/4ECR | FC30DEC FC1 1/8DEC FC1 3/16DEC FC1 1/4DEC | 1030 | 4 | 125.0 | 80.0 | 100.0 | 10 | 20.5 | 20.22 |
| 35 | 1 1/4 1 3/8 1 7/16 | FC35 FC1 1/4 FC1 3/8 FC1 7/16 | FC35A FC1 1/4A | FC35EC FC1 1/4EC FC1 3/8EC FC1 7/16EC | FC35DEC FC1 1/4DEC FC1 3/8DEC FC1 7/16DEC | 1035 | 5 | 135.0 | 90.0 | 110.0 | 10 | 20.5 | 24.40 |
| 40 | 1 1/2 | FC40 FC1 1/2 | FC40A FC1 1/2A | FC40EC FC1 1/2EC | FC40DEC FC1 1/2DEC | 1040 | 6 | 145.0 | 100.0 | 120.0 | 10 | 23.0 | 29.18 |
| 45 | 1 5/8 1 11/16 1 3/4 | FC45 FC1 5/8 FC1 11/16 FC1 3/4 | FC45A FC1 3/4A | FC45EC FC1 5/8EC FC1 11/16EC FC1 3/4EC | FC45DEC FC1 5/8DEC FC1 11/16DEC FC1 3/4DEC | 1045 | 7 | 155.0 | 105.0 | 130.0 | 12 | 25.0 | 28.18 |
| 50 | 1 7/8 1 15/16 2 | FC50 FC1 7/8 FC1 15/16 FC2R | FC50A | FC50EC FC1 7/8EC FC1 15/16EC | FC50DEC FC1 7/8DEC FC1 15/16DEC | 1050 | 8 | 165.0 | 110.0 | 135.0 | 12 | 25.0 | 31.52 |
| 55 | 2 2 1/8 2 3/16 | FC55 FC2 FC2 1/8 FC2 3/16 | | FC55DEC FC2DEC FC2 1/8DEC FC2 3/16DEC | 1055 | 9 | 185.0 | 125.0 | 150.0 | 16 | 27.5 | 33.30 | |
| 60 | 2 1/4 2 3/8 2 7/16 | FC60 FC2 1/4 FC2 3/8 FC2 7/16 | | FC60DEC FC2 1/4DEC FC2 3/8DEC FC2 7/16DEC | 1060 | 10 | 195.0 | 135.0 | 160.0 | 16 | 29.0 | 38.65 | |

Consulte disponibilidad



Los insertos de rodamiento con deflectores que se muestran en las páginas 91 y 92 pueden ensamblarse en estos alojamientos. La referencia de la unidad incluye el sufijo 'FS', por ejemplo, FC40FS.

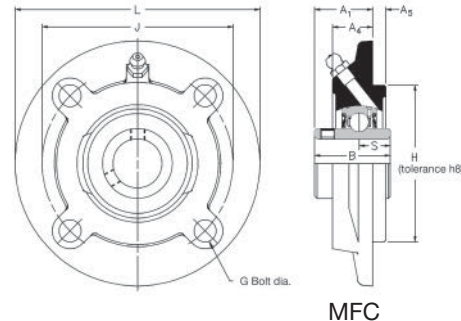
Los insertos de rodamiento con sellados triples que se muestran de la página 88 a la 90 pueden ensamblarse en estos alojamientos. La referencia de la unidad incluye el prefijo 'T', por ejemplo, TFC40.

| | Dimensiones (mm) | | | | | | | | | | Índices de capacidad de carga ISO | | Velocidad máxima recomendada | Masa (aprox.) |
|--|------------------|-------|-------|-------|-------|-------|-------|-------|-------|-------|-----------------------------------|----------------------|------------------------------|---------------|
| | A2 | A3 | A5 | B | B1 | B2 | B3 | S | s1 | s2 | dinámica Cr newtons | estática Cor newtons | | |
| | 21.45 | 24.57 | 8.00 | 31.00 | 25.80 | 31.03 | 43.73 | 12.73 | 7.53 | 17.13 | 12800 | 6650 | 6700 | 0.7 |
| | 20.86 | 24.41 | 9.00 | 34.10 | 27.30 | 31.03 | 44.43 | 14.33 | 7.53 | 17.53 | 14000 | 7880 | 6250 | 0.9 |
| | 24.64 | 28.10 | 9.50 | 38.10 | 31.20 | 35.73 | 48.43 | 15.93 | 9.03 | 18.33 | 19500 | 11300 | 5300 | 1.1 |
| | 28.33 | 31.29 | 10.00 | 42.90 | 34.90 | 38.93 | 51.13 | 17.53 | 9.53 | 18.83 | 25700 | 15300 | 4500 | 1.5 |
| | 31.59 | 33.88 | 11.50 | 49.20 | 41.20 | 43.73 | 56.33 | 19.03 | 11.03 | 21.43 | 32500 | 19900 | 4000 | 1.8 |
| | 30.59 | 32.88 | 12.00 | 49.20 | 41.20 | 43.73 | 56.33 | 19.04 | 11.04 | 21.43 | 32500 | 20500 | 3700 | 2.2 |
| | 31.63 | 37.14 | 13.00 | 51.60 | 43.50 | 43.73 | 62.73 | 19.04 | 11.04 | 24.64 | 35000 | 23200 | 3400 | 2.8 |
| | — | 43.72 | 15.00 | 55.60 | — | — | 71.42 | 22.24 | — | 27.84 | 43500 | 29200 | 3100 | 4.0 |
| | — | 45.89 | 16.00 | 65.10 | — | — | 77.84 | 25.44 | — | 31.04 | 48000 | 33000 | 2800 | 4.7 |

Unidades de rodamiento de cartucho de tipo deflector de hierro fundido

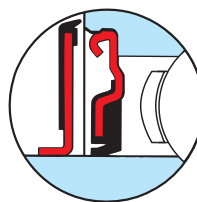
Self-Lube® Serie MFC

Para tolerancias de alojamiento para adaptarse al macho "H", consulte la página 21



| Diámetro del eje mm pulg.s | Designación RHP | Inserto rodam. básico | Grupo fundición | Dimensiones (mm) | | |
|--------------------------------------|--|-----------------------------|--------------------|------------------|-------|-------|
| | | | | L | H | J |
| 25 1 1 1/4 | MFC25 MFC1 MFC1 1/4R | 1030 | 1 | 111.1 | 76.2 | 92.1 |
| 30 1 3/16 1 1/4 | MFC30 MFC1 3/16 MFC1 1/4 | 1035 | 2 | 127.0 | 85.7 | 104.8 |
| 35 40 1 3/8 1 7/16 1 1/2 | MFC35 MFC40 MFC1 3/8 MFC1 7/16 MFC1 1/2 | 1040 | 3 | 133.4 | 92.1 | 111.1 |
| 45 1 11/16 1 3/4 2 | MFC45 MFC1 11/16 MFC1 3/4 MFC2R | 1050 | 4 | 155.6 | 108.0 | 130.2 |
| 50 1 7/8 1 15/16 2 | MFC50 MFC1 7/8 MFC1 15/16 MFC2 | 1055 | 5 | 161.9 | 114.3 | 136.5 |
| 55 2 3/16 2 1/4 | MFC55 MFC2 3/16 MFC2 1/4 | 1060 | 6 | 181.0 | 127.0 | 152.4 |
| 60 65 2 7/16 2 1/2 | MFC60 MFC65R MFC2 7/16 MFC2 1/2 | 1070 | 7 | 193.7 | 139.7 | 165.1 |
| 65 70 2 11/16 2 3/4 | MFC65R MFC70 MFC2 11/16 MFC2 3/4 | 1075 | 8 | 222.2 | 161.9 | 190.5 |
| 75 80 2 15/16 3 3 1/4 | MFC75 MFC80 MFC2 15/16 MFC3 MFC3 1/4 | 1080 | 9 | 222.2 | 161.9 | 190.5 |
| 85 90 3 3/16 3 1/2 | MFC85 MFC90 MFC3 3/16 MFC3 1/2 | 1090 | 10 | 260.4 | 187.3 | 219.1 |
| 95 100 3 15/16 4 | MFC95 MFC100 MFC3 15/16 MFC4 | 3095 | 11 | 298.4 | 228.6 | 260.4 |

Consulte disponibilidad



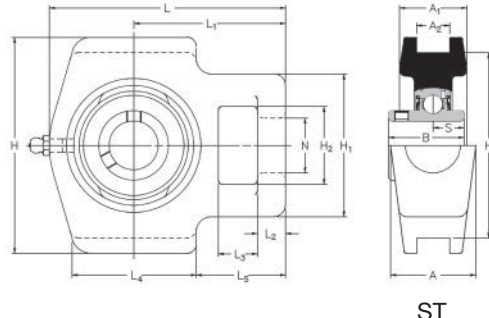
Los insertos de rodamiento con deflectores que se muestran en las páginas 91 y 92 pueden ensamblarse en estos alojamientos. La referencia de la unidad incluye el sufijo 'FS', por ejemplo, MFC30FS.

Los insertos de rodamiento con sellados triples que se muestran de la página 88 a la 90 pueden ensamblarse en estos alojamientos. La referencia de la unidad incluye el prefijo 'T', por ejemplo, TMFC30.

| | Dimensiones (mm) | | | | | | Índices de capacidad de carga ISO | | Velocidad máxima recomendada | Masa (aprox.) |
|--|------------------|-------|------|------|--------|-------|-----------------------------------|----------------------|------------------------------|---------------|
| | G | A1 | A4 | A5 | B | S | dinámica Cr newtons | estática Cor newtons | | |
| | 8 | 33.32 | 21.0 | 6.4 | 38.10 | 15.93 | 19500 | 11300 | 5300 | 1.4 |
| | 10 | 33.32 | 19.0 | 6.4 | 42.90 | 17.53 | 25700 | 15300 | 4500 | 1.5 |
| | 10 | 38.10 | 19.0 | 6.4 | 49.20 | 19.03 | 32500 | 19900 | 4000 | 1.9 |
| | 10 | 39.67 | 19.0 | 6.4 | 51.60 | 19.04 | 35000 | 23200 | 3400 | 2.7 |
| | 10 | 39.67 | 19.0 | 6.4 | 55.60 | 22.24 | 43500 | 29200 | 3100 | 3.0 |
| | 12 | 42.85 | 15.9 | 9.5 | 65.10 | 25.44 | 48000 | 33000 | 2800 | 3.4 |
| | 12 | 46.02 | 15.9 | 12.7 | 74.60 | 30.24 | 61000 | 45000 | 2450 | 4.5 |
| | 16 | 50.80 | 21.0 | 12.7 | 77.80 | 33.34 | 66000 | 49500 | 2300 | 5.9 |
| | 16 | 50.80 | 16.7 | 12.7 | 82.60 | 33.34 | 71500 | 54500 | 2150 | 5.4 |
| | 20 | 67.46 | 29.4 | 12.7 | 96.00 | 39.74 | 96000 | 71500 | 1900 | 9.8 |
| | 20 | 88.90 | 46.0 | 12.7 | 117.48 | 49.31 | 157000 | 122000 | 1600 | 17.7 |

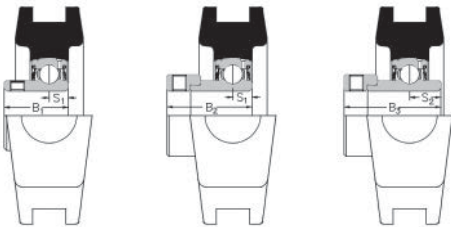
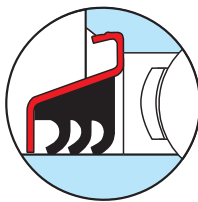
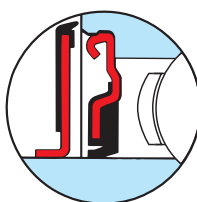
Unidades de rodamiento tensoras de hierro fundido Self-Lube®

Serie ST



| Diámetro del eje mm pulg. | Designación RHP | | | | | Inserto rodam. básico | Grupo fundición | Dimensiones (mm) | | | | | | | |
|---------------------------------|---|---|---|---|----|-----------------------|-----------------|------------------|-------|------|------|-------|------|-------|--|
| | L | L1 | L2 | L3 | L4 | L5 | H | | | | | | | | |
| 20 3/4 | ST20 ST³/₄ | ST20A ST³/₄A | ST20EC ST³/₄EC | ST20DEC ST³/₄DEC | | 1020 | 2 | 96.5 | 62.0 | 11.5 | 16.0 | 50.5 | 36.5 | 88.5 | |
| 25 7/8 15/16 1 | ST25 ST⁷/₈ ST¹⁵/₁₆ ST1 | ST25A | ST25EC ST⁷/₈EC ST¹⁵/₁₆EC | ST25DEC ST⁷/₈DEC ST¹⁵/₁₆DEC ST1DEC | | 1025 | 3 | 98.0 | 62.0 | 11.5 | 16.0 | 50.5 | 36.5 | 88.5 | |
| 30 1 1/8 1 3/16 1 1/4 | ST30 ST1 1/8 ST1 3/16 ST1 1/4R | ST30A | ST30EC ST1 1/8EC ST1 3/16EC ST1 1/4ECR | ST30DEC ST1 1/8DEC ST1 3/16DEC ST1 1/4DECR | | 1030 | 4 | 115.5 | 71.7 | 12.5 | 16.5 | 64.5 | 43.0 | 101.5 | |
| 35 1 1/4 1 3/8 17/16 | ST35 ST1 1/4 ST1 3/8 ST1 17/16 | ST35A ST1 1/4A | ST35EC ST1 1/4EC ST1 3/8EC ST1 17/16EC | ST35DEC ST1 1/4DEC ST1 3/8DEC ST1 17/16DEC | | 1035 | 5 | 124.0 | 75.5 | 12.5 | 16.5 | 64.5 | 43.0 | 101.5 | |
| 40 1 1/2 | ST40 ST1 1/2 | ST40A ST1 1/2A | ST40EC ST1 1/2EC | ST40DEC ST1 1/2DEC | | 1040 | 6 | 143.5 | 89.2 | 15.5 | 20.5 | 81.5 | 50.5 | 118.0 | |
| 45 1 5/8 1 11/16 1 3/4 | ST45 ST1 5/8 ST1 11/16 ST1 3/4 | ST45A | ST45EC ST1 5/8EC ST1 11/16EC ST1 3/4EC | ST45DEC ST1 5/8DEC ST1 11/16DEC ST1 3/4DEC | | 1045 | 7 | 147.0 | 89.2 | 15.5 | 20.5 | 81.5 | 50.5 | 118.0 | |
| 50 1 7/8 1 15/16 2 | ST50 ST1 7/8 ST1 15/16 ST2R | ST50 | ST50EC ST1 7/8EC ST1 15/16EC | ST50DEC ST1 7/8DEC ST1 15/16DEC | | 1050 | 8 | 151.0 | 90.5 | 15.5 | 20.5 | 81.5 | 50.5 | 118.0 | |
| 55 2 2 1/8 2 9/16 | ST55 ST2 ST2 1/8 ST2 9/16 | | | ST55DEC ST2DEC ST2 1/8DEC ST2 9/16DEC | | 1055 | 9 | 182.0 | 114.0 | 19.0 | 32.0 | 97.5 | 70.0 | 146.0 | |
| 60 2 1/4 2 9/16 2 7/8 | ST60 ST2 1/4 ST2 9/16 ST2 7/8 | | | ST60DEC ST2 1/4DEC ST2 9/16DEC ST2 7/8DEC | | 1060 | 10 | 192.0 | 119.0 | 19.0 | 32.0 | 97.5 | 70.0 | 146.0 | |
| 65 70 2 1/2 2 11/16 | ST65 ST70 ST2 1/2 ST2 11/16 | | | ST65DEC ST70DEC ST2 1/2DEC ST2 11/16DEC | | 1070 | 11 | 222.5 | 137.5 | 21.5 | 32.0 | 120.5 | 77.0 | 166.5 | |
| 75 2 3/4 2 7/8 2 15/16 | ST75 ST2 3/4 ST2 7/8 ST2 15/16 | | | ST75DEC ST2 3/4DEC ST2 7/8DEC ST2 15/16DEC | | 1075 | 12 | 222.5 | 137.5 | 21.5 | 32.0 | 120.5 | 77.0 | 166.5 | |
| 80 3 3 3/16 | ST80 ST3 ST3 3/16 | | | | | 1080 | 13 | 231.5 | 139.5 | 20.5 | 32.0 | 125.0 | 74.0 | 184.0 | |
| 85 3 1/4 3 3/8 3 7/16 | ST85 ST3 1/4 ST3 3/8 ST3 7/16 | | | | | 1085 | 14 | 260.5 | 162.0 | 28.5 | 38.0 | 140.0 | 90.5 | 198.5 | |

Consulte disponibilidad



ST-A

ST-EC

ST-DEC

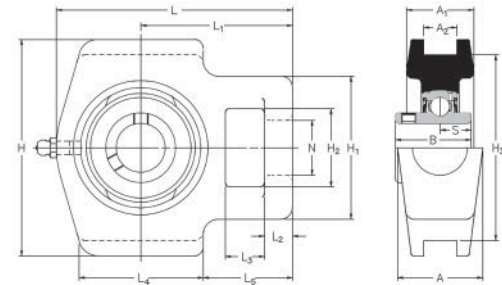
Los insertos de rodamiento con deflectores que se muestran en las páginas 91 y 92 pueden ensamblarse en estos alojamientos. La referencia de la unidad incluye el sufijo 'FS', por ejemplo, ST45FS.

Los insertos de rodamiento con sellados triples que se muestran de la página 88 a la 90 pueden ensamblarse en estos alojamientos. La referencia de la unidad incluye el prefijo 'T', por ejemplo, TST45.

| | Dimensiones (mm) | | | | | | | | | | | | | | | Índices de capacidad de carga ISO | | Velocidad máxima recomendada | Masa (aprox.) |
|--|------------------|------|-------|------|------|------|-------|-------|-------|-------|-------|-------|-------|-------|---------------------|-----------------------------------|---------|------------------------------|---------------|
| | H1 | H2 | H3 | N | A | A1 | A2 | B | B1 | B2 | B3 | s | s1 | s2 | dinámica Cr newtons | estática Cor newtons | rev/min | kg | |
| | 58.5 | 32.0 | 76.0 | 22.5 | 36.0 | 27.5 | 13.50 | 31.00 | 25.80 | 31.03 | 43.73 | 12.73 | 7.53 | 17.13 | 12800 | 6650 | 6700 | 0.8 | |
| | 58.5 | 32.0 | 76.0 | 22.5 | 36.0 | 27.5 | 13.50 | 34.10 | 27.30 | 31.03 | 44.43 | 14.33 | 7.53 | 17.53 | 14000 | 7880 | 6250 | 1.0 | |
| | 64.5 | 37.5 | 89.0 | 22.5 | 36.5 | 30.0 | 13.50 | 38.10 | 31.20 | 35.73 | 48.43 | 15.93 | 9.03 | 18.33 | 19500 | 11300 | 5300 | 1.6 | |
| | 64.5 | 37.5 | 89.0 | 22.5 | 36.5 | 30.0 | 13.50 | 42.90 | 34.90 | 38.93 | 51.13 | 17.53 | 9.53 | 18.83 | 25700 | 15300 | 4500 | 1.6 | |
| | 82.5 | 49.5 | 101.0 | 29.0 | 49.5 | 37.0 | 17.50 | 49.20 | 41.20 | 43.73 | 56.33 | 19.03 | 11.03 | 21.43 | 32500 | 19900 | 4000 | 2.7 | |
| | 82.5 | 49.5 | 101.0 | 29.0 | 49.5 | 37.0 | 17.50 | 49.20 | 41.20 | 43.73 | 56.33 | 19.04 | 11.04 | 21.43 | 32500 | 20500 | 3700 | 2.8 | |
| | 82.5 | 49.5 | 101.0 | 29.0 | 49.5 | 37.0 | 17.50 | 51.60 | 43.50 | 43.73 | 62.73 | 19.04 | 11.04 | 24.64 | 35000 | 23200 | 3400 | 2.8 | |
| | 101.0 | 64.0 | 130.0 | 35.0 | 63.5 | 46.5 | 27.00 | 55.60 | — | — | 71.42 | 22.24 | — | 27.84 | 43500 | 29200 | 3100 | 4.2 | |
| | 101.0 | 64.0 | 130.0 | 35.0 | 63.5 | 46.5 | 27.00 | 65.10 | — | — | 77.84 | 25.44 | — | 31.04 | 48000 | 33000 | 2800 | 5.4 | |
| | 113.0 | 70.0 | 150.8 | 42.0 | 70.0 | 50.5 | 27.00 | 74.60 | — | — | 85.74 | 30.24 | — | 34.14 | 61000 | 45000 | 2450 | 7.9 | |
| | 113.0 | 70.0 | 150.8 | 42.0 | 70.0 | 50.5 | 27.00 | 77.80 | — | — | 92.14 | 33.34 | — | 37.34 | 66000 | 49500 | 2300 | 8.4 | |
| | 113.0 | 70.0 | 165.1 | 42.0 | 70.0 | 54.0 | 27.00 | 82.60 | — | — | — | 33.34 | — | — | 71500 | 54500 | 2150 | 9.0 | |
| | 124.0 | 73.0 | 173.0 | 47.5 | 79.5 | 68.5 | 46.05 | 85.70 | — | — | — | 34.15 | — | — | 83000 | 64000 | 2000 | 13.7 | |

Unidades de rodamiento tensoras de hierro fundido Self-Lube®

Serie MST

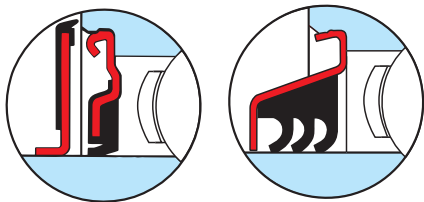


MST

| Diámetro del eje | | Designación RHP | Inserto rodam. básico | Grupo fundición | Dimensiones (mm) | | | | | |
|------------------|---|---|-----------------------|-----------------|------------------|-------|------|------|-------|-------|
| mm | pulg. | | | | L | L1 | L2 | L3 | L4 | L5 |
| 25 | 1 | MST25 MST1 | 1030 | 1 | 115.5 | 71.7 | 12.5 | 16.5 | 64.5 | 43.0 |
| 30 | 1 ³ / ₁₆ 1 ¹ / ₄ | MST30 MST1³/₁₆ ** | 1035 | 2 | 124.0 | 75.5 | 12.5 | 16.5 | 64.5 | 43.0 |
| 35 | 1 ³ / ₈ 1 ⁷ / ₁₆ | MST35 MST1³/₈ MST1⁷/₁₆ | 1040 | 3 | 143.5 | 89.2 | 15.5 | 20.5 | 81.5 | 50.5 |
| 40 | 1 ¹ / ₂ | MST40 MST1¹/₂ | 1045 | 4 | 147.0 | 89.2 | 15.5 | 20.5 | 81.5 | 50.5 |
| 45 | 1 ¹¹ / ₁₆ 1 ³ / ₄ | MST45 MST1¹¹/₁₆ MST1³/₄ | 1050 | 5 | 151.0 | 90.5 | 15.5 | 20.5 | 81.5 | 50.5 |
| 50 | 1 ⁷ / ₈ 1 ¹⁵ / ₁₆ 2 | MST50 MST1⁷/₈ MST1¹⁵/₁₆ ** | 1055 | 6 | 182.0 | 114.0 | 19.0 | 32.0 | 97.5 | 70.0 |
| 55 | 2 ³ / ₈ 2 ¹ / ₄ | MST55 MST2³/₈ ** | 1060 | 7 | 192.0 | 119.0 | 19.0 | 32.0 | 97.5 | 70.0 |
| 60 | 2 ⁷ / ₁₆ 2 ¹ / ₂ | MST60 MST2⁷/₁₆ ** | 1070 | 8 | 222.5 | 137.5 | 21.5 | 32.0 | 120.5 | 77.0 |
| 65 70 | 2 ¹¹ / ₁₆ 2 ³ / ₄ | MST65 MST70 MST2¹¹/₁₆ ** | 1075 | 9 | 222.5 | 137.5 | 21.5 | 32.0 | 120.5 | 77.0 |
| 75 | 2 ¹⁵ / ₁₆ 3 | MST75 MST2¹⁵/₁₆ ** | 1080 | 10 | 231.5 | 139.5 | 20.5 | 32.0 | 125.0 | 74.0 |
| 80 | 3 ³ / ₁₆ 3 ¹ / ₄ | MST80 MST3³/₁₆ ** | 1085 | 11 | 260.5 | 162.0 | 28.5 | 38.0 | 140.0 | 90.5 |
| 85 90 | 3 ⁷ / ₁₆ 3 ¹ / ₂ | MST85 MST90 MST3⁷/₁₆ MST3¹/₂ | 1090 | 12 | 270.0 | 165.0 | 28.5 | 38.0 | 152.5 | 90.0 |
| 95 100 | 3 ¹⁵ / ₁₆ 4 | MST95 MST100 MST3¹⁵/₁₆ MST4 | 3095 | 13 | 317.5 | 190.5 | 32.0 | 38.0 | 175.0 | 103.0 |

Consulte disponibilidad

** Para estos tamaños de diámetro interno seleccione la serie ST (consulte la página 56)

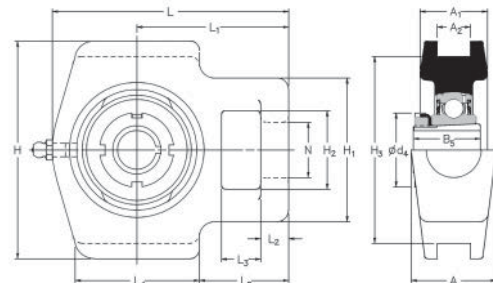


Los insertos de rodamiento con deflectores que se muestran en las páginas 91 y 92 pueden ensamblarse en estos alojamientos. La referencia de la unidad incluye el sufijo 'FS', por ejemplo, MST35FS.

Los insertos de rodamiento con sellados triples que se muestran de la página 88 a la 90 pueden ensamblarse en estos alojamientos. La referencia de la unidad incluye el prefijo 'T', por ejemplo, TMST35.

| | Dimensiones (mm) | | | | | | | | | | Índices de capacidad de carga ISO | | Velocidad máxima recomendada | Masa (aprox.) |
|--|------------------|-------|------|-------|------|------|------|-------|--------|-------|-----------------------------------|----------------------|------------------------------|---------------|
| | H | H1 | H2 | H3 | N | A | A1 | A2 | B | S | dinámica Cr newtons | estática Cor newtons | | |
| | 101.5 | 64.5 | 37.5 | 89.0 | 22.5 | 36.5 | 30.0 | 13.50 | 38.10 | 15.93 | 19500 | 11300 | 5300 | 1.6 |
| | 101.5 | 64.5 | 37.5 | 89.0 | 22.5 | 36.5 | 30.0 | 13.50 | 42.90 | 17.53 | 25700 | 15300 | 4500 | 1.6 |
| | 118.0 | 82.5 | 49.5 | 101.0 | 29.0 | 49.5 | 37.0 | 17.50 | 49.20 | 19.03 | 32500 | 19900 | 4000 | 2.7 |
| | 118.0 | 82.5 | 49.5 | 101.0 | 29.0 | 49.5 | 37.0 | 17.50 | 49.20 | 19.04 | 32500 | 20500 | 3700 | 2.8 |
| | 118.0 | 82.5 | 49.5 | 101.0 | 29.0 | 49.5 | 37.0 | 17.50 | 51.60 | 19.04 | 35000 | 23200 | 3400 | 2.8 |
| | 146.0 | 101.0 | 64.0 | 130.0 | 35.0 | 63.5 | 46.5 | 27.00 | 55.60 | 22.24 | 43500 | 29200 | 3100 | 4.2 |
| | 146.0 | 101.0 | 64.0 | 130.0 | 35.0 | 63.5 | 46.5 | 27.00 | 65.10 | 25.44 | 48000 | 33000 | 2800 | 5.4 |
| | 166.5 | 113.0 | 70.0 | 150.8 | 42.0 | 70.0 | 50.5 | 27.00 | 74.60 | 30.24 | 61000 | 45000 | 2450 | 7.9 |
| | 166.5 | 113.0 | 70.0 | 150.8 | 42.0 | 70.0 | 50.5 | 27.00 | 77.80 | 33.34 | 66000 | 49500 | 2300 | 8.4 |
| | 184.0 | 113.0 | 70.0 | 165.1 | 42.0 | 70.0 | 54.0 | 27.00 | 82.60 | 33.34 | 71500 | 54500 | 2150 | 9.0 |
| | 198.5 | 124.0 | 73.0 | 173.0 | 47.5 | 79.5 | 68.5 | 46.05 | 85.70 | 34.15 | 83000 | 64000 | 2000 | 13.7 |
| | 216.0 | 127.0 | 73.0 | 190.5 | 47.5 | 79.5 | 68.5 | 46.05 | 96.00 | 39.74 | 96000 | 71500 | 1900 | 16.8 |
| | 260.5 | 152.5 | 85.5 | 235.0 | 54.5 | 98.5 | 82.5 | 55.55 | 117.48 | 49.31 | 157000 | 122000 | 1600 | 22.2 |

Unidades de rodamiento tensoras de hierro fundido Self-Lube® con manguitos adaptadores Serie MST 1000-K



MST1000-K

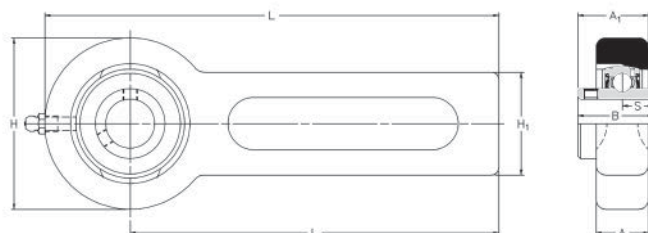
| Diámetro del eje | | Designación RHP de la unidad completa | Sólo manguito, tuerca y arandela | Unidades sin manguito, tuerca ni arandela | Rodam. básico | Inserto grupo fundición | Dimensiones (mm) | | | | | | |
|------------------|---------|--|---|---|---------------|-------------------------|------------------|-------|------|------|------|------|--|
| mm | pulg. | | | | | | L | H | J | G | A | A1 | |
| 20 | 3/4 | MST1025-20K MST1025-3/4K | H305 HE305-3/4 | MST1025K | 1025 | ST3 | 98.0 | 62.0 | 11.5 | 16.0 | 50.5 | 36.5 | |
| 25 | 15/16 | MST1030-25K MST1030-1 1/16K MST1030-1K | H306 HE306-15/16 HE306-1 | MST1030K | 1030 | 1 | 115.5 | 71.7 | 12.5 | 16.5 | 64.5 | 43.0 | |
| 30 | 1 1/8 | MST1035-30K MST1035-1 1/4K MST1035-1 3/16K | H307 HE307-1 1/8 HE307-1 3/16 | MST1035K | 1035 | 2 | 124.0 | 75.5 | 12.5 | 16.5 | 64.5 | 43.0 | |
| 35 | 1 1/4 | MST1040-35K MST1040-1 1/4K MST1040-1 3/8K | H308 HE308-1 1/4 HE308-1 3/8 | MST1040K | 1040 | 3 | 143.5 | 89.2 | 15.5 | 20.5 | 81.5 | 50.5 | |
| 40 | 1 7/16 | MST1045-40K MST1045-1 7/16K MST1045-1 1/2K | H309 HE309-1 7/16 HE309-1 1/2 | MST1045K | 1045 | 4 | 147.0 | 89.2 | 15.5 | 20.5 | 81.5 | 50.5 | |
| 45 | 1 11/16 | MST1050-45K MST1050-1 11/16K MST1050-1 3/4K | H310 HE310-1 11/16 HE310-1 3/4 | MST1050K | 1050 | 5 | 151.0 | 90.5 | 15.5 | 20.5 | 81.5 | 50.5 | |
| 50 | 1 15/16 | MST1055-50K MST1055-1 15/16K MST1055-2K | H311 HE3011-1 15/16 HE3011-2 | MST1055K | 1055 | 6 | 182.0 | 114.0 | 19.0 | 32.0 | 97.5 | 70.0 | |

Consulte disponibilidad

| | Dimensiones (mm) | | | | | | | | | | Índices de capacidad de carga ISO | | Velocidad máxima recomendada | Masa (aprox.) |
|--|------------------|-------|------|-------|------|------|------|-------|------|------|-----------------------------------|----------------------|------------------------------|---------------|
| | A2 | A3 | A5 | B | B1 | B2 | B3 | S | s1 | s2 | dinámica Cr newtons | estática Cor newtons | rev/min | kg |
| | 88.5 | 58.5 | 32.0 | 76.0 | 22.5 | 36.0 | 27.5 | 13.50 | 29.0 | 38.0 | 14000 | 7880 | 6250 | 1.0 |
| | 101.5 | 64.5 | 37.5 | 89.0 | 22.5 | 36.5 | 30.0 | 13.50 | 31.0 | 45.0 | 19500 | 11300 | 5300 | 1.6 |
| | 101.5 | 64.5 | 37.5 | 89.0 | 22.5 | 36.5 | 30.0 | 13.50 | 35.0 | 52.0 | 25700 | 15300 | 4500 | 1.6 |
| | 118.0 | 82.5 | 49.5 | 101.0 | 29.0 | 49.5 | 37.0 | 17.50 | 36.0 | 58.0 | 32500 | 19900 | 4000 | 2.7 |
| | 118.0 | 82.5 | 49.5 | 101.0 | 29.0 | 49.5 | 37.0 | 17.50 | 39.0 | 65.0 | 32500 | 20500 | 3700 | 2.8 |
| | 118.0 | 82.5 | 49.5 | 101.0 | 29.0 | 49.5 | 37.0 | 17.50 | 42.0 | 70.0 | 35000 | 23200 | 3400 | 2.8 |
| | 146.0 | 101.0 | 64.0 | 130.0 | 35.0 | 63.5 | 46.5 | 27.00 | 45.0 | 75.0 | 43500 | 29200 | 3100 | 4.2 |

Unidades tensoras de correas transportadoras de hierro fundido

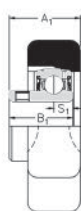
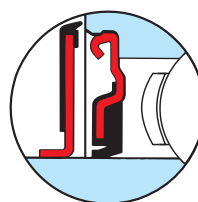
Self-Lube® Serie BT



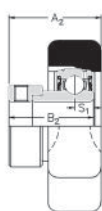
BT

| Diámetro del eje | Designación RHP | Inserto rodam. básico | Grupo fundición | Dimensiones (mm) | | | | | |
|---|---|--|---|------------------|----|------|------|-------|-------|
| | | | | H | H1 | L | L1 | | |
| mm pulg. | | | | | | | | | |
| 25 $\frac{7}{8}$ $\frac{15}{16}$ 1 | BT25 BT$\frac{7}{8}$ BT$\frac{15}{16}$ BT1 | BT25A BT1A | BT25EC BT$\frac{7}{8}$EC BT$\frac{15}{16}$EC BT1EC | 1025 | 3 | 78.0 | 42.5 | 264.0 | 225.0 |
| 30 35 $\frac{13}{16}$ $\frac{1}{4}$ $\frac{13}{8}$ $\frac{17}{16}$ | BT30L BT35 BT$\frac{13}{16}$L BT$\frac{1}{4}$ BT$\frac{13}{8}$ BT$\frac{17}{16}$ | BT35A BT$\frac{1}{4}$A | BT35EC BT$\frac{1}{4}$EC BT$\frac{13}{8}$EC BT$\frac{17}{16}$EC | 1035 | 5 | 98.0 | 42.5 | 274.0 | 225.0 |

Consulte disponibilidad



BT-A



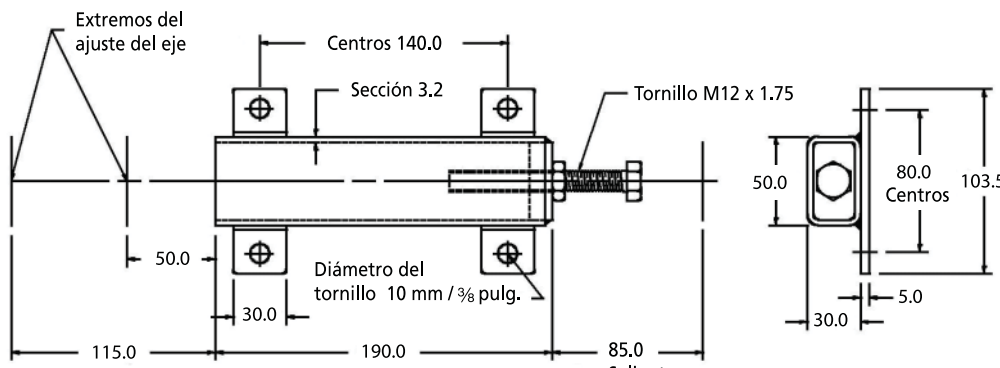
BT-EC

Los insertos de rodamiento con deflectores que se muestran en las páginas 91 y 92 pueden ensamblarse en estos alojamientos. La referencia de la unidad incluye el sufijo 'FS', por ejemplo, BT35FS.

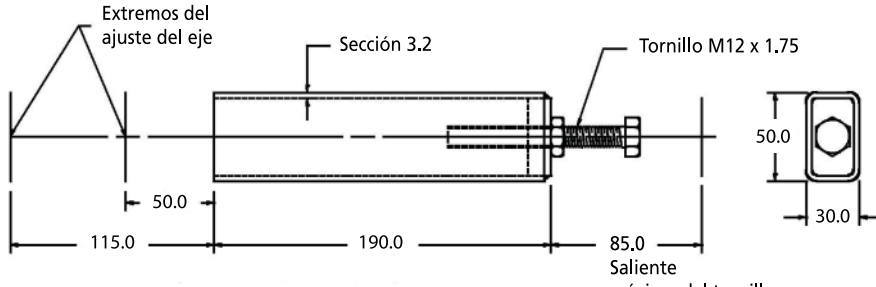
Los insertos de rodamiento con sellados triples que se muestran de la páginas de la 88 a la 90 pueden ensamblarse en estos alojamientos. La referencia de la unidad incluye el prefijo 'T', por ejemplo, TBT35.

| | Dimensiones (mm) | | | | | | | | Índices de capacidad de carga ISO | | Velocidad máxima recomendada | Masa (aprox.) |
|--|------------------|-------|-------|-------|-------|-------|-------|------|-----------------------------------|----------------------|------------------------------|---------------|
| | A | A1 | A2 | B | B1 | B2 | S | S1 | dinámica Cr newtons | estática Cor newtons | | |
| | 22.0 | 30.57 | 34.20 | 34.10 | 27.30 | 31.03 | 14.33 | 7.53 | 14000 | 7880 | 6250 | 1.8 |
| | 22.0 | 36.13 | 40.20 | 42.90 | 34.90 | 38.93 | 17.53 | 9.53 | 25700 | 15300 | 4500 | 2.3 |

BTHF (con pies) para atornillar al cuerpo de la máquina



BTHF (sin pies) para soldar al cuerpo de la máquina

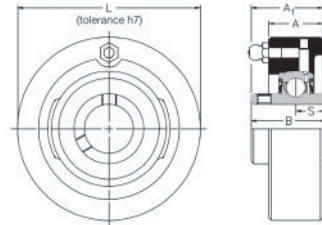


Estos soportes se adaptan a todas las unidades BT de la lista

Unidades de rodamiento tipo cartucho de hierro fundido Self-Lube®

Serie SLC

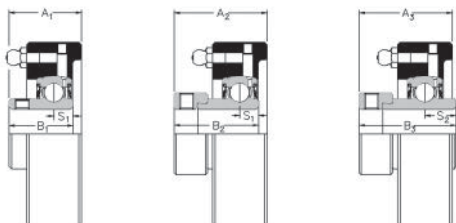
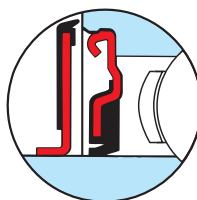
Para tolerancias de
alojamiento para adaptarse
diámetro exterior "L",
consulte la página 21



SLC

| Diámetro del eje | Designación RHP | | | | Inserto rodam. básico | Grupo fundición | Dimensiones (mm) | | | |
|--------------------------------|------------------------------------|---------------------------------------|------|-------|-----------------------------|--------------------|------------------|-------|--|--|
| | mm | pulg. | L | A | A1 | A2 | | | | |
| 12 | SLC12 | SLC12EC | 1017 | 1 | 68.287 | 22.22 | 24.21 | 30.35 | | |
| 15 | SLC15 | SLC15EC | | | | | | | | |
| 16 | SLC16 | SLC16EC | | | | | | | | |
| 17 | SLC17 | SLC17EC | | | | | | | | |
| 1/2 | SLC ¹ / ₂ | SLC ¹ / ₂ EC | | | | | | | | |
| 5/8 | SLC ⁵ / ₈ | SLC ⁵ / ₈ EC | | | | | | | | |
| 20 | SLC20 | SLC20A | 1020 | 2 | 74.367 | 22.22 | 29.39 | 34.54 | | |
| | SLC ³ / ₄ | SLC ³ / ₄ A | | | | | | | | |
| 25 | SLC25 | SLC25A | 1025 | 3 | 79.400 | 26.19 | 32.94 | 36.52 | | |
| | SLC ⁷ / ₈ | SLC ⁷ / ₈ EC | | | | | | | | |
| | SLC ¹⁵ / ₁₆ | SLC ¹⁵ / ₁₆ EC | | | | | | | | |
| 1 | SLC1 | SLC1A | | | | | | | | |
| 30 | SLC30 | SLC30A | 1030 | 4 | 88.925 | 27.78 | 36.12 | 40.56 | | |
| | SLC1 ¹ / ₈ | SLC1 ¹ / ₈ EC | | | | | | | | |
| | SLC1 ³ / ₁₆ | SLC1 ³ / ₁₆ EC | | | | | | | | |
| 1 ¹ / ₄ | SLC1 ¹ / ₄ R | SLC1 ¹ / ₄ AR | | | | | | | | |
| | SLC1 ¹ / ₄ R | SLC1 ¹ / ₄ ECCR | | | | | | | | |
| 35 | SLC35 | SLC35A | 1035 | 5 | 98.450 | 30.96 | 40.87 | 44.81 | | |
| | SLC1 ¹ / ₄ | SLC1 ¹ / ₄ A | | | | | | | | |
| | SLC1 ³ / ₈ | SLC1 ³ / ₈ EC | | | | | | | | |
| 1 ⁷ / ₁₆ | SLC1 ⁷ / ₁₆ | SLC1 ⁷ / ₁₆ EC | | | | | | | | |
| 40 | SLC40 | SLC40A | 1040 | 6 | 106.387 | 37.31 | 48.84 | 51.28 | | |
| | SLC1 ¹ / ₂ | SLC1 ¹ / ₂ A | | | | | | | | |
| 45 | SLC45 | SLC45A | 1045 | 7 | 111.150 | 36.51 | 48.44 | 50.88 | | |
| | SLC1 ⁵ / ₈ | SLC1 ⁵ / ₈ EC | | | | | | | | |
| | SLC1 ¹¹ / ₁₆ | SLC1 ¹¹ / ₁₆ EC | | | | | | | | |
| 1 ³ / ₄ | SLC1 ³ / ₄ | SLC1 ³ / ₄ A | | | | | | | | |
| 50 | SLC50 | SLC50A | 1050 | 8 | 115.913 | 37.31 | 51.18 | 51.28 | | |
| | SLC1 ⁷ / ₈ | SLC1 ⁷ / ₈ EC | | | | | | | | |
| | SLC1 ¹⁵ / ₁₆ | SLC1 ¹⁵ / ₁₆ EC | | | | | | | | |
| 2 | SLC2R | | | | | | | | | |
| 55 | SLC55 | SLC55DEC | 1055 | 9 | 125.437 | 40.48 | 53.57 | - | | |
| 2 | SLC2 | SLC2DEC | | | | | | | | |
| 2 ¹ / ₂ | SLC2 ¹ / ₂ | SLC2 ¹ / ₂ DEC | | | | | | | | |
| 2 ³ / ₁₆ | SLC2 ³ / ₁₆ | SLC2 ³ / ₁₆ DEC | | | | | | | | |
| 60 | SLC60 | SLC60DEC | 1060 | 10 | 149.250 | 41.28 | 60.30 | - | | |
| | SLC2 ¹ / ₄ | SLC2 ¹ / ₄ DEC | | | | | | | | |
| | SLC2 ³ / ₈ | SLC2 ³ / ₈ DEC | | | | | | | | |
| 2 ⁷ / ₁₆ | SLC2 ⁷ / ₁₆ | SLC2 ⁷ / ₁₆ DEC | | | | | | | | |
| 65 | SLC65 | SLC2 ¹ / ₂ DEC | 1065 | 10/65 | 149.250 | 41.28 | 60.30 | - | | |
| | SLC2 ¹ / ₂ | | | | | | | | | |

Consulte disponibilidad



SLC-A

SLC-EC

SLC-DEC

Los insertos de rodamiento con deflectores que se muestran en las páginas 91 y 92 pueden ensamblarse en estos alojamientos. La referencia de la unidad incluye el sufijo 'FS', por ejemplo, SLC25FS.

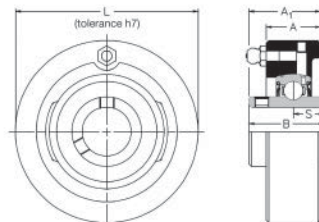
Los insertos de rodamiento con sellados triples que se muestran de la página 88 a la 90 pueden ensamblarse en estos alojamientos. La referencia de la unidad incluye el prefijo 'T', por ejemplo, TSLC25.

| | Dimensiones (mm) | | | | | | | | Índices de capacidad de carga ISO | | Veloc. máx. recom. | Masa (aprox.) |
|--|------------------|-------|-------|-------|-------|-------|-------|-------|-----------------------------------|----------------------|--------------------|---------------|
| | A3 | B | B1 | B2 | B3 | s | s1 | s2 | dinámica Cr newtons | estática Cor newtons | rev/min | kg |
| | – | 27.38 | – | 28.63 | – | 11.58 | 6.53 | – | 9550 | 4800 | 7000 | 0.6 |
| | 37.67 | 31.00 | 25.80 | 31.03 | 43.73 | 12.73 | 7.53 | 17.13 | 12800 | 6650 | 6700 | 0.7 |
| | 40.06 | 34.10 | 27.30 | 31.03 | 44.43 | 14.33 | 7.53 | 17.53 | 14000 | 7880 | 6250 | 0.8 |
| | 43.99 | 38.10 | 31.20 | 35.73 | 48.43 | 15.93 | 9.03 | 18.33 | 19500 | 11300 | 5300 | 1.1 |
| | 47.78 | 42.90 | 34.90 | 38.93 | 51.13 | 17.53 | 9.53 | 18.83 | 25700 | 15300 | 4500 | 1.4 |
| | 53.57 | 49.20 | 41.20 | 43.73 | 56.33 | 19.03 | 11.03 | 21.43 | 32500 | 19900 | 4000 | 2.0 |
| | 53.16 | 49.20 | 41.20 | 43.73 | 56.33 | 19.04 | 11.04 | 21.43 | 32500 | 20500 | 3700 | 2.1 |
| | 56.72 | 51.60 | 43.50 | 43.73 | 62.73 | 19.04 | 11.04 | 24.64 | 35000 | 23200 | 3400 | 2.3 |
| | 63.83 | 55.60 | – | – | 71.42 | 22.24 | – | 27.82 | 43500 | 29200 | 3100 | 2.9 |
| | 67.39 | 65.10 | – | – | 77.84 | 25.44 | – | 31.04 | 48000 | 33000 | 2800 | 4.4 |
| | 67.39 | 65.10 | – | – | 85.74 | 25.44 | – | 34.14 | 57500 | 40000 | 2600 | 4.5 |

Unidades de rodamiento tipo cartucho de hierro fundido Self-Lube®

Serie MSC

Para tolerancias de
alojamiento para adaptarse
diámetro exterior "L",
consulte la página 21

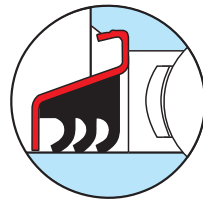
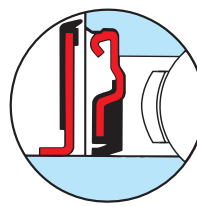


MSC

| Diámetro del eje | Designación RHP | Inserto rodam. básico | Grupo fundición | Dimensiones (mm) | | |
|-----------------------------|---|-----------------------------|--------------------|------------------|-------|--|
| | | | | L | A | |
| mm pulg. | | | | | | |
| 25 30 1 | MSC25 ** MSC1 | 1030 | 1 | 88.925 | 27.78 | |
| 35 1 3/16 1 1/4 | ** MSC1 3/16 ** | 1035 | 2 | 98.450 | 30.96 | |
| 40 1 3/8 1 7/16 | ** MSC1 3/8 MSC1 7/16 | 1040 | 3 | 106.387 | 37.31 | |
| 45 1 1/2 | ** MSC1 1/2 | 1045 | 4 | 111.150 | 36.51 | |
| 50 1 11/16 1 3/4 | ** MSC1 11/16 MSC1 3/4 | 1050 | 5 | 115.913 | 37.31 | |
| 55 1 7/8 1 15/16 2 | ** MSC1 7/8 MSC1 15/16 ** | 1055 | 6 | 125.437 | 40.48 | |
| 60 2 3/16 2 1/4 | ** MSC2 3/16 ** | 1060 | 7 | 149.250 | 41.28 | |
| 65 70 2 7/16 2 1/2 | MSC65 MCS70 MSC2 7/16 MSC2 1/2 | 1070 | 8 | 158.775 | 50.80 | |
| 75 2 11/16 2 3/4 | MSC75 MSC2 11/16 MSC2 3/4 | 1075 | 9 | 168.300 | 50.80 | |
| 80 2 15/16 3 | MSC80 MSC2 15/16 MSC3 | 1080 | 10 | 177.825 | 55.56 | |
| 85 3 3/16 3 1/4 | MSC85 MSC3 3/16 MSC3 1/4 | 1085 | 11 | 188.937 | 63.50 | |
| 90 3 7/16 3 1/2 | MSC90 MSC3 7/16 MSC3 1/2 | 1090 | 12 | 207.987 | 63.50 | |
| 95 100 3 15/16 4 | MSC95 MSC100 MSC3 15/16 MSC4 | 3095 | 13 | 241.325 | 76.20 | |

Consulte disponibilidad

** Para estos tamaños de diámetro interno seleccione la serie SLC (consulte la página 64)



Los insertos de rodamiento con deflectores que se muestran en las páginas 91 y 92 pueden ensamblarse en estos alojamientos. La referencia de la unidad incluye el sufijo 'FS', por ejemplo, MSC 1 $\frac{3}{16}$ FS.

Los insertos de rodamiento con sellados triples que se muestran de la página 88 a la 90 pueden ensamblarse en estos alojamientos. La referencia de la unidad incluye el prefijo 'T', por ejemplo, TMSC 1 $\frac{3}{16}$.

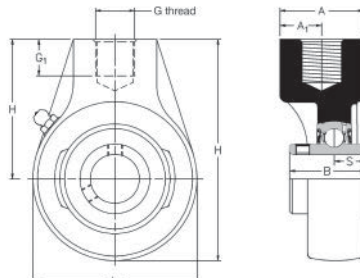
| | Dimensiones (mm) | | | Índices de capacidad de carga ISO | | Veloc. máx. recom. | Masa (aprox.) |
|--|------------------|--------|-------|-----------------------------------|----------------------|--------------------|---------------|
| | A1 | B | S | dinámica Cr newtons | estática Cor newtons | | |
| | 36.12 | 38.10 | 15.93 | 19500 | 11300 | 5300 | 1.1 |
| | 40.87 | 42.90 | 17.53 | 25700 | 15300 | 4500 | 1.4 |
| | 48.84 | 49.20 | 19.03 | 32500 | 19900 | 4000 | 2.0 |
| | 48.44 | 49.20 | 19.04 | 32500 | 20500 | 3700 | 2.1 |
| | 51.18 | 51.60 | 19.04 | 35000 | 23200 | 3400 | 2.3 |
| | 53.57 | 55.60 | 22.24 | 43500 | 29200 | 3100 | 2.9 |
| | 60.30 | 65.10 | 25.44 | 48000 | 33000 | 2800 | 4.4 |
| | 69.80 | 74.60 | 30.24 | 61000 | 45000 | 2450 | 5.3 |
| | 69.80 | 77.80 | 33.34 | 66000 | 49500 | 2300 | 6.2 |
| | 76.99 | 82.60 | 33.34 | 71500 | 54500 | 2150 | 7.9 |
| | 83.29 | 85.70 | 34.15 | 83000 | 64000 | 2000 | 9.3 |
| | 88.06 | 96.00 | 39.74 | 96000 | 71500 | 1900 | 12.7 |
| | 106.38 | 117.48 | 49.31 | 157000 | 122000 | 1600 | 20.4 |

Unidades de rodamiento tipo percha de hierro fundido Self-Lube®

Serie SCHB (rosca BSP)

Serie SCH (rosca métrica)**

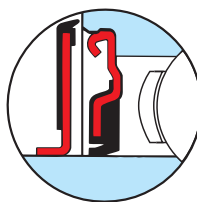
**Las unidades de esta serie son idénticas a las de la serie SCHB, excepto por algún detalle de la rosca



SCHB (rosca BSP)
SCH (rosca métrica)

| Diámetro del eje mm pulg. | Designación RHP | Inserto rodam. básico | Grupo fundición | Dimensiones | | | | |
|--|---|--|-----------------|-------------|------------------------|------------|------|-------|
| | | | | G (BSP) | G (sistema métrico) | G1 (mm) | L | |
| 20 $\frac{3}{4}$ | SCHB20 SCHB$\frac{3}{4}$ | SCH20 SCH$\frac{3}{4}$ | 1020 | 0 | $\frac{1}{2}$ | M16 x 2.00 | 19.0 | 67.0 |
| 25 30 $\frac{7}{8}$ 1 $1\frac{1}{8}$ | SCHB25 SCHB30 SCHB$\frac{7}{8}$ SCHB1 SCHB$1\frac{1}{8}$ | SCH25 SCH30 SCH$\frac{7}{8}$ SCH1 SCH$1\frac{1}{8}$ | 1030 | 2/0 | $\frac{1}{2}$ | M20 x 2.50 | 16.0 | 89.0 |
| 35 $1\frac{3}{16}$ $1\frac{1}{4}$ $1\frac{3}{8}$ | SCHB35 SCHB$1\frac{3}{16}$ SCHB$1\frac{1}{4}$ SCHB$1\frac{3}{8}$ | SCH35 SCH$1\frac{3}{16}$ SCH$1\frac{1}{4}$ SCH$1\frac{3}{8}$ | 1035 | 1 | $\frac{3}{4}$ | M24 x 3.00 | 19.0 | 97.0 |
| 40 $1\frac{7}{16}$ $1\frac{1}{2}$ | SCHB40 SCHB$1\frac{7}{16}$ SCHB$1\frac{1}{2}$ | SCH40 SCH$1\frac{7}{16}$ SCH$1\frac{1}{2}$ | 1040 | 2 | $\frac{3}{4}$ | M24 x 3.00 | 19.0 | 107.0 |
| 45 50 $1\frac{11}{16}$ $1\frac{3}{4}$ $1\frac{7}{8}$ $1\frac{15}{16}$ 2 | SCHB45 SCHB50 SCHB$1\frac{11}{16}$ SCHB$1\frac{3}{4}$ SCHB$1\frac{7}{8}$ SCHB$1\frac{15}{16}$ SCHB2 | SCH45 SCH50 SCH$1\frac{11}{16}$ SCH$1\frac{3}{4}$ SCH$1\frac{7}{8}$ SCH$1\frac{15}{16}$ SCH2 | 1050 | 3 | 1 | M24 x 3.00 | 21.0 | 121.0 |
| 55 60 $2\frac{3}{16}$ $2\frac{1}{4}$ $2\frac{3}{8}$ $2\frac{1}{2}$ | SCHB55 SCHB60 SCHB$2\frac{3}{16}$ SCHB$2\frac{1}{4}$ SCHB$2\frac{3}{8}$ SCHB$2\frac{1}{2}$ | SCH55 SCH60 SCH$2\frac{3}{16}$ SCH$2\frac{1}{4}$ SCH$2\frac{3}{8}$ SCH$2\frac{1}{2}$ | 1060 | 4 | $1\frac{1}{4}$ | M42 x 4.50 | 29.0 | 146.5 |
| 2 $\frac{1}{2}$ | SCHB$2\frac{1}{2}$ | SCH$2\frac{1}{2}$ | 1065 | 4/65 | $1\frac{1}{4}$ | M42 x 4.50 | 29.0 | 143.0 |
| 65 70 75 $2\frac{11}{16}$ $2\frac{3}{4}$ $2\frac{7}{8}$ $2\frac{15}{16}$ | SCHB65 SCHB70 SCHB75 SCHB$2\frac{11}{16}$ SCHB$2\frac{3}{4}$ SCHB$2\frac{7}{8}$ SCHB$2\frac{15}{16}$ | SCH65 SCH70 SCH75 SCH$2\frac{11}{16}$ SCH$2\frac{3}{4}$ SCH$2\frac{7}{8}$ SCH$2\frac{15}{16}$ | 1075 | 5 | $1\frac{1}{2}$ | M48 x 5.00 | 32.0 | 165.0 |
| 80 3 $3\frac{3}{16}$ | SCHB80 SCHB3 SCHB$3\frac{3}{16}$ | SCH80 SCH3 SCH$3\frac{3}{16}$ | 1080 | 6 | $1\frac{1}{2}$ | M48 x 5.00 | 32.0 | 174.5 |

Consulte disponibilidad



Los insertos de rodamiento con deflectores que se muestran en las páginas 91 y 92 pueden ensamblarse en estos alojamientos. La referencia de la unidad incluye el sufijo 'FS', por ejemplo, SCHB35FS.

Los insertos de rodamiento con sellados triples que se muestran de la página 88 a la 90 pueden ensamblarse en estos alojamientos. La referencia de la unidad incluye el prefijo 'T', por ejemplo, TSCHB35.

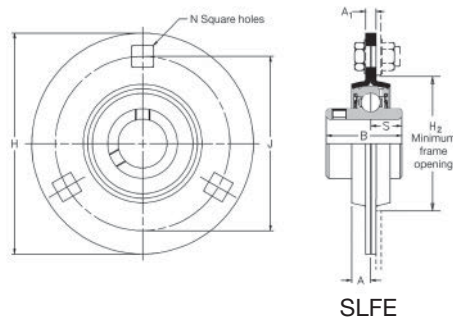
| | Dimensiones (mm) | | | | | | Índices de capacidad de carga ISO | | Veloc. máx. recom. | Masa (aprox.) |
|--|------------------|-------|------|-------|-------|-------|-----------------------------------|----------------------|--------------------|---------------|
| | H | H1 | A | A1 | B | s | dinámica Cr newtons | estática Cor newtons | | |
| | 91.6 | 57.2 | 34.0 | 18.26 | 30.96 | 12.75 | 12800 | 6650 | 6700 | 0.8 |
| | 107.5 | 61.9 | 33.5 | 22.22 | 38.10 | 15.93 | 19500 | 11300 | 5300 | 1.2 |
| | 119.0 | 69.8 | 39.5 | 25.40 | 42.88 | 17.53 | 25700 | 15300 | 4500 | 1.5 |
| | 127.5 | 73.0 | 39.0 | 27.79 | 49.23 | 19.10 | 32500 | 19900 | 4000 | 1.6 |
| | 144.0 | 82.6 | 47.5 | 27.79 | 51.59 | 19.10 | 35000 | 23200 | 3400 | 2.2 |
| | 175.0 | 101.6 | 58.5 | 30.94 | 65.07 | 25.45 | 48000 | 33000 | 2800 | 3.5 |
| | 173.5 | 101.6 | 58.5 | 30.94 | 65.07 | 25.45 | 57500 | 40000 | 2600 | 3.4 |
| | 200.6 | 117.5 | 70.0 | 34.94 | 77.77 | 33.37 | 66000 | 49500 | 2300 | 6.8 |
| | 211.5 | 123.8 | 71.5 | 41.29 | 82.55 | 33.37 | 71500 | 54500 | 2150 | 8.1 |

Unidades de rodamiento tipo deflector de acero prensado Self-Lube® (alojamientos recubiertos de zinc)

Serie SLFE

**Los alojamientos de los grupos del 6 al 10 incluidos
disponen de cuatro orificios para los pernos**

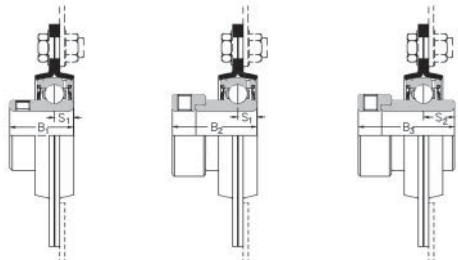
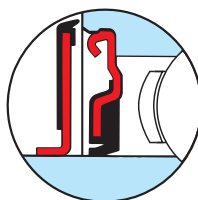
Nota: estas unidades no son reengrasables



| Diámetro del eje | | Designación RHP | | | Inserto rodam. básico | Grupo fundición | Dimensiones (mm) | | | | |
|--|-----------------------------------|--|--|---|--|-----------------|------------------|-------|-------|-------|------|
| mm | pulg. | | | | | | H | H2 | J | N | |
| 12 15 16 17 $\frac{1}{2}$ $\frac{5}{8}$ | | SLFE12 | SLFE12EC | | 1017 | 1 | 81.0 | 49.0 | 63.5 | 7.1 | |
| | | SLFE15 | SLFE15EC | | | | | | | | |
| | | SLFE16 | SLFE16EC | | | | | | | | |
| | | SLFE17 | SLFE17A | | | | | | | | |
| | | SLFE$\frac{1}{2}$ | SLFE$\frac{1}{2}$EC | | | | | | | | |
| | | SLFE$\frac{5}{8}$ | SLFE$\frac{5}{8}$EC | | | | | | | | |
| 20 | $\frac{3}{4}$ | SLFE20 SLFE$\frac{3}{4}$ | SLFE20A SLFE$\frac{3}{4}A$ | SLFE20EC SLFE$\frac{3}{4}$EC | SLFE20DEC SLFE$\frac{3}{4}$DEC | 1020 | 2 | 90.5 | 55.0 | 71.5 | 8.7 |
| 25 $\frac{7}{8}$ $\frac{15}{16}$ 1 | | SLFE25 | SLFE25A | SLFE25EC | SLFE25DEC | 1025 | 3 | 95.2 | 60.0 | 76.0 | 8.7 |
| | | SLFE$\frac{7}{8}$ | SLFE$\frac{15}{16}$ | SLFE1 | SLFE1A | | | | | | |
| 30 $1\frac{1}{8}$ $1\frac{3}{16}$ $1\frac{1}{4}$ | | SLFE30 | SLFE30A | SLFE30EC | SLFE30DEC | 1030 | 4 | 112.7 | 71.0 | 90.5 | 10.5 |
| | | SLFE1$\frac{1}{8}$ | | SLFE1$\frac{3}{16}$ | SLFE1$\frac{1}{4}$EC | | | | | | |
| | | SLFE1$\frac{3}{16}$ | | SLFE1$\frac{1}{4}$A | SLFE1$\frac{1}{4}$EC | | | | | | |
| | | SLFE1$\frac{1}{4}$ | | | | | | | | | |
| 35 $1\frac{3}{8}$ $1\frac{7}{16}$ | | SLFE1$\frac{1}{4}$L SLFE35 | SLFE1$\frac{1}{4}$AL SLFE35A | SLFE1$\frac{1}{4}$ECL SLFE35EC | SLFE1$\frac{1}{4}$DECL SLFE35DEC | 1035 | 5 | 122.2 | 81.0 | 100.0 | 10.5 |
| | | SLFE1$\frac{3}{8}$ | SLFE1$\frac{7}{16}$ | SLFE1$\frac{1}{4}$A | SLFE1$\frac{1}{4}$EC | | | | | | |
| 40 | $1\frac{1}{2}$ | SLFE40 SLFE1$\frac{1}{2}$ | SLFE40A SLFE1$\frac{1}{2}A$ | SLFE40EC SLFE1$\frac{1}{2}$EC | SLFE40DEC SLFE1$\frac{1}{2}$DEC | 1040 | 6 | 147.8 | 91.0 | 119.0 | 13.5 |
| 45 $1\frac{5}{8}$ $1\frac{11}{16}$ $1\frac{3}{4}$ | | SLFE45 | SLFE45A | SLFE45EC | SLFE45DEC | 1045 | 7 | 149.2 | 97.0 | 120.5 | 13.5 |
| | | SLFE1$\frac{5}{8}$ | SLFE1$\frac{11}{16}$ | SLFE1$\frac{3}{4}$A | SLFE1$\frac{11}{16}$EC | | | | | | |
| 50 $1\frac{7}{8}$ $1\frac{15}{16}$ 2 | | SLFE50 SLFE1$\frac{7}{8}$ | SLFE50A | SLFE50EC SLFE1$\frac{7}{8}$EC | SLFE50DEC SLFE1$\frac{7}{8}$DEC | 1050 | 8 | 155.6 | 102.0 | 127.0 | 13.5 |
| | | SLFE1$\frac{15}{16}$ | | SLFE2R | SLFE1$\frac{15}{16}$EC | | | | | | |
| 55 2 $2\frac{1}{8}$ $2\frac{3}{16}$ | | SLFE55 SLFE2 | | SLFE55DEC SLFE2DEC | | 1055 | 9 | 166.6 | 113.0 | 138.0 | 13.5 |
| | | SLFE2$\frac{1}{8}$ | | SLFE2$\frac{3}{16}$ | SLFE2$\frac{3}{16}$DEC | | | | | | |
| 60 | $2\frac{1}{4}$ $2\frac{7}{16}$ | SLFE60 SLFE2$\frac{1}{4}$ | | SLFE60DEC SLFE2$\frac{1}{4}$DEC | SLFE2$\frac{7}{16}$DEC | 1060 | 10 | 176.2 | 122.0 | 147.6 | 13.5 |

Consulte disponibilidad

Está disponible una versión modificada de estas versiones para si debe ensamblarse un protector, consulte la página 93 para más detalles



SLFE-A

SLFE-EC

SLFE-DEC

Los insertos de rodamiento con deflectores que se muestran en las páginas 91 y 92 pueden ensamblarse en estos alojamientos. La referencia de la unidad incluye el sufijo 'FS', por ejemplo, SLFE25FS.

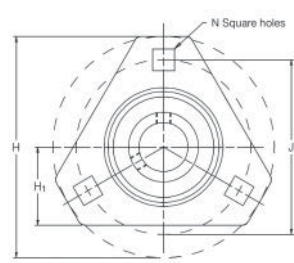
Los insertos de rodamiento con sellados triples que se muestran de la página de la 88 a la 90 pueden ensamblarse en estos alojamientos. La referencia de la unidad incluye el prefijo 'T', por ejemplo, TSLFE25.

| | Dimensiones (mm) | | | | | | | | | | Carga radial máxima del alojamiento | Veloc. máx. recom. | Masa (aprox.) |
|--|------------------|-----|-------|-------|-------|-------|-------|-------|-------|-------|-------------------------------------|--------------------|---------------|
| | A | A1 | B | B1 | B2 | B3 | S | s1 | s2 | | | | |
| | 6.7 | 4.0 | 27.38 | — | 28.63 | — | 11.58 | 6.53 | — | 2670 | newtons | 3000 rev/min | 0.2 kg |
| | 7.7 | 4.0 | 31.00 | 25.80 | 31.03 | 43.73 | 12.73 | 7.53 | 17.13 | 3110 | newtons | 3000 rev/min | 0.3 kg |
| | 8.7 | 4.0 | 34.10 | 27.30 | 31.03 | 44.43 | 14.33 | 7.53 | 17.53 | 3560 | newtons | 2500 rev/min | 0.4 kg |
| | 9.0 | 5.0 | 38.10 | 31.20 | 35.73 | 48.43 | 15.93 | 9.03 | 18.33 | 4890 | newtons | 2500 rev/min | 0.7 kg |
| | 10.0 | 5.0 | 42.90 | 34.90 | 38.93 | 51.13 | 17.53 | 9.53 | 18.83 | 6250 | newtons | 2000 rev/min | 0.9 kg |
| | 10.0 | 7.0 | 49.20 | 41.20 | 43.73 | 56.33 | 19.03 | 11.03 | 21.43 | 7550 | newtons | 2000 rev/min | 1.5 kg |
| | 10.0 | 7.0 | 49.20 | 41.20 | 43.73 | 56.33 | 19.04 | 11.04 | 21.43 | 7550 | newtons | 2000 rev/min | 1.6 kg |
| | 10.5 | 8.0 | 51.60 | 43.50 | 43.73 | 62.73 | 19.04 | 11.04 | 24.64 | 8450 | newtons | 1500 rev/min | 1.8 kg |
| | 10.7 | 8.0 | 55.60 | — | — | 71.42 | 22.24 | — | 27.84 | 10200 | newtons | 1500 rev/min | 2.2 kg |
| | 11.9 | 8.0 | 65.10 | — | — | 77.84 | 25.44 | — | 31.04 | 11300 | newtons | 1500 rev/min | 2.5 kg |

Unidades de rodamiento tipo deflector de acero prensado Self-Lube® (alojamientos recubiertos de zinc)

Serie SLFT

Nota: estas unidades no son reengrasables

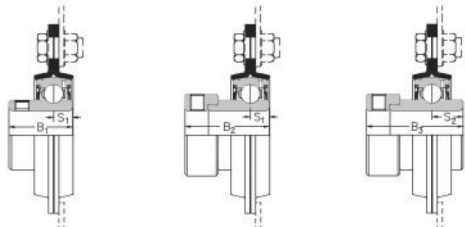
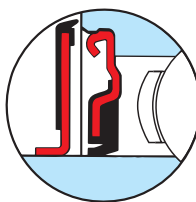


SLFT

| Diámetro del eje mm pulg. | Designación RHP | Inserto rodam. básico | Grupo fundición | Dimensiones (mm) | | | | | | | |
|---|---|--|---|--|------|-------|-------|------|------|-------|------|
| | | | | H | H1 | H2 | J | N | | | |
| 25 $\frac{7}{8}$ $1\frac{5}{16}$ 1 | SLFT25 SLFT$\frac{7}{8}$ SLFT$1\frac{5}{16}$ SLFT1 | SLFT25A SLFT$\frac{7}{8}$EC SLFT$1\frac{5}{16}$EC SLFT1A | SLFT25DEC SLFT$\frac{7}{8}$DEC SLFT$1\frac{5}{16}$DEC SLFT1EC | 1025 | 3 | 95.2 | 34.2 | 60.0 | 76.0 | 8.7 | |
| 30 $1\frac{1}{8}$ $1\frac{3}{16}$ $1\frac{1}{4}$ | SLFT30 SLFT$1\frac{1}{8}$ SLFT$1\frac{3}{16}$ SLFT$1\frac{1}{4}$ | SLFT30A SLFT$1\frac{1}{8}$EC SLFT$1\frac{3}{16}$EC SLFT$1\frac{1}{4}$A | SLFT30DEC SLFT$1\frac{1}{8}$DEC SLFT$1\frac{3}{16}$DEC SLFT$1\frac{1}{4}$EC | 1030 | 4 | 112.7 | 40.2 | 71.0 | 90.5 | 10.5 | |
| 35 $1\frac{1}{4}$ $1\frac{3}{8}$ $1\frac{7}{16}$ | SLFT$1\frac{1}{4}$L SLFT35 SLFT$1\frac{3}{8}$ SLFT$1\frac{7}{16}$ | SLFT$1\frac{1}{4}$AL SLFT35A | SLFT$1\frac{1}{4}$ECL SLFT35EC SLFT$1\frac{7}{16}$EC | SLFT$1\frac{1}{4}$DECL SLFT35DEC SLFT$1\frac{7}{16}$DEC | 1035 | 5 | 122.2 | 44.2 | 81.0 | 100.0 | 10.5 |

Consulte disponibilidad

Está disponible una versión modificada de estas versiones para si debe ensamblarse un protector, consulte la página 93 para más detalles



SLFT-A

SLFT-EC

SLFT-DEC

Los insertos de rodamiento deflectores que se muestran en las páginas 91 y 92 pueden ensamblarse en estos alojamientos. La referencia de la unidad incluye el sufijo 'FS', por ejemplo, SLFT35FS.

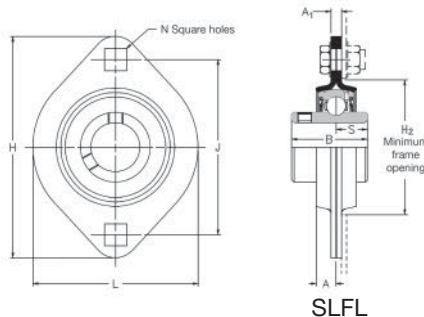
Los insertos de rodamiento con sellados triples que se muestran de la página 88 a la 90 pueden ensamblarse en estos alojamientos. La referencia de la unidad incluye el prefijo 'T', por ejemplo, TSLFT35.

| | Dimensiones (mm) | | | | | | | | | | Carga radial máxima del alojamiento | Velocidad máxima recomendada | Masa (aprox.) |
|--|------------------|-----|-------|-------|-------|-------|-------|------|-------|--|-------------------------------------|------------------------------|---------------|
| | A | A1 | B | B1 | B2 | B3 | S | s1 | s2 | | | | |
| | 8.7 | 4.0 | 34.11 | 27.35 | 30.92 | 44.40 | 14.32 | 7.56 | 17.49 | | 3560 | 2500 | 0.3 |
| | 9.0 | 5.0 | 38.10 | 31.21 | 35.68 | 48.42 | 15.93 | 9.04 | 18.32 | | 4890 | 2500 | 0.5 |
| | 10.0 | 5.0 | 42.88 | 34.90 | 38.88 | 51.18 | 17.53 | 9.55 | 18.89 | | 6250 | 2000 | 0.7 |

Unidades de rodamiento tipo deflector de acero prensado Self-Lube® (alojamientos recubiertos de zinc)

Serie SLFL

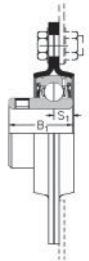
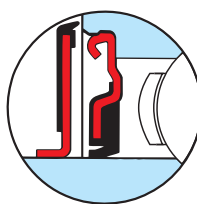
Nota: estas unidades no son reengrasables



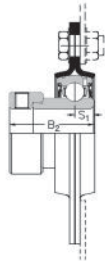
| Diámetro del eje | | Designación RHP | | | Inserto rodam. básico | Grupo fundición | Dimensiones (mm) | | | | | | |
|------------------|-----------------|--------------------------------------|---------------------------------------|---|--|-----------------|------------------|------|-------|------|------|------|--|
| mm | pulg. | | | | | | L | H | H2 | J | N | | |
| 12 | | SLFL12 | SLFL12EC | | 1017 | 1 | 58.7 | 81.0 | 49.0 | 63.5 | 7.1 | | |
| 15 | | SLFL15 | SLFL15EC | | | | | | | | | | |
| 16 | | SLFL16 | SLFL16EC | | | | | | | | | | |
| 17 | $\frac{1}{2}$ | SLFL17 | SLFL17EC | | | | | | | | | | |
| | $\frac{5}{8}$ | SLFL$\frac{1}{2}$ | SLFL$\frac{1}{2}$EC | | | | | | | | | | |
| | | SLFL$\frac{5}{8}$ | SLFL$\frac{5}{8}$EC | | | | | | | | | | |
| 20 | $\frac{3}{4}$ | SLFL20 | SLFL20A | SLFL20EC | SLFL20DEC | 1020 | 2 | 66.7 | 90.5 | 55.0 | 71.5 | 8.7 | |
| | | SLFL$\frac{3}{4}$ | SLFL$\frac{3}{4}$A | SLFL$\frac{3}{4}$EC | SLFL$\frac{3}{4}$DEC | | | | | | | | |
| 25 | $\frac{7}{8}$ | SLFL25 | SLFL25A | SLFL25EC | SLFL25DEC | 1025 | 3 | 71.0 | 95.3 | 60.0 | 76.0 | 8.7 | |
| | $\frac{15}{16}$ | SLFL$\frac{7}{8}$ | SLFL$\frac{15}{16}$ | SLFL$\frac{15}{16}$EC | SLFL$\frac{15}{16}$DEC | | | | | | | | |
| 1 | | SLFL1 | SLFL1A | SLFL1EC | SLFL1DEC | | | | | | | | |
| 30 | $1\frac{1}{8}$ | SLFL30 | SLFL30A | SLFL30EC | SLFL30DEC | 1030 | 4 | 84.1 | 112.7 | 71.0 | 90.5 | 10.5 | |
| | $1\frac{3}{16}$ | SLFL1$\frac{1}{8}$ | SLFL1$\frac{3}{16}$ | SLFL1$\frac{3}{16}$EC | SLFL1$\frac{3}{16}$DEC | | | | | | | | |
| | $1\frac{1}{4}$ | SLFL1$\frac{1}{4}$ | SLFL1$\frac{1}{4}$A | SLFL1$\frac{1}{4}$EC | SLFL1$\frac{1}{4}$DEC | | | | | | | | |

Consulte disponibilidad

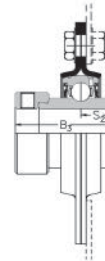
Está disponible una versión modificada de estas versiones para si debe ensamblarse un protector, consulte la página 93 para más detalles



SLFL-A



SLFL-EC



SLFL-DEC

Los insertos de rodamiento con deflectores que se muestran en las páginas 91 y 92 pueden ensamblarse en estos alojamientos. La referencia de la unidad incluye el sufijo 'FS', por ejemplo, SLFL1FS.

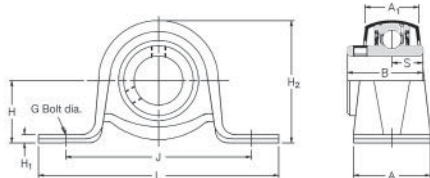
Los insertos de rodamiento con sellados triples que se muestran de la página 88 a la 90 pueden ensamblarse en estos alojamientos. La referencia de la unidad incluye el prefijo 'T', por ejemplo, TSLFL1.

| | Dimensiones (mm) | | | | | | | | | | Carga radial máxima del alojamiento | Velocidad máxima recomendada | Masa (aprox.) |
|--|------------------|-----|-------|-------|-------|-------|-------|------|-------|--|-------------------------------------|------------------------------|---------------|
| | A | A1 | B | B1 | B2 | B3 | S | s1 | s2 | | | | |
| | 6.7 | 4.0 | 27.38 | — | 28.54 | — | 11.55 | 6.55 | — | | 2670 | 3000 | 0.2 |
| | 7.7 | 4.0 | 30.96 | 25.77 | 30.92 | 43.62 | 12.75 | 7.56 | 17.12 | | 3110 | 3000 | 0.3 |
| | 8.7 | 4.0 | 34.11 | 27.35 | 30.92 | 44.40 | 14.32 | 7.56 | 17.49 | | 3560 | 2500 | 0.3 |
| | 9.0 | 5.0 | 38.10 | 31.21 | 35.68 | 48.42 | 15.93 | 9.04 | 18.32 | | 4890 | 2500 | 0.5 |

Unidades tipo puente de acero prensado Self-Lube® (alojamientos recubiertos de zinc)

Serie LPB

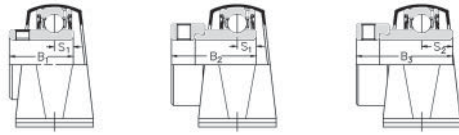
Nota: estas unidades no son reengrasables



LPB

| Diámetro del eje mm pulg. | Designación RHP | Inserto rodam. básico | Grupo fundición | Dimensiones (mm) | | | | | | | |
|---|---|--|---|--|------|------|-------|------|------|------|-------|
| | | | | L | H | H1 | H2 | J | | | |
| 12 15 16 17 1/2 5/8 | LPB12 LPB15 LPB16 LPB17 LPB1/2 | LPB12EC LPB15EC LPB16EC LPB17EC LPB1/2EC LPB5/8EC | 1017 | 1 | 85.7 | 22.2 | 2.4 | 43.2 | 68.0 | | |
| 20 3/4 | LPB20 LPB3/4 | LPB20A LPB3/4A | LPB20EC LPB3/4EC | LPB20DEC LPB3/4DEC | 1020 | 2 | 98.4 | 25.4 | 2.4 | 49.9 | 76.0 |
| 25 7/8 19/16 1 | LPB25 LPB7/8 LPB19/16 LPB1 | LPB25A LPB1A | LPB25EC LPB7/8EC LPB19/16EC LPB1EC | LPB25DEC LPB7/8DEC LPB19/16DEC LPB1DEC | 1025 | 3 | 108.0 | 28.6 | 2.8 | 55.8 | 86.0 |
| 30 1 1/8 1 3/16 1 1/4 1 1/4 | LPB30 LPB1 1/8 LPB1 3/16 LPB1 1/4 LPB1 1/4L | LPB30A LPB1 1/4A LPB1 1/4AL | LPB30EC LPB1 1/8EC LPB1 3/16EC LPB1 1/4EC LPB1 1/4ECL | LPB30DEC LPB1 1/8DEC LPB1 3/16DEC LPB1 1/4DEC LPB1 1/4DECL | 1030 | 4 | 117.5 | 33.3 | 3.6 | 65.7 | 95.0 |
| 35 1 3/8 1 7/16 | LPB35 LPB1 3/8 LPB1 7/16 | LPB35A | LPB35EC LPB1 3/8EC LPB1 7/16EC | LPB35DEC LPB1 3/8DEC LPB1 7/16DEC | 1035 | 5 | 128.6 | 39.7 | 4.4 | 77.5 | 106.0 |

Consulte disponibilidad



LPB-A

LPB-EC

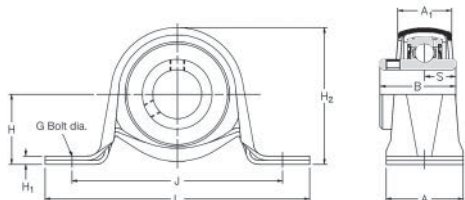
LPB-DEC

| | Dimensiones (mm) | | | | | | | | | | Carga radial máxima del alojamiento | Velocidad máxima recomendada | Masa (aprox.) | |
|--|------------------|------|------|-------|-------|-------|-------|-------|------|-------|-------------------------------------|------------------------------|---------------|----|
| | G | A | A1 | B | B1 | B2 | B3 | S | s1 | s2 | | newtons | rev/min | kg |
| | 8 | 25.4 | 15.9 | 27.38 | — | 28.54 | — | 11.55 | 6.55 | — | 1330 | 3000 | 0.2 | |
| | 8 | 31.7 | 21.6 | 30.96 | 25.77 | 30.92 | 43.62 | 12.75 | 7.56 | 17.12 | 1570 | 3000 | 0.2 | |
| | 10 | 31.7 | 21.6 | 34.11 | 27.35 | 30.92 | 44.40 | 14.32 | 7.56 | 17.49 | 1780 | 2500 | 0.3 | |
| | 10 | 37.5 | 25.5 | 38.10 | 31.21 | 35.68 | 48.42 | 15.93 | 9.04 | 18.32 | 2670 | 2500 | 0.5 | |
| | 10 | 41.0 | 28.4 | 42.88 | 34.90 | 38.88 | 51.18 | 17.53 | 9.55 | 18.89 | 3560 | 2000 | 0.9 | |

Unidades tipo puente ensamblados en goma de acero prensado Self-Lube® (alojamientos recubiertos de zinc)

Serie LPBR

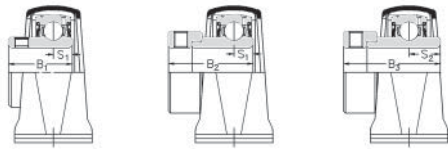
Nota: estas unidades no son reengrasables



LPBR

| Diámetro del eje mm pulg. | Designación RHP | | | | | Inserto rodam. básico | Grupo fundición | Dimensiones (mm) | | | | | |
|-----------------------------------|-----------------|--------------|---------------|--------------|---|--------------------------|-----------------|------------------|------|-----|------|-------|--|
| | L | H | H1 | H2 | J | | | L | H | H1 | H2 | J | |
| 12 | LPBR12 | LPBR12EC | | | | 1017 | 2 | 98.4 | 25.4 | 2.4 | 49.9 | 76.0 | |
| 15 | LPBR15 | LPBR15EC | | | | | | | | | | | |
| 16 | LPBR16 | LPBR16EC | | | | | | | | | | | |
| 17 | LPBR17 | LPBR17EC | | | | | | | | | | | |
| 1/2 | LPBR½ | LPBR½EC | | | | | | | | | | | |
| 5/8 | LPBR⅝ | LPBR⅝EC | | | | | | | | | | | |
| 20 | LPBR20 | LPBR20A | LPBR20EC | LPBR20DEC | | 1020 | 3 | 108.0 | 28.6 | 2.8 | 55.8 | 86.0 | |
| 3/4 | LPBR¾ | LPBR¾A | LPBR¾EC | LPBR¾DEC | | | | | | | | | |
| 25 | LPBR25 | LPBR25A | LPBR25EC | LPBR25DEC | | 1025 | 4 | 117.5 | 33.3 | 3.6 | 65.7 | 95.0 | |
| 7/8 | LPBR¾ | LPBR¾EC | LPBR¾DEC | | | | | | | | | | |
| 15/16 | LPBR15/16 | LPBR15/16EC | LPBR15/16DEC | | | | | | | | | | |
| 1 | LPBR1 | LPBR1A | LPBR1EC | LPBR1DEC | | | | | | | | | |
| 30 | LPBR30 | LPBR30A | LPBR30EC | LPBR30DEC | | 1030 | 5 | 128.6 | 39.7 | 4.4 | 77.5 | 106.0 | |
| 1 1/8 | LPBR1 1/8 | LPBR1 1/8EC | LPBR1 1/8DEC | | | | | | | | | | |
| 1 3/16 | LPBR1 3/16 | LPBR1 3/16EC | LPBR1 3/16DEC | | | | | | | | | | |
| 1 1/4 | LPBR1 1/4 | LPBR1 1/4A | LPBR1 1/4EC | LPBR1 1/4DEC | | | | | | | | | |

Consulte disponibilidad



LPBR-A

LPBR-EC

LPBR-DEC

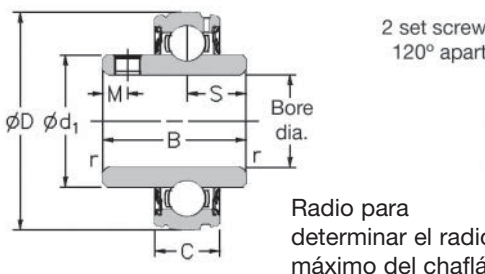
| | Dimensiones (mm) | | | | | | | | | | Carga radial máxima del alojamiento | Velocidad máxima recomendada | Masa (aprox.) | |
|--|------------------|------|------|-------|-------|-------|-------|-------|------|-------|-------------------------------------|------------------------------|---------------|----|
| | G | A | A1 | B | B1 | B2 | B3 | S | s1 | s2 | | newtons | rev/min | kg |
| | 8 | 31.7 | 21.6 | 27.38 | — | 28.54 | — | 11.55 | 6.55 | — | 890 | 3000 | 0.2 | |
| | 10 | 31.7 | 21.6 | 30.96 | 25.77 | 30.92 | 43.62 | 12.75 | 7.56 | 17.12 | 1110 | 3000 | 0.3 | |
| | 10 | 37.5 | 25.5 | 34.11 | 27.35 | 30.92 | 44.40 | 14.32 | 7.56 | 17.49 | 1330 | 2500 | 0.5 | |
| | 10 | 41.0 | 28.4 | 38.10 | 31.21 | 35.68 | 48.42 | 15.93 | 9.04 | 18.32 | 1560 | 2500 | 0.9 | |

Insertos de rodamiento Self-Lube®

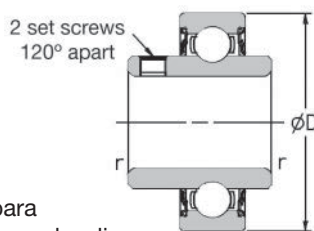
Series 1000G y 1100

[Consulte disponibilidad](#)

1000G
Con diámetro externo
esférico y fijación por tornillo
prisionero



1100
Con diámetro externo
paralelo y fijación por tornillo
prisionero



| Diámetro del eje | | Designación RHP | | Dimensiones (mm) | | | | | | | Índices de capacidad de carga ISO | | Velocidad máxima recomendada | Masa (aprox.) |
|------------------|---|--|--|------------------|-------|--------|-------|--------|-------|------|-----------------------------------|----------------------|------------------------------|---------------|
| mm | pulg. | Serie 1000G | Serie 1100 | D | C | B | S | d1 | M | r | dinámica Cr newtons | estática Cor newtons | rev/min | kg |
| 55 60 | $2\frac{3}{16}$ $2\frac{1}{4}$ $2\frac{5}{8}$ $2\frac{7}{16}$ | 1060-55G 1060-60G 1060-$2\frac{3}{16}G$ 1060-$2\frac{1}{4}G$ 1060-$2\frac{5}{8}G$ 1060-$2\frac{7}{16}G$ | 1160-55 1160-60 1160-$2\frac{3}{16}$ 1160-$2\frac{1}{4}$ 1160-$2\frac{5}{8}$ 1160-$2\frac{7}{16}$ | 110.000 | 22.00 | 65.10 | 25.44 | 76.00 | 10.00 | 1.50 | 48000 | 33000 | 2800 | 1.47 |
| 60 65 | $2\frac{1}{2}$ | 1065-60G 1065-65G 1065-$2\frac{1}{2}G$ | 1165-60 1165-65 1165-$2\frac{1}{2}$ | 120.000 | 23.00 | 65.10 | 25.44 | 82.50 | 10.00 | 1.50 | 57500 | 40000 | 2600 | 2.02 |
| 60 65 70 | $2\frac{7}{16}$ $2\frac{1}{2}$ $2\frac{5}{8}$ $2\frac{11}{16}$ | 1070-60G 1070-65G 1070-70G 1070-$2\frac{3}{16}G$ 1070-$2\frac{1}{2}G$ 1070-$2\frac{5}{8}G$ 1070-$2\frac{11}{16}G$ | 1170-60 1170-65 1170-70 1170-$2\frac{3}{16}$ 1170-$2\frac{1}{2}$ 1170-$2\frac{5}{8}$ 1170-$2\frac{11}{16}$ | 125.000 | 24.00 | 74.60 | 30.24 | 89.00 | 12.00 | 1.50 | 61000 | 45000 | 2450 | 2.27 |
| 65 70 75 | $2\frac{11}{16}$ $2\frac{3}{4}$ $2\frac{7}{8}$ $2\frac{15}{16}$ 3 | 1075-65G 1075-70G 1075-75G 1075-$2\frac{1}{16}G$ 1075-$2\frac{3}{4}G$ 1075-$2\frac{7}{8}G$ 1075-$2\frac{15}{16}G$ 1075-3G | 1175-65 1175-70 1175-75 1175-$2\frac{1}{16}$ 1175-$2\frac{3}{4}$ 1175-$2\frac{7}{8}$ 1175-$2\frac{15}{16}$ 1175-3 | 130.000 | 25.00 | 77.80 | 33.34 | 94.00 | 12.00 | 1.50 | 66000 | 49500 | 2300 | 2.61 |
| 75 80 | $2\frac{15}{16}$ 3 $3\frac{3}{16}$ $3\frac{1}{4}$ | 1080-75G 1080-80G 1080-$2\frac{1}{16}G$ 1080-3G 1080-$3\frac{3}{16}G$ 1080-$3\frac{1}{4}G$ | 1180-75 1180-80 1180-$2\frac{15}{16}$ 1180-3 1180-$3\frac{3}{16}$ 1180-$3\frac{1}{4}$ | 140.000 | 26.00 | 82.60 | 33.34 | 100.00 | 12.00 | 2.00 | 71500 | 54500 | 2150 | 3.23 |
| 80 85 | $3\frac{3}{16}$ $3\frac{1}{4}$ $3\frac{3}{8}$ $3\frac{7}{16}$ | 1085-80G 1085-85G 1085-$3\frac{3}{16}G$ 1085-$3\frac{1}{4}G$ 1085-$3\frac{3}{8}G$ 1085-$3\frac{7}{16}G$ | 1185-80 1185-85 1185-$3\frac{3}{16}$ 1185-$3\frac{1}{4}$ 1185-$3\frac{3}{8}$ 1185-$3\frac{7}{16}$ | 150.000 | 28.00 | 85.70 | 34.15 | 107.10 | 12.00 | 2.00 | 83000 | 64000 | 2000 | 3.74 |
| 85 90 | $3\frac{7}{16}$ $3\frac{1}{2}$ | 1090-85G 1090-90G 1090-$3\frac{3}{16}G$ 1090-$3\frac{1}{2}G$ | 1190-85 1190-90 1190-$3\frac{3}{16}$ 1190-$3\frac{1}{2}$ | 160.000 | 30.00 | 96.00 | 39.74 | 111.50 | 15.00 | 2.00 | 96000 | 71500 | 1900 | 4.99 |
| 95 100 | $3\frac{15}{16}$ 4 | 3095-95G 3095-100G 3095-$3\frac{3}{16}G$ 3095-$3\frac{1}{2}G$ | 3095-95 3095-100 3095-$3\frac{3}{16}$ 3095-$3\frac{1}{2}$ | 200.000 | 45.00 | 117.48 | 49.31 | 127.10 | 16.00 | 2.50 | 157000 | 122000 | 1600 | 9.53 |

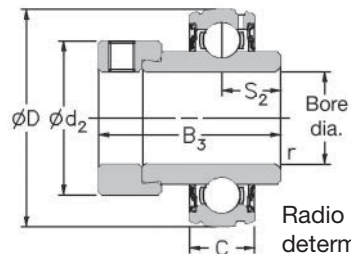
Consulte disponibilidad

Insertos de rodamiento Self-Lube®

Series 1000DECG y 1100DEC

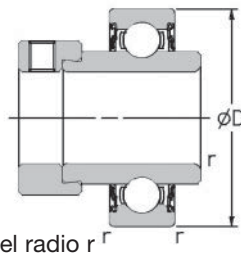
1000DECG

Con diámetro externo esférico y fijación por collarín excéntrico



1100DEC

Con diámetro externo paralelo y fijación por collarín excéntrico



| Diámetro del eje mm pulg. | Designación RHP | | Dimensiones (mm) | | | | | | Índices de capacidad de carga ISO | | Velocidad máxima recomendada rev/min | Masa (aprox.) kg |
|--|--|---|------------------|-------|-------|-------|--------|------|-----------------------------------|----------------------|---|---------------------|
| | Serie 1000DECG | Serie 1100EC | D | C | B3 | s2 | d2 | r | dinámica Cr newtons | estática Cor newtons | | |
| 20 3/4 | 1020-20DECG 1020-3/4DECG | 1120-20DEC 1120-3/4DEC | 47.000 | 14.00 | 43.73 | 17.13 | 33.30 | 1.00 | 12800 | 6650 | 6700 | 0.20 |
| 25 7/8 15/16 1 | 1025-25DECG 1025-7/8DECG 1025-15/16DECG 1025-1DEC | 1125-25DEC 1125-7/8DEC 1125-15/16DEC 1125-1DEC | 52.000 | 15.00 | 44.43 | 17.53 | 38.10 | 1.00 | 14000 | 7880 | 6250 | 0.26 |
| 30 1 1/8 1 3/16 1 1/4 | 1030-30DECG 1030-1 1/8DEC 1030-1 3/16DEC 1030-1 1/4DEC | 1130-30DEC 1130-1 1/8DEC 1130-1 3/16DEC 1130-1 1/4DEC | 62.000 | 16.00 | 48.43 | 18.33 | 44.50 | 1.00 | 19500 | 11300 | 5300 | 0.53 |
| 35 1 1/4 1 3/8 1 7/16 | 1035-35DECG 1035-1 1/4DEC 1035-1 3/8DEC 1035-1 7/16DEC | 1135-35DEC 1135-1 1/4DEC 1135-1 3/8DEC 1135-1 7/16DEC | 72.000 | 17.00 | 51.13 | 18.83 | 55.60 | 1.00 | 25700 | 15300 | 4500 | 0.70 |
| 40 1 1/2 | 1040-40DECG 1040-1 1/2DEC | 1140-40DEC 1140-1 1/2DEC | 80.000 | 18.00 | 56.33 | 21.43 | 60.30 | 1.00 | 32500 | 19900 | 4000 | 0.82 |
| 45 1 5/8 1 11/16 1 3/4 | 1045-45DECG 1045-1 5/8DECG 1045-11 1/16DEC 1045-1 3/4DEC | 1145-45DEC 1145-1 5/8DEC 1145-11 1/16DEC 1145-1 3/4DEC | 85.000 | 19.00 | 56.33 | 21.43 | 63.50 | 1.00 | 32500 | 20500 | 3700 | 1.08 |
| 50 1 7/8 1 15/16 | 1050-50DECG 1050-1 7/8DEC 1050-1 15/16DEC | 1150-50DEC 1150-1 7/8DEC 1150-1 15/16DEC | 90.000 | 20.00 | 62.73 | 24.64 | 69.90 | 1.00 | 35000 | 23200 | 3400 | 1.19 |
| 55 2 2 1/8 2 3/16 | 1055-55DECG 1055-2DEC 1055-2 1/8DEC 1055-2 3/16DEC | 1155-55DEC 1155-2DEC 1155-2 1/8DEC 1155-2 3/16DEC | 100.000 | 21.00 | 71.42 | 27.84 | 76.20 | 1.50 | 43500 | 29200 | 3100 | 1.40 |
| 60 2 1/4 2 3/8 2 7/16 | 1060-60DECG 1060-2 1/4DEC 1060-2 3/8DEC 1060-2 7/16DEC | 1160-60DEC 1160-2 1/4DEC 1160-2 3/8DEC 1160-2 7/16DEC | 110.000 | 22.00 | 77.84 | 31.04 | 84.20 | 1.50 | 48000 | 33000 | 2800 | 1.72 |
| 65 2 1/2 | 1065-2 1/2DEC | 1165-2 1/2DEC | 120.000 | 23.00 | 85.74 | 34.14 | 92.00 | 1.50 | 57500 | 40000 | 2600 | 2.21 |
| 70 2 1/2 2 5/8 2 11/16 | 1070-65DECG 1070-70DEC 1070-2 1/2DEC 1070-2 5/8DEC 1070-2 11/16DEC | 1170-65DEC 1170-70DEC 1170-2 1/2DEC 1170-2 5/8DEC 1170-2 11/16DEC | 125.000 | 24.00 | 85.74 | 34.14 | 97.00 | 1.50 | 61000 | 45000 | 2450 | 2.56 |
| 75 2 11/16 2 3/4 2 7/8 2 15/16 | 1075-65DECG 1075-70DEC 1075-75DEC 1075-2 1/16DEC 1075-2 3/4DEC 1075-2 7/8DEC 1075-2 15/16DEC | 1175-65DEC 1175-70DEC 1175-75DEC 1175-2 1/16DEC 1175-2 3/4DEC 1175-2 7/8DEC 1175-2 15/16DEC | 130.000 | 25.00 | 92.14 | 37.34 | 102.00 | 1.50 | 66000 | 49500 | 2300 | 2.94 |

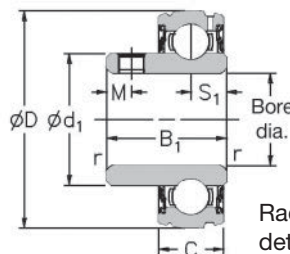
Consulte disponibilidad

Insertos de rodamiento Self-Lube®

Serie 1200G y 1300

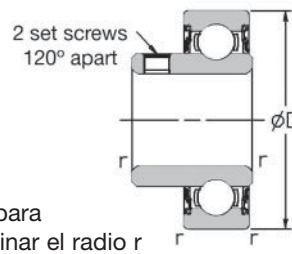
1200G

Con diámetro externo esférico y fijación por tornillo prisionero



1300DEC

Con diámetro externo paralelo y fijación por tornillo prisionero



Radio para determinar el radio r máximo del chaflán

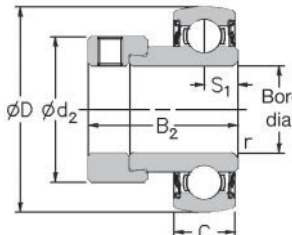
| Diámetro del eje mm pulg. | Designación RHP | | Dimensiones (mm) | | | | | | | Índices de capacidad de carga ISO | | Velocidad máxima recomendada rev/min | Masa (aprox.) kg |
|------------------------------|----------------------|--------------------|------------------|-------|-------|-------|-------|-------|------|-----------------------------------|----------------------|---|---------------------|
| | 1200G Serie | 1300 Serie | D | C | B1 | s1 | d1 | M | r | dinámica Cr newtons | estática Cor newtons | | |
| 20 ¾ | 1220-20G 1220-¾G | 1320-20 1320-¾ | 47.000 | 14.00 | 25.80 | 7.53 | 28.30 | 5.00 | 1.00 | 12800 | 6650 | 6700 | 0.10 |
| 25 1 | 1225-25G 1225-1G | 1325-25 1325-1 | 52.000 | 15.00 | 27.30 | 7.53 | 34.00 | 5.00 | 1.00 | 14000 | 7880 | 6250 | 0.13 |
| 30 1¼ | 1230-30G 1230-1¼G | 1330-30 1330-1¼ | 62.000 | 16.00 | 31.20 | 9.03 | 40.30 | 5.00 | 1.00 | 19500 | 11300 | 5300 | 0.32 |
| 35 1½ | 1235-35G 1235-1½G | 1335-35 1335-1½ | 72.000 | 17.00 | 34.90 | 9.53 | 46.90 | 6.50 | 1.00 | 25700 | 15300 | 4500 | 0.43 |
| 40 1¾ | 1240-40G 1240-1¾G | 1340-40 1340-1¾ | 80.000 | 18.00 | 41.20 | 11.03 | 52.40 | 8.00 | 1.00 | 32500 | 19900 | 4000 | 0.54 |
| 45 1¾ | 1245-45G 1245-1¾G | 1345-45 1345-1¾ | 85.000 | 19.00 | 41.20 | 11.04 | 57.40 | 8.00 | 1.00 | 32500 | 20500 | 3700 | 0.61 |
| 50 | 1250-50G | 1350-50 | 90.000 | 20.00 | 43.50 | 11.04 | 62.40 | 10.00 | 1.00 | 35000 | 23200 | 3400 | 0.76 |

Consulte disponibilidad

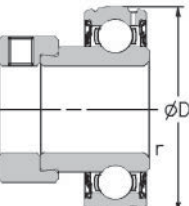
Insertos de rodamiento Self-Lube®

Series 1200EC y 1200ECG y serie 1300EC

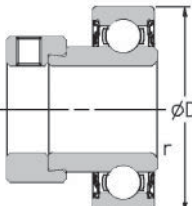
1200EC
Con diámetro externo
esférico, anillo exterior no
reengrasable y fijación por
collarín excéntrico



1200ECG
Con diámetro externo
esférico, anillo exterior
reengrasable y fijación por
collarín excéntrico



1300EC
Con diámetro externo
paralelo y fijación por
collarín excéntrico

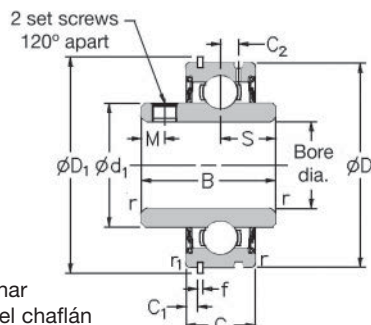


Radio para determinar el radio r máximo del chaflán

Consulte disponibilidad

Insertos de rodamiento Self-Lube® completados con anillos elásticos Serie 1100CG

1100CG
Con diámetro externo paralelo y fijación por tornillo de apriete integral



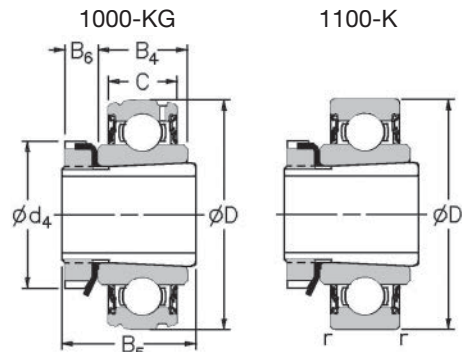
Radio para determinar
el radio r máximo del chaflán

| Diámetro del eje | | Designación RHP | Dimensiones (mm) | | | | | | | | | | | | Índices de capacidad de carga ISO | | Velocidad máxima recomendada | Masa (aprox.) |
|------------------|---------------------------|---|------------------|--------|-------|------|------|-------|-------|-------|------|-------|------|------|-----------------------------------|----------------------|------------------------------|---------------|
| mm | pulg. | Serie 1100CG | D | D1 | C | C1 | C2 | B | s | d1 | f | M | r | r1 | dinámica Cr newtons | estática Cor newtons | rev/min | kg |
| 20 | ¾ | 1120-20CG 1120-¾CG | 47.000 | 52.68 | 15.88 | 2.39 | 4.17 | 31.00 | 12.73 | 28.30 | 1.12 | 5.00 | 1.00 | 0.50 | 12800 | 6650 | 6700 | 0.23 |
| 25 | 7/8 15/16 1 | 1125-25CG 1125-7/8CG 1125-15/16CG 1125-1CG | 52.000 | 57.81 | 19.05 | 2.39 | 4.39 | 34.10 | 14.33 | 34.00 | 1.12 | 5.00 | 1.00 | 0.50 | 14000 | 7880 | 6250 | 0.31 |
| 30 | 1 1/8 1 3/16 | 1130-30CG 1130-1 1/8CG 1130-1 3/16CG | 62.000 | 67.69 | 22.22 | 3.18 | 5.10 | 38.10 | 15.93 | 40.30 | 1.70 | 5.00 | 1.00 | 0.50 | 19500 | 11300 | 5300 | 0.42 |
| 35 | 1 1/4 1 3/8 1 7/8 | 1135-35CG 1135-1 1/4CG 1135-1 3/8CG 1135-1 7/8CG | 72.000 | 78.51 | 23.81 | 3.18 | 5.61 | 42.90 | 17.53 | 46.90 | 1.70 | 6.50 | 1.00 | 1.00 | 25700 | 15300 | 4500 | 0.61 |
| 40 | 1 1/2 | 1140-40CG 1140-1 1/2CG | 80.000 | 86.51 | 27.78 | 3.18 | 6.22 | 49.20 | 19.03 | 52.40 | 1.70 | 8.00 | 1.00 | 1.00 | 32500 | 19900 | 4000 | 0.91 |
| 45 | 1 5/8 1 11/16 1 3/4 | 1145-45CG 1145-1 5/8CG 1145-1 11/16CG 1145-1 3/4CG | 85.000 | 91.51 | 27.78 | 3.18 | 6.52 | 49.20 | 19.04 | 57.40 | 1.70 | 8.00 | 1.00 | 1.00 | 32500 | 20500 | 3700 | 1.05 |
| 55 | 1 7/8 1 15/16 | 1150-1 7/8CG 1150-1 15/16CG | 90.000 | 96.49 | 28.58 | 3.18 | 6.72 | 51.59 | 19.10 | 62.40 | 2.46 | 10.00 | 1.00 | 1.00 | 35000 | 23200 | 3400 | 1.10 |
| 55 | 2 2 3/16 | 1155-55CG 1155-2CG 1155-2 3/16CG | 100.00 | 106.50 | 30.16 | 3.18 | 7.43 | 55.60 | 22.20 | 68.90 | 2.46 | 10.00 | 1.00 | 1.00 | 43500 | 29200 | 3100 | 1.50 |

Consulte disponibilidad

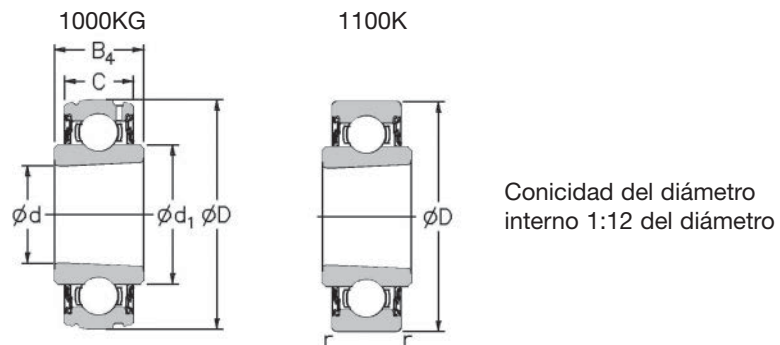
Insertos de rodamiento Self-Lube® con manguitos adaptadores

Series 1000-KG y 1100-K



| Diámetro del eje | Designación RHP | Sólo grupo de manguito, tuerca y arandela | Inserto básico sin manguito, tuerca ni arandela | Dimensiones (mm) | | | |
|---------------------------------------|--|---|---|------------------|---------|-------|-------|
| mm pulg. | Serie 1000-KG | Serie 1100-K | 1000KG 1100K | D | C | B4 | |
| 20 $\frac{3}{4}$ | 1025-20KG 1025-$\frac{3}{4}$KG | 1125-20K 1125-$\frac{3}{4}$K | H305 HE305-$\frac{3}{4}$ | 1025KG 1125K | 52.000 | 15.00 | 19.00 |
| 25 $1\frac{5}{16}$ 1 | 1030-25KG 1030-$\frac{15}{16}$KG 1030-1KG | 1130-25K 1130-$\frac{15}{16}$K 1130-1K | H306 HE306-$\frac{15}{16}$ HE306-1 | 1030KG 1130K | 62.000 | 16.00 | 20.00 |
| 30 $1\frac{1}{8}$ $1\frac{3}{16}$ | 1035-30KG 1035-$1\frac{1}{8}$KG 1035-$\frac{15}{16}$KG | 1135-30K 1135-$1\frac{1}{8}$K 1135-$\frac{15}{16}$K | H307 HE307-$1\frac{1}{8}$ HE307-$\frac{15}{16}$ | 1035KG 1135K | 72.000 | 17.00 | 21.00 |
| 35 $1\frac{1}{4}$ $1\frac{3}{8}$ | 1040-35KG 1040-$1\frac{1}{4}$KG 1040-$1\frac{3}{8}$KG | 1140-35K 1140-$1\frac{1}{4}$K 1140-$1\frac{3}{8}$K | H308 HE308-$1\frac{1}{4}$ HE308-$1\frac{3}{8}$ | 1040KG 1140K | 80.000 | 18.00 | 22.00 |
| 40 $1\frac{7}{16}$ $1\frac{1}{2}$ | 1045-40KG 1045-$1\frac{7}{16}$KG 1045-$1\frac{1}{2}$KG | 1145-40K 1145-$1\frac{7}{16}$K 1145-$1\frac{1}{2}$K | H309 HE309-$1\frac{7}{16}$ HE309-$1\frac{1}{2}$ | 1045KG 1145K | 85.000 | 19.00 | 23.00 |
| 45 $1\frac{11}{16}$ $1\frac{3}{4}$ | 1050-45KG 1050-$1\frac{11}{16}$KG 1050-$1\frac{3}{4}$KG | 1150-45K 1150-$1\frac{11}{16}$K 1150-$1\frac{3}{4}$K | H310 HE310-$1\frac{11}{16}$ HE310-$1\frac{3}{4}$ | 1050KG 1150K | 90.000 | 20.00 | 24.00 |
| 50 $1\frac{15}{16}$ 2 | 1055-50KG 1055-$1\frac{15}{16}$KG 1055-2KG | 1155-50K 1155-$1\frac{15}{16}$K 1155-2K | H311 HE311-$1\frac{15}{16}$ HE311-2 | 1055KG 1155K | 100.000 | 21.00 | 25.00 |

Consulte disponibilidad



| | Dimensiones (mm) | | | | | | Índices de capacidad de carga ISO | | Veloc. máx. | Masa (aprox.) recom. |
|--|------------------|-------|--------|-------|-------|------|-----------------------------------|----------------------|-------------|----------------------|
| | B5 | B6 | d | d1 | d4 | r | dinámica Cr newtons | estática Cor newtons | rev/min | kg |
| | 29.00 | 8.00 | 25.000 | 34.00 | 38.00 | 1.00 | 14000 | 7880 | 6250 | 0.20 |
| | 31.00 | 8.00 | 30.000 | 40.30 | 45.00 | 1.00 | 19500 | 11300 | 5300 | 0.30 |
| | 35.00 | 9.00 | 35.000 | 46.90 | 52.00 | 1.00 | 25700 | 15300 | 4500 | 0.42 |
| | 36.00 | 10.00 | 40.000 | 52.40 | 58.00 | 1.00 | 32500 | 19900 | 4000 | 0.54 |
| | 39.00 | 11.00 | 45.000 | 57.40 | 65.00 | 1.00 | 32500 | 20500 | 3700 | 0.64 |
| | 42.00 | 12.00 | 50.000 | 62.40 | 70.00 | 1.00 | 35000 | 23200 | 3400 | 0.75 |
| | 45.00 | 12.00 | 55.000 | 68.90 | 75.00 | 1.50 | 43500 | 29200 | 3100 | 0.95 |

Insertos de rodamiento de sellado triple Self-Lube®

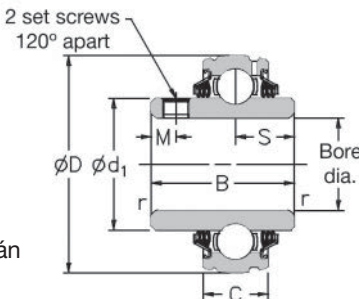
Serie T1000G



T1000G

Con diámetro externo esférico y fijación por tornillo prisionero

Radio para determinar el radio r máximo del chaflán



| Diámetro del eje mm pulg. | Designación RHP | Dimensiones (mm) | | | | | | | Índices de capacidad de carga ISO | | Veloc. máx. recom. rev/min | Masa (aprox.) kg |
|--|---|------------------|-------|-------|-------|-------|-------|------|-----------------------------------|----------------------|-------------------------------|---------------------|
| | | D | C | B | S | d1 | M | r | dinámica Cr newtons | estática Cor newtons | | |
| 25 $\frac{7}{8}$ $1\frac{5}{16}$ 1 | T1025-25G T1025-$\frac{7}{8}$G T1025-$1\frac{5}{16}$G T1025-1G | 52.000 | 15.00 | 34.10 | 14.33 | 34.00 | 5.00 | 1.00 | 14000 | 7880 | 1000 | 0.17 |
| 25 30 $\frac{7}{8}$ 1 $1\frac{1}{8}$ $1\frac{3}{16}$ $1\frac{3}{8}$ $1\frac{7}{16}$ | T1030-25G T1030-30G T1030-$\frac{7}{8}$G T1030-1G T1030-$1\frac{1}{8}$G T1030-$1\frac{3}{16}$G T1030-$1\frac{3}{8}$G | 62.000 | 18.00 | 38.10 | 15.93 | 40.30 | 5.00 | 1.00 | 19500 | 11300 | 850 | 0.37 |
| 30 35 $1\frac{3}{16}$ $1\frac{1}{4}$ $1\frac{3}{8}$ $1\frac{7}{16}$ | T1035-30G T1035-35G T1035-$1\frac{3}{16}$G T1035-$1\frac{1}{4}$G T1035-$1\frac{3}{8}$G T1035-$1\frac{7}{16}$G | 72.000 | 19.00 | 42.90 | 17.53 | 46.90 | 6.50 | 1.00 | 25700 | 15300 | 750 | 0.51 |
| 35 40 $1\frac{3}{8}$ $1\frac{7}{16}$ $1\frac{1}{2}$ | T1040-35G T1040-40G T1040-$1\frac{3}{8}$G T1040-$1\frac{7}{16}$G T1040-$1\frac{1}{2}$G | 80.000 | 21.00 | 49.20 | 19.03 | 52.40 | 8.00 | 1.00 | 32500 | 19900 | 650 | 0.64 |
| 40 45 $1\frac{1}{2}$ $1\frac{5}{8}$ $1\frac{11}{16}$ $1\frac{3}{4}$ | T1045-40G T1045-45G T1045-$1\frac{1}{2}$G T1045-$1\frac{5}{8}$G T1045-$1\frac{11}{16}$G T1045-$1\frac{3}{4}$G | 85.000 | 22.00 | 49.20 | 19.04 | 57.40 | 8.00 | 1.00 | 32500 | 20500 | 600 | 0.73 |
| 45 50 $1\frac{11}{16}$ $1\frac{3}{4}$ $1\frac{7}{8}$ $1\frac{15}{16}$ 2 | T1050-45G T1050-50G T1050-$1\frac{11}{16}$G T1050-$1\frac{3}{4}$G T1050-$1\frac{7}{8}$G T1050-$1\frac{15}{16}$G T1050-2G | 90.000 | 23.00 | 51.60 | 19.04 | 62.40 | 10.00 | 1.00 | 35000 | 23200 | 550 | 0.91 |
| 50 55 $1\frac{7}{8}$ $1\frac{15}{16}$ 2 $2\frac{1}{8}$ $2\frac{3}{16}$ | T1055-50G T1055-55G T1055-$1\frac{7}{8}$G T1055-$1\frac{15}{16}$G T1055-2G T1055-$2\frac{1}{8}$G T1055-$2\frac{3}{16}$G | 100.000 | 25.00 | 55.60 | 22.24 | 68.90 | 10.00 | 1.50 | 43500 | 29200 | 500 | 1.12 |

Consulte disponibilidad

| Diámetro del eje | | Designación RHP | Dimensiones (mm) | | | | | | | Índices de capacidad de carga ISO | | Veloc. máx. recom. | Masa (aprox.) |
|---|-------|---|------------------|-------|-------|-------|--------|-------|------|-----------------------------------|----------------------|--------------------|---------------|
| mm | pulg. | | D | C | B | S | d1 | M | r | dinámica Cr newtons | estática Cor newtons | rev/min | kg |
| 55 60 $2\frac{3}{16}$ $2\frac{1}{4}$ $2\frac{5}{8}$ $2\frac{7}{16}$ | | T1060-55G T1060-60G T1060-2$\frac{3}{16}$G T1060-2$\frac{1}{4}$G T1060-2$\frac{5}{8}$G T1060-2$\frac{7}{16}$G | 110.000 | 25.00 | 65.10 | 25.44 | 76.00 | 10.00 | 1.50 | 48000 | 33000 | 450 | 1.50 |
| 60 65 70 $2\frac{7}{16}$ $2\frac{1}{2}$ $2\frac{5}{8}$ $2\frac{11}{16}$ | | T1070-60G T1070-65G T1070-70G T1070-2$\frac{7}{16}$G T1070-2$\frac{1}{2}$G T1070-2$\frac{5}{8}$G T1070-2$\frac{11}{16}$G | 125.000 | 28.00 | 74.60 | 30.24 | 89.00 | 12.00 | 1.50 | 61000 | 45000 | 400 | 2.30 |
| 75 80 $2\frac{15}{16}$ 3 | | T1080-75G T1080-80G T1080-2$\frac{15}{16}$G T1080-3G | 140.000 | 30.00 | 82.60 | 33.34 | 100.00 | 12.00 | 2.00 | 71500 | 54500 | 345 | 3.27 |

Consulte disponibilidad

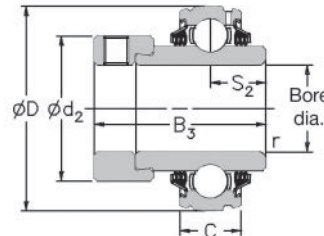
Insertos de rodamiento de sellado triple Self-Lube®

Serie T1000DECG



T1000DECG

Con diámetro externo esférico y fijación por collarín excéntrico



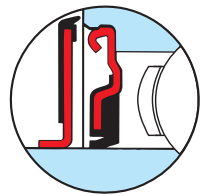
Radio para determinar el radio r máximo del chaflán

| Diámetro del eje | | Designación RHP | Dimensiones (mm) | | | | | | Índices de capacidad de carga ISO | | Veloc. máx. recom. | Masa (aprox.) |
|------------------|---------------------------|---|------------------|-------|-------|-------|-------|------|-----------------------------------|----------------------|--------------------|---------------|
| mm | pulg. | | D | C | B3 | s2 | d2 | r | dinámica Cr newtons | estática Cor newtons | rev/min | kg |
| 25 | 7/8 15/16 1 | T1025-25DECG T1025-7/8DECG T1025-15/16DECG T1025-1DECG | 52.000 | 15.00 | 44.43 | 17.53 | 38.10 | 1.00 | 14000 | 7880 | 1000 | 0.26 |
| 30 | 1 1/8 1 3/8 1 1/4 | T1030-30DECG T1030-1 1/8DECG T1030-1 3/8DECG T1030-1 1/4DECG | 62.000 | 18.00 | 48.43 | 18.33 | 44.50 | 1.00 | 19500 | 11300 | 850 | 0.53 |
| 35 | 1 1/4 1 3/8 1 7/16 | T1035-35DECG T1035-1 1/4DECG T1035-1 3/8DECG T1035-1 7/16DECG | 72.000 | 19.00 | 51.13 | 18.83 | 55.60 | 1.00 | 25700 | 15300 | 750 | 0.70 |
| 40 | 1 1/2 | T1040-40DECG T1040-1 1/2DECG | 80.000 | 21.00 | 56.33 | 21.43 | 60.30 | 1.00 | 32500 | 19900 | 650 | 0.82 |
| 45 | 1 5/8 1 11/16 1 3/4 | T1045-45DECG T1045-1 5/8DECG T1045-1 11/16DECG T1045-1 3/4DECG | 85.000 | 22.00 | 56.33 | 21.43 | 63.50 | 1.00 | 32500 | 20500 | 600 | 1.08 |
| 50 | 1 7/8 1 15/16 | T1050-50DECG T1050-1 7/8DECG T1050-1 15/16DECG | 90.000 | 23.00 | 62.73 | 24.64 | 69.90 | 1.00 | 35000 | 23200 | 550 | 1.19 |
| 55 | 2 2 1/8 2 3/16 | T1055-55DECG T1055-2DECG T1055-2 1/8DECG T1055-2 3/16DECG | 100.000 | 25.00 | 71.42 | 27.84 | 76.20 | 1.50 | 43500 | 29200 | 500 | 1.40 |
| 60 | 2 1/4 2 7/16 | T1060-60DECG T1060-2 1/4DECG T1060-2 7/16DECG | 110.000 | 25.00 | 77.84 | 31.04 | 84.20 | 1.50 | 48000 | 33000 | 450 | 1.81 |
| 65 70 | | T1070-65DECG T1070-70DECG | 125.000 | 28.00 | 85.74 | 34.14 | 97.00 | 1.50 | 61000 | 45000 | 400 | 2.49 |

Consulte disponibilidad

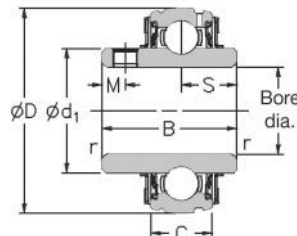
Insertos de rodamiento Self-Lube® con sellados del tipo retén

Serie 1000GFS



1000GFS

Con diámetro externo esférico y fijación por tornillo de apriete integral



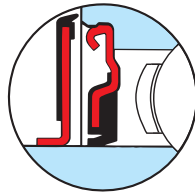
Radio para determinar el radio r máximo del chaflán

| Diámetro del eje | | Designación RHP | Dimensiones (mm) | | | | | | | Índices de capacidad de carga ISO | | Veloc. máx. recom. | Masa (aprox.) |
|------------------|---|---|------------------|-------|-------|-------|-------|-------|------|-----------------------------------|----------------------|--------------------|---------------|
| mm | pulg. | | D | C | B | s | d1 | M | r | dinámica Cr newtons | estática Cor newtons | rev/min | kg |
| 25 | 7/8 15/16 1 | 1025-25GFS 1025-7/8GFS 1025-15/16GFS 1025-1GFS | 52.000 | 15.00 | 34.10 | 14.33 | 34.00 | 5.00 | 1.00 | 14000 | 7880 | 6250 | 0.17 |
| 25 | 7/8 1 1 1/8 1 3/16 1 1/4 | 1030-25GFS 1030-30GFS 1030-7/8GFS 1030-1GFS 1030-1 1/8GFS 1030-1 3/16GFS 1030-1 1/4GFS | 62.000 | 16.00 | 38.10 | 15.93 | 40.30 | 5.00 | 1.00 | 19500 | 11300 | 5300 | 0.37 |
| 30 | 7/8 1 1 1/8 1 3/16 1 1/4 1 1/2 1 5/16 1 3/8 1 7/16 | 1035-30GFS 1035-35GFS 1035-1 3/16GFS 1035-1 1/4GFS 1035-1 5/16GFS 1035-1 3/8GFS 1035-1 7/16GFS | 72.000 | 17.00 | 42.90 | 17.53 | 46.90 | 6.50 | 1.00 | 25700 | 15300 | 4500 | 0.51 |
| 35 | 7/8 1 1 1/8 1 3/16 1 1/2 1 1/4 1 5/16 1 3/8 1 7/16 | 1040-35GFS 1040-40GFS 1040-1 1/8GFS 1040-1 1/16GFS 1040-1 1/2GFS | 80.000 | 18.00 | 49.20 | 19.03 | 52.40 | 8.00 | 1.00 | 32500 | 19900 | 4000 | 0.64 |
| 40 | 7/8 1 1 1/8 1 3/16 1 1/2 1 1/4 1 5/16 1 3/8 1 7/16 | 1045-40GFS 1045-45GFS 1045-1 1/2GFS 1045-1 5/16GFS 1045-11 1/16GFS 1045-1 3/4GFS | 85.000 | 19.00 | 49.20 | 19.04 | 57.40 | 8.00 | 1.00 | 32500 | 20500 | 3700 | 0.73 |
| 45 | 7/8 1 1 1/8 1 3/16 1 1/2 1 1/4 1 5/16 1 3/8 1 7/16 2 | 1050-45GFS 1050-50GFS 1050-11 1/16GFS 1050-1 3/4GFS 1050-1 1/8GFS 1050-11 5/16GFS 1050-2GFS | 90.000 | 20.00 | 51.60 | 19.04 | 62.40 | 10.00 | 1.00 | 35000 | 23200 | 3400 | 0.91 |
| 50 | 7/8 1 1 1/8 1 3/16 1 1/2 1 1/4 1 5/16 1 3/8 1 7/16 2 | 1055-50GFS 1055-55GFS 1055-1 1/2GFS 1055-11 5/16GFS 1055-2GFS 1055-2 1/8GFS 1055-2 1/16GFS | 100.000 | 21.00 | 55.60 | 22.24 | 68.90 | 10.00 | 1.50 | 43500 | 29200 | 3100 | 1.12 |
| 55 | 7/8 1 1 1/8 1 3/16 1 1/2 1 1/4 1 5/16 1 3/8 1 7/16 2 1/8 2 3/16 | 1060-55GFS 1060-60GFS 1060-2 3/16GFS 1060-2 1/4GFS 1060-2 5/8GFS 1060-2 7/16GFS | 110.000 | 22.00 | 65.10 | 25.44 | 76.00 | 10.00 | 1.50 | 48000 | 33000 | 2800 | 1.47 |

Consulte disponibilidad

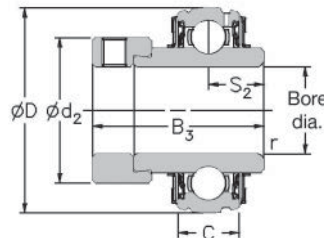
Insertos de rodamiento Self-Lube® con sellados del tipo retén

Serie 1000DECGFS



1000DECGFS

Con diámetro externo esférico y fijación por collarín excéntrico



Radio para determinar el radio r máximo del chaflán

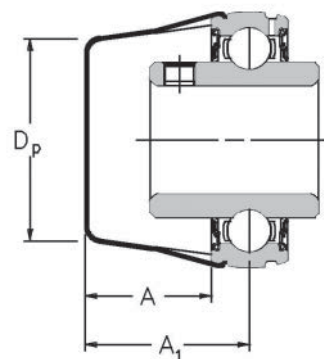
| Diámetro del eje | | Designación RHP | Dimensiones (mm) | | | | | | Índices de capacidad de carga ISO | | Veloc. máx. recom. | Masa (aprox.) |
|------------------|------------------------------------|--|------------------|-------|-------|-------|-------|------|-----------------------------------|----------------------|--------------------|---------------|
| mm | pulg. | | D | C | B3 | s2 | d2 | r | dinámica Cr newtons | estática Cor newtons | rev/min | kg |
| 25 | 7/8 15/16 1 | 1025-25DECGFS 1025-7/8DECGFS 1025-15/16DECGFS 1025-1DECGFS | 52.000 | 15.00 | 44.43 | 17.53 | 38.10 | 1.00 | 14000 | 7880 | 6250 | 0.26 |
| 30 | 1 1 1/16 1 1/4 | 1030-30DECGFS 1030-1-1/16DECGFS 1030-1 1/16DECGFS 1030-1 1/4DECGFS | 62.000 | 16.00 | 48.43 | 18.33 | 44.50 | 1.00 | 19500 | 11300 | 5300 | 0.53 |
| 35 | 1 1/4 1 5/16 1 3/8 1 7/16 | 1035-35DECGFS 1035-1 1/4DECGFS 1035-1 5/16DECGFS 1035-1 3/8DECGFS 1035-1 7/16DECGFS | 72.000 | 17.00 | 51.13 | 18.83 | 55.60 | 1.00 | 25700 | 15300 | 4500 | 0.70 |
| 40 | 1 1/2 | 1040-40DECGFS 1040-1 1/2DECGFS | 80.000 | 18.00 | 56.33 | 21.43 | 60.30 | 1.00 | 32500 | 19900 | 4000 | 0.82 |
| 45 | 1 5/8 1 11/16 1 3/4 | 1045-45DECGFS 1045-1 5/8DECGFS 1045-1 11/16DECGFS 1045-1 3/4DECGFS | 85.000 | 19.00 | 56.33 | 21.43 | 63.50 | 1.00 | 32500 | 20500 | 3700 | 1.08 |
| 50 | 1 7/8 1 15/16 | 1050-50DECGFS 1050-1 7/8DECGFS 1050-1 15/16DECGFS | 90.000 | 20.00 | 62.73 | 24.64 | 69.90 | 1.00 | 35000 | 23200 | 3400 | 1.19 |
| 55 | 2 2 1/8 2 3/16 | 1055-55DECGFS 1055-2DECGFS 1055-2 1/8DECGFS 1055-2 3/16DECGFS | 100.000 | 21.00 | 71.42 | 27.84 | 76.20 | 1.50 | 43500 | 29200 | 3100 | 1.40 |
| 60 | 2 1/4 2 3/8 2 7/16 | 1060-60DECGFS 1060-2 1/4DECGFS 1060-2 3/8DECGFS 1060-2 7/16DECGFS 1060-2 1/2DECGFS | 110.000 | 22.00 | 77.84 | 31.04 | 84.20 | 1.50 | 48000 | 33000 | 2800 | 1.72 |

Consulte disponibilidad

Protector Self-Lube®

La Gama de Protectores

| Designación RHP | Dimensiones (mm) | | | Inserto del rodamiento básico |
|-----------------|------------------|------|----------------|-------------------------------|
| | D _p | A | A ₁ | |
| 20P | 37.0 | 23.0 | 30.0 | 1020 |
| 25P | 42.5 | 23.0 | 30.5 | 1025 |
| 30P | 50.5 | 26.5 | 34.5 | 1030 |
| 35P | 60.5 | 28.5 | 37.0 | 1035 |
| 40P | 67.5 | 30.5 | 39.5 | 1040 |
| 45P | 72.0 | 30.0 | 39.5 | 1045 |
| 50P | 76.0 | 32.5 | 42.5 | 1050 |
| 55P | 85.0 | 37.5 | 48.0 | 1055 |
| 60P | 94.0 | 40.5 | 51.5 | 1060 |



La siguiente tabla indica la gama de unidades que pueden adaptarse con un protector, así como el protector adecuado que debe seleccionarse.

| Tamaño del diámetro interno | Unidad Self-Lube® | | | | | | | | | | | | |
|-----------------------------|-------------------|---------|-----------|----------|--------|--------|-------|-----------|-----------|-----|------|--------|------|
| | NP | SFT | SNP | LFTC | FC | ST | BT | SLFEP | SLFTP | MFC | SCHB | NP-K | MP |
| | NP-A | SFT-A | SNP-A | LFTC-A | FC-A | ST-A | BT-A | SLFEP-A | SLFTP-A | | SCH | MP-K | MSF |
| | NP-EC | SFT-EC | SNP-EC | LFTC-EC | FC-EC | ST-EC | BT-EC | SLFEP-EC | SLFTP-EC | | | MSF-K | MSFT |
| | NP-DEC | SFT-DEC | SNP-DEC | LFTC-DEC | FC-DEC | ST-DEC | | SLFEP-DEC | SLFTP-DEC | | | MSFT-K | MST |
| SL | SLC | CNP | SLFLP | | | | | | | | | MST-K | MSC |
| SL-A | SLC-A | CNP-A | SLFLP-A | | | | | | | | | | |
| SL-EC | SLC-EC | CNP-EC | SLFLP-EC | | | | | | | | | | |
| SL-DEC | SLC-DEC | CNP-DEC | SLFLP-DEC | | | | | | | | | | |
| SF | | | | | | | | | | | | | |
| SF-A | | | | | | | | | | | | | |
| SF-EC | | | | | | | | | | | | | |
| SF-DEC | | | | | | | | | | | | | |
| 20, 3/4 | 20P | 20P | 20P | 20P | 20P | 20P | – | 20P | – | – | 20P | 20P | – |
| 25, 7/8, 15/16, 1 | 25P | 25P | 25P | 25P | 25P | 25P | 25P | 25P | 25P | 30P | 30P | 30P | 30P |
| 30, 1 1/8 | 30P | 30P | 30P | 30P | 30P | 30P | – | 30P | 30P | 30P | 30P | 35P | 35P |
| 1 3/16 | 30P | 30P | 30P | 30P | 30P | 30P | – | 30P | 30P | 35P | 35P | 35P | 35P |
| 1 1/4 | 35P | 35P | 35P | 35P | 35P | 35P | 35P | 30P | 30P | 35P | 35P | 40P | 35P |
| 35, 1 3/8 | 35P | 35P | 35P | 35P | 35P | 35P | 35P | 35P | 35P | 40P | 35P | 40P | 40P |
| 1 7/16 | 35P | 35P | 35P | 35P | 35P | 35P | 35P | 35P | 35P | 40P | 40P | 45P | 40P |
| 40, 1 1/2 | 40P | 40P | 40P | – | 40P | 40P | – | 40P* | – | 40P | 40P | 45P | 45P |
| 45, 1 5/8 | 45P | 45P | 45P | – | 45P | 45P | – | 45P* | – | 50P | 50P | 50P | 50P |
| 1 11/16, 1 3/4 | 45P | 45P | 45P | – | 45P | 45P | – | 45P* | – | 50P | 50P | 50P | 50P |
| 50, 1 7/8, 1 15/16 | 50P | 50P | – | – | 50P | 50P | – | 50P* | – | 55P | 50P | 55P | 55P |
| 2 | 55P | 55P | – | – | 55P | 55P | – | 55P* | – | 55P | 50P | 55P | 55P |
| 55, 2 1/8, 2 3/16 | 55P | 55P | – | – | 55P | 55P | – | 55P* | – | 60P | 60P | – | 60P |
| 2 1/4 | 60P | 60P | – | – | 60P | 60P | – | 60P* | – | 60P | 60P | – | 60P |
| 60, 2 3/8, 2 7/16 | 60P | 60P | – | – | 60P | 60P | – | 60P* | – | 60P | – | – | – |

* Compruebe la disponibilidad de las unidades (puede que los protectores estén disponibles pero que no lo estén las pestañas SLFEP).

Nota 1: El protector adecuado viene determinado por el grupo de inserto de rodamiento básico.

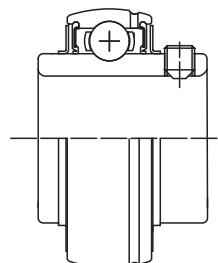
Nota 2: Cuando se adapta una prensa de las series SLFL, SLFE o SLFT, la referencia de la unidad contiene la letra "P", por ejemplo, SLFEP-25EC.

Unidades de rodamiento Silver-Lube®

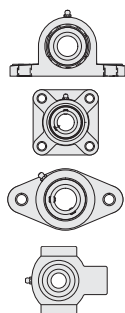


Referencias de la unidad Silver-Lube®

Tipo de inserto

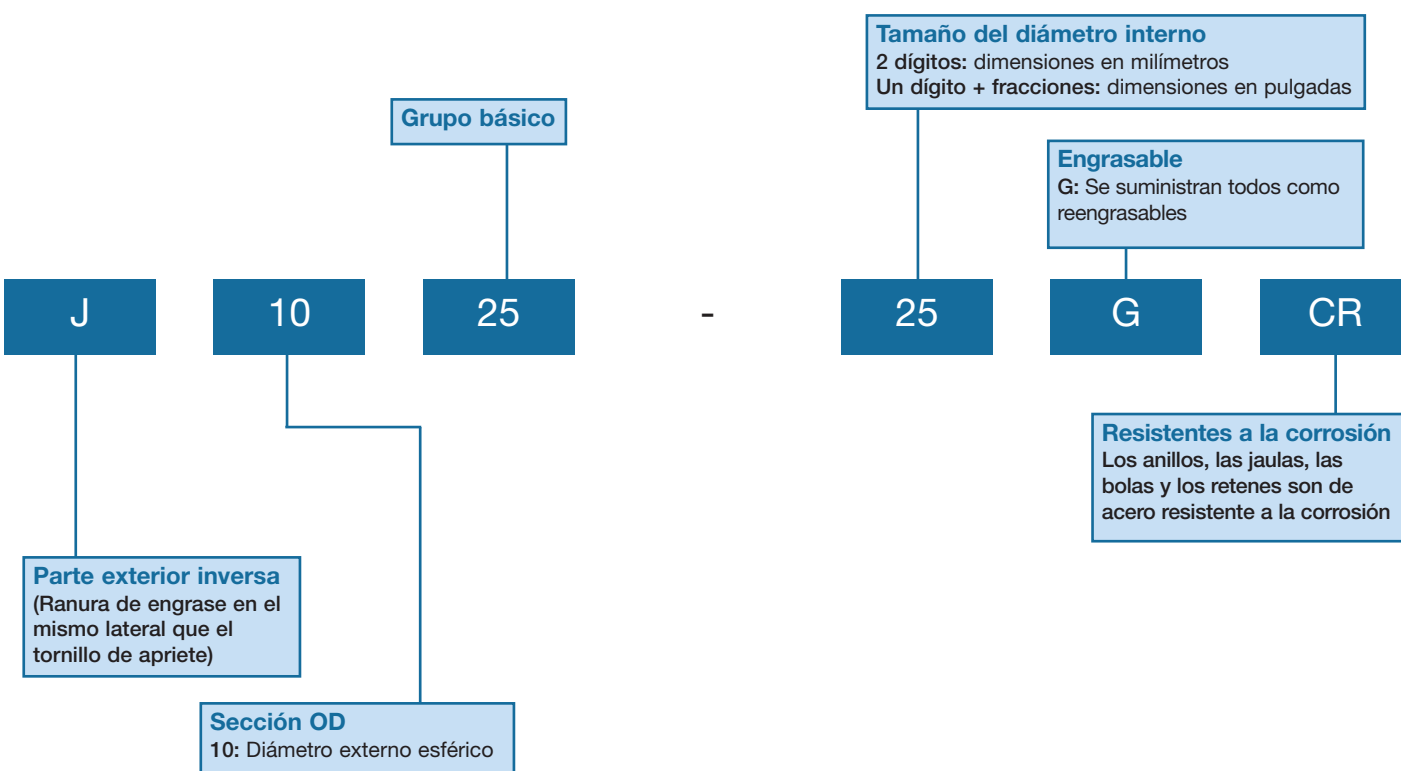


Tipo de alojamiento



| Página | |
|--------|------|
| 100 | |
| 102 | PNP |
| 104 | PSF |
| 106 | PSFT |
| 108 | PST |

Referencias de inserto Silver-Lube®



Gama de productos Silver-Lube®

Introducción

La serie Silver-Lube® está formada por una serie de unidades de rodamientos resistentes a la corrosión para utilizarlos especialmente en industrias en que es necesario realizar lavados con frecuencia, que requieren estándares de higiene óptima y donde es muy importante disponer de una buena resistencia química en todo el intervalo de temperaturas.

Las unidades están disponibles en diseño de puente, ovalado, cuadro y unidades tensoras y pueden acomodar desalineaciones iniciales de errores de ensamblaje. Se ha demostrado la fiabilidad de las unidades en funcionamiento en las aplicaciones más hostiles. Es posible relubricarlos para una vida larga y consiguiendo minimizar el mantenimiento, maximizar la productividad y ayudar a mantener los estándares de higiene.

Los alojamientos Silver-Lube® están hechos de resina termoplástica de PBT que, además de ser inoxidable, es resistente a los detergentes y a una gran cantidad de sustancias químicas. Los alojamientos no están pintados ni recubiertos, lo que evita que se produzcan virutas o escamas de pintura y se obtienen unas superficies suaves y resistentes a los lavados.

Los insertos de rodamiento Silver-Lube® están hechos de acero inoxidable, la disposición de su sellado es efectiva y eficaz y se entregan de serie con grasa alimentaria de primera calidad (Complejo de Aluminio) y apta para operar a altas temperaturas.

Resistencia del alojamiento

La capacidad de carga del alojamiento varía según el régimen de capacidad de carga de la aplicación, que puede ser intermitente, continuo o cíclico. Las cargas máximas de los alojamientos se indican en las tablas 1, 2, 3 y 4. No debe exceder nunca estas cargas sin consultarla antes con NSK.

Las capacidades de carga máxima publicadas para los alojamientos no permiten reducir la capacidad del alojamiento debido a la exposición a sustancias químicas, agua, vapor, calor, rayos ultravioletas o cualquier combinación de estos factores. Si la aplicación cuenta con cualquiera de estos factores, el diseñador o usuario final debe establecer el efecto de estas exposiciones y reducir la carga máxima publicada de los alojamientos.

Para maximizar la capacidad de soportar la carga es recomendable utilizar las arandelas con pernos de sujeción. Las tablas 1, 2 y 3 también indican los pares de apriete máximos de los pernos de fijación.

Generación de electricidad estática

Las unidades de rodamiento Silver-Lube® pueden generar electricidad estática bajo ciertas condiciones de aplicación.

Por lo tanto, no es recomendable utilizar rodamientos Silver-Lube®, en entornos explosivos o inflamables. Si utiliza rodamientos Silver-Lube® en aplicaciones inflamables o explosivas, el inserto de rodamiento debe conectarse a tierra (masa).

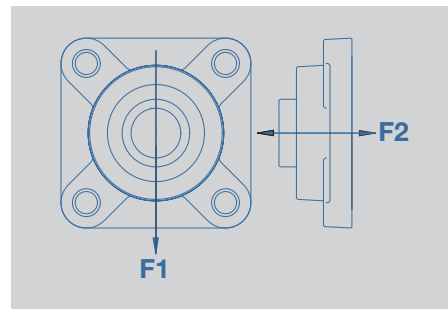
Resistencia del alojamiento

Tabla 1 PNP Silver-Lube® tipo puente- capacidad de carga del alojamiento

| Designación RHP | Carga máxima del alojamiento (N) a 20°C | | | | | | | | |
|----------------------------------|---|-------------------------|------------------------|-----------------------------|-------------------------|------------------------|-----------------------------|-------------------------|------------------------|
| | P1 Carga intermitente | P1 Carga continua | P1 Carga cíclica | P2 Carga intermitente | P2 Carga continua | P2 Carga cíclica | P3 Carga intermitente | P3 Carga continua | P3 Carga cíclica |
| PNP20CR | 3500 | 1700 | 800 | 2800 | 1400 | 800 | 2600 | 1300 | 700 |
| PNP $\frac{3}{4}$ CR | 3500 | 1700 | 800 | 2800 | 1400 | 800 | 2600 | 1300 | 700 |
| PNP25CR | 4000 | 2000 | 1000 | 3100 | 1500 | 800 | 2600 | 1300 | 700 |
| PNP1CR | 4000 | 2000 | 1000 | 3100 | 1500 | 800 | 2600 | 1300 | 700 |
| PNP30CR | 5000 | 2500 | 1200 | 3500 | 1800 | 1000 | 4000 | 2000 | 1100 |
| PNP $\frac{1\frac{1}{2}}{16}$ CR | 5000 | 2500 | 1200 | 3500 | 1800 | 1000 | 4000 | 2000 | 1100 |
| PNP $1\frac{1}{4}$ RCR | 5000 | 2500 | 1200 | 3500 | 1800 | 1000 | 4000 | 2000 | 1100 |
| PNP35CR | 6000 | 3000 | 1500 | 4300 | 2100 | 1200 | 4100 | 2100 | 1100 |
| PNP $1\frac{1}{4}$ CR | 6000 | 3000 | 1500 | 4300 | 2100 | 1200 | 4100 | 2100 | 1100 |
| PNP $1\frac{1}{16}$ CR | 6000 | 3000 | 1500 | 4300 | 2100 | 1200 | 4100 | 2100 | 1100 |
| PNP40CR | 10700 | 5300 | 2900 | 8000 | 4000 | 2200 | 6800 | 3400 | 1900 |
| PNP $1\frac{1}{2}$ CR | 10700 | 5300 | 2900 | 8000 | 4000 | 2200 | 6800 | 3400 | 1900 |

Tabla 2 PSF Silver-Lube® cuadro - capacidad de carga del alojamiento

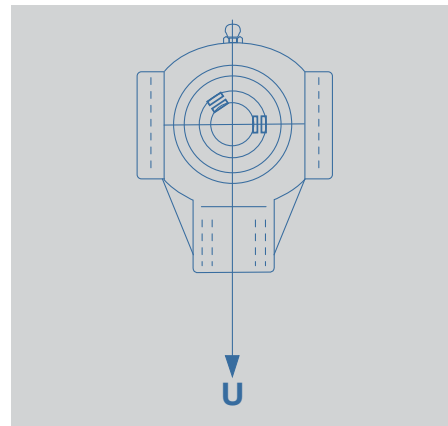
| Designación RHP | Carga máxima del alojamiento (N) a 20°C | | | | | | Fijación máx. del par de apriete (Nm) |
|-----------------------------------|---|-------------------------|------------------------|-----------------------------|-------------------------|------------------------|---------------------------------------|
| | F1 Carga intermitente | F1 Carga continua | F1 Carga cíclica | F2 Carga intermitente | F2 Carga continua | F2 Carga cíclica | |
| PSF20CR | 3100 | 1600 | 900 | 1300 | 700 | 400 | 18 |
| PSF $\frac{3}{4}$ CR | 3100 | 1600 | 900 | 1300 | 700 | 400 | 18 |
| PSF25CR | 3500 | 1700 | 1000 | 1300 | 700 | 400 | 25 |
| PSF1CR | 3500 | 1700 | 1000 | 1300 | 700 | 400 | 25 |
| PSF30CR | 4600 | 2300 | 1300 | 2200 | 1100 | 600 | 30 |
| PSF $\frac{1\frac{3}{16}}{16}$ CR | 4600 | 2300 | 1300 | 2200 | 1100 | 600 | 30 |
| PSF $1\frac{1}{4}$ RCR | 4600 | 2300 | 1300 | 2200 | 1100 | 600 | 30 |
| PSF35CR | 6200 | 3100 | 1700 | 2600 | 1300 | 700 | 35 |
| PSF $1\frac{1}{4}$ CR | 6200 | 3100 | 1700 | 2600 | 1300 | 700 | 35 |
| PSF $1\frac{1}{16}$ CR | 6200 | 3100 | 1700 | 2600 | 1300 | 700 | 35 |
| PSF40CR | 6200 | 3100 | 1700 | 4000 | 2000 | 1100 | 40 |
| PSF $1\frac{1}{2}$ CR | 6200 | 3100 | 1700 | 4000 | 2000 | 1100 | 40 |



SERIE PSF

Tabla 4 PST Silver-Lube® tensor - capacidad de carga del alojamiento

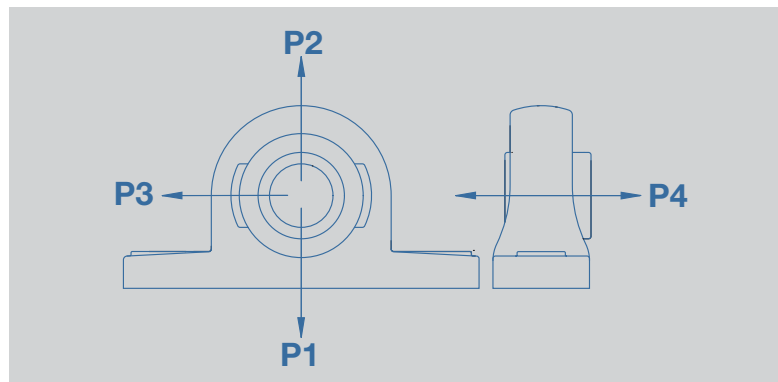
| Designación RHP | Carga máxima del alojamiento (N) a 20°C | | |
|-----------------------------------|---|---------------------|--------------------|
| | U Carga intermitente | U Carga continua | U Carga cíclica |
| PST20CR | 5700 | 2800 | 1600 |
| PST $\frac{3}{4}$ CR | 5700 | 2800 | 1600 |
| PST25CR | 5400 | 2700 | 1500 |
| PST1CR | 5400 | 2700 | 1500 |
| PST30CR | 8100 | 4000 | 2300 |
| PST $\frac{1\frac{3}{16}}{16}$ CR | 8100 | 4000 | 2300 |
| PST $1\frac{1}{4}$ RCR | 8100 | 4000 | 2300 |
| PST35CR | 7800 | 3900 | 2200 |
| PST $1\frac{1}{4}$ CR | 7800 | 3900 | 2200 |
| PST $1\frac{1}{16}$ CR | 7800 | 3900 | 2200 |
| PST40CR | 8100 | 4000 | 2300 |
| PST $1\frac{1}{2}$ CR | 8100 | 4000 | 2300 |



SERIE PST

Tenga en cuenta que no existe ninguna fijación máxima del par de apriete para las unidades tensoras.

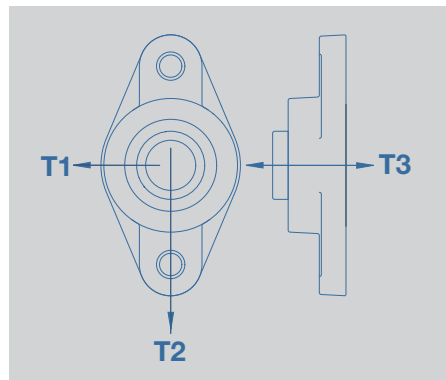
| | Carga máxima del alojamiento (N) a 20°C | | | Fijación máxima del par de apriete (Nm) |
|------|---|-------------------------|------------------------|---|
| | P4 Carga intermitente | P4 Carga continua | P4 Carga cíclica | |
| 1300 | 700 | 400 | | 18 |
| 1300 | 700 | 400 | | 18 |
| 1700 | 900 | 500 | | 25 |
| 1700 | 900 | 500 | | 25 |
| 2600 | 1300 | 700 | | 30 |
| 2600 | 1300 | 700 | | 30 |
| 2600 | 1300 | 700 | | 30 |
| 3200 | 1600 | 900 | | 35 |
| 3200 | 1600 | 900 | | 35 |
| 3200 | 1600 | 900 | | 35 |
| 5200 | 2600 | 1400 | | 40 |
| 5200 | 2600 | 1400 | | 40 |



SERIE PNP

Tabla 3 PSFT Silver-Lube® ovalado - capacidad de carga máxima del alojamiento

| Designación RHP | Carga máxima del alojamiento (N) a 20°C | | | | | | | | | Fijación máxima del par de apriete (Nm) |
|------------------------|---|-------------------------|------------------------|-----------------------------|-------------------------|------------------------|-----------------------------|-------------------------|------------------------|---|
| | T1 Carga intermitente | T1 Carga continua | T1 Carga cíclica | T2 Carga intermitente | T2 Carga continua | T2 Carga cíclica | T3 Carga intermitente | T3 Carga continua | T3 Carga cíclica | |
| PSFT20CR | 4400 | 2200 | 1200 | 1900 | 900 | 500 | 1300 | 700 | 400 | 18 |
| PSFT $\frac{3}{4}$ CR | 4400 | 2200 | 1200 | 1900 | 900 | 500 | 1300 | 700 | 400 | 18 |
| PSFT25CR | 4400 | 2200 | 1200 | 3000 | 1500 | 800 | 1400 | 700 | 400 | 25 |
| PSFT1CR | 4400 | 2200 | 1200 | 3000 | 1500 | 800 | 1400 | 700 | 400 | 25 |
| PSFT30CR | 5900 | 2900 | 1600 | 3300 | 1600 | 900 | 2000 | 1000 | 500 | 30 |
| PSFT $\frac{1}{2}$ CR | 5900 | 2900 | 1600 | 3300 | 1600 | 900 | 2000 | 1000 | 500 | 30 |
| PSFT $\frac{1}{4}$ RCR | 5900 | 2900 | 1600 | 3300 | 1600 | 900 | 2000 | 1000 | 500 | 30 |
| PSFT35CR | 6400 | 3200 | 1700 | 3900 | 2000 | 1100 | 2800 | 1400 | 800 | 35 |
| PSFT $\frac{1}{2}$ CR | 6400 | 3200 | 1700 | 3900 | 2000 | 1100 | 2800 | 1400 | 800 | 35 |
| PSFT $\frac{1}{2}$ eCR | 6400 | 3200 | 1700 | 3900 | 2000 | 1100 | 2800 | 1400 | 800 | 35 |
| PSFT40CR | 9000 | 4500 | 2500 | 3900 | 2000 | 1100 | 3300 | 1600 | 900 | 40 |
| PSFT $\frac{1}{2}$ CR | 9000 | 4500 | 2500 | 3900 | 2000 | 1100 | 3300 | 1600 | 900 | 40 |



SERIE PSFT

Insertos de rodamiento Silver-Lube®

Los insertos de rodamiento Silver-Lube® ensamblan anillos y bolas de acero inoxidable martensítico, y tornillos de apriete, retenes y jaulas de acero inoxidable austenítico.

La grasa de este producto corresponde a grasa alimentaria de complejo de aluminio, clasificada en el grado NSF H1. En caso de que sea necesario relubricarlos, lo primero que debe tenerse en cuenta es el tipo de grasa de sustitución.

Si no está disponible una grasa alimentaria de complejo de aluminio, deberá utilizar una grasa alternativa del tipo NSF H1 compatible químicamente con la grasa original. Si no puede asegurar la compatibilidad química, es aconsejable retirar totalmente del interior cualquier resto de grasa original antes de relubricarlo. Puede consultar a NSK siempre que lo crea necesario.

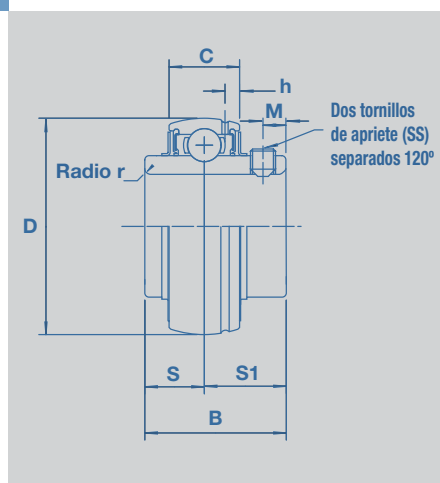


Tabla 5 Designaciones, dimensiones y pesos de los insertos

Unidades: mm

| Designación RHP | Diámetro Interior | D | C | B | S | r | M | C_T (N) | C_{Or} (N) | Peso (Kg) |
|-----------------|-------------------|----|----|------|------|-----|-----|-----------|--------------|-----------|
| J1020-20GCR | 20 | 47 | 16 | 31.0 | 12.7 | 1.5 | 5.0 | 9910 | 5350 | 0.16 |
| J1020-¾GCR | ¾" | 47 | 16 | 31.0 | 12.7 | 1.5 | 5.0 | 9910 | 5350 | 0.16 |
| J1025-25GCR | 25 | 52 | 17 | 34.0 | 14.3 | 1.5 | 5.5 | 10820 | 6300 | 0.20 |
| J1025-1GCR | 1" | 52 | 17 | 34.0 | 14.3 | 1.0 | 5.5 | 10820 | 6300 | 0.20 |
| J1030-30GCR | 30 | 62 | 19 | 38.1 | 15.9 | 1.5 | 6.0 | 15000 | 9050 | 0.32 |
| J1030-1¾GCR | 1¾" | 62 | 19 | 38.1 | 15.9 | 1.0 | 6.0 | 15000 | 9050 | 0.32 |
| J1030-1¼GCR | 1¼" | 62 | 19 | 38.1 | 15.9 | 1.0 | 6.0 | 15000 | 9050 | 0.32 |
| J1035-35GCR | 35 | 72 | 20 | 42.9 | 17.5 | 2.0 | 6.5 | 19820 | 12300 | 0.48 |
| J1035-1½GCR | 1½" | 72 | 20 | 42.9 | 17.5 | 2.0 | 6.5 | 19820 | 12300 | 0.48 |
| J1035-1¾GCR | 1¾" | 72 | 20 | 42.9 | 17.5 | 1.5 | 6.5 | 19820 | 12300 | 0.48 |
| J1040-40GCR | 40 | 80 | 21 | 49.2 | 19.0 | 2.0 | 8.0 | 22540 | 14300 | 0.64 |
| J1040-1½GCR | 1½" | 80 | 21 | 49.2 | 19.0 | 2.0 | 8.0 | 22540 | 14300 | 0.64 |

Tolerancias de eje y velocidades permisibles

La velocidad permisible del inserto de rodamiento depende de la tolerancia del eje. Para aplicaciones con una velocidad mayor es recomendable utilizar una tolerancia de eje ISO h7. Puede utilizar una tolerancia de eje ISO h9 para aplicaciones con una velocidad menor. Para más información consulte la tabla 6.

Tabla 6 Tolerancias y velocidades

| Inserto rodam. básico | Velocidad límite del rodamiento (RPM) | Alta tolerancia del eje ISO h7 (unidades en 0.001 mm) | Baja tolerancia del eje ISO h7 (unidades en 0.001 mm) | Velocidad límite del rodamiento (RPM) | Alta tolerancia del eje ISO h9 (unidades en 0.001 mm) | Baja tolerancia del eje ISO h9 (unidades en 0.001 mm) |
|--------------------------|--|--|--|--|--|--|
| J1020 | 2900 | 0 | -21 | 1490 | 0 | -52 |
| J1025 | 2600 | 0 | -21 | 1300 | 0 | -52 |
| J1030 | 2180 | 0 | -21 | 1090 | 0 | -52 |
| J1035 | 1870 | 0 | -25 | 940 | 0 | -62 |
| J1040 | 1650 | 0 | -25 | 830 | 0 | -62 |

Materiales y pares de apriete

Materiales

| | Partes | Materiales |
|--------------------|------------------------|---|
| Rodamiento | Anillos del rodamiento | Acero inoxidable martensítico (equivalente a SUS440C) |
| | Bolas | Acero inoxidable martensítico (equivalente a SUS440C) |
| | Retén | Acero inoxidable austenítico (equivalente a SUS302) |
| | Tornillo de apriete | Acero inoxidable martensítico (equivalente a SUS304) |
| Jaula | | Acero inoxidable austenítico (equivalente a SUS302) |
| Alojamiento rodam. | | PBT termoplástico |

Pares de apriete de tornillo de apriete

Los tornillos de apriete para los insertos de rodamiento Silver-Lube® están hechos de acero inoxidable y pueden romperse si se sobrecargan. Los pares límite de los tornillos de apriete de la lista (en la tabla 7) no pueden superarse.

Tabla 7 Pares de apriete recomendados para los tornillos de apriete

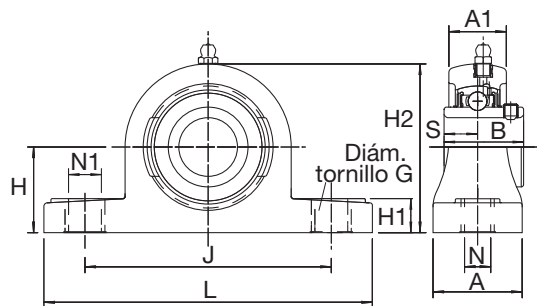
| Designación del rodamiento | Designación de los tornillos de apriete | Par de apriete máximo (Nm) |
|----------------------------|---|----------------------------|
| J1020-20GCR | M6 X 6.0 LONG | 4 |
| J1020-¾GCR | M6 X 6.0 LONG | 4 |
| J1025-25GCR | M6 X 6.0 LONG | 4 |
| J1025-1GCR | M6 X 6.0 LONG | 4 |
| J1030-30GCR | M6 X 6.0 LONG | 4 |
| J1030-1½GCR | M6 X 6.0 LONG | 4 |
| J1030-1¼GCR | M6 X 6.0 LONG | 4 |
| J1035-35GCR | M8 X 8.0 LONG | 8 |
| J1035-1¼GCR | M8 X 8.0 LONG | 8 |
| J1035-1½GCR | M8 X 8.0 LONG | 8 |
| J1040-40GCR | M8 X 8.0 LONG | 8 |
| J1040-1½GCR | M8 X 8.0 LONG | 8 |

Dimensiones de la unidad

Tabla 8
PNP Silver-Lube® tipo puente- dimensiones de la unidad

| Diámetro del eje | | Designación RHP | Inserto rodam. básico | Grupo de alojamiento | Dimensiones (mm) | | | | |
|---|----------|---------------------------------------|-----------------------|----------------------|------------------|------|------|------|-------|
| mm | pulgadas | | | | L | H | H1 | H2 | J |
| 20 3/4 | | PNP20CR | J1020 | 2 | 127.2 | 33.3 | 14.2 | 65.9 | 94.9 |
| | | PNP ³ / ₄ CR | J1020 | 2 | 127.2 | 33.3 | 14.2 | 65.9 | 94.9 |
| 25 1 | | PNP25CR | J1025 | 3 | 140.2 | 36.5 | 14.5 | 71.9 | 104.9 |
| | | PNP1CR | J1025 | 3 | 140.2 | 36.5 | 14.5 | 71.9 | 104.9 |
| 30 1 ³ / ₁₆ 1 ¹ / ₄ | | PNP30CR | J1030 | 4 | 162.2 | 42.9 | 17.8 | 83.9 | 118.9 |
| | | PNP1 ³ / ₁₆ CR | J1030 | 4 | 162.2 | 42.9 | 17.8 | 83.9 | 118.9 |
| | | PNP1 ¹ / ₁₆ RCR | J1030 | 4 | 162.2 | 42.9 | 17.8 | 83.9 | 118.9 |
| 35 1 ¹ / ₄ 1 ⁷ / ₁₆ | | PNP35CR | J1035 | 5 | 167.2 | 47.6 | 18.0 | 94.9 | 126.9 |
| | | PNP1 ¹ / ₄ CR | J1035 | 5 | 167.2 | 47.6 | 18.0 | 94.9 | 126.9 |
| | | PNP1 ⁷ / ₁₆ CR | J1035 | 5 | 167.2 | 47.6 | 18.0 | 94.9 | 126.9 |
| 40 1 ¹ / ₂ | | PNP40CR | J1040 | 6 | 184.2 | 49.2 | 19.5 | 98.9 | 136.8 |
| | | PNP1 ¹ / ₂ CR | J1040 | 6 | 184.2 | 49.2 | 19.5 | 98.9 | 136.8 |

Todas las dimensiones se indican en mm excepto los tamaños del eje, que se indican en pulgadas



SERIE PNP

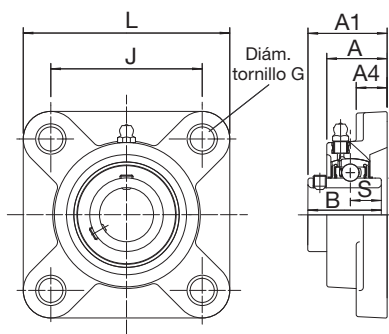
| | Dimensiones (mm) | | | | | | | Peso kg |
|--|------------------|------|-----|------|------|------|------|------------|
| | N | N1 | G | A | A1 | B | S | |
| | 11.0 | 14.2 | M10 | 37.8 | 22.5 | 31.0 | 12.7 | 0.27 |
| | 11.0 | 14.2 | M10 | 37.8 | 22.5 | 31.0 | 12.7 | 0.27 |
| | 11.0 | 14.2 | M10 | 37.8 | 24.5 | 34.0 | 14.3 | 0.39 |
| | 11.0 | 14.2 | M10 | 37.8 | 24.5 | 34.0 | 14.3 | 0.39 |
| | 14.0 | 18.2 | M12 | 45.8 | 27.0 | 38.1 | 15.9 | 0.52 |
| | 14.0 | 18.2 | M12 | 45.8 | 27.0 | 38.1 | 15.9 | 0.52 |
| | 14.0 | 18.2 | M12 | 45.8 | 27.0 | 38.1 | 15.9 | 0.52 |
| | 14.0 | 18.2 | M12 | 47.8 | 32.5 | 42.9 | 17.5 | 0.72 |
| | 14.0 | 18.2 | M12 | 47.8 | 32.5 | 42.9 | 17.5 | 0.72 |
| | 14.0 | 18.2 | M12 | 47.8 | 32.5 | 42.9 | 17.5 | 0.72 |
| | 14.0 | 18.2 | M12 | 53.8 | 36.0 | 49.2 | 19.0 | 0.99 |
| | 14.0 | 18.2 | M12 | 53.8 | 36.0 | 49.2 | 19.0 | 0.99 |

Dimensiones de la unidad

Tabla 9
PSF Silver-Lube® cuadro - dimensiones de la unidad

| Diámetro del eje mm pulg. | Designación RHP | Inserto del rodamiento básico | Grupo de alojamiento | Dimensiones (mm) | | | G |
|------------------------------|---------------------------------------|-------------------------------|----------------------|-------------------------|----------------------|-------------------|---|
| | | | | L | J | | |
| 20 3/4 | PSF20CR PSF3/4CR | J1020 J1020 | 2 2 | 86.5 86.5 | 63.5 63.5 | M10 M10 | |
| 25 1 | PSF25CR PSF1CR | J1025 J1025 | 3 3 | 95.0 95.0 | 70.0 70.0 | M10 M10 | |
| 30 1 3/16 1 1/4 | PSF30CR PSF1 3/16CR PSF1 1/4RCR | J1030 J1030 J1030 | 4 4 4 | 107.5 107.5 107.5 | 83.0 83.0 83.0 | M12 M12 M12 | |
| 35 1 1/4 1 7/16 | PSF35CR PSF1 1/4CR PSF1 7/16CR | J1035 J1035 J1035 | 5 5 5 | 117.5 117.5 117.5 | 92.0 92.0 92.0 | M12 M12 M12 | |
| 40 1 1/2 | PSF40CR PSF1 1/2CR | J1040 J1040 | 6 6 | 130.5 130.5 | 102.0 102.0 | M12 M12 | |

Todas las dimensiones se indican en mm excepto los tamaños del eje, que se indican en pulgadas



SERIE PSF

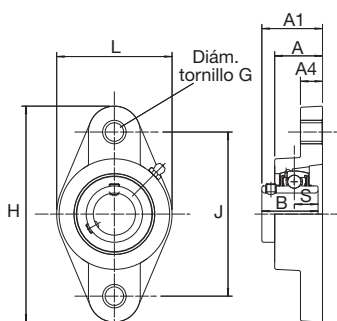
| | Dimensiones (mm) | | | | | Peso |
|--|------------------|------|------|------|------|------|
| | A | A1 | A1 | B | S | kg |
| | 27.8 | 36.3 | 13.4 | 31.0 | 12.7 | 0.28 |
| | 27.8 | 36.3 | 13.4 | 31.0 | 12.7 | 0.28 |
| | 27.9 | 36.7 | 14.3 | 34.0 | 14.3 | 0.34 |
| | 27.9 | 36.7 | 14.3 | 34.0 | 14.3 | 0.34 |
| | 31.5 | 41.4 | 14.3 | 38.1 | 15.9 | 0.50 |
| | 31.5 | 41.4 | 14.3 | 38.1 | 15.9 | 0.50 |
| | 31.5 | 41.4 | 14.3 | 38.1 | 15.9 | 0.50 |
| | 34.8 | 46.9 | 15.5 | 42.9 | 17.5 | 0.74 |
| | 34.8 | 46.9 | 15.5 | 42.9 | 17.5 | 0.74 |
| | 34.8 | 46.9 | 15.5 | 42.9 | 17.5 | 0.74 |
| | 37.5 | 53.2 | 17.1 | 49.2 | 19.0 | 0.98 |
| | 37.5 | 53.2 | 17.1 | 49.2 | 19.0 | 0.98 |

Dimensiones de la unidad

Tabla 10
PSFT Silver-Lube® ovalado - dimensiones de la unidad

| Diámetro del eje | | Designación RHP | Inserto del Rodamiento básico | Grupo de alojamiento | Dimensiones (mm) | | |
|---|-------|---------------------------|-------------------------------|----------------------|------------------|-------|-------|
| mm | pulg. | | | | L | H | J |
| 20 3/4 | | PSFT20CR | J1020 | 2 | 64.1 | 113.3 | 90.0 |
| | | PSFT ^{3/4} CR | J1020 | 2 | 64.1 | 113.3 | 90.0 |
| 25 1 | | PSFT25CR | J1025 | 3 | 68.4 | 130.3 | 99.0 |
| | | PSFT1CR | J1025 | 3 | 68.4 | 130.3 | 99.0 |
| 30 1 ^{3/16} 1 ^{1/4} | | PSFT30CR | J1030 | 4 | 80.1 | 148.3 | 117.0 |
| | | PSFT1 ^{3/16} CR | J1030 | 4 | 80.1 | 148.3 | 117.0 |
| | | PSFT1 ^{1/16} RCR | J1030 | 4 | 80.1 | 148.3 | 117.0 |
| 35 1 ^{1/4} 1 ^{7/16} | | PSFT35CR | J1035 | 5 | 90.1 | 163.3 | 130.0 |
| | | PSFT1 ^{1/4} CR | J1035 | 5 | 90.1 | 163.3 | 130.0 |
| | | PSFT1 ^{7/16} CR | J1035 | 5 | 90.1 | 163.3 | 130.0 |
| 40 1 ^{1/2} | | PSFT40CR | J1040 | 6 | 100.1 | 175.3 | 144.0 |
| | | PSFT1 ^{1/2} CR | J1040 | 6 | 100.1 | 175.3 | 144.0 |

Todas las dimensiones se indican en mm excepto los tamaños del eje, que se indican en pulgadas



SERIE PSFT

| | Dimensiones (mm) | | | | | | Peso kg |
|-----|------------------|------|------|------|------|------|------------|
| | G | A | A1 | A4 | B | S | |
| M10 | 26.5 | 33.7 | 11.4 | 31.0 | 12.7 | 0.24 | |
| M10 | 26.5 | 33.7 | 11.4 | 31.0 | 12.7 | 0.24 | |
| M10 | 29.1 | 36.7 | 13.4 | 34.0 | 14.3 | 0.30 | |
| M10 | 29.1 | 36.7 | 13.4 | 34.0 | 14.3 | 0.30 | |
| M10 | 30.5 | 41.2 | 13.4 | 38.1 | 15.9 | 0.44 | |
| M10 | 30.5 | 41.2 | 13.4 | 38.1 | 15.9 | 0.44 | |
| M10 | 30.5 | 41.2 | 13.4 | 38.1 | 15.9 | 0.44 | |
| M12 | 32.8 | 43.4 | 16.1 | 42.9 | 17.5 | 0.64 | |
| M12 | 32.8 | 43.4 | 16.1 | 42.9 | 17.5 | 0.64 | |
| M12 | 32.8 | 43.4 | 16.1 | 42.9 | 17.5 | 0.64 | |
| M12 | 37.5 | 51.7 | 20.0 | 49.2 | 19.0 | 0.89 | |
| M12 | 37.5 | 51.7 | 20.0 | 49.2 | 19.0 | 0.89 | |

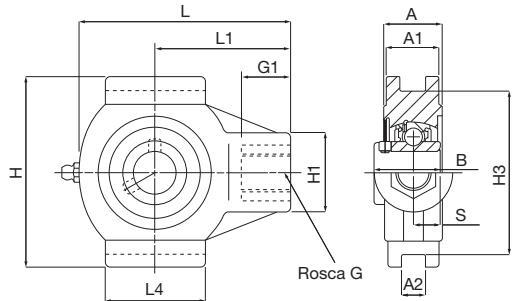
Dimensiones de la unidad

Tabla 11

PST Silver-Lube® unidades tensoras - dimensiones de la unidad

| Diámetro del eje | | Designación RHP | Inserto del rodamiento básico | Grupo de alojamiento | Dimensiones (mm) | | | | |
|------------------|-----------------|---------------------------------------|-------------------------------|----------------------|-------------------------|----------------------|----------------------|-------------------------|----------------------|
| mm | pulg. | | | | L | L1 | L4 | H | H1 |
| 20 | 3/4 | PST20CR PST3/4CR | J1020 J1020 | 2 2 | 99.0 99.0 | 64.0 64.0 | 47.0 47.0 | 88.0 88.0 | 35.0 35.0 |
| 25 | 1 | PST25CR PST1CR | J1025 J1025 | 3 3 | 99.0 99.0 | 64.0 64.0 | 47.0 47.0 | 88.0 88.0 | 35.0 35.0 |
| 30 | 1 3/16 1 1/4 | PST30CR PST1 3/16CR PST1 1/4RCR | J1030 J1030 J1030 | 4 4 4 | 125.0 125.0 125.0 | 76.0 76.0 76.0 | 63.0 63.0 63.0 | 102.0 102.0 102.0 | 40.0 40.0 40.0 |
| 35 | 1 1/4 1 7/16 | PST35CR PST1 1/4CR PST1 7/16CR | J1035 J1035 J1035 | 5 5 5 | 125.0 125.0 125.0 | 76.0 76.0 76.0 | 63.0 63.0 63.0 | 102.0 102.0 102.0 | 40.0 40.0 40.0 |
| 40 | 1 1/2 | PST40CR PST1 1/2CR | J1040 J1040 | 6 6 | 140.0 140.0 | 85.0 85.0 | 80.0 80.0 | 114.0 114.0 | 40.0 40.0 |

Todas las dimensiones se indican en mm excepto los tamaños del eje, que se indican en pulgadas



SERIE PST

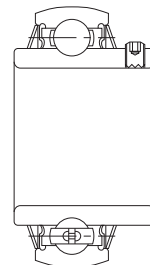
| | Dimensiones (mm) | | | | | | | | Peso kg |
|--|------------------|----------|------|------|------|------|------|------|------------|
| | H3 | G | G1 | A | A1 | A2 | B | S | |
| | 75.8 | M16X2.00 | 22.5 | 27.5 | 24.5 | 12.2 | 31.0 | 12.7 | 0.32 |
| | 75.8 | M16X2.00 | 22.5 | 27.5 | 24.5 | 12.2 | 31.0 | 12.7 | 0.32 |
| | 75.8 | M16X2.00 | 22.5 | 27.5 | 24.5 | 12.2 | 34.0 | 14.3 | 0.36 |
| | 75.8 | M16X2.00 | 22.5 | 27.5 | 24.5 | 12.2 | 34.0 | 14.3 | 0.36 |
| | 88.8 | M16X2.00 | 22.5 | 34.5 | 30.0 | 12.2 | 38.1 | 15.9 | 0.53 |
| | 88.8 | M16X2.00 | 22.5 | 34.5 | 30.0 | 12.2 | 38.1 | 15.9 | 0.53 |
| | 88.8 | M16X2.00 | 22.5 | 34.5 | 30.0 | 12.2 | 38.1 | 15.9 | 0.53 |
| | 88.8 | M16X2.00 | 22.5 | 34.5 | 30.0 | 12.2 | 42.9 | 17.5 | 0.74 |
| | 88.8 | M16X2.00 | 22.5 | 34.5 | 30.0 | 12.2 | 42.9 | 17.5 | 0.74 |
| | 88.8 | M16X2.00 | 22.5 | 34.5 | 30.0 | 12.2 | 42.9 | 17.5 | 0.74 |
| | 101.8 | M16X2.00 | 22.5 | 34.0 | 32.0 | 16.2 | 49.2 | 19.0 | 1.00 |
| | 101.8 | M16X2.00 | 22.5 | 34.0 | 32.0 | 16.2 | 49.2 | 19.0 | 1.00 |

Insertos Molded-Oil™ con Alojamientos de Acero Inoxidable

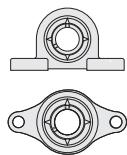


Referencias de las unidades de acero inoxidable Molded-Oil™

Tipo de inserto

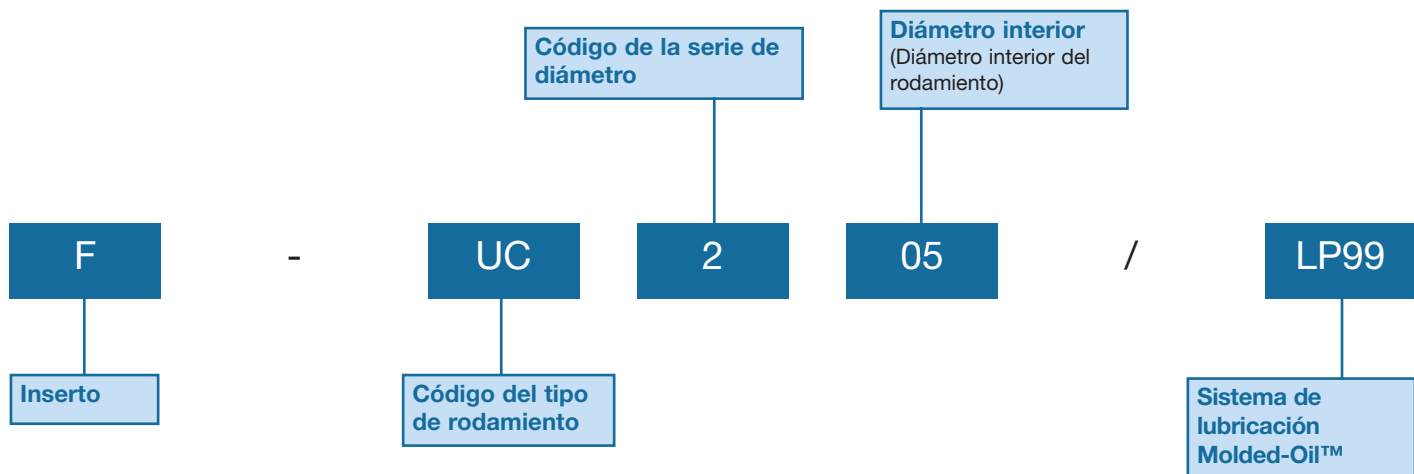


Tipo de alojamiento



| Página | Serie |
|--------|---------|
| 114 | F-UCPM2 |
| 116 | F-UCFM2 |

Referencias de los insertos Molded-Oil™



Serie de unidades de rodamientos de bolas de acero inoxidable

Introducción

Esta serie es resistente a la corrosión y su vida de lubricación es mayor en unidades limpiadoras con características de par bajo.

Las unidades de rodamientos de bolas NSK en la serie inoxidable cuenta con rodamientos de bolas ensamblados en alojamientos de inoxidable que ofrecen una mayor resistencia a la corrosión que las unidades de la serie estándar de hierro fundido. Este serie resulta especialmente útil en una gran variedad de aplicaciones gracias a las propiedades anti-oxidantes del alojamiento.

Los rodamientos Molded-Oil™ están lubricados con nuestro lubricante sólido impregnado con aceite Molded-Oil™. Molded-Oil™ consiste en aceite lubricante y resina de poliolefino que tiene afinidad por el aceite. El aceite que se filtra lentamente desde este material ofrece una amplia lubricación al rodamiento para períodos largos de tiempo.

Puesto que el aceite que se filtra al interior del rodamiento Molded Oil™ proporciona una lubricación suficiente, no es necesario realizar una lubricación posterior y se evita contaminar el entorno.

Antes de lubricar los rodamientos con Molded-Oil™, las superficies interiores reciben un tratamiento especial. Como resultado, el par de rodamiento es mucho mayor que el de los rodamientos lubricados con grasa. (pendiente de patente)

Las dimensiones básicas son iguales que las de las unidades NSK actuales y son compatibles con unidades de otros fabricantes que cumplen con la norma ISO.

Materiales

| | Partes | Materiales |
|--------------------|---|---|
| Rodamiento | Caminos de rodadura Bolas Deflector, Retén Sellado de Goma Tornillo de apriete (tornillo con cabeza en W) | Acero inoxidable martensítico (equivalente a SUS440C) Acero inoxidable martensítico (equivalente a SUS440C) Acero inoxidable martensítico (equivalente a SUS304) Goma de nitrilo Acero inoxidable martensítico (equivalente a SUS410) |
| Alojamiento rodam. | | Colada de acero inoxidable austenítico (SCS13) |

Temperatura operativa recomendada y velocidad permitida

Es recomendable utilizar los Rodamientos Molded-Oil™ a temperaturas comprendidas entre -15 y +80°C. Sin embargo, la temperatura operativa debería ser inferior a +60°C cuando se utiliza el rodamiento continuamente.

Valor dn : 1 2x 1 Ø máx.

(dn = diámetro interno en mm x velocidad en min⁻¹)

Observaciones: Este intervalo de temperaturas recomendado y la velocidad permitida se aplica a todos los rodamientos Molded-Oil™. Contacte con NSK cuando lo utilice bajo unas condiciones que superen estos límites.

Pares aconsejados para los tornillos de apriete

| Designación del rodamiento (F-UC) | Designación de los tornillos de apriete (tornillo con cabeza en forma de W) | Pares máximos de apriete (Nm) |
|-----------------------------------|---|-------------------------------|
| 204, 205 | M5 x 0.8 | 3.9 |
| 206 | M6 x 0.75 | 4.9 |
| 207 | M6 x 0.75 | 5.8 |
| 208~210 | M8 x 1 | 7.8 |

Tolerancias del anillo interior

Unidades: μm

| Diámetro interno nominal diámetro d más de mm hasta mm | Diámetro interno | | Ancho | | Salto radial (ref.) máx. |
|---|------------------------------|----------------------------|-----------------------------|------|-----------------------------|
| | Ødmp desviaciones alta | Ødp variaciones máx. | ØBs desviaciones alta | baja | |
| 18 31.750 | +18 | 0 | 12 | 0 | -120 |
| 31.750 50.800 | +21 | 0 | 14 | 0 | -120 |

Δd_{mp} : Variación media del diá. del anillo interior.

ΔV_{dp} : Variación del diámetro del anillo interior

ΔB_s : Desviación del ancho del anillo interior

Tolerancias del anillo exterior

Unidades: μm

| Diámetro D exterior nominal más de mm hasta mm | ØDm desviaciones | | Salto radial (ref.) |
|---|---------------------|------|---------------------|
| alta | baja | máx. | |
| 30 50 | 0 | -11 | 20 |
| 50 80 | 0 | -13 | 25 |
| 80 120 | 0 | -15 | 35 |

ΔD_m : Variación media del diá. exterior.

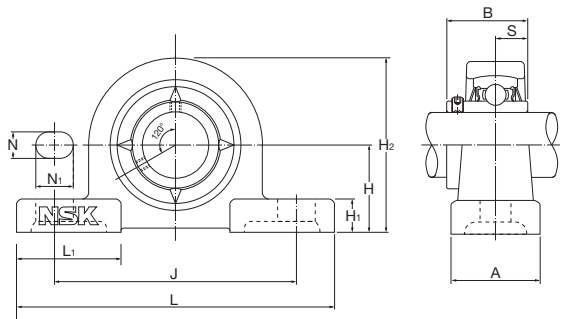
La cifra de desviación menor de ΔD_m no es aplicable a una dimensión de hasta $1/4$ de la anchura del anillo exterior desde cada lateral.

Unidad de rodamiento de bolas de tipo puente

Serie F-UCPM2

Diámetro interno cilíndrico, tornillo de apriete con Molded-Oil™

| Diámetro del eje mm | Referencia de la unidad | Dimensiones (mm) | | | | | | | | | | |
|------------------------|-------------------------|------------------|-----|-----|----|----|----------------|----------------|----------------|----------------|------|------|
| | | H | L | J | A | N | N ₁ | H ₁ | H ₂ | L ₁ | B | S |
| 20 | F-UCPM204D0/LP99 | 33.3 | 120 | 95 | 30 | 12 | 14 | 11 | 64 | 42 | 31.0 | 12.7 |
| 25 | F-UCPM205D0/LP99 | 36.5 | 130 | 105 | 30 | 12 | 14 | 12 | 70 | 42 | 34.1 | 14.3 |
| 30 | F-UCPM206D0/LP99 | 42.9 | 155 | 121 | 36 | 17 | 20 | 13 | 82 | 54 | 38.1 | 15.9 |
| 35 | F-UCPM207D0/LP99 | 47.6 | 161 | 127 | 38 | 17 | 20 | 14 | 92 | 54 | 42.9 | 17.5 |
| 40 | F-UCPM208D0/LP99 | 49.2 | 171 | 137 | 40 | 17 | 20 | 14 | 98 | 52 | 49.2 | 19 |
| 45 | F-UCPM209D0/LP99 | 54 | 180 | 146 | 40 | 17 | 20 | 14 | 105 | 60 | 49.2 | 19 |
| 50 | F-UCPM210D0/LP99 | 57.2 | 195 | 159 | 45 | 19 | 22 | 16 | 114 | 65 | 51.6 | 19 |



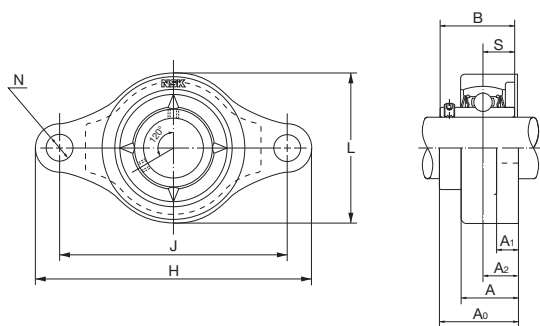
| Tamaño del perno | Referencia del rodamiento | Referencia de Alojamiento | Masa de la unidad (Ref.) |
|------------------|---------------------------|---------------------------|--------------------------|
| | | | kg |
| M10 | F-UC204/LP99 | PM204 | 0.6 |
| M10 | F-UC205/LP99 | PM205 | 0.7 |
| M14 | F-UC206/LP99 | PM206 | 1.0 |
| M14 | F-UC207/LP99 | PM207 | 1.3 |
| M14 | F-UC208/LP99 | PM208 | 1.8 |
| M14 | F-UC209/LP99 | PM209 | 2.1 |
| M16 | F-UC210/LP99 | PM210 | 2.5 |

Unidad de rodamiento de bolas tipo rombo

Serie F-UCFM2

Diámetro interno cilíndrico, tornillo de apriete con Molded-Oil™

| Diámetro del eje mm | Referencia de la unidad | Dimensiones (mm) | | | | | | | | | |
|------------------------|-------------------------|------------------|-----|----------------|----------------|------|----|-----|----------------|------|------|
| | | H | J | A ₂ | A ₁ | A | N | L | A ₀ | B | S |
| 20 | F-UCFM204D0/LP99 | 112 | 90 | 15 | 10 | 25.5 | 12 | 60 | 33.3 | 31.0 | 12.7 |
| 25 | F-UCFM205D0/LP99 | 127 | 99 | 16 | 10 | 26.5 | 16 | 68 | 35.8 | 34.1 | 14.3 |
| 30 | F-UCFM206D0/LP99 | 145 | 117 | 18 | 10 | 30 | 16 | 80 | 40.2 | 38.1 | 15.9 |
| 35 | F-UCFM207D0/LP99 | 158 | 130 | 19 | 12 | 32 | 16 | 90 | 44.4 | 42.9 | 17.5 |
| 40 | F-UCFM208D0/LP99 | 172 | 144 | 21 | 12 | 35 | 16 | 100 | 51.2 | 49.2 | 19 |
| 45 | F-UCFM209D0/LP99 | 180 | 148 | 22 | 13 | 36 | 19 | 108 | 52.2 | 49.2 | 19 |
| 50 | F-UCFM210D0/LP99 | 189 | 157 | 22 | 13 | 37 | 19 | 115 | 54.6 | 51.6 | 19 |

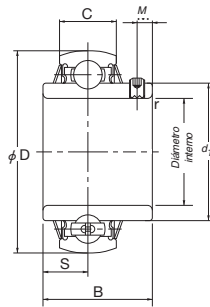


| Tamaño del perno | Referencia del rodamiento | Referencia de Alojamiento | masa de unidad (Ref.) |
|------------------|---------------------------|---------------------------|-----------------------|
| M10 | F-UC204/LP99 | FM204 | 0.5 |
| M14 | F-UC205/LP99 | FM205 | 0.6 |
| M14 | F-UC206/LP99 | FM206 | 0.9 |
| M14 | F-UC207/LP99 | FM207 | 1.2 |
| M14 | F-UC208/LP99 | FM208 | 1.6 |
| M16 | F-UC209/LP99 | FM209 | 1.9 |
| M16 | F-UC210/LP99 | FM210 | 2.2 |

Rodamiento con inserto inoxidable

Diámetro interno cilíndrico, tornillo de apriete con Molded-Oil™

| Diámetro del eje mm | Referencia de la unidad | Dimensiones (mm) | | | |
|------------------------|-------------------------|------------------|------|----|-------------------|
| | | D | B | C | r _{min.} |
| 20 | F-UC204/LP99 | 47 | 31.0 | 17 | 1 |
| 25 | F-UC205/LP99 | 52 | 34.1 | 17 | 1 |
| 30 | F-UC206/LP99 | 62 | 38.1 | 19 | 1 |
| 35 | F-UC207/LP99 | 72 | 42.9 | 20 | 1.5 |
| 40 | F-UC208/LP99 | 80 | 49.2 | 21 | 1.5 |
| 45 | F-UC209/LP99 | 85 | 49.2 | 22 | 1.5 |
| 50 | F-UC210/LP99 | 90 | 51.6 | 24 | 1.5 |



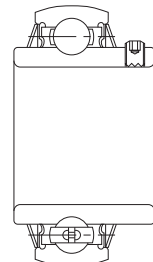
| Dimensiones (mm) | | | Índice de capacidad de carga N | | Masa de la unidad (Ref.) |
|------------------|-----|------|--------------------------------|-------------------|--------------------------|
| S | M | d1 | Dinámica C_r | Estática C_{or} | kg |
| 12.7 | 4.5 | 29.6 | 9900 | 6650 | 0.17 |
| 14.3 | 5 | 33.9 | 10800 | 7850 | 0.20 |
| 15.9 | 5 | 40.8 | 15000 | 11300 | 0.33 |
| 17.5 | 6 | 46.8 | 19700 | 15300 | 0.49 |
| 19 | 8 | 53.0 | 22400 | 17800 | 0.65 |
| 19 | 8 | 57.5 | 25200 | 20400 | 0.70 |
| 19 | 9 | 62.4 | 27000 | 23300 | 0.80 |

Unidades de rodamiento Life-Lube®

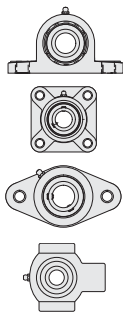


Referencias de la unidad Silver-Lube®

Tipo de inserto

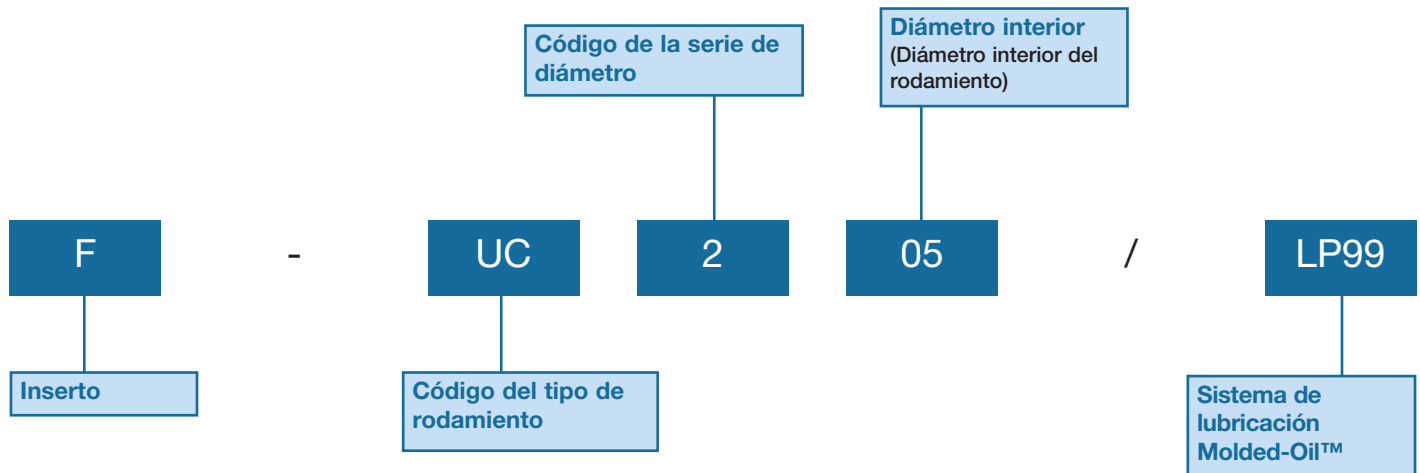


Tipo de alojamiento



| Página | |
|--------|-----------|
| 125 | |
| 126 | PNP/LP99 |
| 128 | PSF/LP99 |
| 130 | PSFT/LP99 |
| 132 | PST/LP99 |

Referencias de inserto Life-Lube®



Gama de productos Life-Lube®

Introducción

La serie Life-Lube® combina las propiedades de resistencia corrosiva de los alojamientos Silver-Lube® con el excelente sellado y propiedades de lubricación de los insertos Molded-Oil™. Las unidades Life-Lube® están especialmente diseñadas para utilizarlas en industrias en que no se puede evitar el contacto con el agua y los líquidos de proceso, con lo cual es necesario que dispongan de una resistencia excelente a las sustancias químicas y que la lubricación sea duradera.

Las unidades Life-Lube® están disponibles en diseño de puente, ovalado, cuadro y unidades tensoras y pueden acomodar desalineaciones iniciales de errores de ensamblaje. Se ha demostrado la fiabilidad de las unidades en funcionamiento en las aplicaciones más hostiles.

Los alojamientos Life-Lube® están hechos de resina termoplástica de PBT que, además de ser inoxidable, es resistente a los detergentes y a una gran cantidad de sustancias químicas. Los alojamientos no están pintados ni recubiertos, lo que evita que se produzcan virutas o escamas de pintura y se obtienen unas superficies suaves resistentes a los lavados.

Los insertos Life-Lube® están hechos de acero inoxidable, que ofrece una resistencia a la corrosión excelente. Los insertos están lubricados con nuestro polímero impregnado con aceite Molded-Oil™. El aceite que se filtra lentamente desde este material ofrece una amplia lubricación al rodamiento para períodos largos de tiempo. El lubricante sólido Molded-Oil™ es resistente a la contaminación y a los lavados con agua, y no necesita

lubricaciones posteriores. Los retenes de acero inoxidable y los sellados de goma de nitrilo se suministran como estándar.

Resistencia del alojamiento

La capacidad de carga del alojamiento varía según el régimen de capacidad de carga de la aplicación, que puede ser intermitente, continuo o cíclico. Las cargas máximas de los alojamientos se indican en las tablas 1, 2, 3 y 4. No debe exceder nunca estas cargas sin consultarlos antes con NSK.

Las capacidades de carga máxima publicadas para los alojamientos no permiten reducir la capacidad del alojamiento debido a la exposición a sustancias químicas, agua, vapor, calor, rayos ultravioletas o cualquier combinación de estos factores. Si la aplicación cuenta con cualquiera de estos factores, el diseñador o usuario final debe establecer el efecto de estas exposiciones y reducir la carga máxima publicada de los alojamientos.

Para soportar la capacidad de carga es recomendable utilizar las arandelas con pernos de sujeción. Las tablas 1, 2 y 3 también indican los pares de apriete máximos de los pernos de fijación.

Generación de electricidad estática

Las unidades de rodamiento Life-Lube® pueden generar electricidad estática bajo ciertas condiciones de aplicación.

Por lo tanto, no es recomendable utilizar rodamientos Life-Lube®, en entornos explosivos o inflamables. Si utiliza rodamientos Life-Lube® en aplicaciones inflamables o explosivas, el inserto de rodamiento debe conectarse a tierra (masa).

Resistencia del alojamiento

Tabla 1 PNP Life-Lube® tipo puente- capacidad de carga del alojamiento

| Designación RHP | Carga máxima del alojamiento (N) a 20°C | | | | | | | | | | | | Fijación máxima del par de apriete (Nm) |
|-----------------|---|----------------------|---------------------|--------------------------|----------------------|---------------------|--------------------------|----------------------|---------------------|--------------------------|----------------------|---------------------|---|
| | P1 Carga intermitente | P1 Carga continua | P1 Carga cíclica | P2 Carga intermitente | P2 Carga continua | P2 Carga cíclica | P3 Carga intermitente | P3 Carga continua | P3 Carga cíclica | P4 Carga intermitente | P4 Carga continua | P4 Carga cíclica | |
| PNP20/LP99 | 3500 | 1700 | 800 | 2800 | 1400 | 800 | 2600 | 1300 | 700 | 1300 | 700 | 400 | 18 |
| PNP25/LP99 | 4000 | 2000 | 1000 | 3100 | 1500 | 800 | 2600 | 1300 | 700 | 1700 | 900 | 500 | 25 |
| PNP30/LP99 | 5000 | 2500 | 1200 | 3500 | 1800 | 1000 | 4000 | 2000 | 1100 | 2600 | 1300 | 700 | 30 |
| PNP35/LP99 | 6000 | 3000 | 1500 | 4300 | 2100 | 1200 | 4100 | 2100 | 1100 | 3200 | 1600 | 900 | 35 |
| PNP40/LP99 | 10700 | 5300 | 2900 | 8000 | 4000 | 2200 | 6800 | 3400 | 1900 | 5200 | 2600 | 1400 | 40 |

Tabla 2 PSF Life-Lube® cuadro - capacidad de carga del alojamiento

| Designación RHP | Carga máxima del alojamiento (N) a 20°C | | | | | | Fijación máxima del par de apriete (Nm) |
|-----------------|---|----------------------|---------------------|--------------------------|----------------------|---------------------|---|
| | F1 Carga intermitente | F1 Carga continua | F1 Carga cíclica | F2 Carga intermitente | F2 Carga continua | F2 Carga cíclica | |
| PSF20/LP99 | 3100 | 1600 | 900 | 1300 | 700 | 400 | 18 |
| PSF25/LP99 | 3500 | 1700 | 1000 | 1300 | 700 | 400 | 25 |
| PSF30/LP99 | 4600 | 2300 | 1300 | 2200 | 1100 | 600 | 30 |
| PSF35/LP99 | 6200 | 3100 | 1700 | 2600 | 1300 | 700 | 35 |
| PSF40/LP99 | 6200 | 3100 | 1700 | 4000 | 2000 | 1100 | 40 |

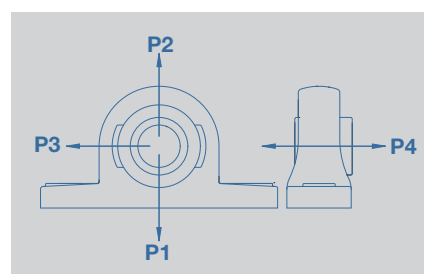
Tabla 3 PSFT Life-Lube® ovalado - capacidad de carga del alojamiento

| Designación RHP | Carga máxima del alojamiento (N) a 20°C | | | | | | Carga máxima del alojamiento (N) a 20°C | | | Fijación máxima del par de apriete (Nm) |
|-----------------|---|----------------------|---------------------|--------------------------|----------------------|---------------------|---|----------------------|---------------------|---|
| | T1 Carga intermitente | T1 Carga continua | T1 Carga cíclica | T2 Carga intermitente | T2 Carga continua | T2 Carga cíclica | T3 Carga intermitente | T3 Carga continua | T3 Carga cíclica | |
| PSFT20/LP99 | 4400 | 2200 | 1200 | 1900 | 900 | 500 | 1300 | 700 | 400 | 18 |
| PSFT25/LP99 | 4400 | 2200 | 1200 | 3000 | 1500 | 800 | 1400 | 700 | 400 | 25 |
| PSFT30/LP99 | 5900 | 2900 | 1600 | 3300 | 1600 | 900 | 2000 | 1000 | 500 | 30 |
| PSFT35/LP99 | 6400 | 3200 | 1700 | 3900 | 2000 | 1100 | 2800 | 1400 | 800 | 35 |
| PSFT40/LP99 | 9000 | 4500 | 2500 | 3900 | 2000 | 1100 | 3300 | 1600 | 900 | 40 |

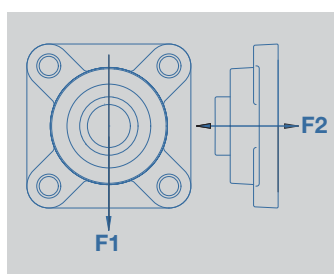
Tabla 4 PST Life-Lube® tensor - capacidad de carga del alojamiento

| Designación RHP | Carga máxima del alojamiento (N) a 20°C | | |
|-----------------|---|---------------------|--------------------|
| | U Carga intermitente | U Carga continua | U Carga cíclica |
| PST20/LP99 | 5700 | 2800 | 1600 |
| PST25/LP99 | 5400 | 2700 | 1500 |
| PST30/LP99 | 8100 | 4000 | 2300 |
| PST35/LP99 | 7800 | 3900 | 2200 |
| PST40/LP99 | 8100 | 4000 | 2300 |

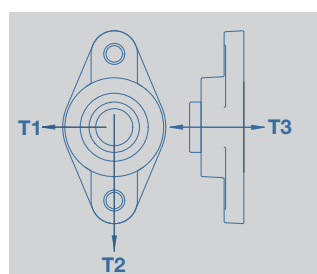
Tenga en cuenta que no existe ninguna fijación máxima del par de apriete para las unidades tensoras.



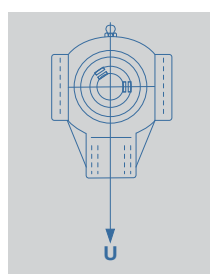
SERIE PNP



SERIE PSF



SERIE PSFT



SERIE PST

Insertos de rodamiento Life-Lube®

Los insertos de rodamiento Life-Lube® cuentan con anillos y bolas de acero inoxidable martensítico, y de tornillos de apriete, retenes y jaulas de acero inoxidable austenítico.

Los insertos Life-Lube® están lubricados con nuestro lubricante sólido impregnado con aceite Molded-Oil™. Molded-Oil™ consiste en aceite lubricante y resina de poliolefino que tiene afinidad con el aceite. El aceite que se filtra lentamente desde este material ofrece una amplia lubricación al rodamiento para períodos largos de tiempo. No es necesario una lubricación posterior para los insertos Life-Lube® Molded-Oil™.

Temperatura operativa recomendada y velocidad permitida

Es recomendable utilizar los insertos Molded-Oil™ a temperaturas comprendidas entre -15 y +80°C. Sin embargo, la temperatura operativa debería ser inferior a +60°C cuando se utiliza el rodamiento continuamente.

Velocidad permitida:

Valor dn : 1.2×10^4 máx.

(dn = diámetro interno en mm x velocidad en rpm)

Observaciones: Este intervalo de temperaturas recomendado y la velocidad permitida se aplica a todas las unidades con insertos Molded-Oil™. Contacte con NSK cuando lo utilice bajo unas condiciones que superen estos límites.

Materiales

| | Partes | Materiales |
|------------|--|--|
| Rodamiento | Anillos del rodamiento Bolas Retén Sellado Tornillo de apriete | Acero inoxidable martensítico (equivalente a SUS440C) Acero inoxidable martensítico (equivalente a SUS440C) Acero inoxidable austenítico (equivalente a SUS302) Goma de nitrilo Acero inoxidable martensítico (equivalente a SUS410) |
| | Alojamiento del rodamiento | PBT termoplástico |

Pares de apriete de tornillo de apriete

Los tornillos de apriete para los insertos de rodamiento Life-Lube® son de acero inoxidable y pueden romperse si se sobrecargan. Los pares límite de los tornillos de apriete de la tabla 5 no pueden superarse.

Tabla 5 Pares de apriete recomendados para los tornillos de apriete

| Designación del inserto | Designación de los tornillos de apriete | Pares de apriete máximo (Nm) |
|-------------------------|---|------------------------------|
| F-UC204/LP99 | M5 x 0.8 | 3.9 |
| F-UC205/LP99 | M5 x 0.8 | 3.9 |
| F-UC206/LP99 | M6 x 0.75 | 4.9 |
| F-UC207/LP99 | M6 x 0.75 | 5.8 |
| F-UC208/LP99 | M8 x 1 | 7.8 |

Tolerancias del anillo interior

Unidades: μm

| Diámetro d diámetro interno nominal | Diámetro interno | | Ancho | | Salto radial (ref.) |
|--|----------------------|------|---------------------|----------------------|------------------------|
| más de mm | desviaciones alta | baja | variaciones máx. | desviaciones alta | baja |
| 18 | +18 | 0 | 12 | 0 | -120 |
| 31.750 | +21 | 0 | 14 | 0 | -120 |
| 31.750 | 50.800 | | | | 18 |
| | | | | | 20 |

Δd_{mp} : Variación media del diámetro del anillo interior.

ΔV_{dp} : Variación del diámetro del anillo interior

ΔB_s : Desviación del ancho del anillo interior

Tolerancias del anillo exterior

Unidades: μm

| Diámetro D exterior nominal | ΔD_m desviaciones | | Salto radial (ref.) |
|--------------------------------|------------------------------|------|------------------------|
| más de mm | alta | baja | máx. |
| 30 | 50 | 0 | -11 |
| 50 | 80 | 0 | -13 |
| 80 | 120 | 0 | -15 |
| | | | 20 |
| | | | 25 |
| | | | 35 |

ΔD_m : Variación media del diámetro exterior.

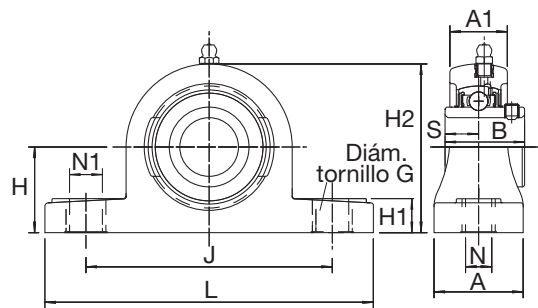
Los valores de desviación menor de ΔD_m no es aplicable a una dimensión de hasta $\frac{1}{4}$ de la anchura del anillo exterior desde cada lateral.

Dimensiones de la unidad

Tabla 1

PNP/LP99 Life-Lube® tipo puente - dimensiones de la unidad

| Diámetro del eje mm | Designación RHP | Inserto básico | Grupo de alojamiento | Dimensiones (mm) | | | |
|------------------------|-----------------|----------------|----------------------|------------------|------|------|------|
| | | | | L | H | H1 | H2 |
| 20 | PNP20/LP99 | F-UC204/LP99 | 2 | 127.2 | 33.3 | 14.2 | 65.9 |
| 25 | PNP25/LP99 | F-UC205/LP99 | 3 | 140.2 | 36.5 | 14.5 | 71.9 |
| 30 | PNP30/LP99 | F-UC206/LP99 | 4 | 162.2 | 42.9 | 17.8 | 83.9 |
| 35 | PNP35/LP99 | F-UC207/LP99 | 5 | 167.2 | 47.6 | 18.0 | 94.9 |
| 40 | PNP40/LP99 | F-UC208/LP99 | 6 | 184.2 | 49.2 | 19.5 | 98.9 |



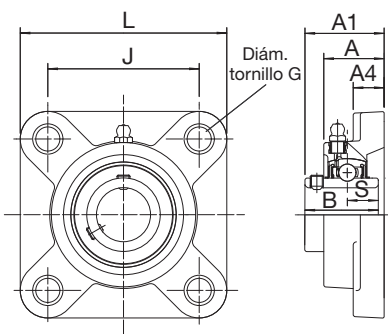
SERIE PNP/LP99

| | Dimensiones (mm) | | | | | | | | Peso |
|--|------------------|----|------|-----|------|------|------|------|------|
| | J | N | N1 | G | A | A1 | B | S | kg |
| | 94.9 | 11 | 14.2 | M10 | 37.8 | 22.5 | 31.0 | 12.7 | 0.27 |
| | 104.9 | 11 | 14.2 | M10 | 37.8 | 24.5 | 34.0 | 14.3 | 0.39 |
| | 118.9 | 14 | 18.2 | M12 | 45.8 | 27.0 | 38.1 | 15.9 | 0.52 |
| | 126.9 | 14 | 18.2 | M12 | 47.8 | 32.5 | 42.9 | 17.5 | 0.72 |
| | 136.8 | 14 | 18.2 | M12 | 53.8 | 36.0 | 49.2 | 19.0 | 0.99 |

Dimensiones de la unidad

Tabla 2
PSF/LP99 Life-Lube® cuadro- dimensiones de la unidad

| Diámetro del eje mm | Designación RHP | Inserto básico | Grupo de alojamiento | Dimensiones (mm) | | |
|------------------------|-----------------|----------------|----------------------|------------------|-------|-----|
| | | | | L | J | G |
| 20 | PSF20/LP99 | F-UC204/LP99 | 2 | 86.5 | 63.5 | M10 |
| 25 | PSF25/LP99 | F-UC205/LP99 | 3 | 95.0 | 70.0 | M10 |
| 30 | PSF30/LP99 | F-UC206/LP99 | 4 | 107.5 | 83.0 | M12 |
| 35 | PSF35/LP99 | F-UC207/LP99 | 5 | 117.5 | 92.0 | M12 |
| 40 | PSF40/LP99 | F-UC208/LP99 | 6 | 130.5 | 102.0 | M12 |



SERIE PSF/LP99

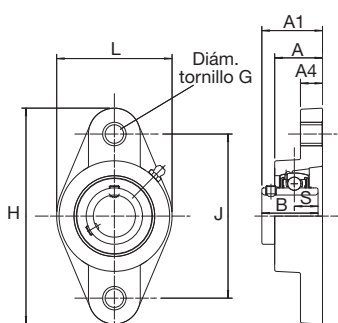
| | Dimensiones (mm) | | | | | Peso kg |
|------|------------------|------|------|------|------|------------|
| | A | A1 | A4 | B | S | |
| 27.8 | 27.8 | 36.3 | 13.4 | 31.0 | 12.7 | 0.28 |
| 27.9 | 27.9 | 36.7 | 14.3 | 34.0 | 14.3 | 0.34 |
| 31.5 | 31.5 | 41.4 | 14.3 | 38.1 | 15.9 | 0.50 |
| 34.8 | 34.8 | 46.9 | 15.5 | 42.9 | 17.5 | 0.74 |
| 37.5 | 37.5 | 53.2 | 17.1 | 49.2 | 19.0 | 0.99 |

Dimensiones de la unidad

Tabla 3

PSFT/LP99 Life-Lube® ovalado- dimensiones de la unidad

| mm | Diámetro del eje | Designación RHP | Inserto básico | Grupo de alojamiento | | | Dimensiones (mm) | |
|----|------------------|-----------------|----------------|----------------------|-------|-------|------------------|--|
| | | | | L | H | J | | |
| 20 | PSFT20/LP99 | F-UC204/LP99 | 2 | 64.1 | 113.3 | 90.0 | | |
| 25 | PSFT25/LP99 | F-UC205/LP99 | 3 | 68.4 | 130.3 | 99.0 | | |
| 30 | PSFT30/LP99 | F-UC206/LP99 | 4 | 80.1 | 148.3 | 117.0 | | |
| 35 | PSFT35/LP99 | F-UC207/LP99 | 5 | 90.1 | 163.3 | 130.0 | | |
| 40 | PSFT40/LP99 | F-UC208/LP99 | 6 | 100.1 | 175.3 | 144.0 | | |



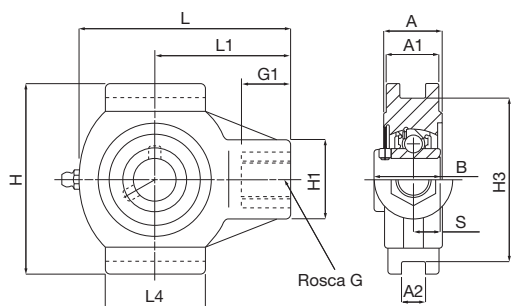
SERIE PSFT/LP99

| | Dimensiones (mm) | | | | | | Peso |
|--|------------------|------|------|------|------|------|------|
| | G | A | A1 | A4 | B | S | kg |
| | M10 | 26.5 | 33.7 | 11.4 | 31.0 | 12.7 | 0.24 |
| | M10 | 29.1 | 36.7 | 13.4 | 34.0 | 14.3 | 0.30 |
| | M10 | 30.5 | 41.2 | 13.4 | 38.1 | 15.9 | 0.44 |
| | M12 | 32.8 | 43.4 | 16.1 | 42.9 | 17.5 | 0.64 |
| | M12 | 37.5 | 51.7 | 20.0 | 49.2 | 19.0 | 0.89 |

Dimensiones de la unidad

Tabla 4
PST/LP99 Life-Lube® tensor- dimensiones de la unidad

| Diámetro del eje mm | Designación RHP | Inserto básico | Grupo de alojamiento | Dimensiones (mm) | | | | |
|------------------------|-----------------|----------------|----------------------|------------------|------|------|-------|------|
| | | | | L | L1 | L4 | H | H1 |
| 20 | PST20/LP99 | F-UC204/LP99 | 2 | 99.0 | 64.0 | 47.0 | 88.0 | 35.0 |
| 25 | PST25/LP99 | F-UC205/LP99 | 3 | 99.0 | 64.0 | 47.0 | 88.0 | 35.0 |
| 30 | PST30/LP99 | F-UC206/LP99 | 4 | 125.0 | 76.0 | 63.0 | 102.0 | 40.0 |
| 35 | PST35/LP99 | F-UC207/LP99 | 5 | 125.0 | 76.0 | 63.0 | 102.0 | 40.0 |
| 40 | PST40/LP99 | F-UC208/LP99 | 6 | 140.0 | 85.0 | 80.0 | 114.0 | 40.0 |



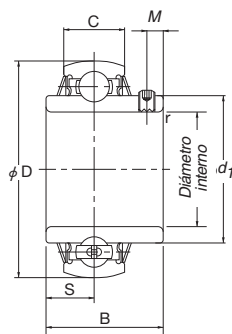
SERIE PST/LP99

| | Dimensiones (mm) | | | | | | | | Peso |
|--|------------------|----------|------|------|------|------|------|------|------|
| | H3 | G | G1 | A | A1 | A2 | B | S | kg |
| | 75.8 | M16X2.00 | 22.5 | 27.5 | 24.5 | 12.2 | 31.0 | 12.7 | 0.32 |
| | 75.8 | M16X2.00 | 22.5 | 27.5 | 24.5 | 12.2 | 34.0 | 14.3 | 0.36 |
| | 88.8 | M16X2.00 | 22.5 | 34.5 | 30.0 | 12.2 | 38.1 | 15.9 | 0.53 |
| | 88.8 | M16X2.00 | 22.5 | 34.5 | 30.0 | 12.2 | 42.9 | 17.5 | 0.74 |
| | 101.8 | M16X2.00 | 22.5 | 34.0 | 32.0 | 16.2 | 49.2 | 19.0 | 1.00 |

Rodamiento con inserto Life-Lube®

Diámetro interno cilíndrico, tornillo de apriete con Molded-Oil™

| Diámetro del eje mm | Referencia de la unidad | Dimensiones (mm) | | | |
|------------------------|-------------------------|------------------|------|----|-------------------|
| | | D | B | C | r _{min.} |
| 20 | F-UC204/LP99 | 47 | 31 | 17 | 1 |
| 25 | F-UC205/LP99 | 52 | 34.1 | 17 | 1 |
| 30 | F-UC206/LP99 | 62 | 38.1 | 19 | 1 |
| 35 | F-UC207/LP99 | 72 | 42.9 | 20 | 1.5 |
| 40 | F-UC208/LP99 | 80 | 49.2 | 21 | 1.5 |
| 45 | F-UC209/LP99 | 85 | 49.2 | 22 | 1.5 |



| | Dimensiones (mm) | | | Índice de capacidad de carga | | Masa (aprox.) |
|------|------------------|------|----|------------------------------|------------------------|---------------|
| | S | M | d1 | Dinámica C_r N | Estática C_{or} N | |
| 12.7 | 4.5 | 29.6 | | 9900 | 6650 | 0.17 |
| 14.3 | 5 | 33.9 | | 10800 | 7850 | 0.20 |
| 15.9 | 5 | 40.8 | | 15000 | 11300 | 0.33 |
| 17.5 | 6 | 46.8 | | 19700 | 15300 | 0.49 |
| 19 | 8 | 53.0 | | 22400 | 17800 | 0.65 |
| 19 | 8 | 57.5 | | 25200 | 20400 | 0.70 |

Productos Especiales y Soluciones de Rodamientos



Productos adicionales

Según el diseño la familia Self-Lube® de unidades ensambladas puede combinarse para formar gamas alternativas de insertos y alojamientos de acuerdo con las necesidades del cliente. La realización de estas confirmaciones es bastante directa pero debe consultarse siempre a NSK.

Además, NSK reconoce la necesidad de crear soluciones "personalizadas" y está siempre dispuesta a ayudar a los clientes que requieren algún producto fuera de lo normal, siguiendo siempre un criterio económico y de cantidades.

NSK tiene las instalaciones necesarias para crear grupos de combinaciones de productos como:

- Combinaciones de Alojamiento / Inserto Alternativo
- Tipos de grasa especial y cantidad de grasa
- Combinaciones de sellado alternativo – sellados tipo retén, sellados de triple labio y blindajes

Póngase en contacto con NSK y presente sus requerimientos.

HLT Self-Lube®

Los insertos HLT Self Lube® están diseñados para operar con fiabilidad en temperaturas extremas, con límites superiores e inferiores de +180°C y -40°C. Los insertos HLT están disponibles en toda la gama Self-Lube y todas las unidades de hierro fundido cuentan con ranuras y acceso de lubricación para acomodar el protector Self-Lube®.

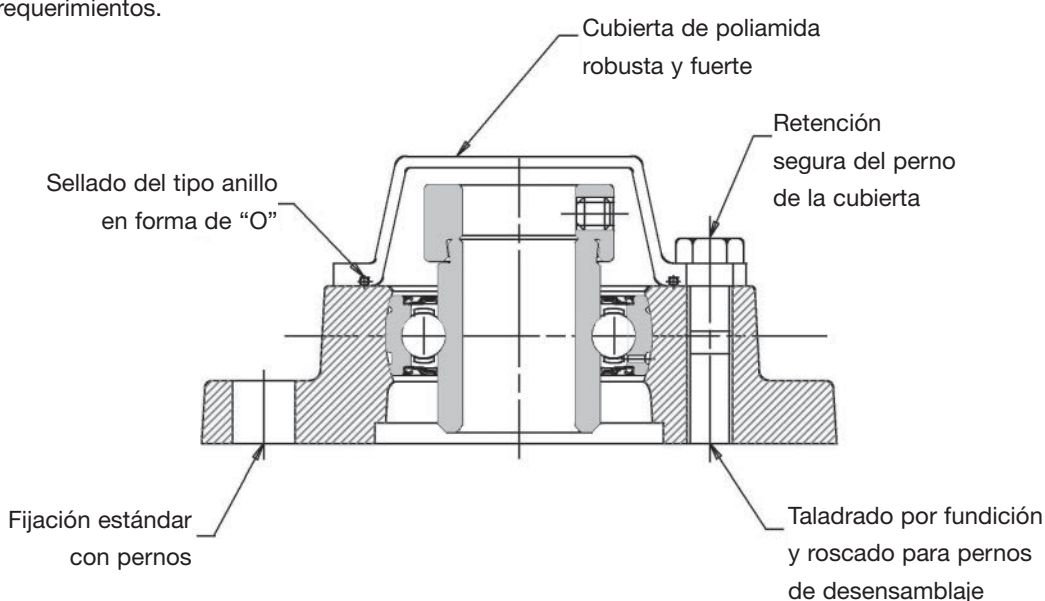
Los insertos HLT tienen:

- Jaula de acero de gran resistencia
- Geometría interna especial
- Grasa Kluber de altas prestaciones
- Sellados de silicona
- Protector opcional
- Acceso de lubricación

Alojamientos especiales optativos

Cuando el equipo original necesita unos requerimientos especiales, NSK puede diseñar alojamientos especiales para acomodar los requerimientos del cliente sujetos a cantidades de producción.

A continuación se muestra un ejemplo típico.



Lista de Intercambios



Lista de intercambios

| Referencia de la serie | Fabricante | Serie del rodamiento de sustitución RHP y NSK | | Referencia de la serie | Fabricante | Serie del rodamiento de sustitución RHP y NSK | |
|------------------------|--|---|-----|------------------------|---|---|-----|
| B | Asahi | 1200G | RHP | UCTX | Koyo, NSK Asahi, FYH, Koyo, NSK | MP | RHP |
| B200 | Asahi | AS200 | RHP | UCX | Asahi, FYH, Koyo, NSK | MST | RHP |
| B-B | Asahi | 1200G | RHP | UC200 | Asahi, FYN, Koyo, Nachi, NBR, NSK, NTN | 1000G | RHP |
| BF200 | Asahi | SF-A | RHP | UCF200 | NBR, NSK, NTN Asahi, FYN, Koyo, Nachi, NBR, NSK, NTN | 1000G | RHP |
| BFC200 | Asahi | FC-A | RHP | UCFL200 | Asahi, FYN, Koyo, Nachi, NBR, NSK, NTN | SF | RHP |
| BFL200 | Asahi | SFT-A | RHP | UCFX | Asahi, FYN, Koyo, NSK | SFT | RHP |
| BLCTE200 | Asahi | ASF200 | NSK | UCLFX | Asahi, FYN, Koyo, NSK | MSF | RHP |
| BP200 | Asahi | NP-A | RHP | | | | |
| BPF | Asahi | SLFE-A | RHP | | | | |
| BPF200 | Asahi | ASPF200 | NSK | | | | |
| BPF | Asahi | SLFL-A | RHP | | | | |
| BPF200 | Asahi | ASPFL200 | NSK | | | | |
| BPP | Asahi | LPB-A | RHP | | | | |
| BPP200 | Asahi | ASPP200 | NSK | | | | |
| BT200 | Asahi | ST-A | RHP | | | | |
| CS200ZZ | Asahi | CS200LLU | RHP | | | | |
| FHFC200 | Asahi | FC-EC | RHP | | | | |
| FHLCTE200 | Asahi | AELFD200 | NSK | | | | |
| FHPF200 | Asahi | AELPF200 | NSK | FG200ER(U) | Asahi, Nachi | 1000DEC | RHP |
| FHPPF200 | Asahi | AELPFL200 | NSK | FGAK200 | Asahi, Nachi | SL-DEC | RHP |
| FHR200ER(U) | Asahi | 1300EC | RHP | FH200ER(U) | Asahi, Nachi | 1200EC | RHP |
| FHT200 | Asahi | ST-EC | RHP | FNR-R | BCA | SF-EC | RHP |
| KH200+ER | Asahi | AEL200 | NSK | PNR-R | BCA | SL-EC | RHP |
| SER | Asahi | 1100CG | RHP | PNR-RS | BCA | NP-EC | RHP |
| UC300 | Asahi | UC300 | NSK | PWG-R | BCA | SL-DEC | RHP |
| UCEH200 | Asahi | UCHB200 | NSK | PWG-RS | BCA | NP-DEC | RHP |
| UCF200 | Asahi | UCF200 | NSK | TNR-R | BCA | SFT-EC | RHP |
| UCFC200 | Asahi | UCFC200 | NSK | FB220 | Browning | SF-EC | RHP |
| UCFCX00 | Asahi | UCFCX00 | NSK | FB230 | Browning | SFT-EC | RHP |
| UCFK200 | Asahi | UCFH200 | NSK | FB250 | Browning | SF | RHP |
| UCFL200 | Asahi | UCFL200 | NSK | FB260 | Browning | SFT | RHP |
| UCFLX00 | Asahi | UCFLX00 | NSK | FB350 | Browning | MSF | RHP |
| UCFX00 | Asahi | UCFX00 | NSK | PB220 | Browning | SL-EC | RHP |
| UCLF200(U) | Asahi | SF | RHP | PB221 | Browning | NP-EC | RHP |
| UCLP200(U) | Asahi | SL | RHP | PB250 | Browning | SL | RHP |
| UCP200 | Asahi | UCP200 | NSK | PB251 | Browning | NP | RHP |
| UCPA200 | Asahi | UCUP200 | NSK | PB350 | Browning | MP | RHP |
| UCPX00 | Asahi | UCPX00 | NSK | 1000KRR | Fafnir | 1100DEC | RHP |
| UCST200(U) | Asahi | ST | RHP | 200NPPB | Fafnir | 1726200-2RS | RHP |
| UCT200 | Asahi | UCT200 | NSK | FLCTE | Fafnir | LFTC-EC | RHP |
| UCW200 | Asahi | 1000G | RHP | GC-KRRB | Fafnir | 1000G | RHP |
| UD200EEA | Asahi | 1200ECG | RHP | GC-KRRG2 | Fafnir | 1100CG | RHP |
| UDF200A | Asahi | SF-EC | RHP | GE-KPPB | Fafnir | T1000DEC | RHP |
| UDFL200B | Asahi | SFT-EC | RHP | GE-KRRB | Fafnir | 1000DEC | RHP |
| UDT200A | Asahi | NP-EC | RHP | G-KPPB3 | Fafnir | T1000DEC | RHP |
| UDT200B | Asahi | ST-EC | RHP | GLCTE | Fafnir | LFTC-EC | RHP |
| UGD200+ER | Asahi | UEL200 | NSK | GRAE-NPPB | Fafnir | 1200ECG | RHP |
| UGF200 | Asahi | UEL200 | NSK | GW208PPB5 | Fafnir | 1/PDNF240/9G | RHP |
| UGFC200 | Asahi | UELFC200 | NSK | GW208PPB6 | Fafnir | 1/PDNF240/8G | RHP |
| UGFL200 | Asahi | UELFL200 | NSK | GW208PPB8 | Fafnir | PDNF240/9G | RHP |
| UGP200 | Asahi | UEL200 | NSK | GW209PPB11 | Fafnir | 28/DNF245-45G | RHP |
| UGT200 | Asahi | UEL200 | NSK | GW209PPB2 | Fafnir | PDNF145-45G | RHP |
| UH200UR(U) | Asahi | 1200EC | RHP | GW209PPB5 | Fafnir | PDNF245/10G | RHP |
| UHF200 | Asahi | SF-EC | RHP | GW209PPB8 | Fafnir | DNF245/10G | RHP |
| UHFL200 | Asahi | SFT-EC | RHP | GW210PP4 | Fafnir | PDF150/9G | RHP |
| UHP200 | Asahi | NP-EC | RHP | GW210PPB2 | Fafnir | PDNF150-1.15/16G | RHP |
| UHPP200 | Asahi | AELPP200 | NSK | GW210PPB4 | Fafnir | PDNF150/9G | RHP |
| UK200 | Asahi | UK200 | NSK | GW211PP2 | Fafnir | PDF155-2.3/16G | RHP |
| UCP200 | Asahi, FYH, Koyo, Nachi, NBR, NSK, NTN | NP | RHP | GW211PP3 | Fafnir | PDF155/12G | RHP |
| UCT200 | Asahi, FYH, Koyo, Nachi, NBR, NSK, NTN | ST | RHP | PASE | Fafnir | NP-EC | RHP |
| UCPX | Asahi, FYH, | | | PB | Fafnir | LPB-EC | RHP |
| | | | | PCF | Fafnir | SF-EC | RHP |
| | | | | PCFT | Fafnir | SFT-EC | RHP |
| | | | | PHE | Fafnir | SCH-EC | RHP |
| | | | | PMNE | Fafnir | FC-EC | RHP |

Lista de intercambios

| Referencia de la serie | Fabricante | Serie del rodamiento de sustitución RHP y NSK | | Referencia de la serie | Fabricante | Serie del rodamiento de sustitución RHP y NSK | |
|------------------------|------------|---|-----|------------------------|-------------|---|-----|
| PSHE | Fafnir | SNP-EC | RHP | W208PPB4 | Fafnir | PDNF140-1.3/16 | RHP |
| PTUE | Fafnir | ST-EC | RHP | W208PPB5 | Fafnir | 2/DNF240/9 | RHP |
| RA | Fafnir | SLFE-EC | RHP | W208PPB6 | Fafnir | 2/DNF240/8 | RHP |
| RAE.NPP | Fafnir | 1300EC | RHP | W208PPB7 | Fafnir | 2/DNF140-1.3/16 | RHP |
| RAKC | Fafnir | SL | RHP | W208PPB8 | Fafnir | PDNF240/9 | RHP |
| RAKHP | Fafnir | MP | RHP | W208PPB9 | Fafnir | PDNF240/8 | RHP |
| RASC | Fafnir | NP | RHP | W209PPB2 | Fafnir | PDNF145-45 | RHP |
| RASE | Fafnir | NP-DEC | RHP | W209PPB4 | Fafnir | 28/PDNF145-1.1/2 | RHP |
| RAT | Fafnir | SLFL-EC | RHP | W209PPB5 | Fafnir | PDNF245/10 | RHP |
| RATR | Fafnir | SLFT-EC | RHP | W209PPB8 | Fafnir | DNF245/10 | RHP |
| RC | Fafnir | SLC-DEC | RHP | W210PP2 | Fafnir | PDF150-1.15/16 | RHP |
| RCC | Fafnir | SLC | RHP | W210PP4 | Fafnir | PDF150/9 | RHP |
| RCE | Fafnir | SLC-DEC | RHP | W210PPB2 | Fafnir | PDNF150-1.15/16 | RHP |
| RCHP | Fafnir | MSC | RHP | W210PPB4 | Fafnir | PDNF150/9 | RHP |
| RCJ | Fafnir | SF-DEC | RHP | W210PPB5 | Fafnir | 5/PDNF150-1.3/4 | RHP |
| RCJHP | Fafnir | MSF | RHP | W210PPB6 | Fafnir | PDNF250/9 | RHP |
| RCJSP | Fafnir | SF | RHP | W211PP2 | Fafnir | PDF155-2.3/16 | RHP |
| RCJT | Fafnir | SFT-DEC | RHP | W211PP3 | Fafnir | PDF155/12 | RHP |
| RCJTC | Fafnir | SFT | RHP | W211PPB2 | Fafnir | PDNF155-2.3/16 | RHP |
| RCJTE | Fafnir | SFT-DEC | RHP | W211PPB3 | Fafnir | PDNF155/12 | RHP |
| RCJTHP | Fafnir | MSFT | RHP | 200NPPB | Fafnir, INA | 1726200-2RS | RHP |
| RCJTP | Fafnir | SFT | RHP | GE-KPPB3 | Fafnir, INA | T1000DECG | RHP |
| RFC | Fafnir | MFC | RHP | G-KRRB | Fafnir, INA | 1000DECG | RHP |
| RFHP | Fafnir | MFC | RHP | GRA-NPPB | Fafnir, INA | 1200ECG | RHP |
| RHCM | Fafnir | SCHB | RHP | PB | Fafnir, INA | LPB-EC | RHP |
| RHE | Fafnir | SCH-DEC | RHP | RAE-NPPB | Fafnir, INA | 1200EC | RHP |
| RMNE | Fafnir | FC-DEC | RHP | RAK | Fafnir, INA | SL-DEC | RHP |
| RMNEY | Fafnir | FC | RHP | RA-NPP | Fafnir, INA | 1300EC | RHP |
| RPB | Fafnir | LPBR-EC | RHP | RA-NPPB | Fafnir, INA | 1200EC | RHP |
| RR | Fafnir | SLFE-DEC | RHP | RSHE | Fafnir, INA | SNP-DEC | RHP |
| RRC | Fafnir | SLFE | RHP | TC-J | Fafnir, INA | TSF-DEC | RHP |
| RRT | Fafnir | SLFL-DEC | RHP | TCJT | Fafnir, INA | TSFT-DEC | RHP |
| RRTR | Fafnir | SLFT-DEC | RHP | 36200 | FAG | 1000DECG | RHP |
| RSHE | Fafnir | SNP-DEC | RHP | 56200 | FAG | 1000G | RHP |
| RTUE | Fafnir | ST-DEC | RHP | 76200 | FAG | 1726200-2RS | RHP |
| RTUHP | Fafnir | MST | RHP | 76200B.2RSR | FAG | 1726200-2RS | RHP |
| RTUP | Fafnir | ST | RHP | FB16200 | FAG | SLFE-EC | RHP |
| TAS | Fafnir | TNP-DEC | RHP | FB56200 | FAG | SLFE | RHP |
| TASE | Fafnir | TNP-DEC | RHP | FG16200 | FAG | SF-EC | RHP |
| TCJ | Fafnir | TSF-DEC | RHP | FG56200 | FAG | SF | RHP |
| TCJT | Fafnir | TSFT-DEC | RHP | H | FAG | H | RHP |
| THE | Fafnir | TSCH-DEC | RHP | KM | FAG | AN | RHP |
| TMNE | Fafnir | TFC-DEC | RHP | SB16200 | FAG | LPB-EC | RHP |
| TMNE | Fafnir | TFC-DEC | RHP | SC16200 | FAG | NP-EC | RHP |
| TSHE | Fafnir | TSNP-DEC | RHP | SG36200 | FAG | NP-DEC | RHP |
| TTUE | Fafnir | TST-DEC | RHP | SG56200 | FAG | NP | RHP |
| VAK | Fafnir | SL-EC | RHP | E200 | FYH | 1100CG | RHP |
| VAK | Fafnir | SL-EC | RHP | NA200 | FYH | 1000DECG | RHP |
| VAS | Fafnir | NP-EC | RHP | NANF200 | FYH | SF-DEC | RHP |
| VAS | Fafnir | NP-EC | RHP | NANFL200 | FYH | SFT-DEC | RHP |
| VCJ | Fafnir | SF-EC | RHP | NAP200 | FYH | NP-DEC | RHP |
| VCJ | Fafnir | SF-EC | RHP | NASL200 | FYH | SL-DEC | RHP |
| VCJT | Fafnir | SFT-EC | RHP | NAT-E | FYH | ST-DEC | RHP |
| VCJT | Fafnir | SFT-EC | RHP | RB200 | FYH | 1100 | RHP |
| VMNE | Fafnir | FC-EC | RHP | SA200 | FYH | 1200EC | RHP |
| VMNE | Fafnir | FC-EC | RHP | SAA200 | FYH | 1300EC | RHP |
| VSHE | Fafnir | SNP-EC | RHP | SAF-FE | FYH | SF-EC | RHP |
| VSHE | Fafnir | SNP-EC | RHP | SAFL-FE | FYH | SFT-EC | RHP |
| W208PP10 | Fafnir | 36/DF140-1.1/2 | RHP | SAP200 | FYH | NP-EC | RHP |
| W208PP5 | Fafnir | 2/DF240/9 | RHP | SAPF200 | FYH | SLFE-EC | RHP |
| W208PP6 | Fafnir | 2/DF240/8 | RHP | SAPP200F | FYH | LPB-A | RHP |
| W208PP8 | Fafnir | PDF240/9 | RHP | SASL200F | FYH | SL-EC | RHP |
| W208PP9 | Fafnir | PDNF240/8 | RHP | SBPF200 | FYH | SLFL-A | RHP |
| W208PPB13 | Fafnir | 2/DNF240/7 | RHP | SBPP200F | FYH | LPB-EC | RHP |
| W208PPB2 | Fafnir | 36/PDNF140-1.1/2 | RHP | SC200 | FYH | 1726200-2RS | RHP |

Lista de intercambios

| Referencia de la serie | Fabricante | Serie del rodamiento de sustitución RHP y NSK | | Referencia de la serie | Fabricante | Serie del rodamiento de sustitución RHP y NSK | |
|------------------------|---------------------------------|---|-----|------------------------|------------|---|-----|
| UCHA200 | FYH | SCHB | RHP | RASE | INA | NP-DEC | RHP |
| UCS200N | FYH | 1100CG | RHP | RASE..FA101T | INA | NP-HLT | RHP |
| UK200 | FYH, Koyo, Nachi, NBR, NSK, NTN | | | RASEA | INA | NP1000KG | RHP |
| UKP200 | FYH, Koyo, Nachi, NBR, NSK, NTN | 1000-KG | RHP | RASEY | INA | NP | RHP |
| UCPA200 | FYH, Koyo, NSK | RHP | RHP | RASEY..TN VA | INA | PNP-CR | RHP |
| UCF200 | FYH, Koyo, NSK, NTN | SNP | RHP | RAT | INA | SLFL-EC | RHP |
| UKT200 | FYH, Koyo, NSK, NTN | FC | RHP | RATR | INA | SLFT-EC | RHP |
| UKF200 | FYH, Nachi, NBR, NSK, NTN | MST1000-K | RHP | RATRY | INA | SLFT-A | RHP |
| UKFL200 | NBR, NSK, NTN | MSF1000-K | RHP | RATY | INA | SLFL-A | RHP |
| SB200 | FYH, NBR | MSFT1000-K | RHP | RAY | INA | SLFE-A | RHP |
| EW | Hoffmann, Pollard | 1200G | RHP | RB | INA | LPB-DEC | RHP |
| RMS | Hoffmann, Pollard | FT | RHP | RBY | INA | LPB | RHP |
| 2-NPPB | INA | MRJ | RHP | RCJ | INA | SF-DEC | RHP |
| E..KRR | INA | 1726200-2RS | RHP | RCJ..FA101T | INA | SF-HLT | RHP |
| E-KRR | INA | 1100DEC | RHP | RCJT | INA | SFT-DEC | RHP |
| FLCTE | INA | LFTC-EC | RHP | RCJT..FA101T | INA | SFT-HLT | RHP |
| FLCTE / GLCTE | INA | LFTC-EC | RHP | RCJTA | INA | SFT1000KG | RHP |
| FLCTEY | INA | LFTC-A | RHP | RCJTY | INA | SFT | RHP |
| G..KRRBW | INA | 1000DEC | RHP | RCJY | INA | SF | RHP |
| GAY-NPPB | INA | 1200G | RHP | RCJY..TN VA | INA | PSF-CR | RHP |
| GE..KRRB FA101T | INA | 1000DECGHLT | RHP | RHE | INA | SCH-DEC / SCHB-DEC | RHP |
| GE..KRRB-CC | INA | 1000DECGFS | RHP | RHEY | INA | SCH/SCHB | RHP |
| GE-KPPB3 | INA | T1000DEC | RHP | RME | INA | FC-DEC | RHP |
| GE-KRRB | INA | 1000DEC | RHP | RMEY | INA | FC | RHP |
| GLCTE | INA | LFTC-EC | RHP | RR | INA | SLFE-DEC | RHP |
| GLCTEY | INA | LFTC-A | RHP | RRT | INA | SLFL-DEC | RHP |
| GRA..NPPBW | INA | LFTC-A | RHP | RRTR | INA | SLFT-DEC | RHP |
| GRAE-NPPB | INA | 1200ECG | RHP | RRTY | INA | SLFL | RHP |
| GSH-RRB | INA | 1200ECG | RHP | RRY | INA | SLFE | RHP |
| GY..KRRBW | INA | 1000KG | RHP | RSHE | INA | SNP-DEC | RHP |
| GYE..KRRB VA | INA | 1000G | RHP | RSHEY | INA | SNP | RHP |
| GYE-KRRB | INA | J1000GCR | RHP | RT | INA | TSLFL-DEC | RHP |
| GY-KRRB | INA | 1000G | RHP | RTT | INA | TSLFT-DEC | RHP |
| PAK | INA | SL-EC | RHP | RTTR | INA | ST-DEC | RHP |
| PAKY | INA | SL-EC | RHP | RTUE | INA | ST | RHP |
| PASE | INA | NP-EC | RHP | RTUEY | INA | TNP-DEC | RHP |
| PASEY | INA | NP-A | RHP | TASE | INA | TNP-DEC | RHP |
| PB | INA | LPB-EC | RHP | TASE | INA | TLPB-DEC | RHP |
| PBY | INA | LPB-A | RHP | TB | INA | TSF-DEC | RHP |
| PCJ | INA | SF-EC | RHP | TCJ | INA | TSFT-DEC | RHP |
| PCJT | INA | SFT-EC | RHP | TCJT | INA | PSFT-CR | RHP |
| PCJTY | INA | SFT-A | RHP | TCJTY..TN VA | INA | TSCH-DEC / TSCHB-DEC | RHP |
| PCJY | INA | SF-A | RHP | THE | INA | TFC-DEC | RHP |
| PHE | INA | SCH-EC / SCHB-EC | RHP | TME | INA | TSLFE-DEC | RHP |
| PHEY | INA | SCH-A / SCHB-A | RHP | TR | INA | TSNP-DEC | RHP |
| PHUSE | INA | BT-EC+ BTHF | RHP | TSHE | INA | TSNP-DEC | RHP |
| PME | INA | FC-EC | RHP | TSHE | INA | TST-DEC | RHP |
| PMEMY | INA | FC-A | RHP | TTUE | INA | TST-DEC | RHP |
| PSHE | INA | SNP-EC | RHP | YE-KRR | INA | 1100 | RHP |
| PSHEY | INA | SNP-A | RHP | Y-KRR | INA | 1100 | RHP |
| PTUE | INA | ST-EC | RHP | CB200 | Koyo | 172620000-2RS | RHP |
| PTUEY | INA | ST-A | RHP | GA1100-2RSB | Koyo | 1000DEC | RHP |
| RA | INA | SLFE-EC | RHP | GAP1100B | Koyo | NP-EC | RHP |
| RA..NPPW | INA | 1300EC | RHP | GAPL1100B | Koyo | SL-DEC | RHP |
| RACEY | INA | NP | RHP | GARA100-2RSA | Koyo | 1200ECG | RHP |
| RAE..NPP | INA | 1300EC | RHP | GARAF100A | Koyo | SF-EC | RHP |
| RAKY | INA | SL | RHP | GARAL100A | Koyo | SFT-EC | RHP |
| | | | | GARAP100A | Koyo | NP-EC | RHP |
| | | | | GARAPL100A | Koyo | SL-EC | RHP |
| | | | | GFF1100B | Koyo | SF-DEC | RHP |
| | | | | GFFL1100B | Koyo | SFT-DEC | RHP |
| | | | | HFC | Koyo | MFC | RHP |
| | | | | HV-(M) | Koyo | MST | RHP |
| | | | | LC | Koyo | SLC | RHP |

Lista de intercambios

| Referencia de la serie | Fabricante | Serie del rodamiento de sustitución RHP y NSK | | Referencia de la serie | Fabricante | Serie del rodamiento de sustitución RHP y NSK | |
|------------------------|--------------------|---|-----|------------------------|------------|---|-----|
| LV-(M) | Koyo | ST | RHP | EWT200 | NSK | ST-DEC | RHP |
| PB | Koyo | 1200G | RHP | GEM200 | NSK | 1200ECG | RHP |
| PF-A | Koyo | SLFE-EC | RHP | GEMTR200J | NSK | ST-EC | RHP |
| PF-M | Koyo | SLFE | RHP | UB200 | NSK | 1200G | RHP |
| PFT1100B | Koyo | SLFE-DEC | RHP | UBF200 | NSK | SF-A | RHP |
| RA100 | Koyo | 1200EC | RHP | UBFC200 | NSK | FC-A | RHP |
| SCHB | Koyo | SCHB | RHP | UBFD200 | NSK | LFTC-A | RHP |
| SP | Koyo | LPB-A | RHP | UBFL200 | NSK | SFT-A | RHP |
| SP100A | Koyo | LPB-EC | RHP | UBP200 | NSK | NP-A | RHP |
| F3Y200N | Link Belt | SF-DEC | RHP | UBPD200 | NSK | SNP-A | RHP |
| FX3Y200N | Link Belt | SFT-DEC | RHP | UBPF200 | NSK | SLFE-A | RHP |
| P3Y200N | Link Belt | NP-DEC | RHP | UBPP200 | NSK | LPBR-A | RHP |
| PL3Y200N | Link Belt | SL-DEC | RHP | UCEH200 | NSK | SCHB | RHP |
| C25 | McGill | NP | RHP | AEL200 | NTN | 1200ECG | RHP |
| C35 | McGill | MP | RHP | AEL200 | NTN | AEL200 | NSK |
| CL25 | McGill | SL | RHP | AELF200 | NTN | SF-EC | RHP |
| FC2-25 | McGill | SFT | RHP | AELFC200 | NTN | FC-EC | RHP |
| FC2-35 | McGill | MSFT | RHP | AELFD200 | NTN | AELFD200 | NSK |
| FC4-25 | McGill | SF | RHP | AELFL200 | NTN | SFT-EC | RHP |
| FC4-35 | McGill | MSF | RHP | AELP200 | NTN | NP-EC | RHP |
| ER | McGill, Sealmaster | 1100CG | RHP | AELPF200 | NTN | SLFE-EC | RHP |
| BPF-B | Nachi | SLFE-A | RHP | AELPF200 | NTN | AELPF200 | NSK |
| BPP-B | Nachi | LPB-A | RHP | AELPFL200 | NTN | AELPFL200 | NSK |
| FHPR200 | Nachi | LPBR-EC | RHP | AELPL200 | NTN | SL-EC | RHP |
| SA200 | NBR | 1200ECG | RHP | AELPP200 | NTN | LPB-EC | RHP |
| SAFL200 | NBR | SLFL-EC | RHP | AELPP200 | NTN | AELPP200 | NSK |
| SAP200 | NBR | LPB-EC | RHP | AELPW200 | NTN | SNP-EC | RHP |
| SAY200 | NBR | SLFE-EC | RHP | AELRP200 | NTN | LPBR-EC | RHP |
| SBF200 | NBR | SLFE-A | RHP | AELS200 | NTN | 1300EC | RHP |
| SBFL200 | NBR | SLFL-A | RHP | AELT200 | NTN | ST-EC | RHP |
| SBP200 | NBR | LPB-A | RHP | AS200 | NTN | 1200G | RHP |
| 2FE | NDH | SFT-EC | RHP | AS200 | NTN | AS200 | NSK |
| 2FS | NDH | SFT | RHP | ASF200 | NTN | SF-A | RHP |
| 4FE | NDH | SF-EC | RHP | ASFC200 | NTN | FC-A | RHP |
| 4FS | NDH | SF | RHP | ASF200 | NTN | LFTC-A | RHP |
| HPE | NDH | NP-EC | RHP | ASF200 | NTN | ASFD200 | NSK |
| HPS | NDH | NP | RHP | ASF200 | NTN | SFT-A | RHP |
| PE | NDH | SL-EC | RHP | ASFW200 | NTN | LFTC-A | RHP |
| PS | NDH | SL | RHP | ASP200 | NTN | NP-A | RHP |
| R2FE | NDH | SFT-EC | RHP | ASPF200 | NTN | SLFE-A | RHP |
| R2FS | NDH | SFT | RHP | ASPF200 | NTN | ASPF200 | NSK |
| R4FE | NDH | SF-EC | RHP | ASPFL200 | NTN | ASPFL200 | NSK |
| R4FS | NDH | SF | RHP | ASPL200 | NTN | SL | RHP |
| RHPE | NDH | NP-EC | RHP | ASPP200 | NTN | LPB-A | RHP |
| RHPS | NDH | NP | RHP | ASPP200 | NTN | ASPP200 | NSK |
| RPE | NDH | SL-EC | RHP | ASPW200 | NTN | SNP-A | RHP |
| RPS | NDH | SL | RHP | AST200 | NTN | ST-A | RHP |
| CS-DDU | NSK | 1726200-2RS | RHP | CS200LLU | NTN | CS200LLU | RHP |
| EM200 | NSK | 1200EC | RHP | CS-LLU | NTN | 1726200-2RS | RHP |
| EMR200 | NSK | 1300EC | RHP | UC300 | NTN | UC300 | NSK |
| EN200 | NSK | 1200EC | RHP | UCF200 | NTN | UCF200 | NSK |
| ENFL200 | NSK | SFT-EC | RHP | UCF300 | NTN | UCF300 | NSK |
| ENP200 | NSK | NP-EC | RHP | UCFC200 | NTN | UCFC200 | NSK |
| ENPF200 | NSK | SLFE-EC | RHP | UCFC300 | NTN | UCFC300 | NSK |
| ENPP200 | NSK | LPB-EC | RHP | UCFCX00 | NTN | UCFCX00 | NSK |
| ENPPR200 | NSK | LPBR-EC | RHP | UCFH200 | NTN | UCFH200 | NSK |
| ENR200 | NSK | 1300EC | RHP | UCFL200 | NTN | UCFL200 | NSK |
| EW200 | NSK | 1000DECG | RHP | UCFL300 | NTN | UCFL300 | NSK |
| EWFC200 | NSK | FC-DEC | RHP | UCFLX00 | NTN | UCFLX00 | NSK |
| EWFH200 | NSK | SF-DEC | RHP | UCFX00 | NTN | UCFX00 | NSK |
| EWFL200 | NSK | SFT-DEC | RHP | UCHB | NTN | SCHB | RHP |
| EWFLH200 | NSK | TSFT-DEC | RHP | UCHB200 | NTN | UCHB200 | NSK |
| EWP200 | NSK | NP-DEC | RHP | UCP200 | NTN | UCP200 | NSK |
| EWPA200 | NSK | SNP-DEC | RHP | UCP300 | NTN | UCP300 | NSK |
| EWPLL200 | NSK | SL-DEC | RHP | UCPX00 | NTN | UCPX00 | NSK |

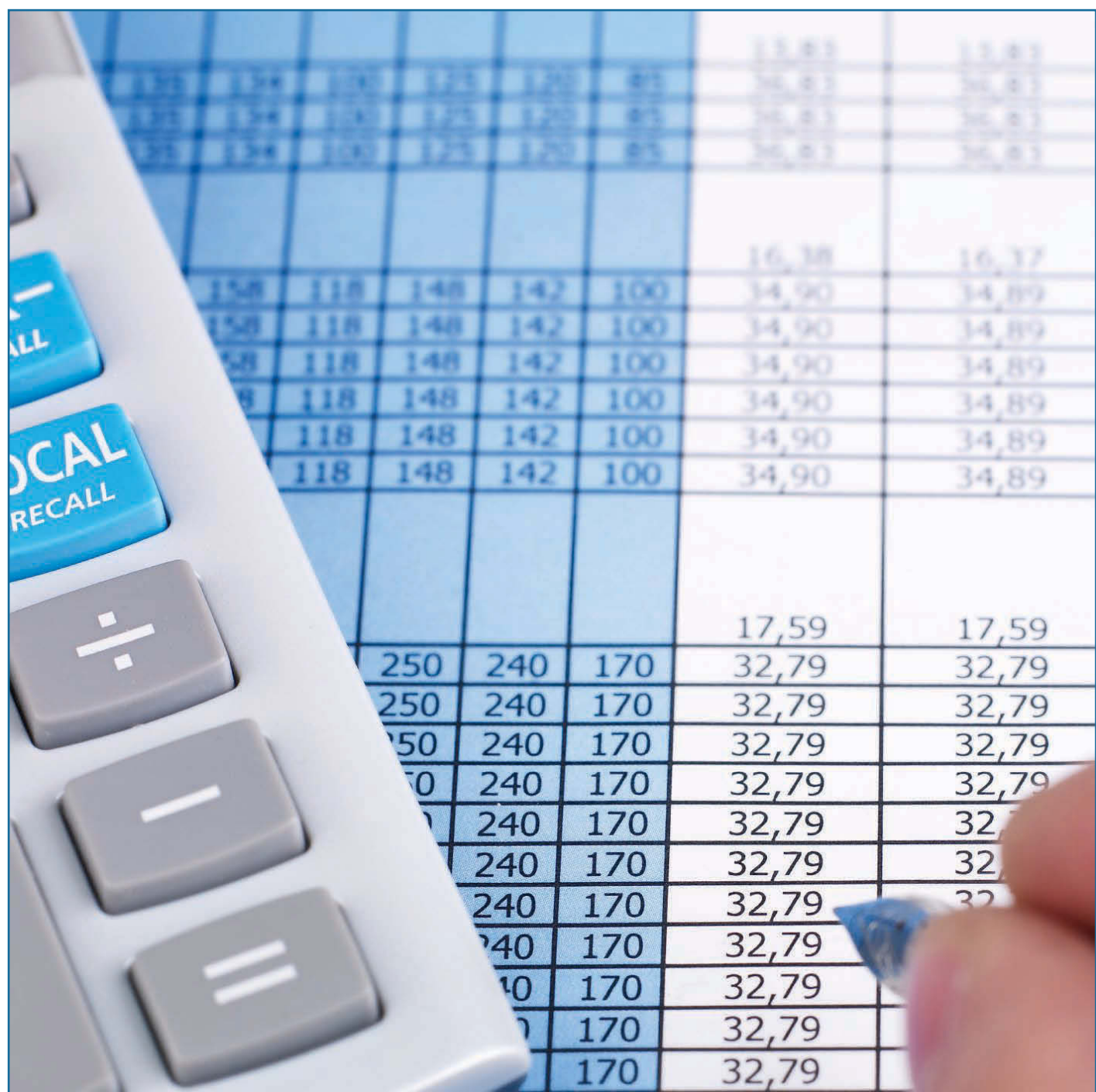
Lista de intercambios

| Referencia de la serie | Fabricante | Serie del rodamiento de sustitución RHP y NSK | | Referencia de la serie | Fabricante | Serie del rodamiento de sustitución RHP y NSK | |
|------------------------|------------|---|-----|------------------------|------------|---|-----|
| UCS200 | NTN | 1100 | RHP | FYGF-FJ | SKF | FC-EC | RHP |
| UCT200 | NTN | UCT200 | NSK | FYGF-SD | SKF | FC | RHP |
| UCT300 | NTN | UCT300 | NSK | FYGF-W | SKF | FC-DEC | RHP |
| UCTX00 | NTN | UCTX00 | NSK | FYJ-FM | SKF | SF-EC | RHP |
| UCUP200 | NTN | UCUP200 | NSK | FYJ-RM | SKF | SF-A | RHP |
| UCX00 | NTN | UCX00 | NSK | FYJ-TF | SKF | UCF200 | RHP |
| UEL200 | NTN | 1000DEC | RHP | FYJ-WF | SKF | UEL200 | RHP |
| UEL200 | NTN | UEL200 | NSK | FYK..TH/GFA | SKF | PSF-CR | RHP |
| UEL200 | NTN | SF-DEC | RHP | FY-RM | SKF | SF-A | RHP |
| UEL200 | NTN | UEL200 | NSK | FY-S | SKF | SF | RHP |
| UELFC200 | NTN | FC-DEC | RHP | FYTB-CB | SKF | SFT-EC | RHP |
| UELFC200 | NTN | UELFC200 | NSK | FYTB-FJ | SKF | SFT-EC | RHP |
| UELFL200 | NTN | SFT-DEC | RHP | FYTB-FM | SKF | SFT-EC | RHP |
| UELFL200 | NTN | UELFL200 | NSK | FYTB-J-FM | SKF | SFT-EC | RHP |
| UELPL200 | NTN | NP-DEC | RHP | FYTB-J-RM | SKF | SFT-A | RHP |
| UELPL200 | NTN | UELPL200 | NSK | FYTB-J-TF | SKF | UCFL200 | RHP |
| UELPL200 | NTN | SL-DEC | RHP | FYTB-J-WF | SKF | UELFL200 | RHP |
| UELPLW200 | NTN | SNP-DEC | RHP | FYTB..TH/GFA | SKF | PSFT-CR | RHP |
| UELS200 | NTN | 1100DEC | RHP | FYTB-L(D) | SKF | SFT | RHP |
| UELTL200 | NTN | ST-DEC | RHP | FYTB-RM | SKF | SFT-A | RHP |
| UELTL200 | NTN | UELTL200 | NSK | FYTB-S(D) | SKF | SFT | RHP |
| UK200 | NTN | UK200 | NSK | FYTB-TF | SKF | SFT | RHP |
| RMS-E | Pollard | MMRJ | RHP | FYTB-TM | SKF | SFT | RHP |
| KLNJ | R&M | KLNJ | RHP | FYTB-W(M) | SKF | SFT-DEC | RHP |
| KLNJ-D | R&M | KLNJ-Z | RHP | FYTB-WF | SKF | SFT-DEC | RHP |
| KLNJ-DD | R&M | KLNJ-2Z | RHP | FY-TF | SKF | SF | RHP |
| KLNJ-WSR | R&M | KLNJ-2RS | RHP | FYTF-FJ | SKF | LFTC-EC | RHP |
| 630300 | RIV | 1000G | RHP | FY-TM | SKF | SF | RHP |
| 5300 | Sealmaster | 1000G | RHP | FY-WM | SKF | SF-DEC | RHP |
| 5200('C) | Sealmaster | 1000G | RHP | FY-X | SKF | SF-DEC | RHP |
| 5300('C) | Sealmaster | 1000G | RHP | H | SKF | H | RHP |
| MFC | Sealmaster | MFC | RHP | HA | SKF | HA | RHP |
| MP | Sealmaster | MP | RHP | HE | SKF | HE | RHP |
| MSC | Sealmaster | MSC | RHP | KM | SKF | AN | RHP |
| MSF | Sealmaster | MSF | RHP | MB | SKF | AW | RHP |
| MSFT | Sealmaster | MSFT | RHP | P-CA | SKF | LPB-EC | RHP |
| MST | Sealmaster | MST | RHP | PF-CA | SKF | SLFE-EC | RHP |
| NP | Sealmaster | NP | RHP | PFD-FM | SKF | SLFT-DEC | RHP |
| SCHB | Sealmaster | SCHB | RHP | PFD-FM | SKF | SLFT-EC | RHP |
| SFT | Sealmaster | SFT | RHP | PFD-RM | SKF | SLFT-A | RHP |
| SLG | Sealmaster | SL | RHP | PFD-TF | SKF | SLFT | RHP |
| SRP | Sealmaster | LPBR | RHP | PFD-TM | SKF | SLFT | RHP |
| SSF | Sealmaster | SLFE | RHP | PFD-WF | SKF | SLFT-DEC | RHP |
| SSP | Sealmaster | LPB | RHP | PFD-WM | SKF | SLFT-DEC | RHP |
| ST | Sealmaster | ST | RHP | PF-FM | SKF | SLFE-EC | RHP |
| TB | Sealmaster | CNP | RHP | P-FJ | SKF | LPB-EC | RHP |
| TB-(“C”) | Sealmaster | CNP | RHP | PF-L(D) | SKF | SLFE | RHP |
| SC | Sealmaster | SLC | RHP | P-FM | SKF | LPB-EC | RHP |
| SF | Sealmaster | SF | RHP | PF-PA | SKF | SLFE-EC | RHP |
| 173200 | SKF | 1200ECG | RHP | PF-RM | SKF | SLFE-A | RHP |
| 173600 | SKF | 1200EC | RHP | PFT-CA | SKF | SLFE-EC | RHP |
| 174600 | SKF | 1300EC | RHP | PF-TF | SKF | SLFE | RHP |
| 477200 | SKF | 1000DEC | RHP | PFT-FM | SKF | SLFL-EC | RHP |
| 479200 | SKF | 1000G | RHP | PF-TM | SKF | SLFE | RHP |
| 1716200D-2LS | SKF | 1300EC | RHP | PFT-RM | SKF | SLFL-A | RHP |
| 1726200-2RS | SKF | 1726200-2RS | RHP | PFT-TF | SKF | SLFL | RHP |
| 1726200-2RS1 | SKF | 1726200-2RS | RHP | PFT-TM | SKF | SLFL | RHP |
| 1726300-2RS1 | SKF | 1726300-2RS | RHP | PFT-W | SKF | SLFL-DEC | RHP |
| 238200(D)-2LS | SKF | 1200EC | RHP | PFT-WF | SKF | SLFL-DEC | RHP |
| 413200(D) | SKF | 1000G | RHP | PFT-WM | SKF | SLFL-DEC | RHP |
| FY-CB | SKF | SF-EC | RHP | PF-WF | SKF | SLFE-DEC | RHP |
| FYC-RM | SKF | FC-A | RHP | PF-WM | SKF | SLFE-DEC | RHP |
| FYC-TF | SKF | FC | RHP | P-L(D) | SKF | LPB | RHP |
| FYC-WM | SKF | FC-DEC | RHP | P-R-CA | SKF | LPBR-A | RHP |
| FY-FM | SKF | SF-EC | RHP | P-R-FA | SKF | LPBR-A | RHP |

Lista de intercambios

| Referencia de la serie | Fabricante | Serie del rodamiento de sustitución RHP y NSK | | Referencia de la serie | Fabricante | Serie del rodamiento de sustitución RHP y NSK | |
|------------------------|------------|---|-----|------------------------|------------|---|-----|
| P-R-FJ | SKF | LPBR-A | RHP | CUC200 | SNR | 1100 | RHP |
| P-R-L | SKF | LPBR | RHP | CUCS200 | SNR | 1300 | RHP |
| P-RM | SKF | LPB-A or ASPP200 | RHP | ES200 | SNR | 1200ECG | RHP |
| P-TF | SKF | LPB | RHP | ESC200 | SNR | SLC-EC | RHP |
| P-TM | SKF | LPB | RHP | ESEHE200 | SNR | SCH-EC | RHP |
| P-W | SKF | LPB-DEC | RHP | ESP200 | SNR | SF-EC | RHP |
| P-WF | SKF | LPB-DEC | RHP | ESFC200 | SNR | FC-EC | RHP |
| P-WM | SKF | LPB-DEC | RHP | ESFD | SNR | LFTC-EC | RHP |
| SY | SKF | NP | RHP | ESFL200 | SNR | SFT-EC | RHP |
| SYB-FM | SKF | SL-EC | RHP | ESP200 | SNR | NP-EC | RHP |
| SYB-L(D) | SKF | SL | RHP | ESPA200 | SNR | SNP-EC | RHP |
| SYB-TM | SKF | SL | RHP | ESSP200 | SNR | BT-EC | RHP |
| SYBWM | SKF | SL-DEC | RHP | EST200 | SNR | ST-EC | RHP |
| SY-CB | SKF | NP-EC | RHP | EX200 | SNR | 1000DECG | RHP |
| SYF-FM | SKF | SNP-EC | RHP | EX200L3 | SNR | T1000DECG8 | RHP |
| SYFJ-FM | SKF | SNP-EC | RHP | EXC200 | SNR | SLC-DEC | RHP |
| SYFJ-RM | SKF | SNP-A | RHP | EXEHE200 | SNR | SCH-DEC | RHP |
| SYFJ-TF | SKF | UCUP200 | NSK | EXF200 | SNR | SF-DEC | RHP |
| SYFJ-WF | SKF | SNP-DEC | RHP | EXFC200 | SNR | FC-DEC | RHP |
| SY-FM | SKF | NP-EC | RHP | EXP200 | SNR | NP-DEC | RHP |
| SY-FM | SKF | NP-EC | RHP | EXPA200 | SNR | SNP-DEC | RHP |
| SYF-RM | SKF | SNP-A | RHP | EXSP200 | SNR | BT-DEC | RHP |
| SYF-TF | SKF | SNP | RHP | EXT200 | SNR | ST-DEC | RHP |
| SYF-WF | SKF | SNP-DEC | RHP | GNP | SNR | PNP-CR | RHP |
| SYH-CB | SKF | SL-EC | RHP | GSF | SNR | PSF-CR | RHP |
| SYH-X | SKF | SL-DEC | RHP | GSFT | SNR | PSFT-CR | RHP |
| SYJ-FM | SKF | NP-EC | RHP | MUC..FD | SNR | J1000GCR | RHP |
| SYJ-RM | SKF | NP-A | RHP | SPR | SNR | BTHF | RHP |
| SYJ-TF | SKF | UCP200 | NSK | UC200 | SNR | 1000G | RHP |
| SYJ-WF | SKF | UEL200 | NSK | UC200L3 | SNR | T1000G | RHP |
| SYK.TH/GFA | SKF | PNP-CR | RHP | UCC200 | SNR | SLC | RHP |
| SY-RM | SKF | NP-A | RHP | UCEHE200 | SNR | SCH | RHP |
| SY-TF | SKF | NP | RHP | UCF200 | SNR | SF | RHP |
| SY-TM | SKF | NP | RHP | UCFC200 | SNR | FC | RHP |
| SY-W | SKF | NP-DEC | RHP | UCFL200 | SNR | SFT | RHP |
| SY-WF | SKF | NP-DEC | RHP | UCP200 | SNR | NP | RHP |
| SY-WM | SKF | NP-DEC | RHP | UCPA200 | SNR | SNP | RHP |
| TB | SKF | ST | RHP | UCSP200 | SNR | BT | RHP |
| TB-CB | SKF | ST-EC | RHP | UCT200 | SNR | ST | RHP |
| TB-X | SKF | ST-DEC | RHP | UK200 | SNR | 1000KG | RHP |
| TU-FJ | SKF | ST-EC | RHP | UKC200 | SNR | SLC1000K | RHP |
| TU-FM | SKF | ST-EC | RHP | UKEHE200 | SNR | SCH1000K | RHP |
| TU-FM | SKF | ST-EC | RHP | UKF200 | SNR | SF1000K | RHP |
| TUJ-FM | SKF | ST-EC | RHP | UKFL200 | SNR | SFT1000K | RHP |
| TUJ-RM | SKF | ST-A | RHP | UKP200 | SNR | NP1000K | RHP |
| TUJ-TF | SKF | UCT200 | NSK | UKPA200 | SNR | SNP1000K | RHP |
| TUJ-WF | SKF | UEL200 | NSK | UKT200 | SNR | ST1000K | RHP |
| TU-L(D) | SKF | ST | RHP | US200 | SNR | 1200G | RHP |
| TU-RM | SKF | ST-A | RHP | USC200 | SNR | SLC-A | RHP |
| TU-S(D) | SKF | ST | RHP | USEHE200 | SNR | SCH-A | RHP |
| TU-TF | SKF | ST | RHP | USF200 | SNR | SF-A | RHP |
| TU-TM | SKF | ST | RHP | USFC200 | SNR | FC-A | RHP |
| TU-WF | SKF | ST-DEC | RHP | USFD | SNR | LFTC-A | RHP |
| TU-WM | SKF | ST-DEC | RHP | USFL200 | SNR | SFT-A | RHP |
| YAR2..-2RF/HVGFA | SKF | J1000GCR | RHP | USP200 | SNR | NP-A | RHP |
| YAR200 | SKF | 1000G | RHP | USPA200 | SNR | SNP-A | RHP |
| YAR-2-2RF | SKF | 1000GFS | RHP | USSP200 | SNR | BT-A | RHP |
| YAR-2F | SKF | 1000G | RHP | UST200 | SNR | ST-A | RHP |
| YAT200 | SKF | 1200G | RHP | 6200EES | Steyr | 176200-2RS | RHP |
| YEL200 | SKF | 1000DECG | RHP | | | | |
| YEL200-2F | SKF | 1000DECG | RHP | | | | |
| YET200 | SKF | 1200ECG | RHP | | | | |
| YSA200-2FK | SKF | 1000KG | RHP | | | | |
| CES200 | SNR | 1300EC | RHP | | | | |
| CEX200 | SNR | 1100DEC | RHP | | | | |

Tablas de Conversión

A close-up photograph showing a portion of a white electronic calculator on the left and a printed conversion table on the right. The calculator has blue and grey keys, with visible buttons for 'ALL', 'LOCAL', 'RECALL', division (÷), subtraction (-), and equals (=). A hand is pointing at the table with a blue pen. The table consists of several columns of numerical data, likely exchange rates or measurements, with some values highlighted in red.

Tablas de conversión

Comparación de unidades SI, CGS y de ingeniería

| Unidades | Longitud | Masa | Tiempo | Temperatura | Aceleración | Fuerza | Tensión | Presión | Energía | Potencia |
|-----------------------------------|----------|-------------------------|--------|-------------|------------------|--------|---------------------|---------------------|-------------------|----------|
| Sistema de unidades SI | m | kg | s | K, °C | m/s ² | N | Pa | Pa | J | W |
| Sistema CGS | cm | g | s | °C | Gal | dyn | dyn/cm ² | dyn/cm ² | erg | erg/s |
| Sistema de unidades Ingeniería | m | kgf · s ² /m | s | °C | m/s ² | kgf | kgf/m ² | kgf/m ² | kgf · m kgf · m/s | |

Factores de conversión desde unidades del SI

| Parámetro | Unidad del SI Nombres de unidades | Símbolo | Unidades fuera del SI Nombre de la unidad | Símbolo | Factor de conversión desde unidades del SI |
|--------------------|--------------------------------------|---------------------------|--|---------------------|---|
| Ángulo | Radián | rad | Grado | ° | 180/π |
| | | | Minuto | ' | 10 800/π |
| | | | Segundo | '' | 648 000/π |
| Longitud | Metro | m | Micrón | μ | 10 ⁶ |
| | | | Angstrom | Å | 10 ¹⁰ |
| Área | Metro cuadrado | m ² | Área | a | 10 ⁻² |
| | | | Hectárea | ha | 10 ⁻⁴ |
| Volumen | Metro cúbico | m ³ | Litro | l, L | 10 ³ |
| | | | Decilitro | dl, dL | 10 ⁴ |
| Tiempo | Segundo | s | Minuto | mín. | 1/60 |
| | | | Hora | h | 1/3 600 |
| | | | Día | d | 1/86 400 |
| Frecuencia | Hercio | Hz | Ciclo | s ⁻¹ | 1 |
| Velocidad Rotación | Revoluciones por segundo | s ⁻¹ | Revoluciones por minuto | rpm | 60 |
| Velocidad | Metros por segundo | m/s | Kilómetros por hora | km/h | 3 600/1 000 |
| | | | Nudo | kn | 3 600/1 852 |
| Aceleración | Metros por seg. por seg. | m/s ² | Aceleración gravitacional | G | 1/9.806 65 |
| Masa | Kilogramo | kg | Tonelada | te | 10 ⁻³ |
| Masa | Kilogramo | kg | Tonelada (larga) | t | 9.842 x 10 ⁻⁴ |
| Fuerza | Newton | N | Kilogramo fuerza | kgf | 1/9.806 65 |
| | | | Tonelada fuerza | tf | 1/ (9.806 65 x 10 ³) |
| | | | Dina | dyn | 10 ⁵ |
| Par o Momento | Newton · metro | N · m | Kilogramo-fuerza metro | kgf · m | 1/9.806 65 |
| Tensión | Pascal | Pa (N/m ²) | Kilogramo-fuerza por cent. cuadrado | kgf/cm ² | 1/ (9.806 65 x 10 ⁴) |
| | | | Kilogramo-fuerza por milímetro cuadrado | kgf/mm ² | 1/ (9.806 65 x 10 ⁶) |

Prefijos Utilizados en el sistema SI

| Múltiplos | Prefijo | Símbolos | Múltiplos | Prefijo | Símbolos |
|-----------|---------|----------|------------|---------|----------|
| 10^{18} | Exa | E | 10^{-1} | Deci | d |
| 10^{15} | Peta | P | 10^{-2} | Centi | c |
| 10^{12} | Tera | T | 10^{-3} | Milli | m |
| 10^9 | Giga | G | 10^{-6} | Micro | μ |
| 10^6 | Mega | M | 10^{-9} | Nano | n |
| 10^3 | Kilo | k | 10^{-12} | Pico | p |
| 10^2 | Hecto | h | 10^{-15} | Femto | f |
| 10^1 | Deca | da | 10^{-18} | Ato | a |

Factores de conversión desde unidades del SI (continuación)

| Parámetro | Unidad del SI Nombres de unidades | Símbolo | Unidades fuera del SI Nombre de la unidad | Símbolo | Factor de conversión desde unidades del SI |
|--|---------------------------------------|---------------------------|---|---|--|
| Presión | Pascal (Newton por metro cuadrado) | Pa (N/m ²) | Kilogramo-fuerza por metro cuadrado Columna de Agua Columna de Mercurio Torr Bar Atmósfera | kgf/m ² mH ₂ O mmHg Torr bar atm | 1/9.806 65 1/(9.806 65 x 10 ³) 760/(1.013 25 x 10 ⁵) 760/(1.013 25 x 10 ⁵) 10 ⁻⁵ 1/(1.013 25 x 10 ⁵) |
| Energía | Julio (Newton · metro) | J (N · m) | Erg Caloría (Internacional) Kilogramo-fuerza metro Kilovatio hora Caballo de potencia hora | erg cal _{IT} kgf · m kW · h PS · h | 10 ⁷ 4.186 8 1/9.806 65 1/(3.6 x 10 ⁶) ≈ 3.776 72 x 10 ⁻⁷ |
| Trabajo | Vatio (Julio por segundo) | W (J/s) | Kilogramo-fuerza metro por segundo Kilocaloría por hora Caballo de potencia | kgf · m/s kcal/h PS | 1/9.806 65 1/1.163 ≈ 1/735.498 8 |
| Viscosidad, Índice de viscosidad | Pascal segundo | Pa · s | Poise | P | 10 |
| Viscosidad Cinemática, Índice de viscosidad cinemática | Metro cuadrado por segundo | m ² /s | Stokes | St | 10 ⁴ |
| | | | Centistokes | cSt | 10 ⁶ |
| Temperatura | Kelvin, Grado centígrado | K, °C | Grado | °C | (Consulte la nota (1)) |
| Corriente eléctrica | | | | | |
| Fuerza Magnetomotriz | Amperio | A | Amperio | A | 1 |
| Voltaje, Fuerza Electromotriz | Voltio | V | (Vatios por amperio) | (W/A) | 1 |
| Intensidad del Campo Magnético | Amperio por metro | A/m | Oersted | Oe | $4\pi/10^3$ |
| Densidad del flujo magnético | Tesla | T | Gaussio Gamma | Gs γ | 10 ⁴ 10 ⁹ |
| Resistencia Eléctrica | Ohmio | Ω | (Voltios por amperio) | (V/A) | 1 |

Nota (1) La conversión desde $T(K)$ a $\theta(^{\circ}\text{C})$ es $\theta = T - 273.15$ pero para una diferencia de temperatura, es $\Delta T = \theta$. No obstante, ΔT y θ representan diferencias de temperatura medidas utilizando las escalas Kelvin y Centígrada respectivamente.

Observaciones Los nombres y símbolos entre () son equivalentes a los inmediatamente interiores a ellos o a los de su izquierda.

Ejemplo de conversión 1N=1/9.806 65kgf

Pulgada- Tablas de conversión métricas

| Fracción | Pulgada | 0 | 1 | 2 | 3 | 4 | 5 | 6 | 7 | 8 | 9 | 10 |
|----------|-----------------|---------------|---------------|---------------|----------------|----------------|----------------|----------------|----------------|----------------|----------------|----------------|
| | Decimal | | | | | | mm | | | | | |
| 0 | 0.000000 | 0.000 | 25.400 | 50.800 | 76.200 | 101.600 | 127.000 | 152.400 | 177.800 | 203.200 | 228.600 | 254.000 |
| 1/64 | 0.015625 | 0.397 | 25.797 | 51.197 | 76.597 | 101.997 | 127.397 | 152.797 | 178.197 | 203.597 | 228.997 | 254.397 |
| 1/32 | 0.031250 | 0.794 | 26.194 | 51.594 | 76.994 | 102.394 | 127.794 | 153.194 | 178.594 | 203.994 | 229.394 | 254.794 |
| 3/64 | 0.046875 | 1.191 | 26.591 | 51.991 | 77.391 | 102.791 | 128.191 | 153.591 | 178.991 | 204.391 | 229.791 | 255.191 |
| 1/16 | 0.062500 | 1.588 | 26.988 | 52.388 | 77.788 | 103.188 | 128.588 | 153.988 | 179.388 | 204.788 | 230.188 | 255.588 |
| 5/64 | 0.078125 | 1.984 | 27.384 | 52.784 | 78.184 | 103.584 | 128.984 | 154.384 | 179.784 | 205.184 | 230.584 | 255.984 |
| 3/32 | 0.093750 | 2.381 | 27.781 | 53.181 | 78.581 | 103.981 | 129.381 | 154.781 | 180.181 | 205.581 | 230.981 | 256.381 |
| 7/64 | 0.109375 | 2.778 | 28.178 | 53.578 | 78.978 | 104.378 | 129.778 | 155.178 | 180.578 | 205.978 | 231.378 | 256.778 |
| 1/8 | 0.125000 | 3.175 | 28.575 | 53.975 | 79.375 | 104.775 | 130.175 | 155.575 | 180.975 | 206.375 | 231.775 | 257.175 |
| 9/64 | 0.140625 | 3.572 | 28.972 | 54.372 | 79.772 | 105.172 | 130.572 | 155.972 | 181.372 | 206.772 | 232.172 | 257.572 |
| 5/32 | 0.156250 | 3.969 | 29.369 | 54.769 | 80.169 | 105.569 | 130.969 | 156.369 | 181.769 | 207.169 | 232.569 | 257.969 |
| 11/64 | 0.171875 | 4.366 | 29.766 | 55.166 | 80.566 | 105.966 | 131.366 | 156.766 | 182.166 | 207.566 | 232.966 | 258.366 |
| 3/16 | 0.187500 | 4.762 | 30.162 | 55.562 | 80.962 | 106.362 | 131.762 | 157.162 | 182.562 | 207.962 | 233.362 | 258.762 |
| 13/64 | 0.203125 | 5.159 | 30.559 | 55.959 | 81.359 | 106.759 | 132.159 | 157.559 | 182.959 | 208.359 | 233.759 | 259.159 |
| 7/32 | 0.218750 | 5.556 | 30.956 | 56.356 | 81.756 | 107.156 | 132.556 | 157.956 | 183.356 | 208.756 | 234.156 | 259.556 |
| 15/64 | 0.234375 | 5.953 | 31.353 | 56.753 | 82.153 | 107.553 | 132.953 | 158.353 | 183.753 | 209.153 | 234.553 | 259.953 |
| 1/4 | 0.250000 | 6.350 | 31.750 | 57.150 | 82.550 | 107.950 | 133.350 | 158.750 | 184.150 | 209.550 | 234.950 | 260.350 |
| 17/64 | 0.265625 | 6.747 | 32.147 | 57.547 | 82.947 | 108.347 | 133.747 | 159.147 | 184.547 | 209.947 | 235.347 | 260.747 |
| 9/32 | 0.281250 | 7.144 | 32.544 | 57.944 | 83.344 | 108.744 | 134.144 | 159.544 | 184.944 | 210.344 | 235.744 | 261.144 |
| 19/64 | 0.296875 | 7.541 | 32.941 | 58.341 | 83.741 | 109.141 | 134.541 | 159.941 | 185.341 | 210.741 | 236.141 | 261.541 |
| 5/16 | 0.312500 | 7.938 | 33.338 | 58.738 | 84.138 | 109.538 | 134.938 | 160.338 | 185.738 | 211.138 | 236.538 | 261.938 |
| 21/64 | 0.328125 | 8.334 | 33.734 | 59.134 | 84.534 | 109.934 | 135.334 | 160.734 | 186.134 | 211.534 | 236.934 | 262.334 |
| 11/32 | 0.343750 | 8.731 | 34.131 | 59.531 | 84.931 | 110.331 | 135.731 | 161.131 | 186.531 | 211.931 | 237.331 | 262.731 |
| 23/64 | 0.359375 | 9.128 | 34.528 | 59.928 | 85.328 | 110.728 | 136.128 | 161.528 | 186.928 | 212.328 | 237.728 | 263.128 |
| 3/8 | 0.375000 | 9.525 | 34.925 | 60.325 | 87.725 | 111.125 | 136.525 | 161.925 | 187.325 | 212.725 | 238.125 | 263.525 |
| 25/64 | 0.390625 | 9.922 | 35.322 | 60.722 | 86.122 | 111.522 | 136.922 | 162.322 | 187.722 | 213.122 | 238.522 | 263.922 |
| 13/32 | 0.406250 | 10.319 | 35.719 | 61.119 | 86.519 | 111.919 | 137.319 | 162.719 | 188.119 | 213.519 | 238.919 | 264.319 |
| 27/64 | 0.421875 | 10.716 | 36.116 | 61.516 | 86.916 | 112.316 | 137.716 | 163.116 | 188.516 | 213.916 | 239.316 | 264.716 |
| 7/16 | 0.437500 | 11.112 | 36.512 | 61.912 | 87.312 | 112.712 | 138.112 | 163.512 | 188.912 | 214.312 | 239.712 | 265.112 |
| 29/64 | 0.453125 | 11.509 | 36.909 | 62.309 | 87.709 | 113.109 | 138.509 | 163.909 | 189.309 | 214.709 | 240.109 | 265.509 |
| 15/32 | 0.468750 | 11.906 | 37.306 | 62.706 | 88.106 | 113.506 | 138.906 | 164.306 | 189.706 | 215.106 | 240.506 | 265.906 |
| 31/64 | 0.484375 | 12.303 | 37.703 | 63.103 | 88.503 | 113.903 | 139.303 | 164.703 | 190.103 | 215.503 | 240.903 | 266.303 |
| 1/2 | 0.500000 | 12.700 | 38.100 | 63.500 | 88.900 | 114.300 | 139.700 | 165.100 | 190.500 | 215.900 | 241.300 | 266.700 |
| 33/64 | 0.515625 | 13.097 | 38.497 | 63.897 | 89.297 | 114.697 | 140.097 | 165.497 | 190.897 | 216.297 | 241.697 | 267.097 |
| 17/32 | 0.531250 | 13.494 | 38.894 | 64.294 | 89.694 | 115.094 | 140.494 | 165.894 | 191.294 | 216.694 | 242.094 | 267.494 |
| 35/64 | 0.546875 | 13.891 | 39.291 | 64.691 | 90.091 | 115.491 | 140.891 | 166.291 | 191.691 | 217.091 | 242.491 | 267.891 |
| 9/16 | 0.562500 | 14.288 | 39.688 | 65.088 | 90.488 | 115.888 | 141.288 | 166.688 | 192.088 | 217.488 | 242.888 | 268.288 |
| 37/64 | 0.578125 | 14.684 | 40.084 | 65.484 | 90.884 | 116.284 | 141.684 | 167.084 | 192.484 | 217.884 | 243.284 | 268.684 |
| 19/32 | 0.593750 | 15.081 | 40.481 | 65.881 | 91.281 | 116.681 | 142.081 | 167.481 | 192.881 | 218.281 | 243.681 | 269.081 |
| 39/64 | 0.609375 | 15.478 | 40.878 | 66.278 | 91.678 | 117.078 | 142.478 | 167.878 | 193.278 | 218.678 | 244.078 | 269.478 |
| 5/8 | 0.625000 | 15.875 | 41.275 | 66.675 | 92.075 | 117.475 | 142.875 | 168.275 | 193.675 | 219.075 | 244.475 | 269.875 |
| 41/64 | 0.640625 | 16.272 | 41.672 | 67.072 | 92.472 | 117.872 | 143.272 | 168.672 | 194.072 | 219.472 | 244.872 | 270.272 |
| 21/32 | 0.656250 | 16.669 | 42.069 | 67.469 | 92.869 | 118.269 | 143.669 | 169.069 | 194.469 | 219.869 | 245.269 | 270.669 |
| 43/64 | 0.671875 | 17.066 | 42.466 | 67.866 | 93.266 | 118.666 | 144.066 | 169.466 | 194.866 | 220.266 | 245.666 | 271.066 |
| 11/16 | 0.687500 | 17.462 | 42.862 | 68.262 | 93.662 | 119.062 | 144.462 | 169.862 | 195.262 | 220.662 | 246.062 | 271.462 |
| 45/64 | 0.703125 | 17.859 | 43.259 | 68.659 | 94.059 | 119.459 | 144.859 | 170.259 | 195.659 | 221.059 | 246.459 | 271.859 |
| 23/32 | 0.718750 | 18.256 | 43.656 | 69.056 | 94.456 | 119.856 | 145.256 | 170.656 | 196.056 | 221.456 | 246.856 | 272.256 |
| 47/64 | 0.734375 | 18.653 | 44.053 | 69.453 | 94.853 | 120.253 | 145.653 | 171.053 | 196.453 | 221.853 | 247.253 | 272.653 |
| 3/4 | 0.750000 | 19.050 | 44.450 | 69.850 | 95.250 | 120.650 | 146.050 | 171.450 | 196.850 | 222.250 | 247.650 | 273.050 |
| 49/64 | 0.765625 | 19.447 | 44.847 | 70.247 | 95.647 | 121.047 | 146.447 | 171.847 | 197.247 | 222.647 | 248.047 | 273.447 |
| 25/32 | 0.781250 | 19.844 | 45.244 | 70.644 | 96.044 | 121.444 | 146.844 | 172.244 | 197.644 | 223.044 | 248.444 | 273.844 |
| 51/64 | 0.796875 | 20.241 | 45.641 | 71.041 | 96.441 | 121.841 | 147.241 | 172.641 | 198.041 | 223.441 | 248.841 | 274.241 |
| 13/16 | 0.812500 | 20.638 | 46.038 | 71.438 | 96.838 | 122.238 | 147.638 | 173.038 | 198.438 | 223.838 | 249.238 | 274.638 |
| 53/64 | 0.828125 | 21.034 | 46.434 | 71.834 | 97.234 | 122.634 | 148.034 | 173.434 | 198.834 | 224.234 | 249.634 | 275.034 |
| 27/32 | 0.843750 | 21.431 | 46.831 | 72.231 | 97.631 | 123.031 | 148.431 | 173.831 | 199.231 | 224.631 | 250.031 | 275.431 |
| 55/64 | 0.859375 | 21.828 | 47.228 | 72.628 | 98.028 | 123.428 | 148.828 | 174.228 | 199.628 | 225.028 | 250.428 | 275.828 |
| 7/8 | 0.875000 | 22.225 | 47.625 | 73.025 | 98.425 | 123.825 | 149.225 | 174.625 | 200.025 | 225.425 | 250.825 | 276.225 |
| 57/64 | 0.890625 | 22.622 | 48.022 | 73.422 | 98.822 | 124.222 | 149.622 | 175.022 | 200.422 | 225.822 | 251.222 | 276.622 |
| 29/32 | 0.906250 | 23.019 | 48.419 | 73.819 | 99.219 | 124.619 | 150.019 | 175.419 | 200.819 | 226.219 | 251.619 | 277.019 |
| 59/64 | 0.921875 | 23.416 | 48.816 | 74.216 | 99.616 | 125.016 | 150.416 | 175.816 | 201.216 | 226.616 | 252.016 | 277.416 |
| 15/16 | 0.937500 | 23.812 | 49.212 | 74.612 | 100.012 | 125.412 | 150.812 | 176.212 | 201.612 | 227.012 | 252.412 | 277.812 |
| 61/64 | 0.953125 | 24.209 | 49.609 | 75.009 | 100.409 | 125.809 | 151.209 | 176.609 | 202.009 | 227.409 | 252.809 | 278.209 |
| 31/32 | 0.968750 | 24.606 | 50.006 | 75.406 | 100.806 | 126.206 | 151.606 | 177.006 | 202.406 | 227.806 | 253.206 | 278.606 |
| 63/64 | 0.984375 | 25.003 | 50.403 | 75.803 | 101.203 | 126.603 | 152.003 | 177.403 | 202.803 | 228.203 | 253.60 | |

| Pulgada | | 11 | 12 | 13 | 14 | 15 | 16 | 17 | 18 | 19 | 20 |
|-----------------|---------------|----------------|----------------|----------------|----------------|----------------|----------------|----------------|----------------|----------------|----------------|
| Fracción | Decimal | | | | | | mm | | | | |
| 0 | 0.0000 | 279.400 | 304.800 | 330.200 | 355.600 | 381.000 | 406.400 | 431.800 | 457.200 | 482.600 | 508.000 |
| $\frac{1}{16}$ | 0.0625 | 280.988 | 306.388 | 331.788 | 357.188 | 382.588 | 407.988 | 433.388 | 458.788 | 484.188 | 509.588 |
| $\frac{1}{8}$ | 0.1250 | 282.575 | 307.975 | 333.375 | 358.775 | 384.175 | 409.575 | 434.975 | 460.375 | 485.775 | 511.175 |
| $\frac{3}{16}$ | 0.1875 | 284.162 | 309.562 | 334.962 | 360.362 | 385.762 | 411.162 | 436.562 | 461.962 | 487.362 | 512.762 |
| $\frac{1}{4}$ | 0.2500 | 285.750 | 311.150 | 336.550 | 361.950 | 387.350 | 412.750 | 438.150 | 463.550 | 488.950 | 514.350 |
| $\frac{5}{16}$ | 0.3125 | 287.338 | 312.738 | 338.138 | 363.538 | 388.938 | 414.338 | 439.738 | 465.138 | 490.538 | 515.938 |
| $\frac{3}{8}$ | 0.3750 | 288.925 | 314.325 | 339.725 | 365.125 | 390.525 | 415.925 | 441.325 | 466.725 | 492.125 | 517.525 |
| $\frac{7}{16}$ | 0.4375 | 290.512 | 315.912 | 341.312 | 366.712 | 392.112 | 417.512 | 442.912 | 468.312 | 493.712 | 519.112 |
| $\frac{1}{2}$ | 0.5000 | 292.100 | 317.500 | 342.900 | 368.300 | 393.700 | 419.100 | 444.500 | 469.900 | 495.300 | 520.700 |
| $\frac{9}{16}$ | 0.5625 | 293.688 | 319.088 | 344.488 | 369.888 | 395.288 | 420.688 | 446.088 | 471.488 | 496.888 | 522.288 |
| $\frac{5}{8}$ | 0.6250 | 295.275 | 320.675 | 346.075 | 371.475 | 396.875 | 422.275 | 447.675 | 473.075 | 498.475 | 523.875 |
| $\frac{11}{16}$ | 0.6875 | 296.862 | 322.262 | 347.662 | 373.062 | 398.462 | 423.862 | 449.262 | 474.662 | 500.062 | 525.462 |
| $\frac{3}{4}$ | 0.7500 | 298.450 | 323.850 | 349.250 | 374.650 | 400.050 | 425.450 | 450.850 | 476.250 | 501.650 | 527.050 |
| $\frac{13}{16}$ | 0.8125 | 300.038 | 325.438 | 350.838 | 376.238 | 401.638 | 427.038 | 452.438 | 477.838 | 503.238 | 528.638 |
| $\frac{7}{8}$ | 0.8750 | 301.625 | 327.025 | 352.425 | 377.825 | 403.225 | 428.625 | 454.025 | 479.425 | 504.825 | 530.225 |
| $\frac{15}{16}$ | 0.9375 | 303.212 | 328.612 | 354.012 | 379.412 | 404.812 | 430.212 | 455.612 | 481.012 | 506.412 | 531.812 |

| Pulgada | | 21 | 22 | 23 | 24 | 25 | 26 | 27 | 28 | 29 | 30 |
|-----------------|---------------|----------------|----------------|----------------|----------------|----------------|----------------|----------------|----------------|----------------|----------------|
| Fracción | Decimal | | | | | | mm | | | | |
| 0 | 0.0000 | 533.400 | 558.800 | 584.200 | 609.600 | 635.000 | 660.400 | 685.800 | 711.200 | 736.600 | 762.000 |
| $\frac{1}{16}$ | 0.0625 | 534.988 | 560.388 | 585.788 | 611.188 | 636.588 | 661.988 | 687.388 | 712.788 | 738.188 | 763.588 |
| $\frac{1}{8}$ | 0.1250 | 536.575 | 561.975 | 587.375 | 612.775 | 638.175 | 663.575 | 688.975 | 714.375 | 739.775 | 765.175 |
| $\frac{3}{16}$ | 0.1875 | 538.162 | 563.562 | 588.962 | 614.362 | 639.762 | 665.162 | 690.562 | 715.962 | 741.362 | 766.762 |
| $\frac{1}{4}$ | 0.2500 | 539.750 | 565.150 | 590.550 | 615.950 | 641.350 | 666.750 | 692.150 | 717.550 | 742.950 | 768.350 |
| $\frac{5}{16}$ | 0.3125 | 541.338 | 566.738 | 592.138 | 617.538 | 642.938 | 668.338 | 693.738 | 719.138 | 744.538 | 769.938 |
| $\frac{3}{8}$ | 0.3750 | 542.925 | 568.325 | 593.725 | 619.125 | 644.525 | 669.925 | 695.325 | 720.725 | 746.125 | 771.525 |
| $\frac{7}{16}$ | 0.4375 | 544.512 | 569.912 | 595.312 | 620.712 | 646.112 | 671.512 | 696.912 | 722.312 | 747.712 | 773.112 |
| $\frac{1}{2}$ | 0.5000 | 546.100 | 571.500 | 596.900 | 622.300 | 647.700 | 673.100 | 698.500 | 723.900 | 749.300 | 774.700 |
| $\frac{9}{16}$ | 0.5625 | 547.688 | 573.088 | 598.488 | 623.888 | 649.288 | 674.688 | 700.088 | 725.488 | 750.888 | 776.288 |
| $\frac{5}{8}$ | 0.6250 | 549.275 | 574.675 | 600.075 | 625.475 | 650.875 | 676.275 | 701.675 | 727.075 | 752.475 | 777.875 |
| $\frac{11}{16}$ | 0.6875 | 550.862 | 576.262 | 601.662 | 627.062 | 652.462 | 677.862 | 703.262 | 728.662 | 754.062 | 779.462 |
| $\frac{3}{4}$ | 0.7500 | 552.450 | 577.850 | 603.250 | 628.650 | 654.050 | 679.450 | 704.850 | 730.250 | 755.650 | 781.050 |
| $\frac{13}{16}$ | 0.8125 | 554.038 | 579.438 | 604.838 | 630.238 | 655.638 | 681.038 | 706.438 | 731.838 | 757.238 | 782.638 |
| $\frac{7}{8}$ | 0.8750 | 555.625 | 581.025 | 606.425 | 631.825 | 657.225 | 682.625 | 708.025 | 733.425 | 758.825 | 784.225 |
| $\frac{15}{16}$ | 0.9375 | 557.212 | 582.612 | 608.012 | 633.412 | 658.812 | 684.212 | 709.612 | 735.012 | 760.412 | 785.812 |

| Pulgada | | 31 | 32 | 33 | 34 | 35 | 36 | 37 | 38 | 39 | 40 |
|-----------------|---------------|----------------|----------------|----------------|----------------|----------------|----------------|----------------|----------------|-----------------|-----------------|
| Fracción | Decimal | | | | | | mm | | | | |
| 0 | 0.0000 | 787.400 | 812.800 | 838.200 | 863.600 | 889.000 | 914.400 | 939.800 | 965.200 | 990.600 | 1016.000 |
| $\frac{1}{16}$ | 0.0625 | 788.988 | 814.388 | 839.788 | 865.188 | 890.588 | 915.988 | 941.388 | 966.788 | 992.188 | 1017.588 |
| $\frac{1}{8}$ | 0.1250 | 790.575 | 815.975 | 841.375 | 866.775 | 892.175 | 917.575 | 942.975 | 968.375 | 993.775 | 1019.175 |
| $\frac{3}{16}$ | 0.1875 | 792.162 | 817.562 | 842.962 | 868.362 | 893.762 | 919.162 | 944.562 | 969.962 | 995.362 | 1020.762 |
| $\frac{1}{4}$ | 0.2500 | 793.750 | 819.150 | 844.550 | 869.950 | 895.350 | 920.750 | 946.150 | 971.550 | 996.950 | 1022.350 |
| $\frac{5}{16}$ | 0.3125 | 795.338 | 820.738 | 846.138 | 871.538 | 896.938 | 922.338 | 947.738 | 973.138 | 998.538 | 1023.938 |
| $\frac{3}{8}$ | 0.3750 | 796.925 | 822.325 | 847.725 | 873.125 | 898.525 | 923.925 | 949.325 | 974.725 | 1000.125 | 1025.525 |
| $\frac{7}{16}$ | 0.4375 | 798.512 | 823.912 | 849.312 | 874.712 | 900.112 | 925.512 | 950.912 | 976.312 | 1001.712 | 1027.112 |
| $\frac{1}{2}$ | 0.5000 | 800.100 | 825.500 | 850.900 | 876.300 | 901.700 | 927.100 | 952.500 | 977.900 | 1003.300 | 1028.700 |
| $\frac{9}{16}$ | 0.5625 | 801.688 | 827.088 | 852.488 | 877.888 | 903.288 | 928.688 | 954.088 | 979.488 | 1004.888 | 1030.288 |
| $\frac{5}{8}$ | 0.6250 | 803.275 | 828.675 | 854.075 | 879.475 | 904.875 | 930.275 | 955.675 | 981.075 | 1006.475 | 1031.875 |
| $\frac{11}{16}$ | 0.6875 | 804.862 | 830.262 | 855.662 | 881.062 | 906.462 | 931.862 | 957.262 | 982.662 | 1008.062 | 1033.462 |
| $\frac{3}{4}$ | 0.7500 | 806.450 | 831.850 | 857.250 | 882.650 | 908.050 | 933.450 | 958.850 | 984.250 | 1009.650 | 1035.050 |
| $\frac{13}{16}$ | 0.8125 | 808.038 | 833.438 | 858.838 | 884.238 | 909.638 | 935.038 | 960.438 | 985.838 | 1011.238 | 1036.638 |
| $\frac{7}{8}$ | 0.8750 | 809.625 | 835.025 | 860.425 | 885.825 | 911.225 | 936.625 | 962.025 | 987.425 | 1012.825 | 1038.225 |
| $\frac{15}{16}$ | 0.9375 | 811.212 | 836.612 | 862.012 | 887.412 | 912.812 | 938.212 | 963.621 | 989.012 | 1014.412 | 1039.812 |

Tablas de conversión de temperatura

Apéndice tabla 4 Tabla de conversión °C-°F

(Método de utilización de esta tabla) Por ejemplo, para convertir 38°C en °F, lea la cifra de la columna °F de la derecha, adyacente al nº 38 de la columna central del segundo bloque. Vemos que 38°C equivale a 100.4°F. Para convertir 38°F en °C, lea la cifra de la columna °C de la izquierda de la misma fila, lo que nos muestra que la respuesta es 3.3°C.

$$C = \frac{5}{9}(F - 32)$$

$$F = 32 + \frac{5}{9}C$$

| °C | | °F | °C | | °F | °C | | °F | °C | | °F |
|-------|------|--------|------|----|-------|------|-----|-------|-------|------|------|
| -73.3 | -100 | -148.0 | 0.0 | 32 | 89.6 | 21.7 | 71 | 159.8 | 43.3 | 110 | 230 |
| -62.2 | -80 | -112.0 | 0.6 | 33 | 91.4 | 22.2 | 72 | 161.6 | 46.1 | 115 | 239 |
| -51.1 | -60 | -76.0 | 1.1 | 34 | 93.2 | 22.8 | 73 | 163.4 | 48.9 | 120 | 248 |
| -40.0 | -40 | -40.0 | 1.7 | 35 | 95.0 | 23.3 | 74 | 165.2 | 51.7 | 125 | 257 |
| -34.4 | -30 | -22.0 | 2.2 | 36 | 96.8 | 23.9 | 75 | 167.0 | 54.4 | 130 | 266 |
| -28.9 | -20 | -4.0 | 2.8 | 37 | 98.6 | 24.4 | 76 | 168.8 | 57.2 | 135 | 275 |
| -23.3 | -10 | 14.0 | 3.3 | 38 | 100.4 | 25.0 | 77 | 170.6 | 60.0 | 140 | 284 |
| -17.8 | 0 | 32.0 | 3.9 | 39 | 102.2 | 25.6 | 78 | 172.4 | 65.6 | 150 | 302 |
| -17.2 | 1 | 33.8 | 4.4 | 40 | 104.0 | 26.1 | 79 | 174.2 | 71.1 | 160 | 320 |
| -16.7 | 2 | 35.6 | 5.0 | 41 | 105.8 | 26.7 | 80 | 176.0 | 76.7 | 170 | 338 |
| -16.1 | 3 | 37.4 | 5.6 | 42 | 107.6 | 27.2 | 81 | 177.8 | 82.2 | 180 | 356 |
| -15.6 | 4 | 39.2 | 6.1 | 43 | 109.4 | 27.8 | 82 | 179.6 | 87.8 | 190 | 374 |
| -15.0 | 5 | 41.0 | 6.7 | 44 | 111.2 | 28.3 | 83 | 181.4 | 93.3 | 200 | 392 |
| -14.4 | 6 | 42.8 | 7.2 | 45 | 113.0 | 28.9 | 84 | 183.2 | 98.9 | 210 | 410 |
| -13.9 | 7 | 44.6 | 7.8 | 46 | 114.8 | 29.4 | 85 | 185.0 | 104.4 | 220 | 428 |
| -13.3 | 8 | 46.4 | 8.3 | 47 | 116.6 | 30.0 | 86 | 186.8 | 110.0 | 230 | 446 |
| -12.8 | 9 | 48.2 | 8.9 | 48 | 118.4 | 30.6 | 87 | 188.6 | 115.6 | 240 | 464 |
| -12.2 | 10 | 50.0 | 9.4 | 49 | 120.2 | 31.1 | 88 | 190.4 | 121.1 | 250 | 482 |
| -11.7 | 11 | 51.8 | 10.0 | 50 | 122.0 | 31.7 | 89 | 192.2 | 148.9 | 300 | 572 |
| -11.1 | 12 | 53.6 | 10.6 | 51 | 123.8 | 32.2 | 90 | 194.0 | 176.7 | 350 | 662 |
| -10.6 | 13 | 55.4 | 11.1 | 52 | 125.6 | 32.8 | 91 | 195.8 | 204 | 400 | 752 |
| -10.0 | 14 | 57.2 | 11.7 | 53 | 127.4 | 33.3 | 92 | 197.6 | 232 | 450 | 842 |
| -9.4 | 15 | 59.0 | 12.2 | 54 | 129.2 | 33.9 | 93 | 199.4 | 260 | 500 | 932 |
| -8.9 | 16 | 60.8 | 12.8 | 55 | 131.0 | 34.4 | 94 | 201.2 | 288 | 550 | 1022 |
| -8.3 | 17 | 62.6 | 13.3 | 56 | 132.8 | 35.0 | 95 | 203.0 | 316 | 600 | 1112 |
| -7.8 | 18 | 64.4 | 13.9 | 57 | 134.6 | 35.6 | 96 | 204.8 | 343 | 650 | 1202 |
| -7.2 | 19 | 66.2 | 14.4 | 58 | 136.4 | 36.1 | 97 | 206.6 | 371 | 700 | 1292 |
| -6.7 | 20 | 68.0 | 15.0 | 59 | 138.2 | 36.7 | 98 | 208.4 | 399 | 750 | 1382 |
| -6.1 | 21 | 69.8 | 15.6 | 60 | 140.0 | 37.2 | 99 | 210.2 | 427 | 800 | 1472 |
| -5.6 | 22 | 71.6 | 16.1 | 61 | 141.8 | 37.8 | 100 | 212.0 | 454 | 850 | 1562 |
| -5.0 | 23 | 73.4 | 16.7 | 62 | 143.6 | 38.3 | 101 | 213.8 | 482 | 900 | 1652 |
| -4.4 | 24 | 75.2 | 17.2 | 63 | 145.4 | 38.9 | 102 | 215.6 | 510 | 950 | 1742 |
| -3.9 | 25 | 77.0 | 17.8 | 64 | 147.2 | 39.4 | 103 | 217.4 | 538 | 1000 | 1832 |
| -3.3 | 26 | 78.8 | 18.3 | 65 | 149.0 | 40.0 | 104 | 219.2 | 593 | 1100 | 2012 |
| -2.8 | 27 | 80.6 | 18.9 | 66 | 150.8 | 40.6 | 105 | 221.0 | 649 | 1200 | 2192 |
| -2.2 | 28 | 82.4 | 19.4 | 67 | 152.6 | 41.1 | 106 | 222.8 | 704 | 1300 | 2372 |
| -1.7 | 29 | 84.2 | 20.0 | 68 | 154.4 | 41.7 | 107 | 224.6 | 760 | 1400 | 2552 |
| -1.1 | 30 | 86.0 | 20.6 | 69 | 156.2 | 42.2 | 108 | 226.4 | 816 | 1500 | 2732 |
| -0.6 | 31 | 87.8 | 21.1 | 70 | 158.0 | 42.8 | 109 | 228.2 | 871 | 1600 | 2912 |

Notas

Notas

Notas

Notas

Compañías de ventas NSK – Europa, Oriente Medio y África

España

NSK Spain, S.A.
 C/ Tarragona, 161 Cuerpo Bajo
 2º Planta, 08014 Barcelona
 Tel. +34 932 89 27 63
 Fax +34 934 33 57 76
 info-es@nsk.com

Alemania, Austria, Suiza, Benelux, Escandinavia

NSK Deutschland GmbH
 Harkortstraße 15
 40880 Ratingen
 Tel. +49 (0) 2102 4810
 Fax +49 (0) 2102 4812290
 info-de@nsk.com

Francia

NSK France S.A.S.
 Quartier de l'Europe
 2, rue Georges Guynemer
 78283 Guyancourt Cedex
 Tel. +33 (0) 1 30573939
 Fax +33 (0) 1 30570001
 info-fr@nsk.com

Italia

NSK Italia S.p.A.
 Via Garibaldi, 215
 20024 Garbagnate
 Milanese (MI)
 Tel. +39 02 995 191
 Fax +39 02 990 25 778
 info-it@nsk.com

Visite también nuestra página web: www.nskeurope.es
 NSK Global: www.nsk.com

Oriente Medio

NSK Bearings Gulf Trading Co.
 JAFZA View 19, Floor 24 Office 2/3
 Jebel Ali Downtown,
 PO Box 262163
 Dubai, UAE
 Tel. +971 (0) 4 804 8202
 Fax +971 (0) 4 884 7227
 info-me@nsk.com

Polonia & CEE

NSK Polska Sp. z o.o.
 Warsaw Branch
 Ul. Migdałowa 4/73
 02-796 Warszawa
 Tel. +48 22 645 15 25
 Fax +48 22 645 15 29
 info-pl@nsk.com

Reino Unido

NSK UK LTD.
 Northern Road, Newark,
 Nottinghamshire NG24 2JF
 Tel. +44 (0) 1636 605123
 Fax +44 (0) 1636 643276
 info-uk@nsk.com

Rusia

NSK Polska Sp. z o.o.
 Russian Branch
 Office I 703, Bldg 29,
 18th Line of Vasilievskiy Ostrov,
 Saint-Petersburg, 199178
 Tel. +7 812 3325071
 Fax +7 812 3325072
 info-ru@nsk.com

Sudáfrica

NSK South Africa (Pty) Ltd.
 27 Galaxy Avenue
 Linbro Business Park
 Sandton 2146
 Tel. +27 (011) 458 3600
 Fax +27 (011) 458 3608
 nsk-sa@nsk.com

Turquía

NSK Rulmanları Orta Doğu Tic. Ltd. Şti
 19 Mayıs Mah. Atatürk Cad.
 Ulya Engin İş Merkezi No: 68/3 Kat. 6
 P.K.: 34736 - Kozyatağı - İstanbul
 Tel. +90 216 4777111
 Fax +90 216 4777174
 turkey@nsk.com

